

Ing. DAN SIMU

**Contribuții la configurarea unor structuri de testare automată cu  
aplicații în avionică**

UNIV. „POLITEHNICA”	TEZĂ DE DOCTORAT
TIMIȘOARA	
BIBLIOTECA CENTRALĂ	
Nr. volum <u>659. 15p</u>	
Dulap <u>369</u> Lit. <u>F</u>	

CONDUCĂTOR ȘTIINȚIFIC: PROF. DR. POPESCU VIOREL

TIMIȘOARA 2006

8096

## Cuprins

### Introducere

#### Cap. I Stadiul actual în testarea automată pentru avionică.

1.1 Avionică. Tipuri de dispozitive.	1-1
1.2 Testarea funcțională.	1-3
1.3 Sisteme de testare automată	1-4
1.4 Limbaje pentru programele de testare	1-6
1.5 Execuția testelor.	1-7
1.6 Concluzii.	1-9

#### Cap. II Testarea funcțională pentru avionică. Portabilitatea programelor de testare.

2.1 Testarea funcțională în avionică	2-1
2.2 Descrierea testelor funcționale (TPS)	2-2
2.3 Programarea testelor (TPS)	2-3
2.4 Administrarea echipamentului de testare și execuția programelor (ATE software)	2-4
2.5 Instrumente folosite la realizarea testoarelor (ATE Instrumente) și modul de conectare al acestora la Conectorul testorului	2-5
2.6 Interfața de Testare și Unitatea Testată	2-5
2.7 Considerații asupra portabilității programelor de testare	2-6
2.8 Concluzii	2-10

#### Cap. III Echipamente de testare automată pentru avionică.

3.1 Arhitectura unui echipament de testare automată	3-1
3.2 Magistrale de comunicație pentru controlul instrumentelor.	3-4
3.2.1 Plăci pe magistrale interne ale computerului.	3-4
3.2.2 Magistrala IEEE 488 (GPIB).	3-6
3.2.2.1 Specificația IEEE 488.1.	3-6
3.2.2.2 Conceptul IEEE 488.2.	3-9
3.2.3 Magistrala VXI (IEEE 1155)	3-9
3.2.4 Alte tipuri de magistrale.	3-13
3.3 Aparatură de măsură și stimulare uzuale.	3-14
3.3.1 Multimetrul Digital (DMM).	3-14
3.3.1.1 Capabilitățile de bază ale clasei DMM.	3-17
3.3.2 Generatorul de funcții arbitrare (AFG).	3-18
3.3.2.1 Capabilitățile de bază ale AFG	3-19
3.3.3 Osciloscopul Digital (DSO).	3-21
3.3.3.1 Structura de raportare a stării instrumentului	3-22

<b>3.4 Sistemul de inteconectare. Matricea de conexiuni.</b>	3-27
3.4.1 Matricea de conexiuni	3-29
3.4.2 Capabilitățile de bază ale elementelor de conexiune (Switch)	3-31
<b>3.5 Testarea comunicației și instrumente pentru testarea dispozitivelor de comunicație</b>	3-33
3.5.1 ARINC 629	3-34
3.5.2 Modulul de comunicație VX4469A	3-35
3.5.3 ARINC 429	3-33
<b>3.6 Surse de alimentare.</b>	3-38
3.6.1 Capabilități de bază pentru sursele DC	3-38
<b>3.7 Interfața de testare (TUA)</b>	3-40
3.7.1 Interfața de testare pentru unitatea CSCP (Cabin System Control Panel)	3-41
<b>3.8 Concluzii</b>	3-43

## **CAP. IV Structura programelor de testare funcțională. Exemple specifice pentru avionică.**

<b>4.1 Testarea funcțională în avionică.</b>	4-1
<b>4.2 Moduri de descriere a testelor. Moduri de execuție a testelor.</b>	4-2
<b>4.3 Proiectarea programelor de testare funcțională.</b>	4-3
<b>4.4 Tipuri de teste utilizate frecvent în avionică.</b>	4-8
4.4.1 Măsurarea conexiunilor și componentelor pasive.	4-8
4.4.2 Verificarea circuitelor de alimentare la rece.	4-8
4.4.3 Alimentarea unității cu energie electrică. Măsurarea puterii consumate.	4-8
4.4.4 Verificarea canalelor de comunicație de tip ARINC 429	4-8
4.4.5 Verificarea canalelor de comunicație de tip ARINC 629.	4-10
4.4.6 Verificare comunicație LAN (Ethernet).	4-12
4.4.7 Verificarea utilizând testarea pe contur „Boundary scan”(J-TAG).	4-12
4.4.8 Verificări care utilizează simulatorul de LVDT (Linear Variable Differential Transformer).	4-13
4.4.9 Verificări folosind Synchro/Resolver-ul.	4-14
4.4.10 Verificări uzuale folosind PGA (Programmable Gain Amplifier).	4-15
4.4.11 Verificări uzuale de teste folosind Osciloscopul.	4-15
4.4.12 Verificări uzuale folosind „Timer-Counter”-ul.	4-15
4.4.13 Verificări uzuale folosind AFG (Arbitrary Function Generator).	4-15
4.4.14 Verificări uzuale folosind DIO (Data Input Output).	4-16
4.4.15 Verificări în domeniul RF	4-16
4.4.16 Verificarea unităților prin încărcarea de programe de testare	4-17
<b>4.5 Raportul de testare și interpretarea acestuia.</b>	4-18
<b>4.6 Gradul de standardizare al unui echipament de testare automată.</b>	4-18

<b>4.7 Concluzii</b>	4-20
----------------------	------

## **CAP. V Mediul de testare, limbaje de programare, drivere**

<b>5.1 Mediul de testare, limbaje, drivere. Privire generală</b>	5-1
5.2 Limbaje de programare a testelor.	5-4
5.2.1 Limbajul ATLAS (Abbreviated Test Language for All Systems) pentru testare modulară.	5-6
5.3 Drivere pentru instrumente.	5-15
5.4 Drivere IVI	5-18
5.5 Mediul de testare	5-26
5.6 Traducătoare de programe de testare.	5-33
5.7 Concluzii	5-35

## **CAP. VI Concluzii**

## **CAP. VII Contribuții**

## **Bibliografie**

## **Anexe**

- Anexa 1 – ATLAS, program de testare, scheme interfață, raport de testare.**
- Anexa 2 – exemplu parțial program ATLAS ACP.**
- Anexa 3 – fișier drivere pentru proiecte testare avionică B777**
- Anexa 4 – fișiere de configurare, fișier intrare, fișier rezultat, transformator din ATLAS în program intermediar.**
- Anexa 5 – listă parțială unități de avionică testate.**
- Anexa 6 – Lista de termeni și acronime.**

## Introducere

Avionica reprezintă domeniul tehnologic al dispozitivelor electronice utilizate în industria de aviație. Aparatura de aviație face parte din categoria dispozitivelor cu fiabilitatea ridicată, necesară pentru siguranța pasagerilor și aeronavelor. Verificarea periodică pentru confirmarea siguranței în utilizare a diverselor aparate sau subansamble din componența aeronavelor a devenit obligatorie prin reglementările din domeniu. Aceste considerații sunt motivul obiectiv care a accelerat dezvoltarea sectorului de testare pentru avionică. Fiecare producător de dispozitive folosite în aviație parcurge numeroase etape de testare și validare pe toată durata serviciului respectivului dispozitiv.

Această teză are ca obiect domeniul testării funcționale automate pentru avionică. Este un domeniu îngust și deosebit de divers în același timp.

Este îngust pentru că se adresează testării dispozitivelor de aviație, un sector foarte specific și cu o diversitate relativă de unități. Astfel există doi mari producători de aeronave în lume Boeing și AirBus care sunt și producătorii importanți de avionică. Cele două companii impun standardele și stilul de realizare a unităților de aviație coagulând în jurul lor un număr nu foarte mare de subcontractori. Unitățile folosite sunt foarte asemănătoare din punct de vedere funcțional existând subcontractori care produc dispozitive pentru mai mult companii producătoare de avioane.

Este divers deoarece complexitatea unităților impune un echipament de testare foarte complicat, cu un număr mare de instrumente, cu instrumente particulare pentru verificarea unor tehnologii specifice domeniului. Diversitatea este menținută și de durata mare de utilizare a unei aeronave fapt care impune coexistența unor dispozitive din diverse generații realizate cu tehnologii diferite.

Traficul aerian civil a crescut foarte mult în ultimele decenii și implicit cel al aeronavelor și al unităților de avionică care sunt testate. Acest lucru a determinat înființarea unor mari centre de testare a unităților de aviație. În general majoritatea companiilor aeriene mari au propria structură care se ocupă de verificarea și întreținerea unităților. Doresc să menționez aici centrul de testare al companiei British Airways Avionic Engineering de la Cardiff, probabil unul dintre cele mai mari din lume care verifică avionica de pe avioanele companiei britanice dar și ale altor companii aeriene. Acest centru este deosebit de interesant deoarece poți vedea în funcțiune o mulțime de teste din diverse perioade, destinate unei singure unități sau unui grup de unități sau teste de uz general. Acestea din urmă realizate de marii competitori în domeniu reflectă opțiunile proprii cu privire la arhitectura hardware și software a unui astfel de testor.

Această arhitectură, tendințele de standardizare în acest domeniu precum și opinia autorului referitoare la diverse tehnici și soluții în acest proces de coagulare a tehnologiilor din domeniu reprezintă linia directoare după care a fost elaborată această teză.

Autorul a participat la elaborarea documentației de testare pentru mai mult de 200 de unități de avionică fiind implicat în toate fazele procesului de testare funcțională. Autorul a participat la proiectarea testoarelor, la analiza unităților, la proiectarea interfețelor și programelor de testare fiind în același timp conectat la eforturile comunității științifice din domeniu pentru realizarea portabilității programelor de testare

odată cu modernizarea echipamentelor și instrumentelor. Această activitate diversă și complexă a generat în diverse faze ale procesului încecări și proiecte pilot pentru verificarea unor soluții referitoare la uneltele și aplicațiile soft folosite.

Teza a fost alcătuită pe scheletul a cinci capitole care punctează elementele importante din ansamblul testării funcționale pentru avionică:

- Capitolul I "Stadiul actual în testarea automată pentru avionică" trece în revistă domeniul și componentele sale importante cu exemple din activitatea autorului.
- Capitolul II „ Testarea funcțională pentru avionică. Portabilitatea programelor de testare” definește procesul de testare funcțională din faza de descriere a testelor până la execuția propriu-zisă. Se analizează elementele care asigură portabilitatea testelor funcționale de la un echipament de testare la altul. Capitolul II continuă prezentarea domeniului testării funcționale pentru avionică începută de Capitolul I precizând interesul autorului pentru portabilitate.
- Capitolul III „ Echipamente de testare automată pentru avionică” analizează în detaliu tipurile de echipamente, arhitectura acestora, instrumentele frecvent utilizate, standardele din domeniu și prezintă unele contribuții ale autorului.
- Capitolul IV „ Structura programelor de testare funcțională. Exemple specifice pentru avionică” definește procesul de testare în avionică și prezintă exemple de arhitectură a unui program de testare, exemple de teste specifice. În final se analizează sintetic gradul de standardizare a diverselor instrumente.
- Capitolul V „Mediul de testare, limbaje de programare, drivere” este o prezentare de detaliu a componentelor majore software din structura unui echipament de testare automată pentru avionică. Autorul subliniază interdependențele și contribuția acestor componente la atingerea dezideratului de portabilitate. De asemenea prezintă opiniile și contribuțiile personale la diverse elemente din structură.

Teza se încheie cu capitolul de concluzii care subliniază elementelor cruciale pentru portabilitatea programelor de testare.

Teza este completată cu o bogată listă de anexe care exemplifică procesul de testare automată cu programe din experiența autorului.

Portabilitatea programelor de testare automată pentru avionică a devenit foarte importantă odată cu creșterea numărului de avioane și cu apariția unor generații noi de unități și instrumente de măsură. Trecerea testelor funcționale de la o generație de echipament la alta s-a dovedit extrem de costisitoare. La aceasta s-a adăugat și necesitatea proiectării testelor cu o mai mare viteză. Toate aceste tendințe au presat în direcția standardizării procesului și conservarea unei arhitecturi deschise a sistemului pentru a permite evoluția acestuia.

Teza a avut câteva izvoare bibliografice importante. Cele mai importante au fost manualele și documentațiile unităților testate, editate de companiile producătoare, care cuprind mii de pagini de informații tehnice. În aceeași categorie se află documentațiile instrumentelor folosite pe diverse stații, cu o subliniere pentru simulatoarele VXI pentru testarea comunicațiilor. Un sector bibliografic special l-au reprezentat standardele și proiectele de standarde ale diverselor grupuri de standardizare. Aici menționăm în special grupul SCC20 de la IEEE din cadrul secțiunii de instrumentație și măsuri, grupurile care

s-au ocupat de standardele ARINC și consorțiul IVI pentru clasele de instrumente. Multe din informațiile cuprinse în aceste standarde sau documentații au fost cuprinse în comunicări și lucrări prezentate la AUTOTESTCON care este manifestarea științifică anuală în domeniul testării automate.

Teza a fost elaborată sub îndrumarea atentă, profesională și colegială a Domnului prof. Dr. Ing. Viorel Popescu căruia autorul îi mulțumește pentru efortul și sprijinul acordat.

Autorul le mulțumește colegilor de la Timteh Electronics și celor de la Institutul Politehnic „Traian Vuia” cu care a colaborat la realizarea a numeroase proiecte în domeniul testării.

Pe parcursul elaborării tezei autorul a beneficiat de colaborarea unor colegi ingineri de o deosebită calitate profesională și intelectuală, dintre care mulți s-au stabilit în țări occidentale. Autorul dorește să le mulțumească pentru sprijinul, pentru ideile și competența lor, dar și pentru calitatea umană de care au dat dovadă pe parcursul colaborării.

Autorul mulțumește familiei pentru solidaritate și suport necondiționat.

## CAP. I

### Stadiul actual în testarea automată pentru avionică. [15][88][90][91][107][125][132][151][164][165][167][174][183][187]

În acest capitol autorul prezintă în formă succintă câteva elemente legate de definirea, aplicarea și interpretarea unor noțiuni specifice activității de testare a unor dispozitive electronice complexe. Aparatura electronică de la bordul unei aeronave reprezintă în cel mai înalt grad nivelul de proiectare, realizare și funcționare în domeniul electronicii aplicate. Ca urmare a complexității unui astfel de echipament, rezultă ca o necesitate asigurarea fiabilității maxime a acestuia. Un mijloc de a asigura fiabilitatea maximă a echipamentului de la bordul unei aeronave constă în elaborarea de tehnologii de testare avansate.

Avionica este sectorul din industria electronică care cuprinde dispozitivele electronice construite pentru industria de aviație și aeronautică. Dispozitivele din acest grup sunt dispozitive electronice complexe și foarte diverse conform necesităților unei aeronave și sunt considerate dispozitive cu grad critic de siguranță.

Testarea funcțională a acestor dispozitive decide utilizarea lor în timpul serviciului aeronavei, evidențiază defectele unității testate și permite diagnosticarea.

Testarea se face prin intermediul unor standuri de testare. Aceste standuri se numesc echipamente de testare automată deoarece procesul de testare este controlat de un program rulat de un calculator.

Programele de testare se scriu în limbaje specializate care descriu testul și permit comanda echipamentului de testare pentru execuția testului. Aceste limbaje au evoluat în timp devenind tot mai complexe.

Execuția testelor se face prin intermediul unor aplicații de tip „test executiv” care leagă programul de testare, de instrumentele de stimulare și măsură, de unitatea testată.

Concluziile la acest capitol sublinează dezvoltarea accelerată din acest domeniu și noile direcții care se conturează pentru testarea automată a dispozitivelor electronice utilizate în construcția avioanelor. Se remarcă importanța standardizării în procesul de testare funcțională pentru portabilitatea acestor teste și pentru dezvoltarea unitară a domeniului.

#### 1.1 Avionică. Tipuri de dispozitive. [21][36]-[52][55]-[80][152][100]

Dispozitivele electronice folosite de o aeronavă sunt mijlocul prin care nava este controlată. Gama de dispozitive este diversă. Pe aeronavele moderne se pilotează conform principiului “fly by wire”, asta semnificând că toate comenzile se transmit prin intermediul dispozitivelor electronice și atunci când se pilotează manual. În figura 1.1 este ilustrat acest lucru:

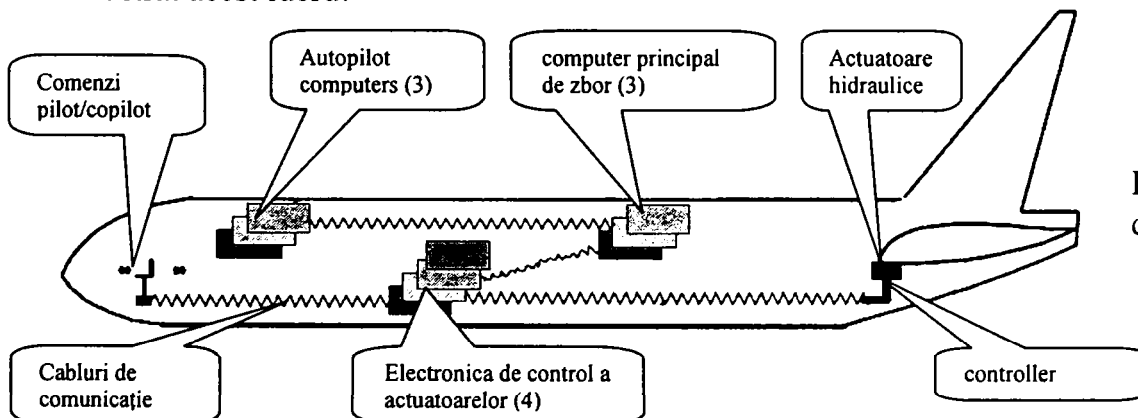


Fig 1.1 dispozitivele de navigație conectate prin fire cu pilotul



Pentru un avion din clasa modernă a avioanelor B777 figura 1.1 devine în detaliu figura 1.2

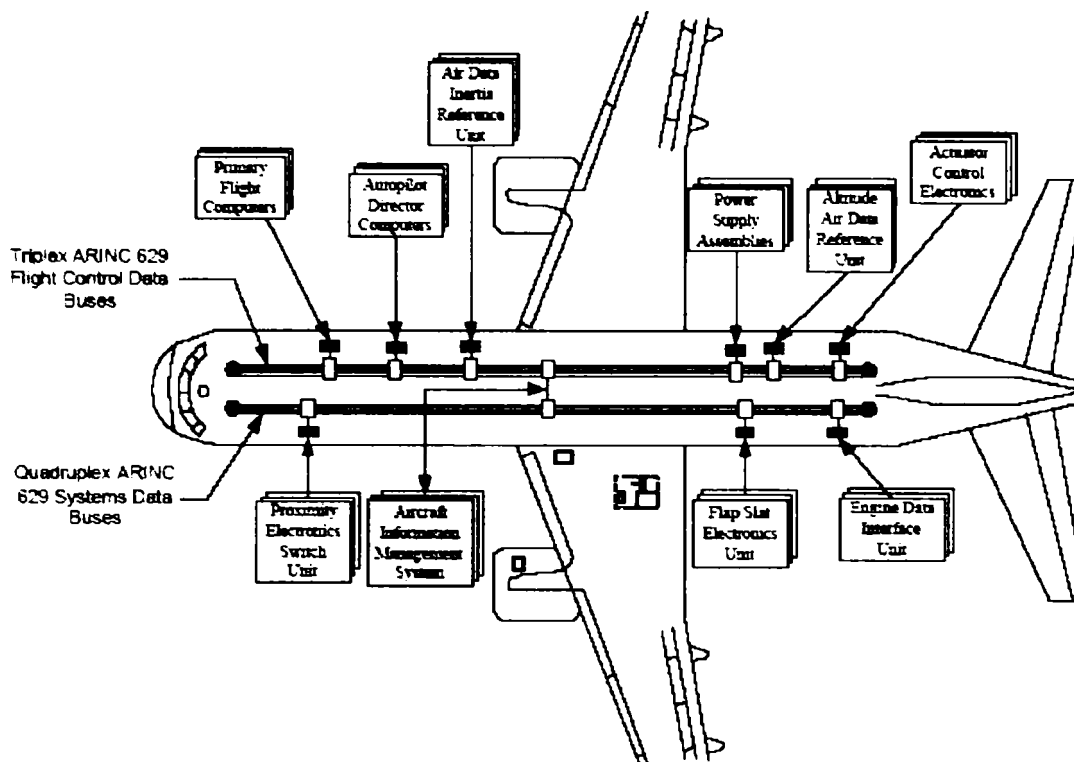


Fig. 1.2 Unitățile din sistemul de navigație și din sistemul stocare și întreținere al unei aeronave moderne.

În figura 1.2 se observă cele două sisteme de navigație și întreținere legate prin magistralele de comunicație de tip ARINC 629<sup>[21]</sup> (care se prezintă în capitolele 3 și 5).

În figura 1.3 se pot observa dispozitivele din cabina piloților (pentru un avion de generație nouă cu avionică de tip modular) care sunt în mare măsură, dispozitive de comandă și afișare. Dispozitivul din lateral este MCDU (Main Control Display Unit) văzut din față și spate. După cum se remarcă aceste dispozitive sunt construite în cutii metalice cu conectori pentru interconectare în sistem.



Fig.1.3 Vedere cabina piloților. Vedere MCDU

Ele sunt împărțite în dispozitive de putere, de comunicație, de reglare și control, de calcul, de navigație. Există<sup>[81][82]</sup> mai multe tipuri de circuite care prezintă interes din punct de vedere al procesului de testare.

Energia este furnizată în avion de către un generator care produce 115V AC și 400 Hz. Există un dispozitiv electronic care controlează atât excitația cât și indusul generatorului pentru a asigura o amplitudine și o frecvență constantă. Această unitate numită "GCU" (Generator Control Unit) asigură funcționarea corectă a sistemului de alimentare cu energie electrică. Toate dispozitivele electronice vor avea un circuit de alimentare care va transforma tensiunea alternativă de 115V AC și 400Hz într-o tensiune continuă, în general de 28V. Dispozitivele electronice care controlează acționarea unor elemente de control ale avionului cum ar fi mișcarea flaps-urilor sau puterea de tracțiune a motoarelor sunt dispozitive care au etaje de putere necesare pentru a acționa un servomotor sau un cuplaj magnetic. O astfel de unitate este cea denumită "Autothrottle", care asigură controlul tracțiunii motoarelor, iar o altă unitate, "Antiskid" controlează frânarea la aterizare. Există de asemenea unități electronice care controlează poziția avionului cum ar fi Pitch și Roll Computers sau dispozitive care controlează navigația cum ar fi FMC (Flight Management Computer) și numeroase altele.

Dispozitivele pot fi clasificate corespunzător cu generația din care fac parte. Există dispozitive realizate cu circuite analoge sau altele mai recente realizate digital. Deoarece aeronavele au durate de viață de cel puțin 20 de ani astfel de dispozitive coexistă. O categorie separată de circuite sunt cele de comunicație. În avionică există standarde și protocoale de comunicație<sup>[86]</sup> specifice acestei industrii. În ultima vreme au apărut standarde noi cum ar fi ARINC 629<sup>[21]</sup> sau AFDX. Unul dintre standardele cele mai folosite este de exemplu ARINC 429<sup>[17]</sup> care asigură comunicația între dispozitive.

Acest standard permite dispozitivelor electronice pe baza unor adrese standard să schimbe informații prin intermediul unui bus de comunicație. O situație particulară spre exemplu este transmiterea valorii unor mărimi analoge ciclic pe bus permițând astfel recepția în timp real de către alte dispozitive cu o mare stabilitate la perturbații. Acest gen de circuite impune pentru testare utilizarea unor circuite specializate.

## 1.2 Testarea funcțională. <sup>[11][7][18][20][25][166][195][197][200][136][137]</sup>

Testarea unui dispozitiv electronic folosit pe un avion care se află în serviciu (numit și LRU (Line Replaceable Unit)) se face periodic pentru a verifica dacă acesta poate fi folosit în siguranță. Procesul de testare este de tip funcțional. Unitatea este conectată la un testor prin intermediul conectorului său. Testorul aplică stimuli și măsoară răspunsurile unității verificând într-o anumită ordine funcțiile acesteia.

Testarea funcțională, prin definiție, este testarea unui dispozitiv considerat cutie neagră prin intermediul conectorului său cu exteriorul, în raport cu o specificație dată. În mod normal se verifică funcțiile acestuia și nu circuitele acestuia. Totuși uneori se pot verifica și anumite circuite și diagnostica funcționarea sau defectarea unor componente.

Procesul de verificare are loc într-o anumită ordine a funcțiilor unității. Mai întâi se testează anumite continuități fără a aplica tensiunea de alimentare a unității. Se testează apoi consumul de curent, existența unor tensiuni astfel încât tot circuitul de alimentare să fie verificate inclusiv circuitele de protecție. Testarea propriu-zisă a

funcțiilor unității se face fie individual fie pe grupe de funcții. Un test este compus dintr-o parte pregătitoare numită “set-up” în care se aduce unitatea în momentul funcțional necesar și verificarea propriu-zisă. Partea pregătitoare poate fi uneori foarte laborioasă fiind necesară parcurgerea unor pași anteriori. Există unități a căror testare durează și 8-9 ore. Din acest motiv testarea unității se face folosind aplicații de testare care permit executarea unui singur test, a mai multor teste sau executarea tuturor testelor. De asemenea există variante de testare care permit diagnosticarea circuitelor sau componentelor.

Decizia legată de buna funcționare a unității este luată pe baza verificării tuturor testelor prin rularea a ceea ce se numește “Full Functional Test” (Test Funcțional Complet). Dacă raportul testării nu are nici o eroare se consideră că unitatea este aptă de serviciu. În general acest test complet se rulează de mai multe ori (cel puțin 3) pentru ca rezultatul să fie considerat cert și stabil.

Mediul de execuție al unui program de testare, cuprinde opțiuni pentru operator, de testare parțială sau completă în varianta de parcurgere fără oprire sau cu oprire și diagnostic la erori.

Structura unui program de testare permite gruparea testelor astfel ca ele să poată fi executate separat. Aceste grupuri se numesc teste parțiale. Ele sunt utile pentru verificarea și mai ales diagnosticarea unor unități al căror test complet este foarte lung.

Programarea testelor funcționale se bazează pe teste punctuale (test cases) care sunt grupate și ordonate astfel încât testarea funcțională să acopere cât mai mult din verificarea completă a unității respective. Realizarea arborelui de teste necesar pentru verificarea unei unități se poate face în mai multe feluri. Astfel documentul descriptiv al testelor, elaborat de proiectantul unității poate fi manualul de întreținere CMM (Component Maintenance Manual) <sup>[36]-[52][55]-[70]</sup> al unității sau un document mult mai formalizat care se numește TRD (Test Requirement Document). Uneori proiectantul testelor funcționale nu are la dispoziție decât documentația dispozitivului (scheme și descrierea funcționării). În acest caz el are sarcina să dezvolte și documentul anterior programării testelor, respectiv TRD-ul. Definierea testelor și a condițiilor de testare reprezintă un proces iterativ în timp care are scopul de acoperi cât mai multe din erorile posibile într-un timp cât mai scurt.

Există mai multe criterii de abordare a generării seriei de teste:

- în funcție de generația din care face parte unitatea;
- de măsura în care o parte din teste au fost integrate în autotestele pe care unitatea le face automat la pornire, așa numitul BIST (Built In Self Test);
- de existența unor funcții speciale de testare pe care unitatea le are implementate din proiectare;
- de existența (pentru unitățile inteligente) unor programe speciale de testare care se încarcă în momentul testării.

### 1.3 Sisteme de testare automată<sup>[3][15][18][19][22][23][24][88][91][136][158][159][175][196][200][13]</sup>

Intregul sistem de testare automată (ATS – Automatic Test System) cuprinde Echipamentul de Testare Automată (ATE – Automatic Test Equipment), interfața cu unitatea testată (TUA – Test Unit Adapter) și dispozitivul electronic testat (UUT – Unit Under Test). Sistemele de testare automată au apărut ca o necesitate la numărul mare de

dispozitive electronice care alcătuiesc sistemul electronic al unei aeronave. Cu ani în urmă fiecare dispozitiv avea un testor specific. Acest lucru se întâmplă și în prezent dar numărul mare al acestor teste care ocupă spațiu și personal specializat a generat necesitatea înlocuirii acestora cu teste de uz general. Apariția testoarelor de uz general a generat la rândul ei necesitatea standardizării procesului de testare pe diversele nivele care îl alcătuiesc.

Un echipament de testare automată este alcătuit din mai multe entități caracteristice<sup>[110]-[120]</sup>. Se prezintă în figura 1.4 configurația testorului SMART CATS (produs de compania Rada Electronic Industries Ltd.) pe care s-au dezvoltat și integrat (cu participarea și sub coordonarea autorului) programe de testare pentru peste 200 de unități de și mai multe tipuri de avioane.

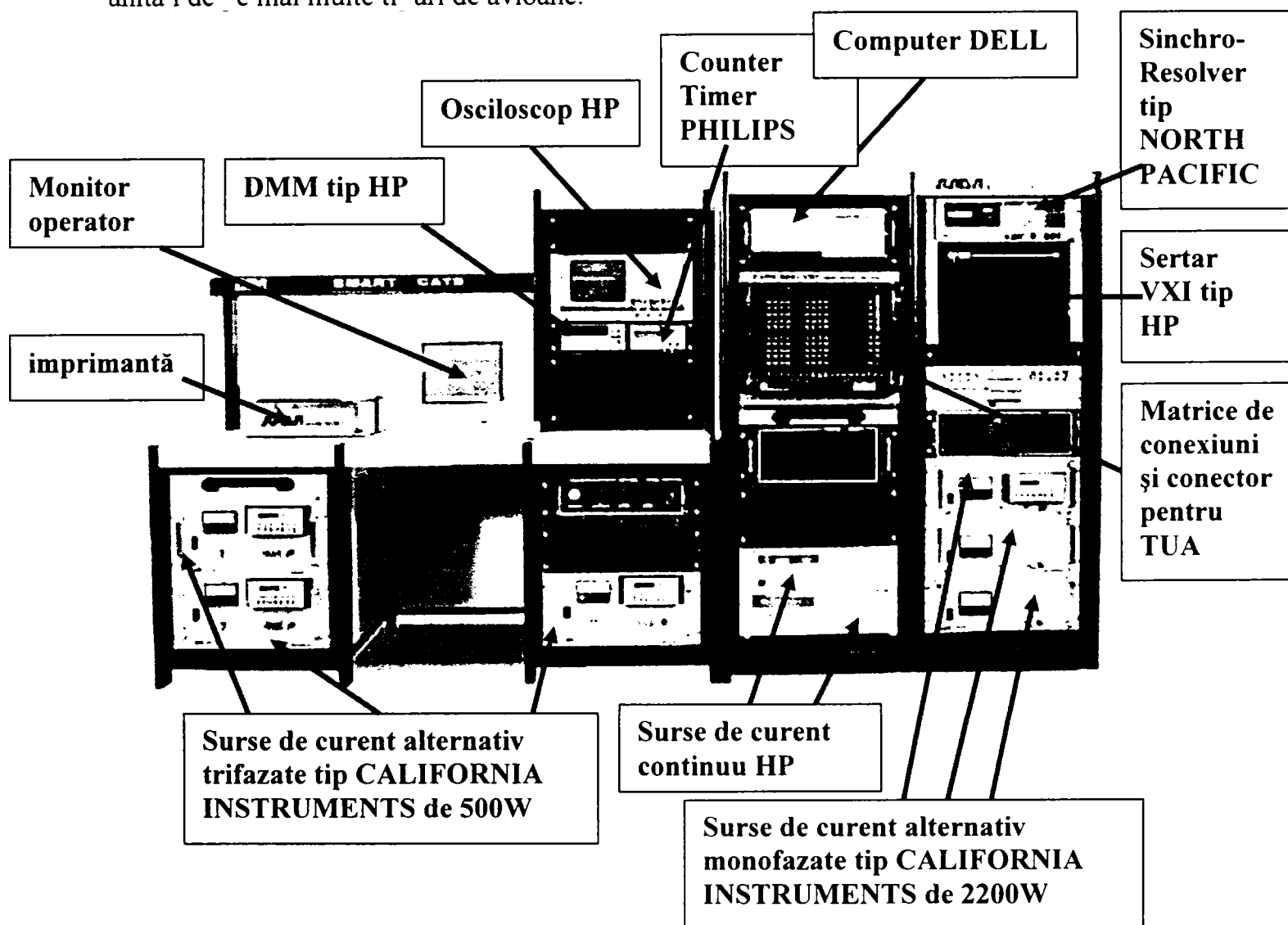


Fig. 1.4 Stație de testare tip SMART CATS

Testorul este în principiu alcătuit dintr-un computer care comandă printr-o magistrală de tip GPIB (General Purpose Instrument Bus)<sup>[23][24]</sup> instrumentele de măsură sau generatoarele de stimuli. Acestea sunt conectate la o matrice de conexiuni. Un element deosebit este sertarul VXI<sup>[131][153]</sup> care conține diverse instrumente și generatoare

de stimuli în format de plăci VXI sau VME. Sertarul este comandat prin intermediul unei plăci controller care face legătura între magistrala GPIB și magistrala sertarului VXI.

#### 1.4 Limbaje pentru programele de testare <sup>[1][2][4][7][122][123][124][25][160][71][87]</sup>

Ansamblul de programe care definesc testul funcțional complet al unei unități testate se numește TPS (Test Program Set). Aceste programe au fost realizate utilizând diverse editoare și diverse limbaje de programare. TPS-ul rezolvă descrierea testelor în secvența lor logică, rezolvă legătura cu echipamentul de testare automată și rezolvă legătura cu operatorul.

Limbajele de programare utilizate au evoluat în timp spre limbaje de nivel înalt sau chiar spre variante grafice. Primele programe de testare au fost scrise în limbaje tradiționale cum ar fi Basic standard sau C. Firmele au dezvoltat librării proprii pentru aplicațiile proprii de testare.

Un astfel de exemplu sunt programele de testare scrise pentru Concorde. Echipamentul de testare pentru Concorde denumit și UTE (Universal Test Equipment produs de British Aerospace) construit în perioada anului 1975, conform structurii standard pentru echipamentele de testare automată utilizează un computer HP 2116 pe care rula un interpretor BASIC. Proiectanții sistemului au construit o suită de subrutine care programau echipamentul de testare, astfel încât inginerii de testare să aibă posibilitatea dezvoltării programelor de testare. Spre exemplu programarea unei surse AC de tip Elgar era realizată astfel:

```
CALL (27,0) ;configurează sursa în mod trifazat
CALL (28,400,115) ;programează cele trei faze la 115V și 400Hz
```

Așa cum se remarcă programul este relativ dificil de citit din punct de vedere al testului iar legătura cu sursa este realizată într-un mod particular. Remarc aceste idei deoarece după aproape 30 de ani, compania BAAE (British Airways Avionic Engineering) componentă a grupului BA (British Airways) care se ocupă de testarea și întreținerea echipamentelor electronice a lansat un proiect de înlocuire a testoarelor. Tranziția de la sistemul vechi la sistemul nou a implicat atât înlocuirea echipamentului cât și a programelor și mai ales revalidarea tuturor testelor (pentru toate unitățile). *Se va prezenta un translator de programe în cap. 4 la a cărui proiectare și realizarea a participat autorul.*

Limbajele de programare a testelor au evoluat în mai multe planuri. Astfel s-au dezvoltat limbaje care sunt specializate pentru testare și care descriu acțiunea de măsurare sau stimulare care se execută. Un astfel de limbaj dezvoltat de compania Rada Electronic Ind. Cele două linii de program de mai sus (care programează sursa AC) arată în acest caz astfel:

```
INIT-PS-N PS1 ADR ALONE ;inițializează sursa PS1 la adresa
;ADR în mod independent
PS-AC-V PS1 115VAC 400Hz ;setează tensiunea și frecvența
```

Un pas important s-a făcut când companiile aeriene prin consorțiul ARINC care se ocupă cu standardizarea în domeniul aviației a introdus limbajul ATLAS (Abreviated Test Language for All Systems). Acesta a ordonat structura unui program de testare și a stabilit sintaxa limbajului. Astfel mai întâi se declară toate aparatele de măsură și stimulare, apoi se declară conexiunile iar în final se programează testele. Cele două linii de mai sus (programarea sursei AC) în limbajul ATLAS conform standardului ARINC 626 vor fi în secțiuni diferite și vor arăta astfel:

```
001100 REQUIRE, 'AC-SUPPLY', SOURCE, AC SIGNAL,  
CONTROL,  
VOLTAGE RANGE 0V TO 200V CONTINUOUS,  
FREQ RANGE 100 HZ TO 600 HZ CONTINUOUS,  
LIMIT,  
CURRENT MAX 1.5 A,  
CNX HI LO $
```

```
032000 DEFINE, 'POWER', SIGNAL, AC SIGNAL USING 'AC-SUPPLY',  
VOLTAGE () RANGE 0 V TO 180 V,  
FREQ 400 HZ,  
CURRENT MAX 1.3 A,  
CNX HI 'J1C-04 115VAC'  
LO 'J1C-01 115VAC RET' $
```

```
210000 APPLY, 'POWER', 115 $
```

### 1.5 Execuția testelor.<sup>[71][8][2]-[6][160][121][122][12]</sup>

Există două moduri de a executa efectiv un program de testare.

Un mod constă în compilarea programului împreună cu alte librării și generarea unui executabil. În momentul în care aplicația generată este rulată ea execută acțiunile programate. Există desigur diverse combinații arhitecturale ale acestui gen de aplicație cum ar fi compilarea testelor sub formă de librării dinamice și integrarea lor într-o aplicație de uz general care implementează funcționalitatea sistemului sau pur și simplu integrarea codului într-un cod template și compilarea codului rezultat.

Un alt mod constă în utilizarea unui interpretor de limbaj care citește programul și îl execută pas cu pas.

Toate sistemele trebuie să asigure câteva funcții de bază. Acestea sunt :

- Să asigure legătura cu instrumentele;
- Să asigure legătura cu operatorul;
- Să implementeze structura necesară pentru testarea funcțională a dispozitivelor electronice de tip avionică;
- Să asigure generarea și stocarea rapoartelor;

În continuare se prezintă câteva exemple de aplicații de testare ale unor companii care au dezvoltat sisteme de testare automată pentru care autorul a dezvoltat programe de

testare. Exemplele sunt prezentate în ordine cronologică din punct de vedere al evoluției mediului de testare.

Sistemul de testare dezvoltat de către BAE (British Aerospace) pentru BAAE (British Airways Avionic Engineering) se numea UTE (Universal Test Equipment)<sup>[71]</sup> și folosea o aplicație Basic de tip interpretor care avea incluse rutinele de comanda a instrumentelor. Aplicația avea implementată o interfață de tip consolă cu câteva funcții disponibile pentru operator. De asemenea putea genera un raport. Sistemul funcționa sub un sistem de operare care nu mai este actual, totuși se menționează pentru că a fost sistemul de testare pentru avionul Concorde, singurul supersonic pe o linie comercială din lume.

Sistemul de testare<sup>[8]</sup> dezvoltat de Rada Electronic Industries Ltd. funcționează cu un testor modern, pe o platformă Windows. Aplicația software a fost dezvoltată sub DOS ca sistem de operare dar portată apoi sub Windows. Test Executivul dezvoltat de RADA este un interpretor al unui limbaj propriu orientat spre măsurători. Aplicația realizează legătura cu instrumentele prin drivere specifice incluse în executabil. Astfel orice instrument nou adăugat sistemului implica recompilarea aplicației și generarea unui nou executabil.

Sistemul de testare dezvoltat de Aerospațiale împreună cu Arinc inc.<sup>[21-16]</sup> reprezintă un moment de tranziție spre aplicațiile deschise în care se pot adăuga module noi. Totuși acest sistem este construit mai aproape de o aplicație de tip informatic bazată pe limbajul C, fiecare test fiind de fapt o recompilare cu generare de noi aplicații.

Sistemul de testare dezvoltat Tyx corp. sub denumirea de PAWS<sup>[160]</sup> utilizează ca limbaj de programare limbajul ATLAS. Acesta are implementată la nivel de sistem o librărie de nivel scăzut de operare cu porturile sistemului. Cu funcțiile acestei librării se dezvoltă de către utilizator o suită de drivere de nivel înalt care sunt apoi folosite pentru executarea programului. Sistemul reprezintă un progres important deoarece leagă în mod practic entități cum ar fi semnal, capabilitate, conexiune, care aparțin de un mod mai general de abordare a testării. Mediul PAWS este dezvoltat atât sub platforma Windows cât și sub UNIX și utilizează mai multe subset-uri de limbaj pentru diverse variante de ATLAS. PAWS este larg folosit în aplicații de testare militare.

Sistemele de testare bazate pe aplicația TestStand<sup>[121][122]</sup> dezvoltată de National Instruments reprezintă o abordare modernă de dezvoltare a unui mediu de testare. Test Stand permite existența unui limbaj de testare de nivel înalt care poate fi creat de către utilizator. Un element nou îl reprezintă posibilitatea creerii unui „Process Model”. Execuția unui test este un proces complex care implică existența unei succesiuni de acțiuni simple. Acest proces se numește „Process Model”, el poate fi declarat la nivel de sistem și aplicat tuturor testelor în mod automat. Sistemul permite de asemenea existența unor acțiuni concurente precum și adăugarea unor module noi, compilate în afara mediului. Practic TestStand permite crearea unor aplicații de testare care să includă toate noile abordări care sunt specificate în standardul IEEE 1641<sup>[200]</sup>.

Un capitol foarte important în executarea programelor de testare îl reprezintă legătura cu instrumentele. Aceasta se face prin driverele de instrument. În ultimii ani există tendința de a standardiza instrumentele prin definirea unor clase de instrumente. O astfel de clasă definește capabilitățile de bază pe care un instrument din categoria respectivă trebuie să le îndeplinească. Această standardizare permite în final utilizarea de către

programele de testare a unor instrumente virtuale nimate IVI (Interchangeable Virtual Instruments). Această abordare permite înlocuirea instrumentului fizic cu altul care aparține clasei respective fără a modifica programul de testare.

## 1.6 Concluzii.

Domeniul testării automate se află într-un proces de transformare fundamentală la nivelul filosofiei de testare. Există câteva direcții în care s-au creat mari consorții internaționale formate din marile companii, universități, instituții de standardizare. Aceste consorții au ca obiectiv crearea unor documente care să ghideze activitatea de testare.

Din studierea standardelor și consorțiilor industriale active și valide în prezent autorul a constatat:

- Necesitatea descrierii specificației de testare independent de platforma software și hardware, a fost concretizată în standardul „IEEE 716<sup>[122]</sup> Test language for all Systems – Common/Abbreviated Test Language for All Systems,, care definește un limbaj de nivel înalt pentru testare. Acest limbaj este destinat să descrie testele într-un mod independent de orice sistem specific de testare. Standardul IEEE 716 definește testul funcțional ca structură și entitățile participante la proces.

- Necesitatea descrierii procesului de testare orientată spre semnale este acoperită de standardul “IEEE 1641-2004<sup>[200]</sup> Standard for Signal and Test Definition”. De asemenea acest standard propune un set comun de semnale de bază, care pot fi conectate prin algoritmi matematici astfel încât să se poată sintetiza semnale complexe utilizabile pe orice platformă de testare.

- Necesitatea unui management coerent al procesului de proiectare a testelor, care este acoperită de standardul “ARINC – 625<sup>[19]</sup> Quality management process for test procedure generation “ care specifică regulile de proiectare a unui program de testare funcțională pentru avionică.

- Existența unui deosebit interes pentru standardizarea domeniului instrumentației virtuale. Acest lucru s-a concretizat în proiectele de standarde generate de consorțiul IVI<sup>[26]-[35]</sup> (consorțiu pentru standardizarea în domeniul instrumentației virtuale) dintre care autorul le amintește pe cele mai frecvent utilizate:

- IVI-3.1: Driver Architecture Specification
- IVI-4.1: IviScope Class Specification
- IVI-4.2: IviDmm Class Specification
- IVI-4.3: Fgen Class Specification
- IVI-4.4: IviDCPwr Class Specification
- IVI-4.6: IviSwth Class Specification
- IVI-4.7: IviPwrMeter Class Specification
- IVI-4.8: IviSpecAn Class Specification
- IVI-4.10: IviRFSigGen Class Specification

Aceste standarde definesc câteva clase de instrumente pe care le respectă toți producătorii de instrumente. Toate aceste documente de standardizare elaborate prin efortul comunității științifice sublinează orientarea în domeniul construcției de teste spre elemente standardizate utilizabile în diverse aplicații sub formă generică.



În domeniul limbajelor de programare autorul a constatat o orientare spre limbaje de nivel înalt cu folosirea semnalelor ca entități descriptive care permit conservarea programelor de testare indiferent de platformă.

Autorul a constatat un deosebit interes pentru portabilitatea programelor de testare funcțională și pentru structurile de testare deschise care permit integrarea și extinderea cu noi domenii tehnologice.

## CAP. II

### Testarea funcțională pentru avionică.

#### Portabilitatea programelor de testare <sup>[22][18][7][55]-[70][93][98][111][125]</sup>

*În acest capitol se prezintă procesul de testare funcțională în avionică: definiție, descrierea testelor, programarea testelor, alocarea resurselor.*

*Testarea funcțională a unei unități electronice de aviație este un proces de testare succesivă a funcțiilor unității respective în raport cu o specificație a acestora.*

*Programul de testare are ca sursă de informație diverse documente generate în procesul de proiectare, fabricație și utilizare. Autorul abordează structurarea proceselor de testare astfel încât să se poată obține un set de programe și fișiere portabile în anumite condiții.*

*Testarea funcțională cuprinde șase entități semnificative: TPS (Test Program Set), ATE software (care cuprinde aplicațiile și procesele care sunt rezidente pe testor și care execută programul de testare), ATE Instrumente (care cuprinde instrumentele de măsură și stimulare), Matricea de Conexiuni împreună cu Conectorul testorului și cablarea acestuia, Interfața de Testare, Unitatea Testată.*

*Autorul descrie procesele, aplicațiile și documentele care participă la realizarea testului funcțional accentuând interfețele dintre domenii și condițiile obligatorii pentru portabilitatea testării.*

#### 2.1 Testarea funcțională în avionică. <sup>[20][200][197][199][205]</sup>

Dispozitivele electronice din alcătuirea unei aeronave, sunt verificate funcțional periodic, pentru a putea fi utilizate. **Testarea funcțională, este procesul de verificare a unui dispozitiv electronic, din punct de vedere al capacității de execuție a tuturor funcțiilor pentru care a fost proiectat, în condiții cât mai apropiate de cele reale.** Testarea funcțională este un șir de experimente succesive în care funcțiile unității sunt verificate. Un astfel de experiment verifică o funcție sau un grup de funcții dependente una de alta și se numește test. Această succesiune de teste, are ca obiectiv descoperirea eventualelor erori de funcționare a unității respective. Un test este un proces independent, alcătuit din două părți, prima care crează condițiile (set-up) de verificare, a doua în care se fac verificările propriu-zise. În final testul se încheie cu o decizie de validare sau invalidare a verificărilor (GO, NOGO). În cazul unui test funcțional o unitate este aptă de serviciu dacă a trecut toate testele. Testele se aleg astfel încât să nu interfere între ele. Dacă un test cade (se termină cu erori), acest lucru nu trebuie să blocheze execuția altor teste. Acest lucru permite evaluarea gradului de funcționalitate al unității testate.

Procesul de testare funcțională este un proces complex la care participă componente software și hardware care se clasifică în următoarele domenii de interes :

- **TPS (Test Program Software)** – reprezintă suma programelor de testare și a fișierelor de configurare specifice unui test funcțional, care sunt proiectate pentru o anumită unitate.
- **ATE software** – reprezintă suma aplicațiilor software rezidente pe echipamentul de testare automată care execută programele de testare și celelalte funcții legate de testare.

- **ATE Instrumente** – reprezintă toate instrumentele care alcătuiesc echipamentul de testare și care generează stimulii sau măsoară diverse mărimi.
- **Conectorul Echipamentului de Testare** automată și legăturile acestuia cu resursele testorului. Acest conector se definește în mod particular pentru un domeniu tehnologic (spre exemplu avionica)
- **Interfața de Testare** – reprezintă conexiunile între conectorul testorului și unitatea testată, precum și resursele suplimentare necesare. Aceasta este însoțită de obicei de un document descriptiv.
- **Unitatea Testată** – reprezintă obiectul testării și este însoțită de mai multe documente care o descriu, și instrucțiuni de operare în timpul testării.

*Acest capitol abordează problema portabilității testelor funcționale din zona tehnologică a avionicii. Autorul analizează pe parcursul tezei procesul de testare automată pentru avionică cu obiectivul de prezentare a acestui domeniu tehnologic, asociat cu preocupările și cercetările personale în domeniu pe diverse paliere și convergent spre definirea unei structuri portabile pentru testarea automată în avionică.*

Domeniile enumerate sunt analizate din punct de vedere al portabilității și al interdependențelor necesare pentru atingerea acesteia.

## 2.2 Descrierea testelor funcționale. (TPS)

Procesul de proiectare a testelor care alcătuiesc un program de testare funcțională cuprinde mai multe etape. Programul de testare este scris pe baza informațiilor provenite dintr-un document care descrie testele. Acest document este creat pe baza diagramelor funcționale definite de proiectantul dispozitivului sau mai recent de către inginerul care proiectează testele funcționale. Diversitatea acestor documente descriptive a dus la necesitatea unei abordări mai formale a acestui proces. Avionica este un domeniu în care testarea este critică pentru siguranța utilizării avioanelor. Din acest motiv s-a acordat o mare atenție modului de generare a documentelor care descriu testarea. La unitățile de pe avioanele mai vechi, procesul de testare este descris doar în CMM (manualul de întreținere al unității). Manualul unității este o documentație completă care cuprinde schemele și descrierea unității, precum și echipamentul și procesul de testare. Cu toate acestea manualele au diferențe în modul de descriere a unor teste similare, fapt care impune găsirea unui mod mai precis de descriere a testelor și mai ales a unui mod independent de echipamentul de testare. Astfel apare standardul ARINC 416 care definește limbajul ATLAS (Abbreviated Test Language for Avionic Systems) care precizează modul de descriere a testelor, a senzorilor și stimulilor necesari pentru testare precum și modul de organizare a programului de testare. Precizăm că ARINC 416 este un standard care privește testarea funcțională pentru avionică în toate dimensiunile acestui proces, nu doar formalismul limbajului ATLAS. Pentru un timp s-a folosit acest standard, după care s-atrecut la ARINC 626 (care definește ATLAS ca fiind “Abbreviated Test

Language for All Systems”, deci se extinde domeniul de aplicare) , cu echivalentul IEEE 716. În paralel cu limbajul ATLAS s-a definit și structura unui document numit TRD (Test Requirement Document) care este foarte apropiat de ATLAS și care la unitățile noi a devenit document sursă pentru generarea descrierii ATLAS. Prezentăm în figura 2.1 succesiunea activităților necesare pentru descrierea în format ATLAS a șirului de verificări care alcătuiesc testul funcțional complet (Full Functional Test) al unității.

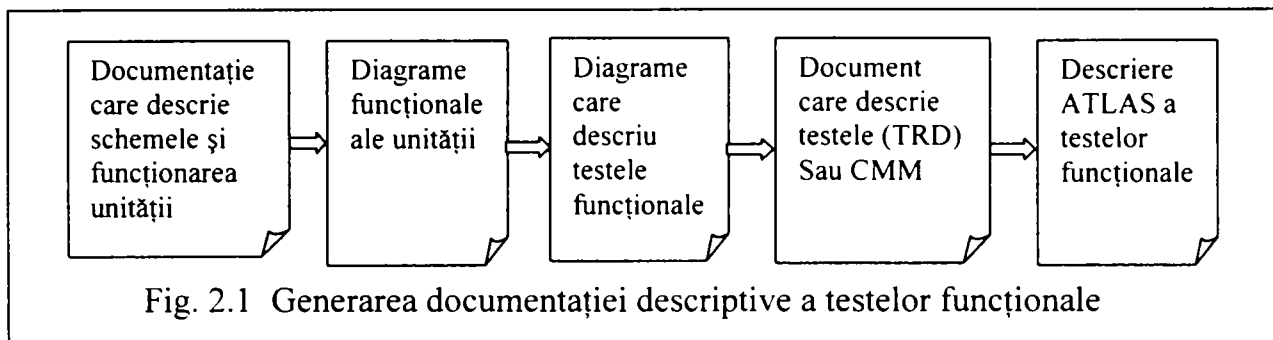


Fig. 2.1 Generarea documentației descriptive a testelor funcționale

Se remarcă faptul că **ATLAS** a fost inițial **definit ca un limbaj descriptiv**. După crearea descrierii ATLAS a unui test funcțional, acesta poate deveni sursă de informații pentru programe de testare indiferent de limbajul de programare a testelor. Datorită caracterului descriptiv ATLAS a fost conceput de la început ca un sistem deschis permițând adăugarea de noi domenii de tehnologie (deci verbe și atribute noi). Directiva “EXTEND” a fost foarte controversată datorită posibilității de a introduce în mod necontrolat elemente de limbaj noi de către oricine și deci pierderea caracterului de standard. Din acest motiv au apărut subseturile de limbaj care pot fi modificate numai cu aprobarea organismului de standardizare.

### 2.3 Programarea testelor. (TPS)

Programul de testare este entitatea care implementează descrierea testelor pe un echipament de testare. În realitate se crează un set de fișiere (Test Program Set) care permit execuția testelor de către echipamentul de testare. Acest set de fișiere descrie într-un format special elementele virtuale cu care programul operează și legătura acestora cu elementele fizice ale stației. Prima procesare asupra programului de testare după scrierea acestuia este verificarea sintactică. Verificarea sintactică este legată de limbaj și de forma de editare a limbajului (uneori verificarea se face automat la editare). Verificarea sintactică este o operație care se execută și asupra documentului descriptiv atunci când acesta este o descriere de tip ATLAS.

După acest pas urmează alocarea resurselor. Obiectelor virtuale din program li se asociază elemente fizice din structura echipamentului. Alocarea resurselor s-a făcut și se face încă în majoritatea cazurilor manual de către programator. Există aplicații care fac automat alocarea din documentația de descriere (când este ATLAS) dar greșesc uneori, implicând astfel o post verificare. Acest lucru se întâmplă din cauza capabilităților pe care documentul de descriere le asociază senzorilor sau stimulilor. Din cauza caracterului general pe care documentul descriptiv îl are uneori, alocatorul automat găsește mai multe opțiuni la dispoziție. Procesul de alocare a resurselor generează o descriere a legăturii dintre resursele virtuale și cele reale.

O resursă particulară în structura unui echipament de testare automată este matricea de conexiuni. Aceasta face legătura dintre diverse puncte de conexiune ale unității de testare și porturile instrumentelor. Alocarea acestor conexiuni este dificilă înainte de execuția propriu-zisă a programului. Alocarea înainte de execuție exclude conexiunile parametrizate. Acest lucru crește excesiv dimensiunea programelor. Conexiunile parametrizate impun existența unui alocator dinamic în timpul execuției. Dacă operațiunea de alocare se face static este nevoie de o descriere a conexiunilor posibile sau de un algoritm de găsimire a acestora. Pe baza acestei descrieri la compilarea programului de testare se includ și conexiunile reale în structura executabilului generat. Se prezintă în figura 2.2 pașii necesari până la execuția programului de testare

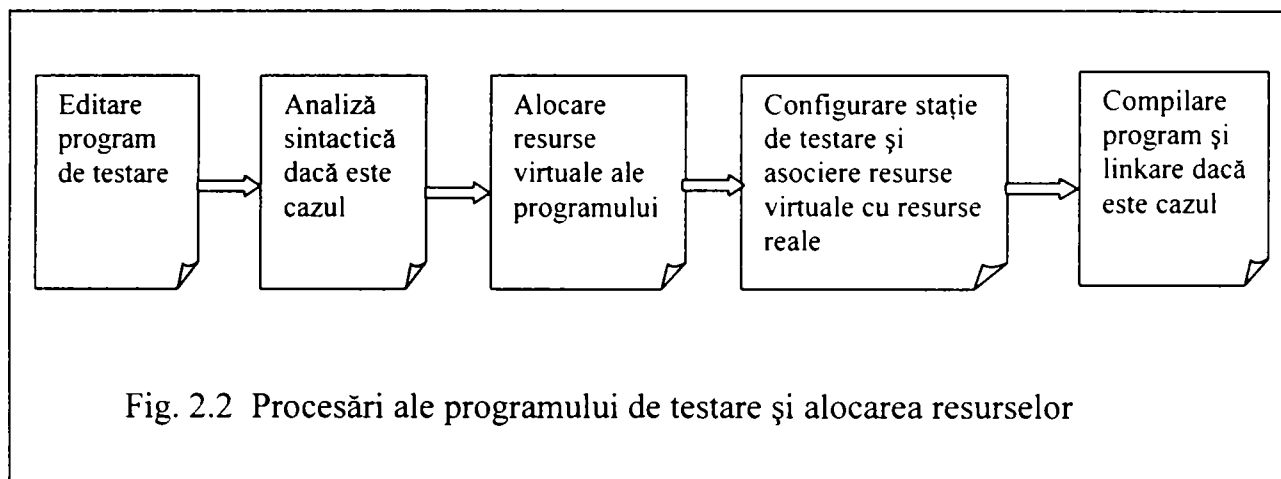


Fig. 2.2 Procesări ale programului de testare și alocarea resurselor

#### 2.4 Administrarea echipamentului de testare și execuția programelor. (ATE software)

Legătura dintre programul de testare și echipamentul fizic se realizează de către aplicațiile care administrează procesul de testare. Acestea, mai multe la număr, permit configurarea testorului, instalarea de instrumente, editarea diverselor fișiere, rularea programului, generarea de rapoarte, conectarea la baze de date și la o rețea externă. Tot acest ansamblu de aplicații pe o platforma de operare se numește mediu de testare. Cel mai important aspect îl reprezintă legătura cu instrumentele. Această legătură se realizează prin drivere. În ultimii ani datorită necesității de interschimbabilitate a instrumentelor, prin evoluția acestora și modernizarea testoarelor, s-au dezvoltat protocoale și standarde noi referitoare la drivere. Astfel a apărut consorțiul IVI (Instrumente Virtuale Interschimbabile) care definește modul de construcție a driverelor IVI, dar mai ales definește noțiunea de clase de instrumente și capacitățile asociate acestora. Acest lucru generează posibilitatea proiectării unor testoare a căror configurare se face la nivel de clase de instrumente. Aplicațiile care administrează procesele de pe echipamentul de testare pentru a conserva portabilitatea programelor de testare trebuie să accepte limbaje independente de hardware, legătura cu acesta fiind făcută prin drivere de nivel înalt legate la rândul lor cu drivere specifice ale instrumentelor. Alocarea dinamică a conexiunilor în principiu nu afectează portabilitatea, algoritmul local de conectare dacă este văzut printr-un driver IVI nu are importanță. Uneori totuși nivelul de complexitate al driverelor IVI nu este suficient și este necesară adăugarea unui modul suplimentar care

gestionează o matrice complexă deasupra acestor drivere. Acest modul devine parte din setul portabil.

## 2.5 Instrumente folosite la realizarea testoarelor (ATE Instruments) și modul de conectare a acestora la Conectorul Testorului.

Instrumentele care se folosesc astăzi sunt de două feluri: de sine stătătoare (care pot fi folosite independent) sau instrumente sub formă de plăci electronice în sertare VXI sau PXI sau în computere industriale. În avionică se folosesc anumite tipuri de instrumente datorită unei anumite tipologii specifice a circuitelor electronice testate. Aceste instrumente sunt comandate prin intermediul unor magistrale de către drivere. Instrumentele sunt conectate prin matricea de conexiuni și fire la un conector imens, care este conectorul testorului. Se prezintă în figura 2.3 legătura funcțională dintre test executiv (aplicația care execută programul de testare) și conectorul testorului:

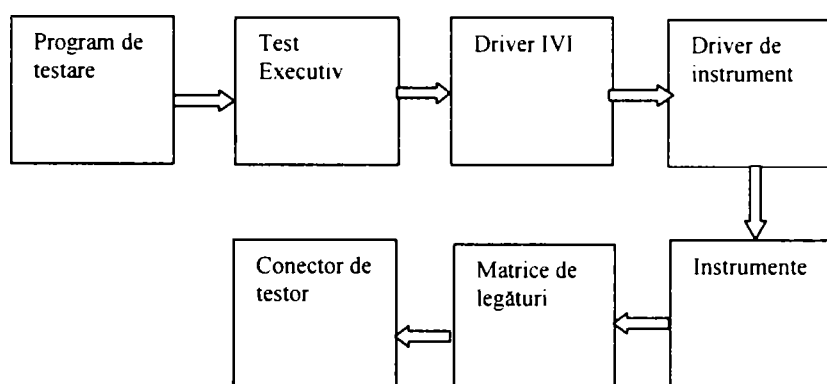


Fig. 2.3 Schema de principiu a propagării comenzilor de la programul de testare transformate în semnale spre conectorul testorului

Se remarcă alături de driverele și clasele de instrumente IVI necesitatea conectorului standard al testorului. Acesta este definit pentru avionică de către standardul ARINC 608.

## 2.6 Interfața de Testare și Unitatea Testată

Interfața de testare (dacă testorul ar avea toate resursele necesare) este doar un cablu de conexiuni între acesta și unitatea testată. De multe ori este necesară completarea resurselor testorului cu resurse care se adaugă în interfață. Acestea însă trebuie văzute ca aparținând testorului. Pentru asigurarea portabilității singura informație care se adaugă setului portabil este descriptorul conexiunilor între conectorul testorului și conectorul unității testate. Adăugăm la schema din figura 2.3 conexiunea la interfața de testare și cu unitatea testată și schema devine cea din figura 2.4:

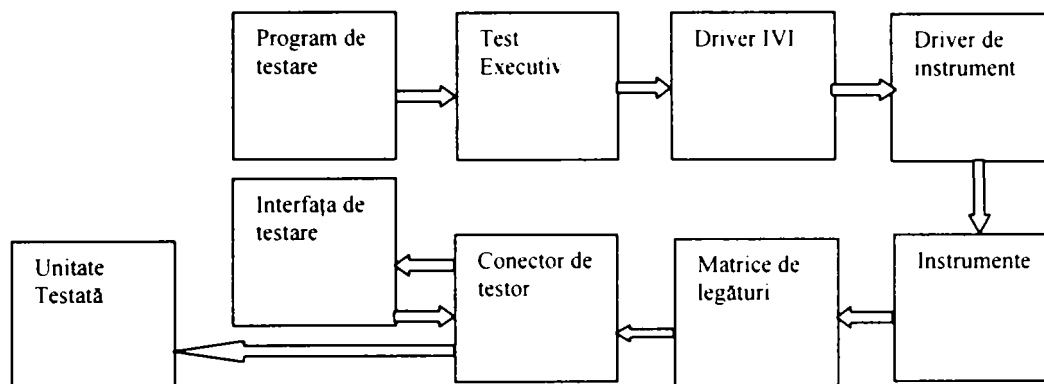


Fig. 2.4 Schema de principiu a propagării comenzilor de la programul de testare spre unitatea testată

După cum se remarcă interfața de testare este transparentă pentru portabilitate.

## 2.7 Considerații asupra portabilității programelor de testare<sup>[203][204][206]</sup>.

Procesul de alocare a resurselor a fost și este problema fundamentală în fața portabilității programelor de testare. Portabilitatea programelor de testare este un obiectiv fundamental pentru producătorii de teste și de avionică, atingerea acestuia implicând reduceri foarte mari de costuri și de timp. **Portabilitatea programelor de testare se definește ca fiind procesul de transportare a unui set de programe și documente asociate descrise într-un mod independent de un context hardware și software de la o platformă de testare la alta.** Portabilitatea este cu atât mai bună cu cât operațiunile de adaptare la noua platformă sunt mai puține sau nu sunt necesare.

Portabilitatea programelor de testare este mai dificilă decât cea a aplicațiilor software de sine stătătoare care sunt dependente doar de sistemul de operare. Problema portabilității este precedată de problema alocării resurselor. La descrierea testelor se folosesc pentru stimuli și senzori entități cu capabilități foarte diverse. Cea mai precisă descriere, cea realizată în ATLAS, acceptă un domeniu foarte larg de entități fizice și capabilități asociate. În prezent nici o aplicație nu este capabilă să discearnă cu precizie și mai ales să selecteze un obiect real asociat. Această necesară suprapunere dintre descriere și mulțimea reală a resurselor unui testor a fost abordată la momente diferite din două unghiuri diferite sau cel puțin independente unul de altul. Un punct de vedere a fost cel al descrierii testelor care a încercat să folosească entități virtuale care să facă descrierile independente de platformă. Un alt punct de vedere este cel al dezvoltatorilor de drivere de instrumente care urmărind interschimbabilitatea acestora au creat reguli și proceduri independente pentru atingerea acestui obiectiv. Mulțimea instrumentelor virtuale a fost împărțită pe clase de instrumente. Fiecărei clase de instrumente i se asociază ca în programarea clasică pe obiecte un model funcțional, atribute și metode care toate construiesc capabilitățile clasei respective de instrumente. După cum se remarcă trecerea de la descriere la programul de execuție în acest moment este imposibil de realizat automat fiind necesară această legătură între obiectele virtuale cu care operează cele două. Tehnologia IVI (Instrumente Virtuale Interschimbabile) descrie foarte precis clasele de instrumente și capabilitățile asociate, producătorii de instrumente punând la

dispoziție deja drivere IVI, și de aceea asigură portabilitatea între dispozitivele din clasa respectivă. Standardul IEEE 716 C/ATLAS este mai puțin precis din punct de vedere al legăturii cu echipamentele reale. Totuși există numeroase încercări de al transforma într-un limbaj de programare. Atunci când sinteza instrumentelor din instrumente simple va fi posibilă pe scară largă, există posibilitatea ca procesul de alocare să se realizeze direct deși varietatea și multitudinea de posibilități va face foarte complex acest proces și probabil se vor aduce modificări standardului. Rezolvarea acestei rupturi în fond între planul teoretic, descriptiv al testelor și planul real al structurii echipamentelor de testare se face prin intercalarea unor procesări ajutătoare între programul de testare și execuția acestuia. Primul pas este configurarea testorului utilizând clase de instrumente instrumente virtuale. Al doilea pas este transformarea limbajului descriptiv într-un limbaj intermediar care translatează elementele virtuale descriptive în elemente virtuale IVI și transformă verbele cu acțiune multiplă în verbe simple. Traducerea dintr-un limbaj în altul este un proces automat, dar realizarea legăturii dintre cele două mulțimi virtuale de resurse este un proces manual sau în cel mai bun caz semiautomat. Totuși această descriere se face o singură dată la integrarea programului de testare și devine parte din setul portabil.

Portabilitatea conexiunilor prezintă unele elemente specifice. În primul rând alocarea căilor de conectare trebuie să fie dinamică pentru a păstra generalitatea și posibilitățile de parametrizare ale programului. Găsirea căilor de conectare este un proces dependent de structura matricii de conexiuni. Este necesar un descriptor al matricii de conexiuni care să fie utilizat împreună cu driverele IVI de către alocatorul dinamic. Se prezintă în figura 2.5 (transformarea figurii 2.2 pentru o structură portabilă) procesele de traducere a programului sursă și de configurare și alocare a conexiunilor:

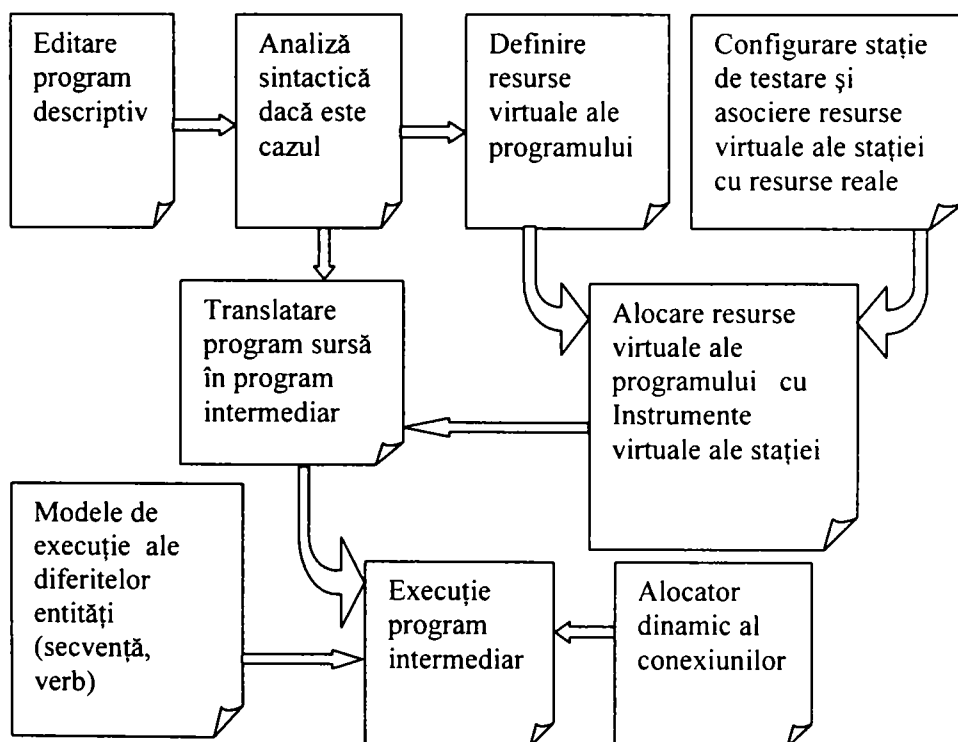


Fig. 2.5 Procesări ale programului de testare și alocarea resurselor în varianta portabilă



Portabilitatea testelor funcționale nu se reduce la programele propriu-zise. Echipamentul stației și mai ales interfețele acestuia trebuie să asigure portabilitatea. Primele experimente legate de portabilitate s-au făcut odată cu trecerea la o nouă generație de teste și apariția necesității de translație a unor teste vechi pe noile echipamente. Autorul a participat la translația a peste 20 de programe de testare pentru avionică din sistemul avionului Concorde de pe testorul vechi pe un testor nou. Translația dintr-un limbaj în altul a fost simplă, problemele apărând la alocarea instrumentelor și re-proiectarea interfețelor. Procesul a impus crearea unui set de instrumente virtuale ale testorului cu care să funcționeze programul translatat. Tot acest experiment a avut loc într-o perioadă când consorțiul IVI era la început și nu s-au folosit clasele de instrumente standardizate. Totuși principiul de translație a fost același: S-au creat instrumente virtuale la nivel de program, la nivel de testor, apoi s-a realizat legătura între aceste două mulțimi, s-a translatat programul sursă în noul limbaj și în final s-a validat noul program. Efortul de migrare a programelor de testare a fost mult redus, dar inexistența unei standardizări la nivelul instrumentației de pe noul testor (sub formă de clase de instrumente) și inexistența standardizării la nivel de instrumente și de conector al echipamentului pe vechiul testor a impus proiectarea acestor entități și evident creșterea timpului necesar translației.

Efortul de standardizare și de structurare a diverselor segmente tehnologice din procesul de testare automată pentru avionică a implicat și implică în continuare un număr important de companii, institute de cercetare și universități. Portabilitatea programelor de testare este un proces care se va modifica și perfecționa în permanență. Portabilitatea este legată și de modernizarea tehnologică, de apariția unor noi domenii tehnologice. Dezideratul este realizarea unor structuri și proceduri de proiectare a echipamentelor de testare care să permită extinderea ariei tehnologice de utilizare. Proiectul pentru o nouă versiune de ATLAS (ATLAS 2000) cuprinde noțiunea de domeniu tehnologic și specifică entitățile și interfețele necesare la adăugarea unui nou domeniu. Pe de altă parte proiectanții de unități dau tot mai multă importanță testabilității acestora. Noile unități sunt digitale și încapsulează o parte din teste în softul propriu sau pot să fie încărcate cu aplicații de testare, testul propriu-zis transformându-se într-un schimb de informații pe un canal de comunicație special între unitate și testor.

Autorul a participat la analiza unui mare număr de unități de aviație din diverse perioade de timp, fapt care i-a permis să facă o selecție a tipurilor și procedurilor frecvente din testarea de avionică. De asemenea a participat la construcția și proiectarea unor teste fapt care a permis o evaluare de detaliu a resurselor de instrumentație și o analiză a modului de structurare a echipamentelor de testare automată pentru avionică. Autorul a participat sau a proiectat și cercetat variante pe cont propriu de aplicații software, componente ale mediului de testare. De asemenea a proiectat variante proprii de limbaje intermediare bazate pe experiența și documentarea din domeniul instrumentației virtuale. Date fiind aceste activități de studiu și cercetare, autorul își propune în această teză parcurgerea domeniului testării automate pentru avionică prin prezentarea tuturor componentelor necesare acestui proces însoțite de exemple din activitatea proprie, de soluții personale pentru unele dintre ele sau de clasificări bazate pe experiențele proprii din domeniu. Toate aceste componente sunt prezentate cu scopul de a identifica o structură deschisă de sistem de testare și elementele necesare pentru asigurarea portabilității programelor de testare. În figura 2.7 se prezintă cele șase zone de interes ale

domeniului tehnologic al testării automate de aparatură de aviație cu toate procesările, interdependențele și punctele critice, pe care autorul le va urmări și mai departe în teză :

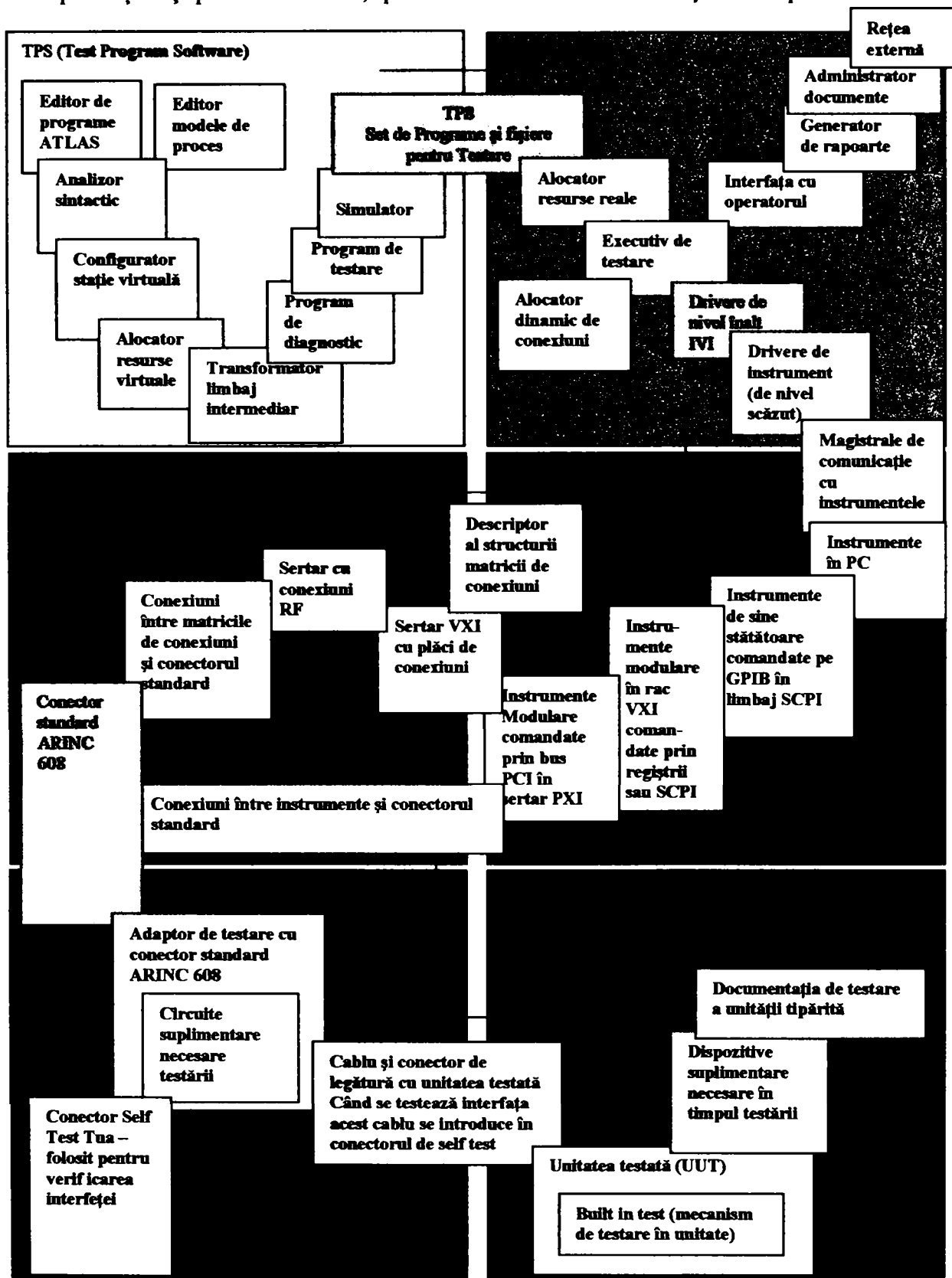


Fig. 2.6 Diagrama cu componentele procesului de testare automată în succesiunea participării lor la proces și cu interdependențele dintre domenii

## 2.8 Concluzii

Capitolul II clarifică aspectele legate de obiectivele acestei teze :

- Obiectivul principal al acestei teze este găsirea unei structuri de testare pentru domeniul avionicii care să asigure portabilitatea programelor de testare funcțională.
- Autorul definește domeniile de interes pentru o astfel de structură.
- Autorul analizează componentele participante la procesul de testare constatând discontinuitățile dintre planul descriptiv al testelor, planul software și planul instrumentației reale.
- Autorul constată necesitatea unor limbaje și procesări intermediare care să elimine discontinuitățile și să conserve portabilitatea.
- Autorul prezintă o diagramă a componentelor participante la procesul de testare automată în avionică cu interdependențele dintre domenii. Definirea acestor componente permite identificarea elementelor critice pentru portabilitate.

Capitolele 3,4,5, prezintă în continuare în detaliu domeniul tehnologic al testării automate în avionică cu exemple și contribuții rezultate din activitatea practică a autorului, cu sublinierea elementelor importante pentru portabilitate.

## CAP. III

### Echipamente de testare automată pentru avionică. <sup>[17][18][21][23][24][90][96][110]-[120]</sup>

*Acest capitol prezintă echipamente de testare automată folosite în industria de aviație pentru dispozitivele electronice (avionică), utilitatea acestora, structura precum și elementele constitutive. Echipamentele prezentate, precum și clasificările, arhitecturile, conceptele comentate și uneori completate sunt rezultatul unei activități în domeniul testării efectuate sau coordonate de autor pentru mai mult de 200 de unități de avionică utilizând câteva tipuri de teste.*

*Arhitectura sistemelor de testare automată cuprinde un computer, o matrice pentru conexiuni, instrumente de măsură și stimulare și interfața de testare. Această lucrare se bazează pe experiența acumulată prin utilizarea unor astfel de sisteme la dezvoltarea de programe de testare și interfețe de testare pentru dispozitive electronice din componența unor aeronave de tip Boeing, Concorde, Airbus și altele.*

*Aparatele de măsură uzuale sunt în general aparate care pot fi utilizate ca instrumente de laborator individuale și independente sau pot conversa pe o magistrală de comunicație cu un computer și pot fi comandate de acesta. Nici un testor nu cuprinde toate resursele posibile, dar construcția sa este concepută să permită extinderea numărului de resurse în funcție de mulțimea și complexitatea unităților testate.*

*Un echipament specializat și necesar pentru testele executate în regim automat este matricea de măsură. Aceasta asigură mobilitatea sistemului asupra unei mulțimi de puncte de măsură sau de injecție de stimuli prin intermediul unui conector standardizat pentru avionică.*

*Testarea sistemelor de comunicație în avionică este un element foarte important care a impus proiectarea unor aparate de măsură și stimulare specializate pentru comunicație.*

*Alimentarea cu energie electrică a aeronavelor se face cu generatoare electrice care alimentează dispozitivele electronice. Simularea acestor surse precum și testarea unităților care controlează aceste generatoare impun folosirea unor surse de curent alternative speciale.*

*Structura echipamentului de testare precum și necesitățile de simulare a mediului de funcționare de pe avion impun uneori tehnici particulare de măsură.*

#### 3.1 Arhitectura unui echipament de testare automată <sup>[90][91][92][105][182][183][184][205]</sup>

Un echipament de testare automată este alcătuit dintr-un computer care prin intermediul uneia sau mai multor magistrale specializate comandă instrumentele care alcătuiesc ansamblul de testare.

Instrumentele pot fi de sine stătătoare și comandate printr-o magistrală GPIB<sup>[23][24][99][128]</sup>, sau instrumente de tip placă instalate într-un sertar VXI<sup>[95][96][97][129][163][166][168][190]</sup>, sau plăci direct pe magistrala computerului, sau un sertar PXI<sup>[177]</sup> cu plăci specializate. Pe lângă aceste instrumente există comunicație serială RS232 sau RS485 și comunicație de rețea tip Ethernet furnizate de computer.

Există diverse variante de construire a testoarelor dar în general ele includ câteva elemente comune:

- Computer;
- Instrumente de măsură și stimulare sub diverse forme de realizare;
- Magistralele de comunicație cu instrumentele;
- Matricea de conexiuni;

Un element interesant îl reprezintă magistralele de comunicație posibile dintre instrument și computer. Obiectivul principal este atingerea unor viteze de comunicație cât mai rapide și utilizarea unei magistrale pentru cât mai multe instrumente.

Testorul folosit în majoritatea timpului de către autor a fost un testor de tip SMART CATS<sup>[8]</sup> produs de compania RADA ELECTRONICS LTD. Acest testor are o structură standard pe care o reîntâlnim și la alți producători de astfel de testoare. Structura reflectă de fapt un concept de interconectare a instrumentelor de măsură și stimulare care să permită extensia ulterioară a echipamentului precum și automatizarea operațiilor de testare.

Matricea de conexiuni este o componentă importantă și complexă a sistemului. Pentru a face posibilă standardizarea s-a definit un conector al sistemelor de testare pentru avionică.

Autorul a participat la dezvoltarea de programe de testare pentru avionică de pe avioanele Boeing atât din categoria generațiilor mai vechi (B737, B747) cât și din generația foarte nouă de Boeing 777. Un astfel de proiect în favoarea companiei BAAE (British Airways Avionic Engineering) care are la Cardiff unul dintre cele mai mari centre de testare din lume, a cuprins peste 30 de unități pentru B777 care s-au testat pe testorul companiei Rada Electronic Industries. Testorul se prezintă în figura 3.1.



Fig. 3.1 Testor folosit la testarea de avionică de pe avionul B777

Un testor similar s-a folosit și pentru translatarea și integrarea a peste 30 de unități pentru avionul Concorde. La acest testor s-a adăugat o extensie care a permis reutilizarea unor interfețe de la testorul vechi precum și adaptarea la o conectică nestandardizată la vremea proiectării acestei aeronave.

În acest proiect s-au evidențiat carențele unor proiecte care nu s-au preocupat de standardizarea și supraviețuirea în timp a echipamentelor de testare și a procesului de testare. Lipsa de portabilitate a programelor a făcut necesară practic reproiectarea multor teste precum și un proces de revalidare laborios.

Se prezintă în continuare în figura 3.2 o structură de testor care este o structură standard, dar care include echipamentul din figura de mai sus. Structura este folosită de toți producătorii de astfel de echipamente, doar resursele utilizate pot fi diverse.

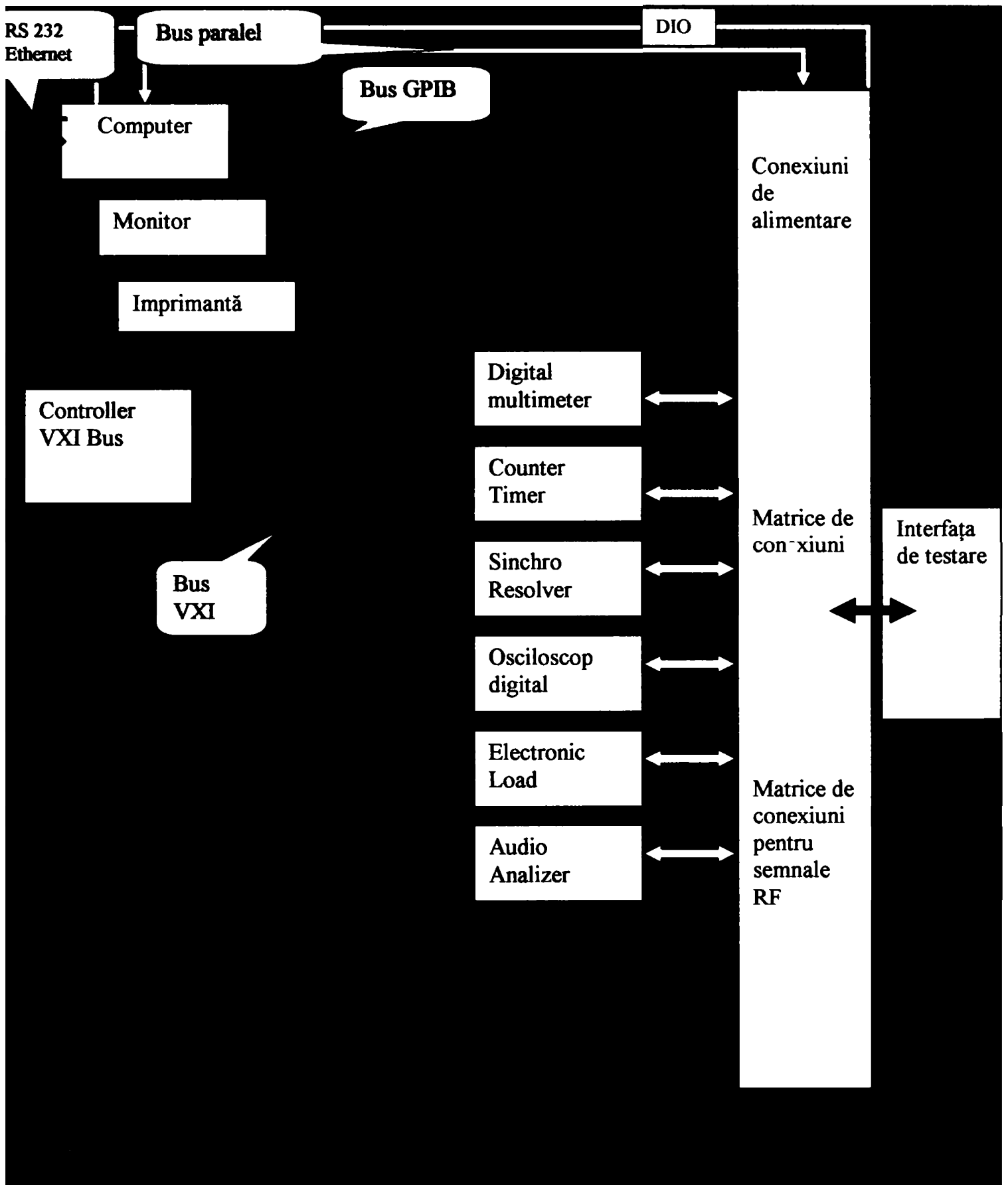


Fig. 3.2 Schemă bloc echipament de testare automată pentru avionică

Schema bloc din figura 3.2 cuprinde instrumentație și pentru domeniul RF deoarece o parte din teste pentru B777 au fost în această zonă. Se analizează în continuare elementele importante din această schemă bloc.

### 3.2 Magistrale de comunicație pentru controlul instrumentelor. <sup>[23][24][11][101][105][110]-[120]</sup>

Computerul care controlează instrumentele componente ale testorului are posibilitatea conectării cu acestea prin mai multe tipuri de legături.

#### 3.2.1 Placi pe magistrale interne ale computerului.

Unele instrumente pot fi plăci care se introduc în interiorul computerului și sunt controlate de acesta prin intermediul unei magistrale interne cum ar fi ISA (o variantă veche care nu se mai folosește dar care există la unele teste mai vechi) sau mult mai frecvent PCI sau PCI+. Conexiunea la instrumentul propriu-zis pe magistrala PCI se face printr-un circuit numit pod (Bridge) care leagă o magistrală internă a plăcii respective de bus-ul PCI al computerului. Este o conexiune foarte rapidă și producătorii de instrumentație odată cu miniaturizarea au extins foarte mult gama de produse. Există pentru aplicații mai restrânse teste care au toată instrumentația sub formă de plăci în interiorul computerului. Acestea sunt teste automate dar în general dedicate pentru un anumit tip de unități deoarece partea de matrice de conexiuni este mai voluminoasă. *Autorul a proiectat și realizat un astfel de testor bazat pe un sertar de PC industrial (figura 3.3, 3.4, 3.5, 3.6) cu plăci de instrumente pe magistrala PCI a computerului, pentru unități de înregistrare video:*

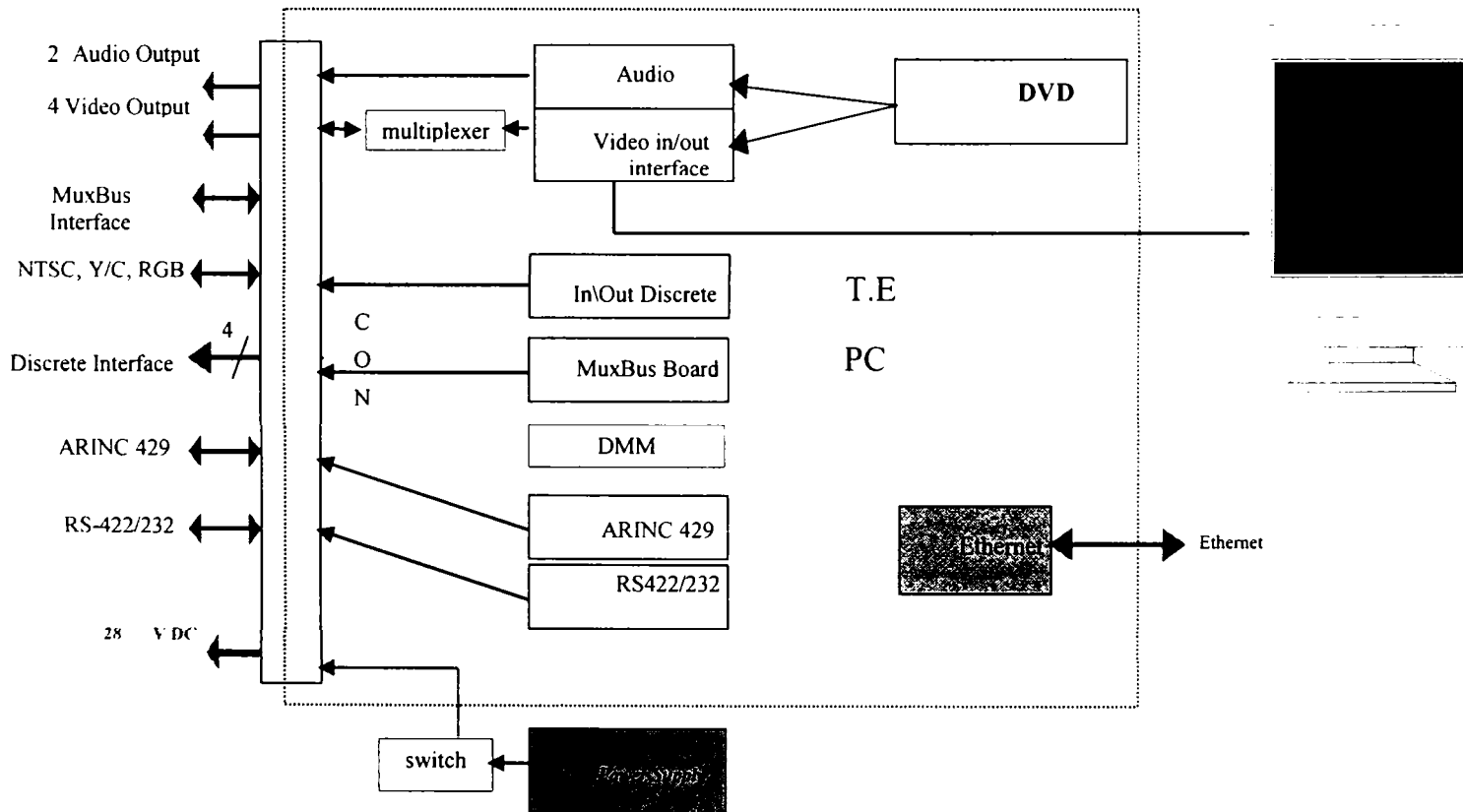


Fig. 3.3 Schemă bloc testor realizat pe structura unui PC industrial

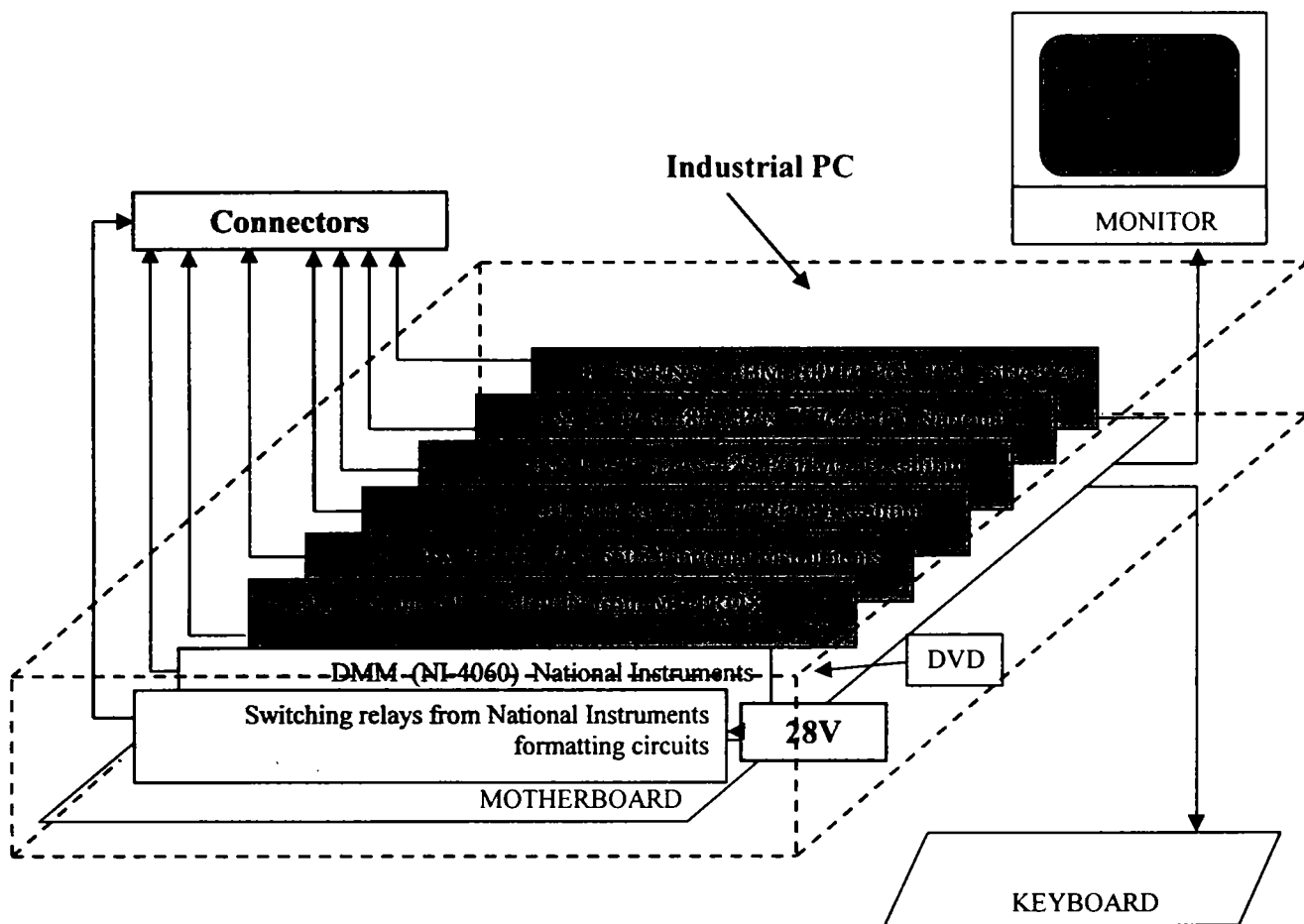


Fig. 3.4 Componența testorului cu prezentarea plăcilor pe magistrala PCI a computerului

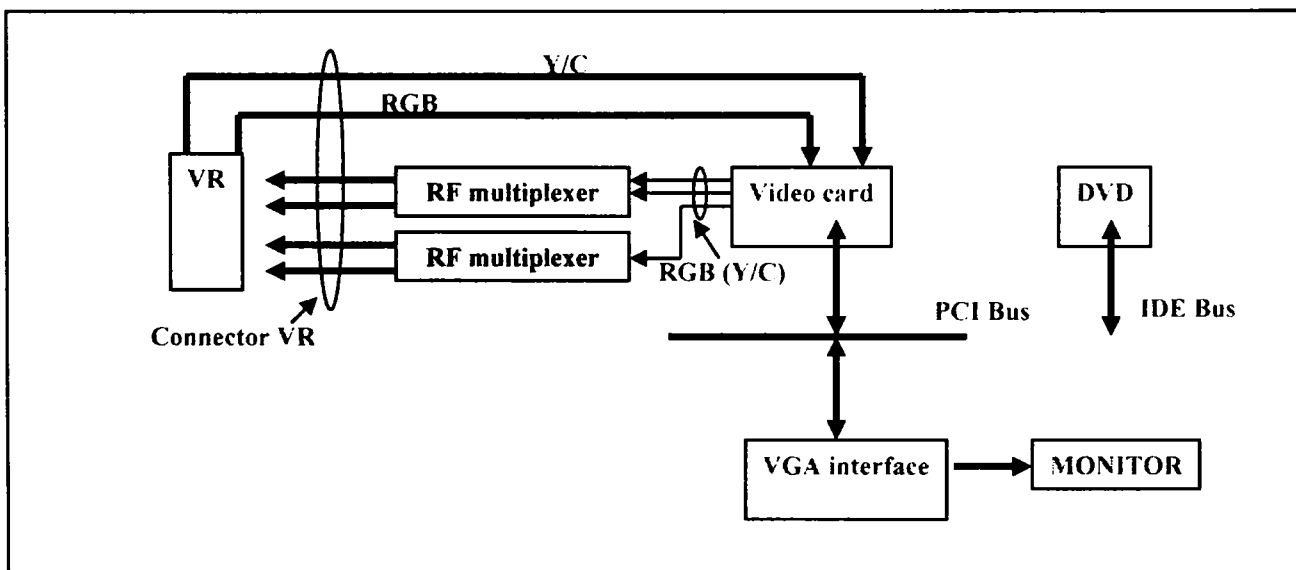


Fig. 3.5 Schema de testare a DVR (Digital Video Recorder) Pentru partea de video.



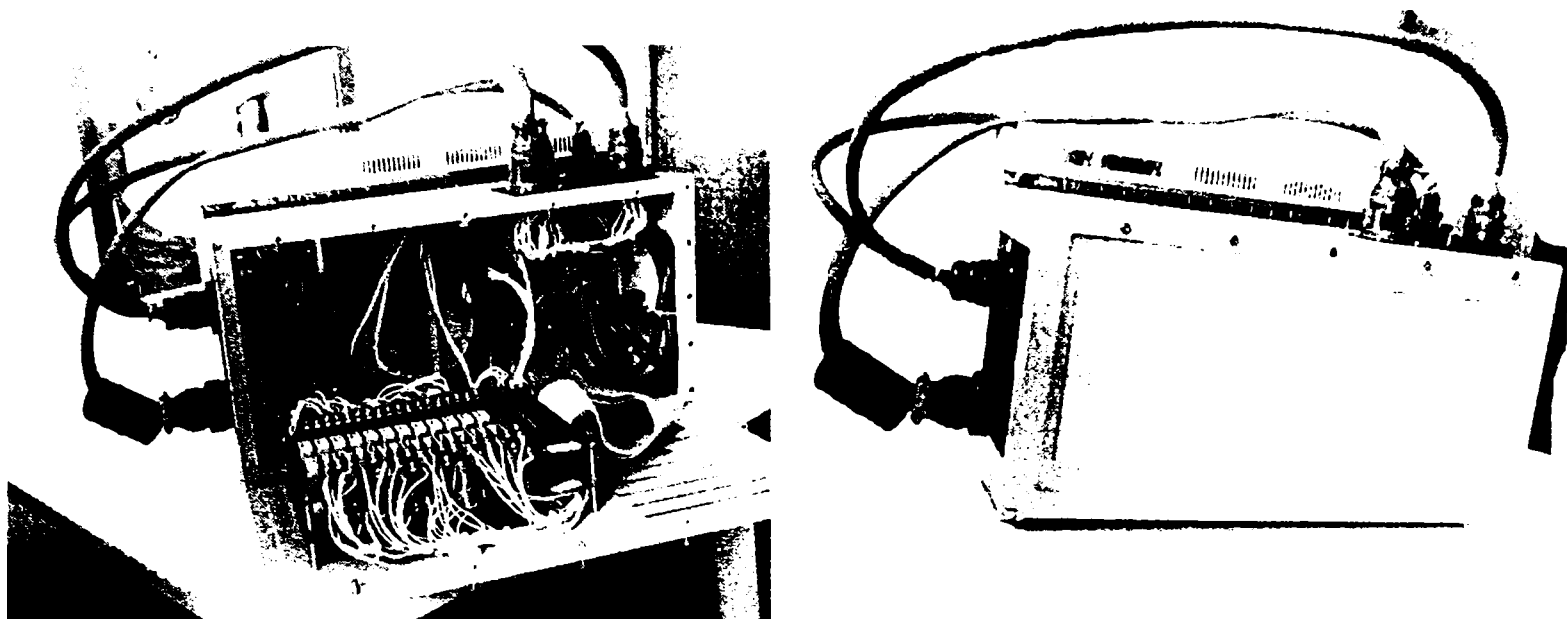


Fig. 3.6 Testorul proiectat și realizat

### 3.2.2 Magistrala IEEE 488 (GPIB) <sup>[23][24][126]</sup>

“General Purpose Interface Bus” sau GPIB cum mai este cunoscut bus-ul de comunicație între un calculator și diverse instrumente de măsură și definit de standardul IEEE 488.1 a fost prima oară propus de către compania americana Hewlett-Packard. În 1975 IEEE a publicat standardul 488-1975 cunoscut sub numele de interfață digitală standard pentru instrumente programabile. Acesta specifică elementele electrice, mecanice și funcționale pentru sistemul de interfață. Acest standard nu specifică protocolul de comunicație și nici nu stabilește convenții de sintaxă și format al comunicației.

Aceste elemente au fost adăugate printr-un standard suplimentar IEEE 488.2 numit “Coduri, formate, protocoale și comenzi comune”. În 1990 standardul IEEE 488.2 a fost completat cu un document numit “Comenzi Standard pentru Instrumente Programabile” sau SCPI care definește comenzi specifice pe care orice clasă de instrumente trebuie să le respecte. Magistrala GPIB este cea mai folosită de către producătorii de teste deoarece foarte multe instrumente profesionale sunt construite cu o interfață compatibilă. Standardul IEEE 488 este compus din ansamblul IEEE 488.1 și IEEE 488.2.

### 3.2.2.1 Specificația IEEE 488.1 <sup>[23]</sup>

Standardul IEEE 488.1 stabilește că o interfașă GPIB este o interfață digitală paralelă de 8 biți care permite rate de transfer de pînă la 1 Mbyte/s. Bus-ul suportă un controller de sistem și pînă la 14 instrumente. Acestea sunt legate între ele prin intermediul unui cablu cu 24 de fire ecranate, care are la capete un conector special. Acesta este în același timp și conector mamă și conector tată permițând astfel racordarea în continuare a altor aparate. Standardul IEEE 488.1 include 16 linii de semnal și 8 linii de masă. Cele 16 linii se împart în 8 linii de date și 5 linii de comandă și 3 linii de “handshake”:

CATEGORIA	LINIA	NUME
8 linii de date	DIO 1-8	Data Input Output
3 linii “handshake”	DAV	Data Valid
	NRFD	Not Ready For Data
	NDAC	Not Data Accepted
5 linii de management al interfeței	REN	Remote Enable
	ATN	Attention
	IFC	Interface Clear
	SRQ	Service Clear
	EOI	End Or Identify

Sistemul GPIB folosește o interblocare pe trei linii care asigură transmisia și recepția de date pe cele 8 linii de date fără eroare.

Specificația electrică și fizică impune câteva limite:

- Lungimea maximă a cablului folosit este de 20 m;
- Distanța maximă între două aparate de 4 m, dar o distanță medie de 2 m;
- Maxim 15 instrumente conectate pe bus cu cel puțin 2/3 alimentate electric;
- Semnalele sunt transmise cu nivele TTL și în logică negativă, fiecare instrument are drivere de ieșire care pot să ducă 48 mA iar capacitatea de intrare nu este mai mare de 50pF;

La interfața GPIB linia ATN este utilizată pentru a distinge între date pentru instrumente și mesaje de interfață. Astfel comenzile de programare a instrumentelor și valoarea măsurătorilor returnate vor fi întodeauna transmise cu ATN=0. Mesajele de interfață sunt trimise cu ATN=1 și servesc unui scop bine definit de standardul GPIB. Bus-ul GPIB folosește o logică negativă așa cum se observă din tabel:

NIVEL DE TENSIUNE		MESAJ		EXEMPLU
High	> 2 Volți	Fals	0	cind DAV line este Low
Low	< 0.8 Volți	Adevarat	1	mesajul DAV este True

Adițional, procedura de “handshake” GPIB folosește conceptul de “SAU CABLAT” pentru liniile NRFD și NDAC. Aceasta înseamnă că NRFD trece în “High” când nici un dispozitiv nu trage această linie “Low”, NRFD (Not Ready For Data) este negatul lui RFD (Ready For Data). Ca rezultat sursa nu va primi RFD=”TRUE” pînă când

toți acceptorii nu vor trimite RFD="TRUE". De aceea se spune că un acceptor va trimite un mesaj "PASIV TRUE". Același sistem se aplică și la Not Data Accept (NDAC) care poartă mesajul Data Accept (DAC). După ce controller-ul a adresat sursa (vorbitor) și unul sau mai mulți ascultători (acceptori), liniile de "handshake" sunt la nivelul inițial iar nivelul lui DAV, NRFD și NDAC sunt cele din figură. Sursa (vorbitorul) poate să înceapă acum să transmită date către acceptori:

1. Când sursa are un nou octet disponibil (nba) ea plasează data pe cele 8 linii de date;
2. După un timp de stabilire T1, sursa trimite DAV="TRUE" (linia DAV = low) pentru a semnala acceptorilor că există date pe bus;
3. Ca rezultat toți acceptorii trimit mesajul RFD="FALSE" respectiv pun linia NRFD = "LOW";
4. Când unul din dispozitive a acceptat datele trimite DAC= "PASSIVE TRUE".
5. Când toate dispozitivele au acceptat datele, NDAC trece în "HIGH" Sursa primește acum mesajul DAC="TRUE";
6. Ca răspuns sursa trimite DAV="FALSE" (linia DAV="HIGH") și mută datele de pe Bus;
7. Ca rezultat toți acceptorii trimit DAC="FALSE" și linia NDAC trece în "LOW".
8. Deși datele au fost acceptate de toți acceptorii nu înseamnă că toate dispozitivele sunt gata să primească un nou octet de date. Acestea țin RFD= "FALSE" până când sunt gata să primească un nou octet de date. Atunci RFD este trimis ca "PASSIVE TRUE";
9. Când toți acceptorii au trimis RFD="TRUE", NRFD trece în "HIGH". Aceasta implică faptul că sursa primește mesajul RFD = "TRUE" și toți acceptorii sunt gata să primească noul octet;
10. Sursa poate trimite acum următorul octet de date și să reia ciclul de la punctul 1;

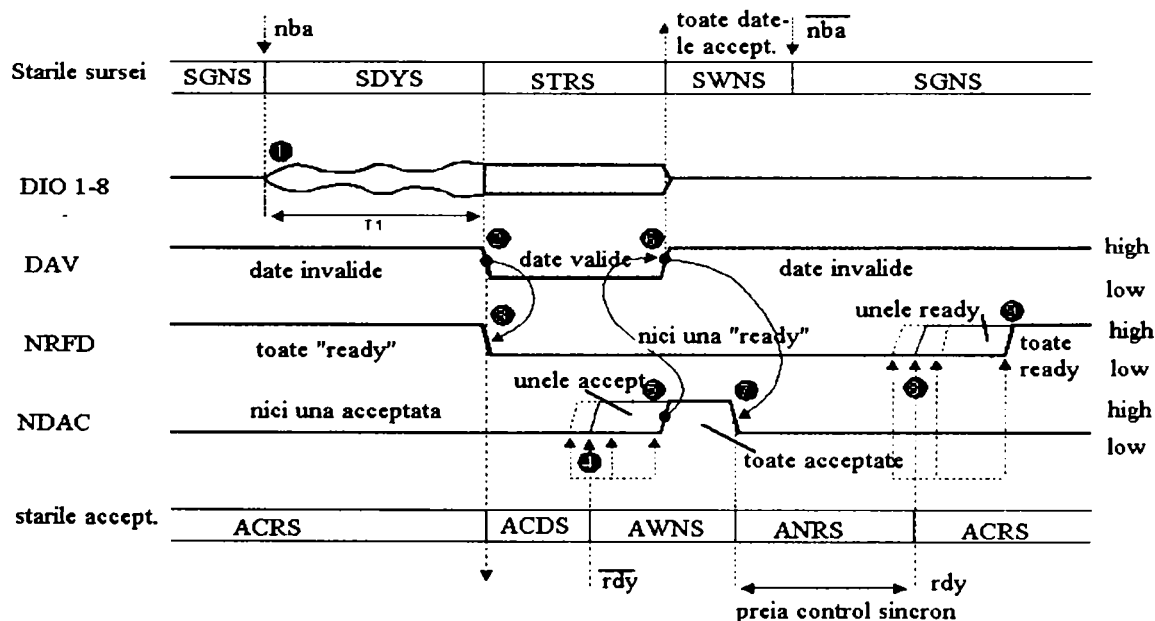


Fig. 2.6 Diagrame comunicație GPIB

3.2.2.2 Conceptul IEEE 488.2<sup>[24]</sup>

Standardul IEE 488.2 stabilește sintaxa mesajelor. Acest standard asigură condiția unei comunicații cu instrumentele care nu se blochează în nici o circumstanță. De aceea a fost introdus protocolul MEP (Message Exchange Protocol) care se bazează pe principiul simplu că un instrument nu trimite date dacă nu se solicită acest lucru. IEEE 488.2 asigură de asemenea protocoale pentru: raportarea erorilor și status-ului, sincronizarea între programul controller-ului și acțiunile și evenimentele instrumentului, sincronizarea între diferite instrumente. Definiția semanticii mesajelor nu este parte din IEEE 488.2. Aceasta a fost lansată printr-un limbaj de nivel înalt cum este SCPI (Standard Commands for Programmable Instruments).

3.2.3 Magistrala VXI (IEEE 1155)<sup>[153]</sup>

Standardul VXI a fost dezvoltat de un consorțiu în 1987. IEEE a acceptat să introducă specificația pentru VXI sub forma IEEE 1155. VXI este folosit în aplicații de măsură, ATE și chiar în automatizări. Standardul VXI a redus dimensiunile plăcilor, a crescut viteza de transfer a datelor și a permis implementarea instrumentului virtual.

Fizic un echipament VXI este construit dintr-un sertar în care se introduc cardurile. Specificația de construire a sertarului (bazată pe standardul industrial pentru VME (IEEE-1014)) include modul de construire a plăcilor, compatibilitatea electromagnetică, distribuția puterii, răcirea și circulația aerului de răcire. Modulele sunt instalate în ghidaje și toate elementele de comunicare (LED-uri, Switch-uri, conectori) sunt instalate pe panoul frontal.

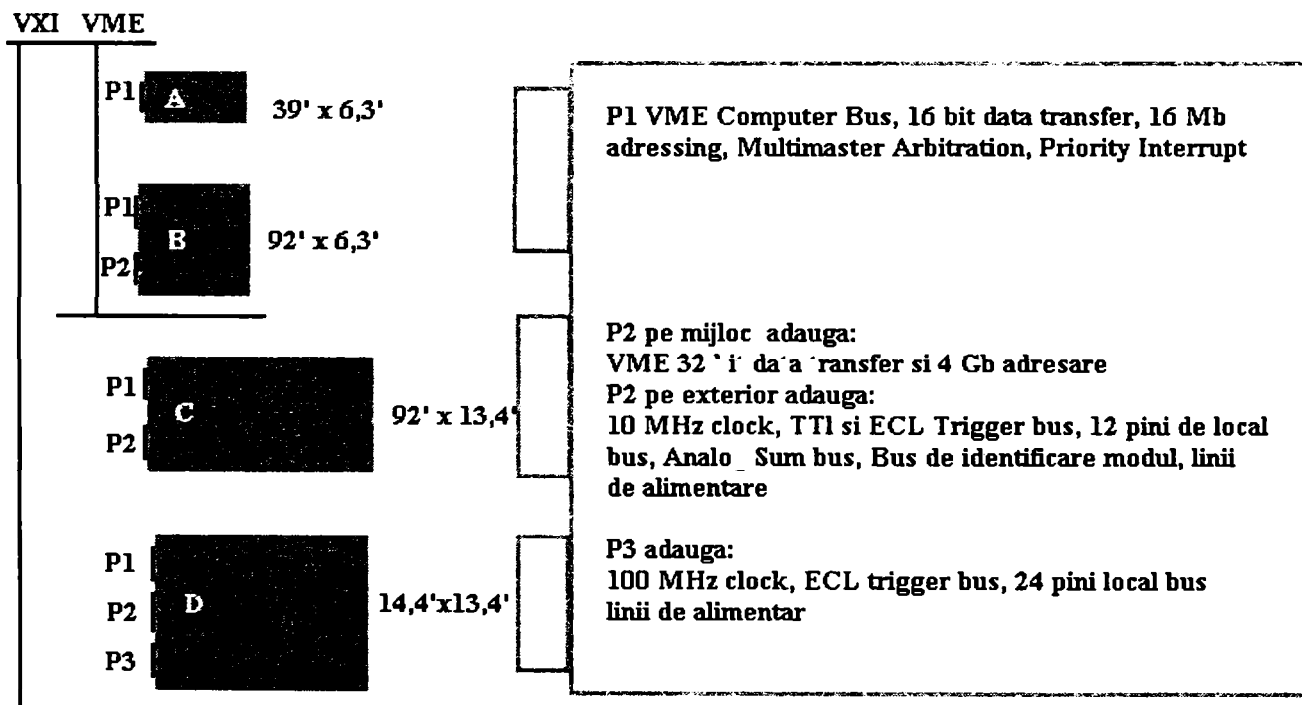


Fig. 3.7 Structură sertar VXI comparative cu VME

Fluxul de aer se trimite de jos în sus (de la P3 la P1 (fig. 3.7)). Specificația de răcire va fi astfel întocmită pentru toate modulele încât punctul de funcționare să fie specificat pentru cel mai scăzut flux de aer.

Plăcile dintr-un sistem VXI nu se influențează prin radiație electromagnetică una pe alta. Dimensiunea spațiului alocat pentru o placă s-a modificat de la 0.8 in. la 1.2 in. Fiecare placă are propria cutie de metal care este împământată la fundul de sertar. Specificația de VXI are precizări în legătură cu zgomotul sursei. De asemenea fiecare modul nu poate contribui la radiația de zgomot la distanță mai mare de 1/n din total (unde n este nr. de plăci în sistem). Pentru a minimiza zgomotul și interferența la nivel de linii de trigger și de clock este necesar un fund de sertar monolitic și singular pentru fiecare conector.

Plăcile VXI au un set de registre la adrese specifice după cum se vede în figură. Cei 16 KB superiori din spațiul de adresă de 16 biți (64KB) sunt rezervați pentru dispozitivele VXI. Fiecare dispozitiv are o adresă logică de 8 biți care specifică unde sunt plasate registrele în spațiul de adresă. Un sistem VXI poate avea 256 de dispozitive. Adresa logică a unui dispozitiv VXI poate fi configurată de utilizator. În figura 3.8 se prezintă spațiul de configurare (adresele regiștrilor și destinația lor) pentru o placă VXI :

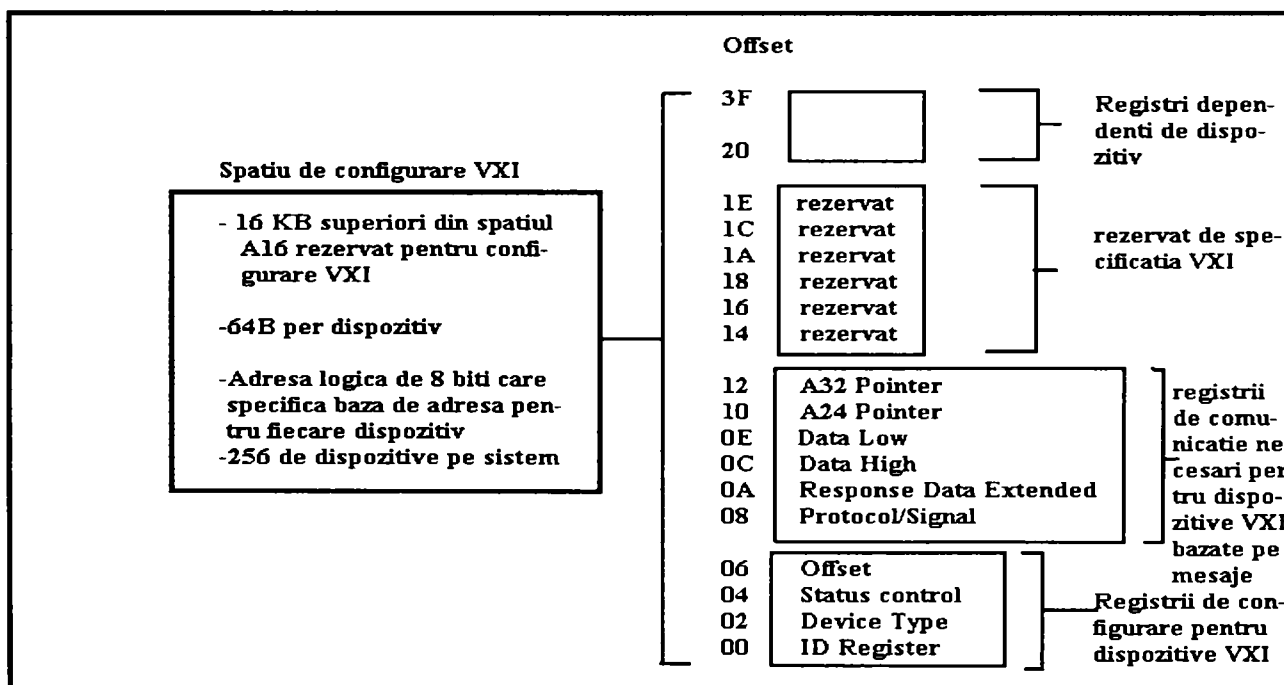


Fig. 3.8 Alocare spațiu de memorie standard VXI

Datorită regiștrilor de configurare VXI care sunt necesare pentru toate dispozitivele VXI sistemul poate identifica fiecare tip de dispozitiv VXI: tip, producător, spațiu de adresă, memorie. Dispozitivele VXI care au doar această capacitate minimă se

numesc dispozitive bazate pe registre. Cu acest set comun de registre RM (managerul de resurse) care este un modul software poate automat configura sistemul și memoria la inițializare.

Suplimentar față de dispozitivele bazate pe registre specificația de VXI definește dispozitivele pe baza de mesaj. Toate dispozitivele pe bază de mesaj pot comunica la un nivel minim folosind "Word Serial Protocol". Când un minimum de comunicație este posibilă, canale de comunicație cu performanță ridicată pot fi stabilite, așa cum ar fi canale cu memorie comună care să folosească viteza de transfer a sistemului VXI.

Protocolul VXI WSP ("Word Serial Protocol") este similar protocolului folosit de IEEE-488 care transferă date sub forma de mesaje de la un dispozitiv la altul sub forma de cuvinte. Toate dispozitivele VXI bazate pe mesaje folosesc WSP pentru a comunica standard. În general dispozitivele au un registru DATA IN și un registru DATA OUT precum și un registru de stare care conține starea acestor registre. Sistemul funcționează similar cu comunicația serială printr-un port de tip UART.

Standardul VXI definește un protocol Master/Slave permițând construirea unor ierarhii. Ierarhia poate fi arborescentă, master putând fi orice dispozitiv care are alte dispozitive în subordine.

Un dispozitiv poate fi și master și sclav în același timp. Un dispozitiv master are controlul comunicației și al configurării dispozitivelor din subordine. Un dispozitiv poate avea un singur master. Un dispozitiv master comunică cu dispozitivele subordonate prin registrele de comunicație ale acestora dacă acestea sunt dispozitive bazate pe mesaj sau prin registrele de configurare dacă sunt dispozitive bazate pe registre.

Dispozitivele subordonate pot comunica starea sau evenimentele către master folosind întreruperile hard sau semnale către registrul de semnale al master-ului. Dispozitivele care au numai statut de sclav transmit astfel de informații numai prin întreruperi în timp ce dispozitivele care sunt și master pot utiliza fie calea întreruperilor fie a semnalelor. Specificația de VXI are comenzi definite care permit master-ului să înțeleagă capacitățile dispozitivelor subordonate, să le configureze și să transmită întreruperi sau semnale într-un mod particular. În protocolul WSP există posibilitatea stabilirii de legături pereche între două dispozitive fie utilizând o memorie comună fie prin registre.

Poziția cea mai din stânga într-un sertar de VXI este folosită pentru câteva funcții speciale. Dispozitivul din această poziție (controller-ul de sertar) generează unele semnale cum ar fi: clock, sincronizari, etc.

Managerul de Resurse (RM) este un modul soft care poate să se afle pe oricare dispozitiv din sertar sau chiar extern acestuia. RM împreună cu controller-ul de sertar identifică fiecare dispozitiv din sertar și stabilește ierarhia sertarului. După aceasta RM generează comanda de operare normală la dispozitivele master de cel mai înalt nivel. RM poate în anumite condiții să oprească sistemul sau să-l reconfigureze.

Există mai multe configurații posibile pentru controlul unui sistem VXI. O primă configurație este aceea a sistemelor alcătuite dintr-un sertar VXI conectat la un controller extern printr-o conexiune GPIB. Controllerul comunică cu un modul de interfață aflat în

poziția 0 în sertar. Interfața GPIB-VXI translatează protocolul GPIB către și de la protocolul WSP.

A doua configurație este aceea a sistemelor care au în poziția 0 un computer (embedded computer) care este de fapt un dispozitiv VXI și este direct conectat la bus.

O altă configurație o reprezintă o conexiune pe un bus MXI la un computer.

În figura 3.9 este prezentat un exemplu de controller de sertar VXI. Acesta este un sistem de sine stătător care poate funcționa ca TCC (test control computer) sau ca un simplu translator al mesajelor GPIB în mesaje de comandă pentru instrumentele VXI. În general în aplicațiile de testare se folosește ca translator al mesajelor de comandă. Adesea acest controller conține driver-ele necesare pentru conversia de la programarea în mod registru la limbajul SCPI (exemplu Generatorul Arbitrar de Funcții).

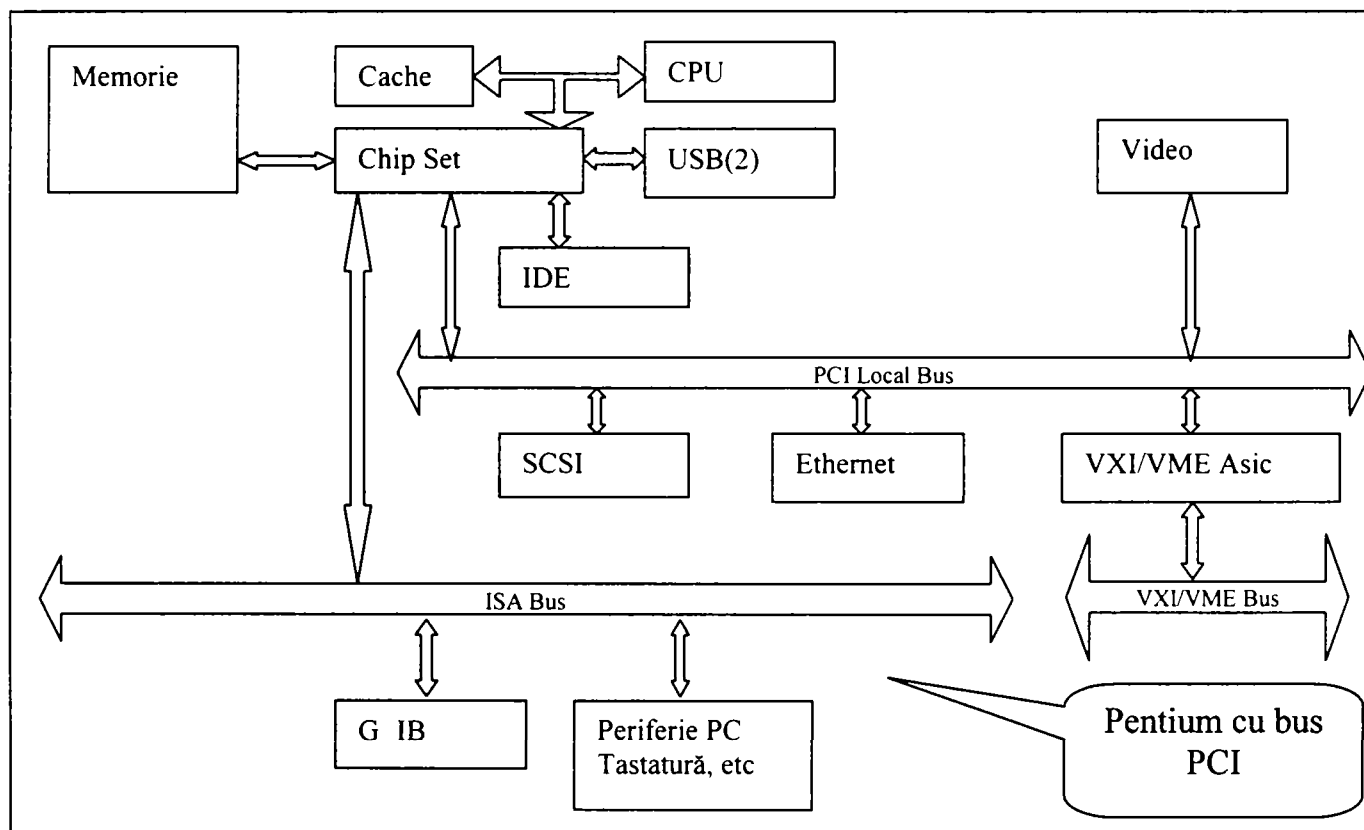


Fig. 3.9 Schema bloc a controller-ului de magistrală VXI

Schema bloc cuprinde câteva circuite importante:

1. Circuitul Video este o placă pentru bus-ul PCI care poate adresa 2MB de RAM și folosește un bus de date intern de 64 de biți.
2. Interfața IDE pentru transferurile către drive-ul de hard disk.
3. Circuitul de interfață între bus-ul PCI și bus-ul VXI/VME. De obicei companiile producătoare folosesc un circuit ASIC.
4. Circuitul de conexiune la rețea de tip Ethernet pentru bus-ul PCI.
5. Interfața GPIB este de obicei un circuit pentru bus-ul ISA și este de asemenea realizată cu un circuit ASIC.
6. Periferia pentru PC o reprezintă porturile pentru conectarea tastaturii, a mouse-ului, a unităților de disketă etc.

7. Sistemul I/O este un bloc care face legatura între bus-ul PCI și bus-ul ISA. Include logica de arbitrare și de DMA precum și controller-ul de întreruperi.
8. Circuitul de interfață pentru bus-ul de tip SCSI care permite utilizarea unor dispozitive externe cum ar fi un CD-ROM.

### 3.2.4 Alte tipuri de magistrale.

Prin modificarea protocolului de conectare standardul HS488 crește viteza de comunicație de la IEEE 488.

Un alt bus folosit pentru instrumentație este bus-ul PXI care este de fapt o extensie a bus-ului intern al PC-ului (PCI) către un sertar cu instrumente de tip Eurocard. Prezentăm în figura 3.10 schema bloc a unui sistem bazat pe o conexiune PXI:

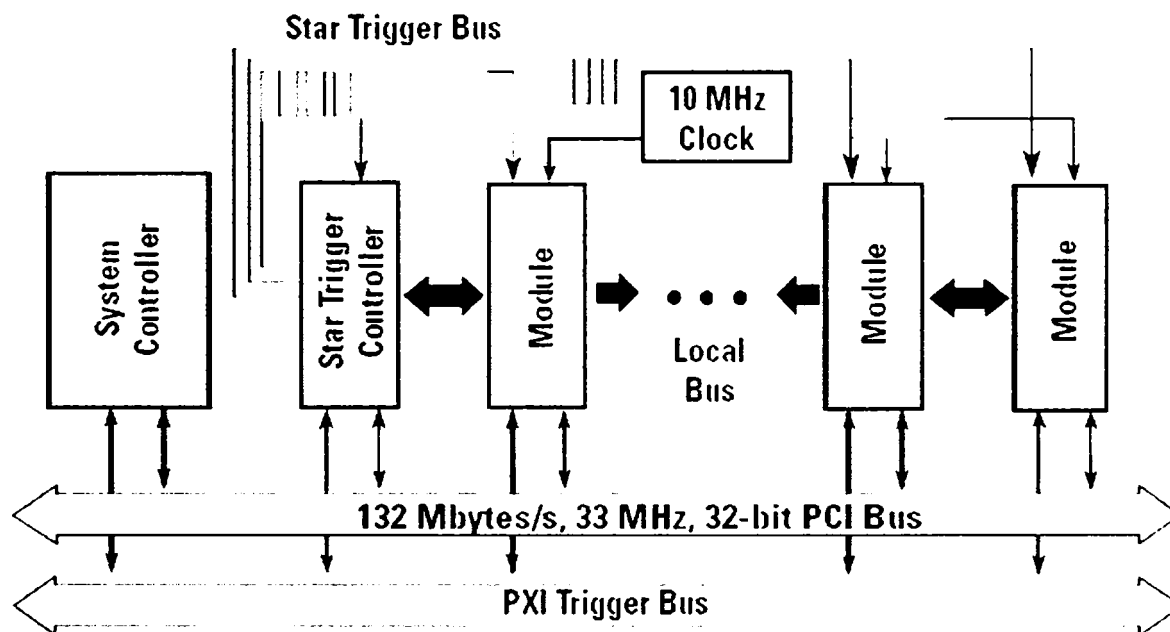


Fig. 3.10 Sistem PXI

După cum se remarcă bus-ul PCI este transferat către sistemul de măsură și prin intermediul său sunt controlate instrumentele care au și o magistrală locală pentru transferul unor mărimi analoge cât și al unor comenzi.

USB (Universal Serial Bus) a devenit o conexiune populară între instrumente și PC, iar versiunea USB 2.0 a stabilit o nouă categorie de dispozitive de viteză (480 Mbits/sec). De asemenea specificația pentru Clasa de Testare și Măsură USB (USBTMC) a introdus un protocol care permite o comunicație ca și cea folosită cu protocolul GPIB.

LAN (Local Area Network) este un standard de rețea folosit în sistemele de măsură distribuite sau pentru instrumente aflate la distanță. LXI (LAN eXtensions for Instrumentation) definește un subset al standardului LAN pentru instrumente de rețea de sine stătătoare bazat pe standardul IEEE 1588.



### 3.3 Aparate de măsură și stimulare uzuale.

#### 3.3.1 Multimetrul Digital (DMM).<sup>[119][29]</sup>

Multimetrul digital produs de Hewlett-Packard (acum denumit Agilent) tip HP 34401A este unul dintre cele mai folosite multimetre digitale în echipamentele de testare automată. Multe din teste implică măsurători de continuități, tensiuni continue sau alternative, frecvențe, impedanțe, mărimi care toate se măsoară cu DMM-ul. Se prezintă în figura 3.11 schema bloc a acestui aparat:

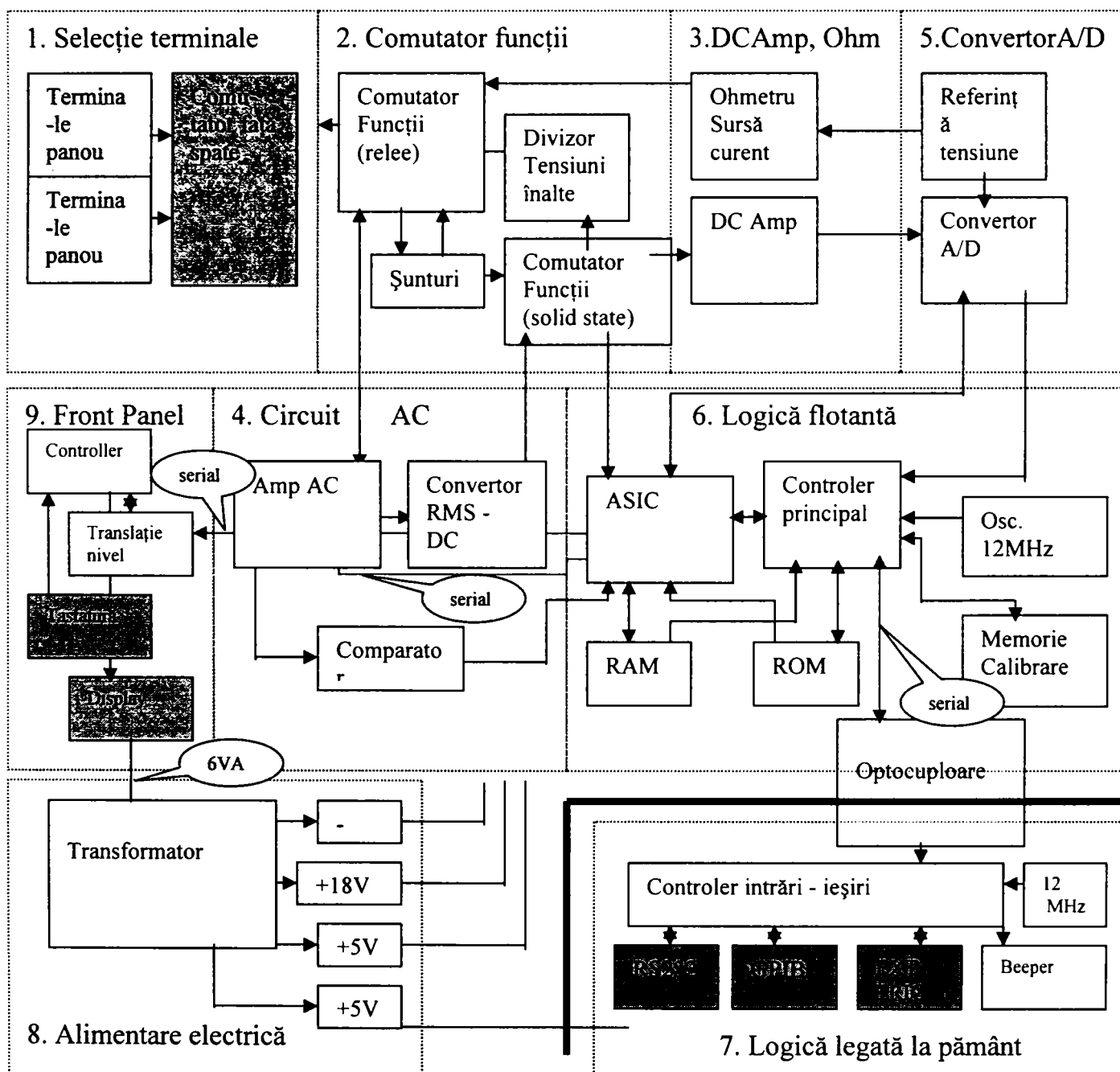


Fig. 3.11 Schema bloc DMM HP34401A

Din această schemă bloc se observă că aparatul are o parte din circuite flotante și o parte legată la pământ. Această proprietate (de a fi flotant față de punctele de măsură) îl face extrem de util în testoarele automate unde DMM-ul este mutat prin intermediul matricii de conectare în diverse puncte de măsură ale unității testate.

Tipurile de erori ale aparatului sunt cele cunoscute: termice, de încărcare, de scurgeri de curent, datorate rejecției normale (când DMM-ul integrează și masoară valoarea medie pe un interval de timp), datorate rejecției de mod comun imperfecte (rezistența de izolație este măsurabilă), datorate buclilor de câmp magnetic, datorate buclilor electrice spre pământ. Erorile pot fi diminuate prin circuite de măsură corecte care reduc mărimea acestora comparativ cu valoarea utilă și prin utilizarea funcției și domeniului de măsură potrivit.

Funcțiile acestui DMM sunt următoarele:

- Tensiuni DC în domenii de la 100 mV la 1000 V;
- Rezistența (măsurată) pe 2 fire în domenii de la 100 Ohm la 100Mohm;
- Rezistența (măsurată) pe 4 fire în domenii de la 100 Ohm la 100Mohm;
- Curent continuu în domenii de la 10 mA la 3 A;
- Tensiuni AC True RMS în domenii de la 100 mV la 750V și frecvență de la 3 Hz la 300 KHz;
- Curenți AC True RMS în domenii de la 1 A la 3 A și frecvențe de la 3 Hz la 5 KHz;
- Frecvența pentru domenii de la 3 Hz la 300 KHz și tensiuni de la 100 mV la 750V;
- Perioada pentru domenii de la 1 sec la 10ms și tensiuni de la 100 mV la 750V;

Toate aceste funcții pot fi setate manual de la tastatură sau prin intermediul conexiunilor RS 232 sau GPIB. Aparatul permite comunicarea folosind limbajul SCPI (Standard Commands for Programmable Instruments). HP 34401A implementează și comenzi suplimentare specifice aparatului.

Comanda DMM-ului de la distanță poate fi executată după următoarea secvență:

1. Se setează DMM-ul într-o stare cunoscută (ex. RESET);
2. Se schimbă setarea aparatului în configurația dorită;
3. Se setează condițiile de declanșare (Trigger);
4. Se inițializează (armează) DMM-ul pentru o măsurătoare;
5. Se declanșează măsurătoarea;
6. Se extrage valoarea măsurată (citită) din buffer-ul instrumentului;
7. Se mută datele măsurate la distanță;

Măsurătoarea propriu-zisă se execută de la pasul 3 la pasul 5. Se prezintă în fig. 2.12 digrama operațiunilor executate la o măsurătoare declanșată (cu trigger). Această diagramă este modelul de comportare a DMM-ului ca aparat generic în cazul măsurătorilor declanșate. Toți producătorii de astfel de dispozitive care se aliniază la grupul capabilităților de bază vor respecta această diagramă.

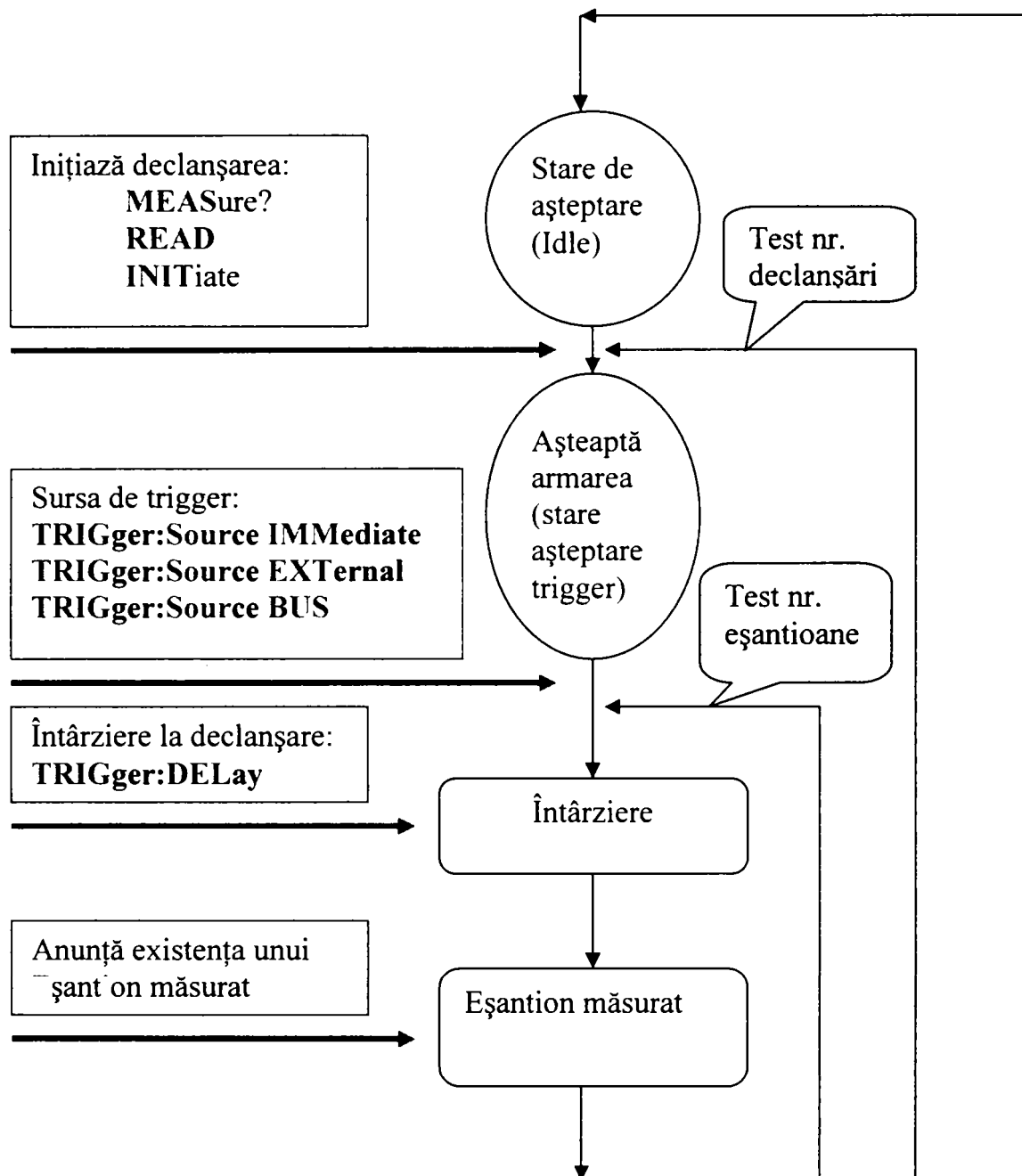


Fig. 3.12 Model de funcționare cu declanșare a DMM-ului

După cum se remarcă în comentariile din stânga (în fig. 3.12) secvența în limbaj SCPI este următoarea:

RST	;pune DMM-ul în starea de reset
CONF: VOLT: DC 10, 0.003	;îl configurează
INIT	;declanșează măsurarea
FETC	;extrage valoarea măsurată

Limbajul SCPI are o structură arborescentă. Un capitol important îl reprezintă sistemul de stări SCPI prin care se poate afla în detaliu starea aparatului prin citirea registrului de evenimente, de stare și de date. Acestea pot fi citite sau setate cu un set special de instrucții numite și Comenzi Comune IEEE-488.2.

3.3.1.1 Capabilitățile de bază ale clasei DMM<sup>[29]</sup>

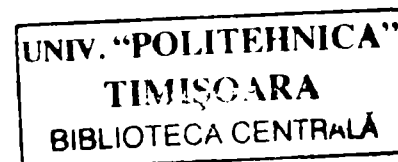
DMM-ul ca instrument generic (denumită și clasa DMM) conform definiției consorțiului IVI (consorțiul pentru Instrumente Virtuale Interschimbabile) este un instrument care poate măsura valori scalare ale semnalului de intrare. Tipic acesta măsoară tensiuni, curenți sau rezistențe. Cu toate acestea clasa DMM suportă și instrumente care măsoară și alte mărimi precum temperatura sau frecvența. Clasa DMM suportă un grup de capabilități de bază și mai multe grupuri de extensii de capabilități. Grupul capabilităților de bază este folosit pentru a configura DMM-ul pentru o măsurătoare tipică (setarea funcției de măsură, domeniului, rezoluției, sursei de declanșare), inițierea măsurătorii și returnarea valorii măsurate. Capabilitățile de bază grupează un set de atribute și funcții cu care se operează asupra acestora, valabile pentru toate instrumentele din clasa DMM. Grupul capabilităților de bază definesc următoarele atribute:

- Funcția, care specifică tipurile de măsurători pe care le poate efectua instrumentul ( măsurători de tensiuni DC și AC, măsurători de curenți AC și DC, măsurători de rezistențe pe 2 și pe 4 fire);
- Domeniul, specifică domeniul de măsură și unitățile de măsură;
- Rezoluția absolută, specifică rezoluția în unități de măsură absolute;
- Întârzierea la declanșare, specifică timpul între momentul declanșării și momentul citirii valorii măsurate;
- Sursa de declanșare, specifică modul de declanșare al măsurătorii (imediat, extern, soft);

Grupul capabilităților de bază definește următoarele funcții:

- Abort, anulează acțiunea de măsurare;
- Configure Measurement, setează instrumentul;
- Configure Trigger, setează condițiile de declanșare;
- Fetch, extrage valoare măsurată;
- Initiate, inițiază măsurătoarea;
- Is Over Range, sesizează existența unei depășiri de domeniu;
- Read, citește măsurătoarea din buffer;

Acest subcapitol nu și-a propus să analizeze implementarea formală a capabilităților de bază, dar sublinează funcțiile și performanțele unui DMM generic din punct de vedere al inginerului care implementează testul. Dacă s-ar construi un DMM generic interfața cu operatorul ar arăta ca în figura 3.13:



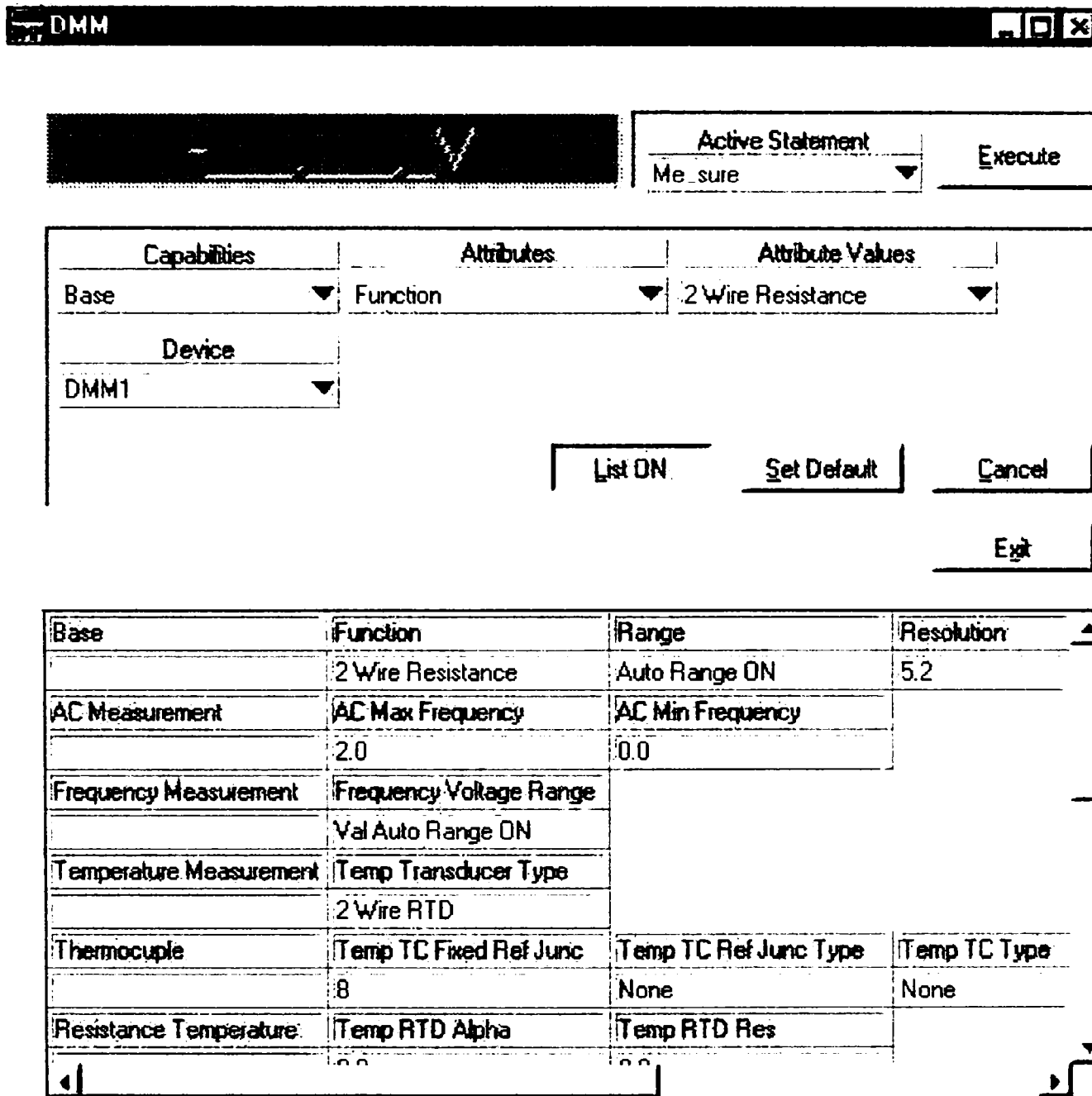


Fig.3.13 Interfață grafică DMM generic

*Acest DMM a fost implementat ca instrument generic de către autor. Un instrument generic asemănător a funcționat de la distanță, operatorul aflându-se la Hamburg iar instrumentul propriu-zis la Tel Aviv. Autorul a participat și la implementarea acestei aplicații pentru un instrument generic cu capacitățile de bază și extensiile. În momentul demonstrației, instrumentul fizic a fost DMM-ul produs de HP dar ar fi putut să fie oricare alt DMM care îndeplinea capacitățile de bază și avea o interfață conformă cu IEEE 488.*

### 3.3.2 Generatorul de funcții arbitrare (AFG).<sup>[30][112]</sup>

Generatorul de funcții arbitrare tip HP E1340A<sup>[112]</sup> este construit ca dispozitiv VXI. Acesta poate fi introdus într-un sertar VXI și comandat prin intermediul bus-ului VXI. AFG este un dispozitiv indispensabil pentru un testor pentru avionică. AFG poate genera semnale de forme standard (sinus, triunghi, dreptunghi) sau poate genera forme de undă arbitrare (conform unei descrieri tabelare a semnalului) periodice sau aperiodice. Schema bloc simplificată a dispozitivului este prezentată în figura 3.14:

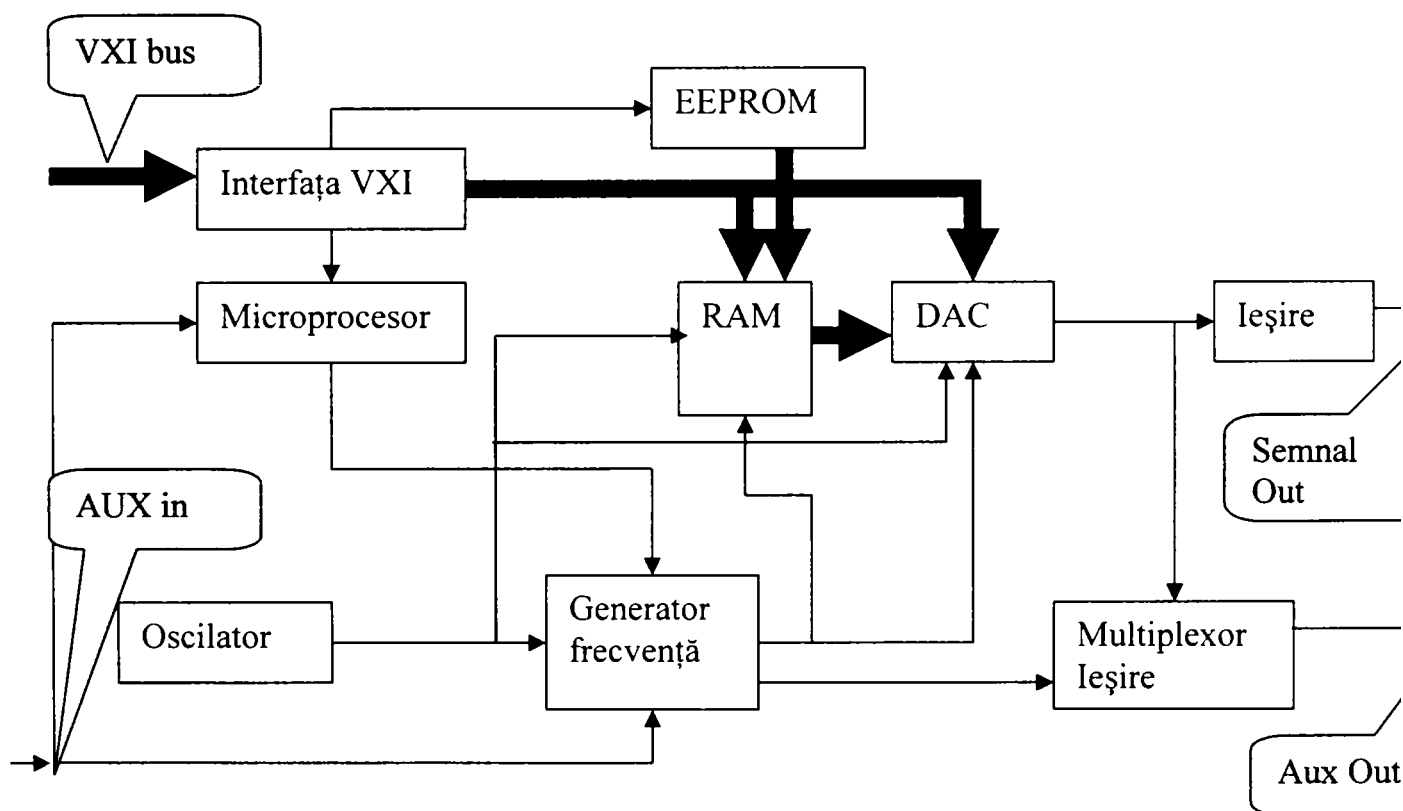


Fig. 3.14 Schemă bloc AFG

Placa E1340A este un dispozitiv bazat pe registre. Pentru a folosi limbajul SCPI este necesară instalarea unui driver în modulul de comandă al sertarului VXI. Acest driver convertește comenzile SCPI în comenzi către registrele plăcii. Set-ul de comenzi SCPI implementează inclusiv grupul comenzilor de stare, astfel utilizatorul vede un instrument de sine stătător programabil SCPI.

AFG este un instrument foarte important deoarece permite (mai ales pentru unitățile analoge) generarea unor forme de undă particulare, descrise prin fișiere sau forme sinusoidale și triunghiulare prin care se injectează diverse semnale în timpul testării. AFG permite și generarea unor semnale periodice cu parametrii de timp, formă și amplitudine programabili. Uneori AFG poate fi folosit chiar și pentru transmiterea unor mesaje pe diverse canale de comunicație prin simularea semnalului.

### 3.3.2.1 Capabilitățile de bază ale Generatorului de Funcții (FG)

Clasa de instrumente „Generator de Funcții”, definește un instrument capabil să genereze o formă de semnal electric. Semnalul de ieșire are o formă definită (ex. Sinusoidal sau dreptunghiular). Unele instrumente sunt capabile să genereze și forme arbitrare de semnal. Dacă generatorul de funcții este capabil să genereze forme arbitrare, atunci semnalul de ieșire este o secvență de forme arbitrare repetate. Clasa Fgen este divizată între grupul capabilităților de bază și grupuri de extensie. Grupul de bază se referă doar la semnalele de ieșire standard.

Schema bloc simplificată a unui generator de funcții este prezentată în figura 3.15:

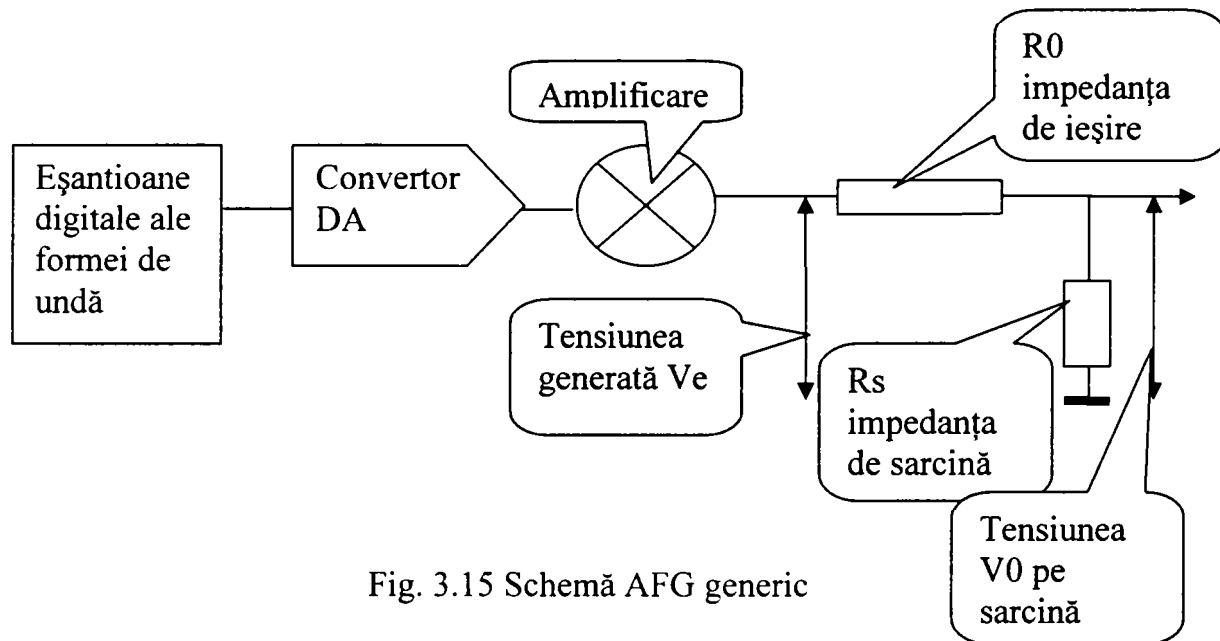


Fig. 3.15 Schemă AFG generic

$$V_0 = V_e(R_s/(R_0+R_s))$$

În funcție de raportul între  $R_0$  și  $R_s$ ,  $V_0$  are diverse valori (de ex. Pt  $R_0=R_s$   $V_0=V_e/2$  sau pentru  $R_0 \ll R_s$   $V_0=V_e$ )

Pentru grupul capabilităților de bază se definesc următoarele atribute:

- **Output Count** - definește numărul de canale ale aparatului;
- **Operation Mode** - definește modul de producere a semnalului continuu sau trenuri de semnal(burst);
- **Output Enabled** - specifică dacă semnalul produs apare la conectorul de ieșire;
- **Output Impedance** - setează impedanța de ieșire în Ohm;
- **Output Mode** - specifică modul de producere a semnalului(standard, arbitrar, secvențial);
- **Output Name** - returnează numele fizic pentru canalul respectiv;
- **Reference Clock Source** - specifică sursa ceasului de referință la generarea diverselor semnale;

Funcțiile cu care se operează asupra atributelor sunt:

- **Abort Generation** - anulează generarea unui semnal care a fost inițiată;
- **Configure Operation Mode** – acționează asupra canalului cu numele specificat modificând modul de operare;
- **Configure Output Enable** – acționează asupra atributului care validează pentru canalul cu numele specificat prezența semnalului la conectorul de ieșire;
- **Configure Output Impedance** – modifică impedanța de ieșire;
- **Configure Output Mode** – setează modul de ieșire: continuu, burst;
- **Configure Reference Clock Source** – setează sursa de ceas;
- **Get Channel Name** – solicită numele canalului;
- **Initiate Generation** – inițiază generarea semnalului după configurare;

Generatorul de funcții are câteva extensii din care o să amintim extensia IviFgenStdFunc care adaugă grupului de bază funcții prin care se modifică proprietățile formei de semnal (frecvență, amplitudine, DC offset și defazaj). Aceste funcții operează asupra formelor de semnal repetitive și considerate standard de către producători:

- sinusoidal;
- dreptunghiular;
- triunghiular;
- rampă crescătoare;
- rampă descrescătoare;
- DC;

Atributele modificate de această extensie sunt:

- Amplitudine;
- DC offset;
- Factor de umplere;
- Frecvență;
- Defazaj;
- Formă de semnal;

Aceste atribute sunt modificate cu o singură funcție: ConfigureStandardWaveform. Aceasta extensie adaugă la modelul de comportare al AFG definit de grupul capacităților de bază doar această funcție care modifică atributele suplimentare dar care nu modifică modelul.

### 3.3.3 Osciloscopul Digital (DSO).<sup>[118][28]</sup>

Osciloscopul Digital este un alt instrument de măsură fundamental pentru un echipament de testare automată deoarece permite măsurarea unui număr important de mărimi electrice, precum și implementarea unor teste particulare pentru evaluarea unor semnale cu forme deosebite. Se prezintă în figura 2.16 o schemă bloc a osciloscopului HP 54825A produs de Hewlett Packard utilizat pe testorul SMART CATS:



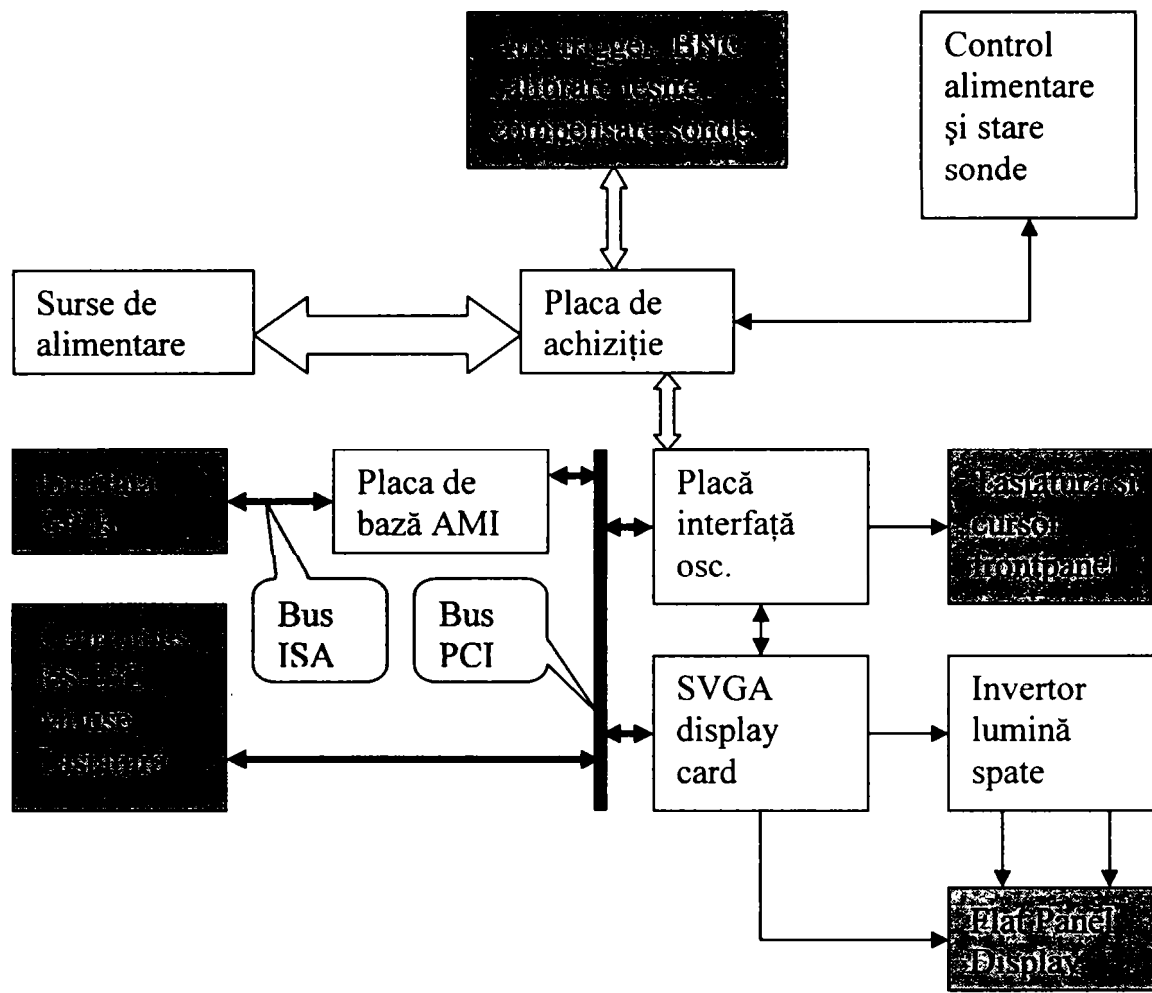


Fig.3.16 Schema bloc a osciloscopului digital HP 54825A

După cum se remarcă, instrumentul este construit pe structura unei plăci de PC la care s-au adăugat interfețe specializate. Acest tip de osciloscop are 4 canale care funcționează individual cu 2 Gsa/s. Fiecare canal este salvat într-o memorie de 32KB. Instrumentul poate să achiziționeze simultan pe toate cele 4 canale și are o bandă analogă de 500 MHz. Porturile, conectorii și în general legăturile cu utilizatorul sunt figurate cu albastru în figură. Din punct de vedere al testării automate este importantă conexiunea GPIB (IEEE 488) care permite controlul osciloscopului de la distanță. Instrumentul comunică cu un computer prin intermediul unor mesaje conform sintaxei specificate de standardul 488.2.

### 3.3.3.1 Structura de raportare a stării instrumentului<sup>[118]</sup>

La fel ca și DMM-ul și AFG-ul și acest osciloscop are implementată o structură de raportare a stării instrumentului care poate fi utilizată prin intermediul comenzilor SCPI comune. Se prezintă în figura următoare schema bloc de raportare a stării (se aplică pentru toate instrumentele care au implementat SCPI).

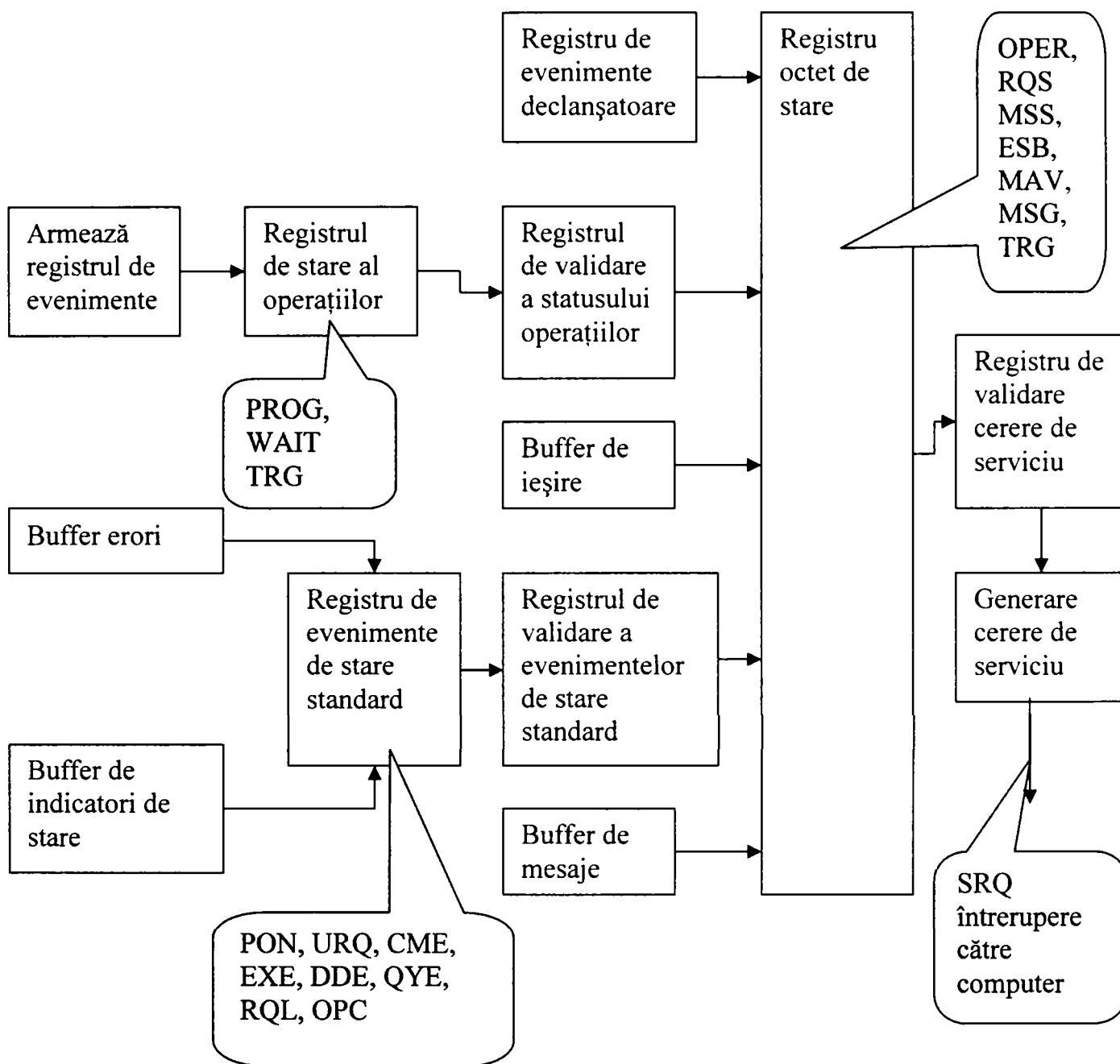


Fig. 3.17 Structura de raportare a stării osciloscopului.

Biț-ii care raportează starea sunt următorii:

- PON** – power on;
- URQ** – nefolosit;
- CME** – Command Error;
- EXE** – Execution Error;
- DDE** – Device Dependent Error;
- QYE** – Query Error;
- RQL** – Request Control;

**OPC** – Operation Complete;  
**OPER** – Operation status register;  
**RQS** – Request Service;  
**MSS** – Master Summary Status;  
**ESB** – Events Status Bit;  
**MAV** – Message Available;  
**USR** – User Event Register;  
**TRG** – Trigger;  
**LCL** – Local;  
**FAIL** – Fail;  
**COMP** – Complete;  
**WAIT TRIG** – Trigger;

Toți acești biți de stare pot fi citați prin intermediul comenzilor SCPI comune:

- \***CLS** – șterge regiștrii de stare și eroare;
- \***ESE** – setează biții de evenimente standard în registrul de validare ev. de stare;
- \***ESR?** – citește conținutul reg. de evenimente;
- \***IDN?** – returnează identificatorii producătorului;
- \***LRN?** – reunează setarea aparatului;
- \***OPC** – setează bit-ul de operație completă când toate operațiile dependente de dispozitiv s-au terminat ;
- \***OPT** – returnează lista opțiunilor instalate;
- \***RCL** – reface o setare a instrumentului salvată anterior;
- \***RST** – setează instrumentul într-o stare cunoscută;
- \***SAV** – salvează starea curentă;
- \***SRE** – setează biții registrului pentru cereri de servicii;
- \***STB?** – returnează conținutul registrului de stare;
- \***TRG** – achiziționează semnalul dacă există condiții de declanșare;
- \***TST?** – inițiază un self test și returnează un mesaj de eroare;
- \***WAI** – oprește instrumentul de la executarea unor comenzi noi până la terminarea celor în curs ;

Pe lângă comenzile comune instrumentul are implementate două categorii de comenzi cu care execută funcțiile specifice ale osciloscopului:

1. Comenzile de nivel primar (Root Level Commands) care implementează operațiile de bază ale instrumentului, echivalente cu comenzile manuale de pe panoul frontal.
2. Comenzile de subsistem care sub un nod cuprind toate comenzile referitoare la un subsistem funcțional (ex. Baza de timp).

Osciloscopul este unul dintre instrumentele cele mai frecvent folosite de către sistemele de testare automată pentru complexitatea posibilă a testelor.

### 3.3.3.2 Capabilitățile de bază ale Osciloscopului Digital (SCO) <sup>[28]</sup>

Clasa instrumentelor de tip osciloscop (Scope) este clasa instrumentelor care pot achiziționa forme de semnal care se modifică în timp. Clasa Scope este împărțită în grupul capabilităților de bază și extensii. Funcțiile și atributele grupului de bază sunt folosite pentru achiziții tipice de semnal (setează canalul, achiziția, și subsistemul de declanșare), inițiază achiziția și returnează forma de semnal. Grupul capabilităților de bază suportă doar declanșarea pe front pentru osciloscop care pot achiziționa pe mai multe canale.

Grupul capabilităților de bază definește atributele și funcțiile care configurează trei subsisteme: canalul, achiziția și declanșarea.

Astfel pentru subsistemul de canal se definesc atributele:

- Validare canal;
- Atenuare sondă;
- Mod de cuplare (AC,DC);
- Offset;
- Domeniu;

Pentru subsistemul de achiziție se definesc atributele:

- Timp de start la achiziție;
- Tip de achiziție;
- Număr minim de puncte orizontale;
- Durata unei înregistrări;

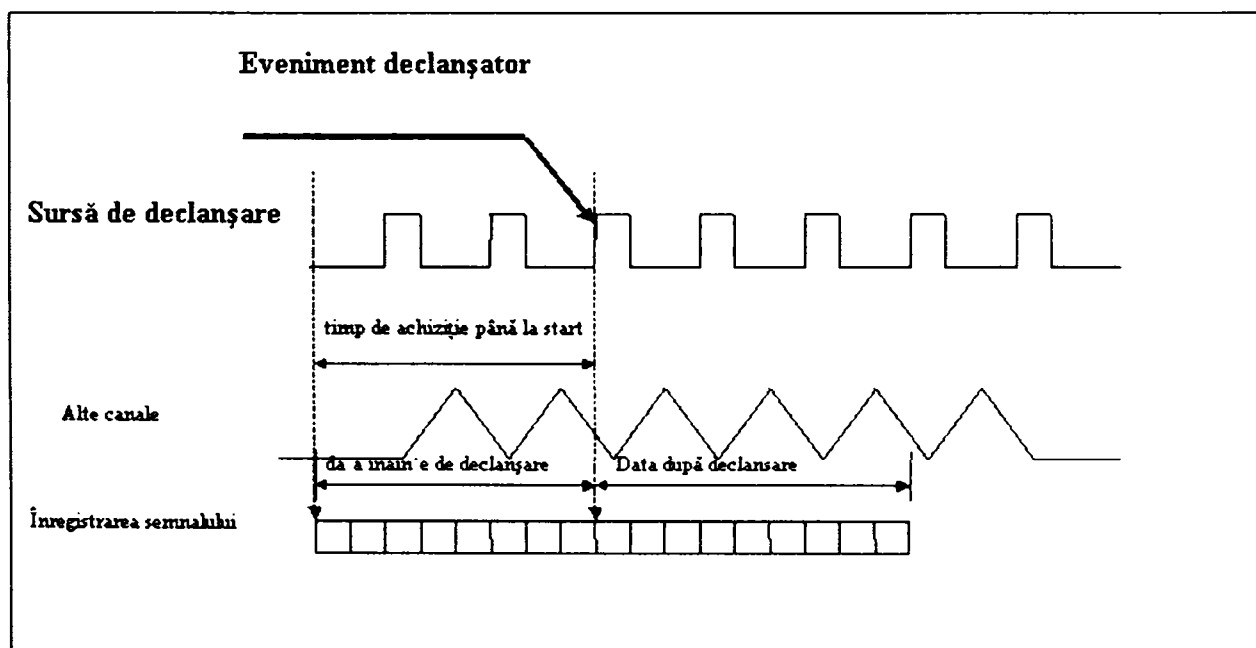


Fig. 3.18 Diagrama de funcționare a osciloscopului în mod declanșat

Pentru subsistemul de declanșare se definesc următoarele attribute:

- modul de cuplare al sursei de declanșare;
- timpul după prima declanșare în care instrumentul nu poate fi declanșat din nou;
- tipul de eveniment care declanșează;

Declanșarea pe front se configurează modificând următoarele attribute:

- nivelul de declanșare;
- sursa de declanșare;
- frontul (crescător, descrescător) de declanșare;

Atributele sunt modificate cu următoarele funcții:

- **Abort** – anulează achiziția;
- **Acquisition Status** – returnează starea achiziției;
- **Actual Record Length** – returnează nr. de puncte/canal;
- **Configure Acquisition Record** – configurează subsistemul de achiziție;
- **Configure Acquisition Type** – configurează modul de achiziție;
- **Configure Channel** – configurează attributele canalului;
- **Configure Channel Characteristics** – configurează attributele electrice ale canalului;
- **Configure Edge Trigger Source** – configurează sursa de declanșare;
- **Configure Trigger** – configurează declanșare;
- **Configure Trigger Coupling** – configurează modul de cuplare al semnalului de declanșare;
- **GetChannelName** – returnează identificatorul de canal;
- **Fetch Waveform** – returnează forma de semnal ca arie de elemente;
- **Initiate Acquisition** – inițiază execuția achiziției;
- **Is Invalid Waveform Element** – testează elementele din aria returnată;
- **Read Waveform** – execută achiziția și returnează aria de elemente;
- **Sample Rate** – returnează rata de eșantionare;

Se prezintă în figura 3.19 modelul de funcționare al osciloscopului pentru capabilitățile de bază:

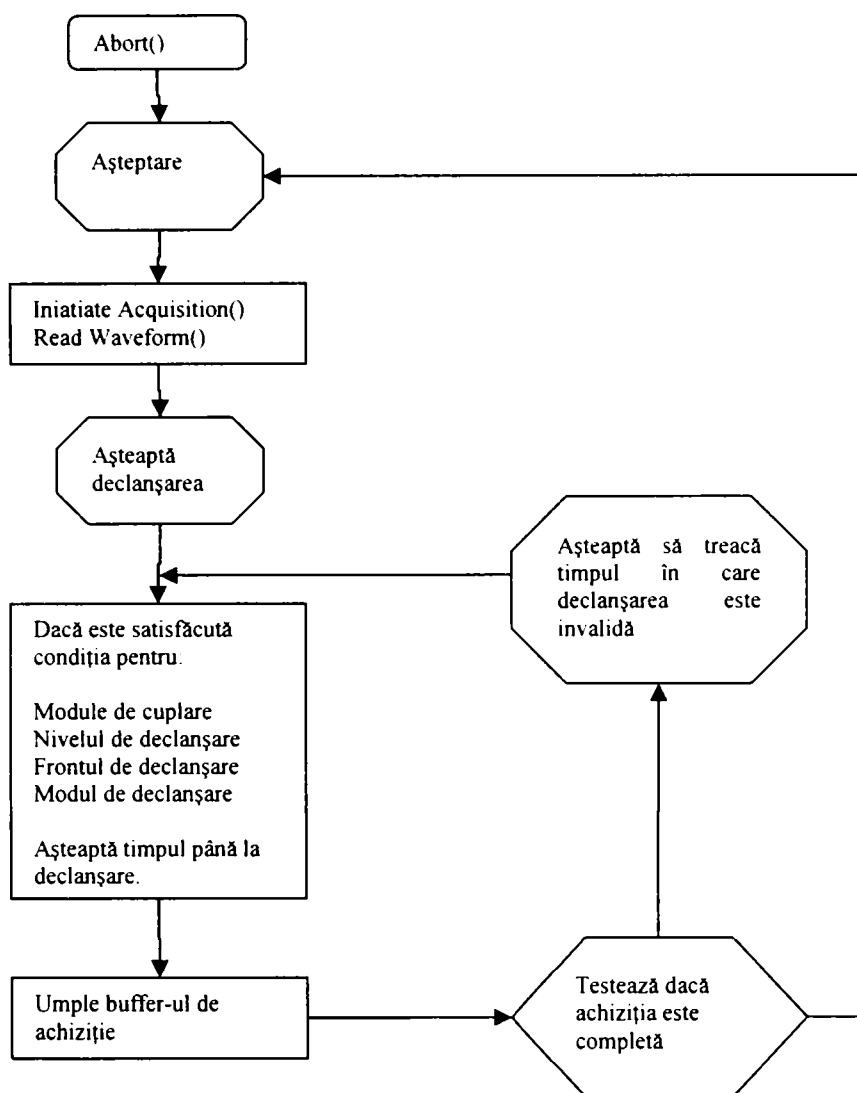


Fig. 3.19 Modelul de funcționare al osciloscopului generic în mod declanșat.

### 3.4 Sistemul de interconectare. Matricea de conexiuni.<sup>[18][32][105][125][8]</sup>

Matricea de conexiuni împreună cu sistemul de interconectare realizează legătura între instrumentele testorului, interfața de testare (TUA – Test Unit Adapter) și unitatea testată (UUT – Unit Under Test). Dată fiind importanța conexiunilor între resursele testorului și unitatea testată, modul de conectare, ansamblul care face legătura între testor și unitate a devenit obiectul unui proiect de standard numit “IEEE P1505 Receiver Fixture Interface System Standard”. O remarcabilă prezentare a structurii unui echipament de testare automată este făcută în acest document, prezentare pe care autorul o va folosi ca ghid în analiza unor elemente din sistemul de conectare. Această prezentare (din figura 3.20) se numește “Aplicație tipică de sistem de interfațare pentru testare” .

3. Echipamente de testare automată pentru avionică.

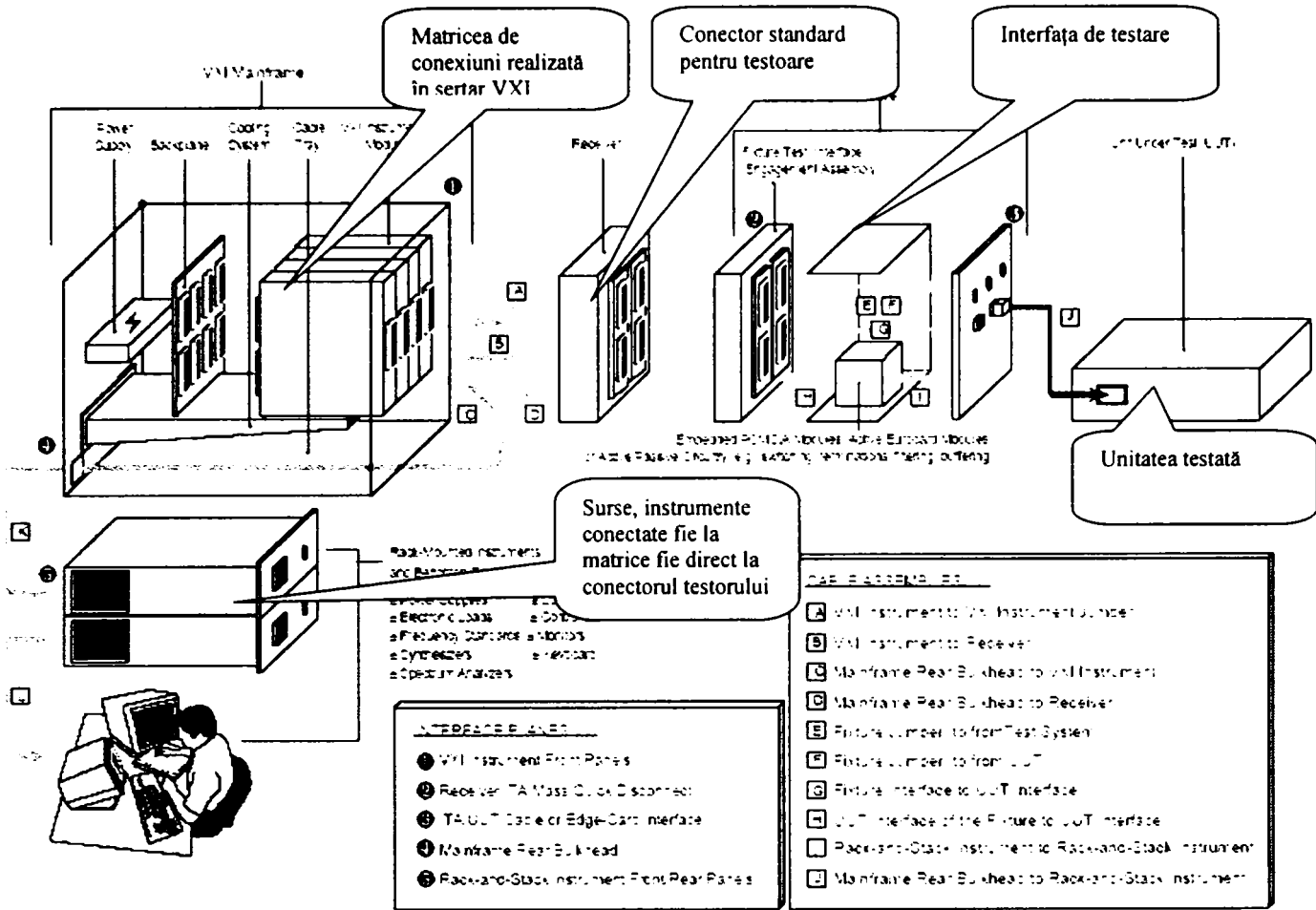
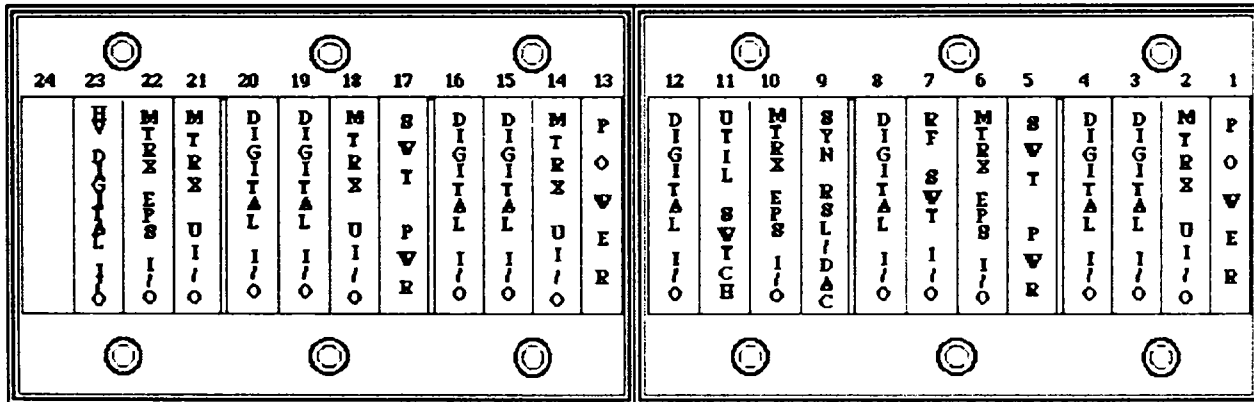


Fig. 3.20 Un sistem de testare automată conform IEEE P1505

Conectorul testorului este construit conform standardului ARINC 608 și preluat și de IEEE P1505 și are 24 de conectori fiecare cu două secțiuni A și B. Harta acestui conector a fost standardizată la rândul ei și practic aceasta definește arhitectura testorului:



- |   |  |
|---|--|
| <ul style="list-style-type: none"> <li>1 - Program DC Power 1-6, Sense 1-6 (16 High, 28 Low power pins)</li> <li>2 - Matrix Universal I/O (96 low frequency signal pins)</li> <li>3 - Digital I/O 1-64 Channels (128-192 signal pins)</li> <li>4 - Digital I/O 65-128 Channels (128-192 signal pins)</li> <li>5 - Switch DC Power, Sense (16 High, 28 Low power pins)</li> <li>6 - Matrix I/O (24 low RF coax pins)</li> <li>7 - RF Switch I/O (12 high RF coax pins)</li> <li>8 - Digital I/O 129-192 Channels (128-192 signal pins)</li> <li>9 - Synchro Resolver Simulator/Indicator and Digital to Analog (DAC) Converters 1-12 (50-200 signal pins)</li> <li>10 - Matrix I/O (24 low RF coax pins)</li> <li>11 - Low Frequency Utility Switching (128-192 signal pins)</li> <li>12 - Digital I/O 193-256 Channels (128-192 signal pins)</li> </ul> | <ul style="list-style-type: none"> <li>13 - Program DC Power 1-6, Sense 1-6 (16 High, 28 Low power pins)</li> <li>14 - Matrix Universal I/O (96 low frequency signal pins)</li> <li>15 - Digital I/O 257-320 Channels (128-192 signal pins)</li> <li>16 - Digital I/O 321-384 Channels (128-192 signal pins)</li> <li>17 - Switch DC Power, Sense (16 High, 28 Low power pins)</li> <li>18 - Matrix Universal I/O (96 low frequency signal pins)</li> <li>19 - Digital I/O 385 - 448 Channels (128-192 signal pins)</li> <li>20 - Digital I/O 449-512 Channels (128-192 signal pins)</li> <li>21 - Matrix Universal I/O (96 low frequency signal pins)</li> <li>22 - Matrix I/O (24 low RF coax pins)</li> <li>23 - High Voltage Digital I/O 1-64 Channels (128-192 signal pins)</li> <li>24 - Digital I/O 513-536 Channels (128-192 signal pins)</li> </ul> |
|---|--|

Fig. 3.21 Conectorul ARINC 608

După cum se remarcă (din figura 3.21) acest conector practic leagă o parte din resurse direct iar o parte prin matricea de conexiuni la conectorul testorului. Sursele de alimentare precum și o parte din stimuli sunt aduse direct la acest conector, dar de obicei unele dintre ele sunt trecute prin contacte de releu și eventual circuite de protecție. Cea mai mare parte din instrumente sunt conectate prin matricea de conexiuni. Aceasta alocare a conectorului este dedicată domeniului tehnologic al testării aparatelor electronice folosite pe aeronave.

### 3.4.1 Matricea de conexiuni

Matricea de conexiuni leagă resursele testorului de conectorul acestuia. Posibilitățile de interconectare sunt limitate. Tipurile de conexiuni pe care un testor le are de realizat pot fi clasificate astfel:

- conexiuni de putere (300 VDC, 28ADC, rezistența max. a contactului 10 mOhm).
- conexiuni de semnal (300 VDC, 2ADC, rezistența max. a contactului 10 mOhm, capacitatea mai mică de 10 pF, zgomot „crosstalk” mai mic de 60 dB la 10 MHz și mai mic de 40 dB la 100MHz ).
- conexiuni de semnal RF de joasă frecvență (banda până la 1,2 GHz).
- conexiuni de semnal RF de înaltă frecvență (bandă până la 26,5 GHz).

În general conexiunile de putere sunt mai simple și nu sunt duse prin matrice, iar cele de RF sunt duse printr-o matrice specială mai mică. Matricea care realizează conexiunile de semnal este complexă cu un număr mare de interconexiuni posibile. Prezint în continuare arhitectura unui modul de matrice de conexiuni realizat de firma RADA Electronic Ind. Ltd<sup>[8]</sup>:

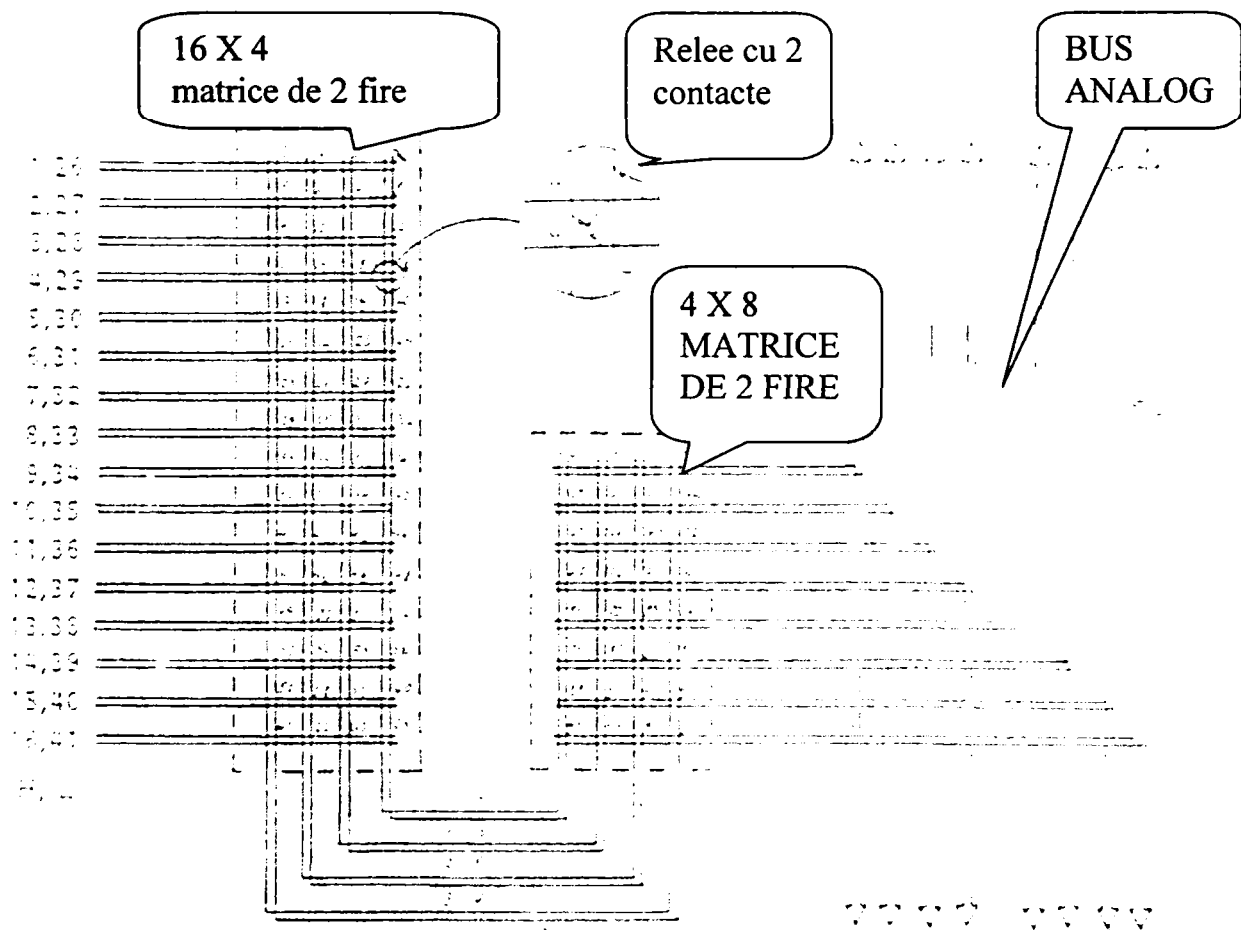


Fig. 3.22 Matricea de conexiuni la testorul SMART CATS



Acest gen de matrice este realizat cu 96 de relee pe o placă VXI. Matricea poate realiza de 2 ori 4 legături pe 2 fire sau de 2 ori 2 legături pe 4 fire. Pe bus-urile analoge se leagă instrumentele (senzori sau stimuli) acestea putând fi conectate fie pe partea A fie pe partea B a conectorului (figura 3.23).

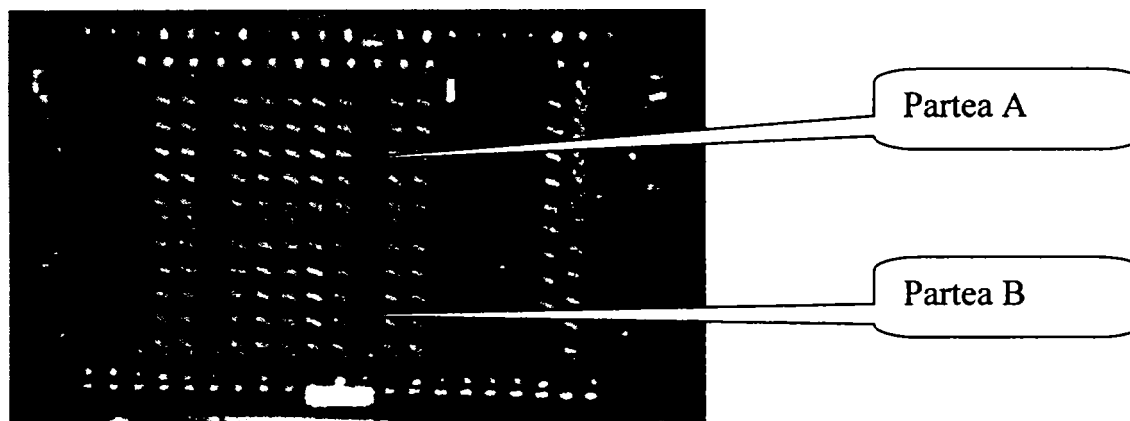


Fig. 3.23 Conectorul testorului SMART CATS

Racal Instruments construiește plăcile VXI cu relee în diverse configurații cu care se pot construi matrice de conexiuni de dimensiuni mari. Astfel seria 1260A Opt 01T permite conectarea în serie a unui număr de 12 plăci pe care controlorul de bus VXI le vede ca pe un singur modul. În realitate există un modul master legat printr-un bus local (conexiune exterioară prin față) cu celelalte module. Un astfel de lanț poate fi comandat fie prin registre, fie mai elegant în limbaj "SCPI". Sistemul include structura care descrie starea conform IEEE 488.2. Pe lângă comenzile comune există două comenzi importante: "CLOSE" și "OPEN".

Aceste comenzi specifică adresa precisă a releului care trebuie închis sau deschis, precizând adresa modulului VXI (de la 1 la 12) și adresa canalului (releului de pe placă). Există posibilitatea monitorizării contactului închis prin citirea unor contacte auxiliare în registre de control. Sistemul poate controla cu mare viteză mai multe relee în paralel sincron sau asincron. Plăcile pot fi matrice de relee sau grupuri de relee de putere sau chiar plăci de intrări-ieșiri digitale. Există posibilitatea unor execuții în lanț cu specificarea operațiilor succesive. Astfel un releu poate fi deschis înainte ca următorul să fie închis (BBM Break Before Make) sau un releu poate fi deschis după ce următorul a fost închis (MBB Make Before Break).

Toate aceste operațiuni sunt extrem de importante în timpul testării, fie pentru a descărca o capacitate parazită, fie pentru a proteja un circuit. În general astfel de operațiuni sunt necesar să fie standardizate și automatizate, un astfel de sertar fiind unul din elementele foarte scumpe dintr-un testor și foarte expus accidentelor.

3.4.2 Capabilitățile de bază ale elementelor de conexiune (Switch)<sup>[32]</sup>

Clasa instrumentelor de conexiune definește acele dispozitive care pot realiza o conexiune între două puncte, indiferent dacă sunt necesare mai multe relee sau dacă nu sunt necesare toate relele avute la dispoziție. Vom defini în continuare termenii utilizați în descrierea conexiunilor:

- **Canal:** un punct de conexiune la modulul de conexiuni pe care utilizatorul îl poate accesa. Un canal nu specifică un număr de fire, el putând consta în 1,2,3,4 fire spre exemplu;
- **Pereche de canale:** două nume de canale legate prin simbolul “->”;
- **Comun:** numele canalului de ieșire la un multiplexor;
- **Canal de configurare:** este un canal care nu este accesibil direct dar poate fi folosit pentru crearea unei legături între două canale;
- **Modul de matrice de conexiuni:** un modul de conexiuni cu intrări și ieșiri multiple organizat sub forma unei matrici în care fiecare linie poate fi conectată la oricare coloană;
- **Modul de multiplexare conexiuni:** un modul de conexiuni cu multiple intrări dar cu o singură ieșire;
- **Cale:** este legătura între două canale. De remarcat că modulul de conexiuni trebuie să știe care căi sunt valide, invalide sau folosite;
- **Modul de conexiuni de tip scanner:** are capabilitatea de a scana canalele;
- **Canal sursă:** un canal direct accesibil de către utilizator pentru o conexiune externă;
- **Modul de conexiune:** un dispozitiv controlat de utilizator;

Atributele clasei de conexiuni pentru grupul de bază sunt următoarele:

- **AC Current Carry Max** – curentul (AC) maxim pe care îl duce canalul;
- **AC Current Switching Max** – curentul(AC) maxim care poate fi comutat;
- **AC Power Carry Max** – Puterea (AC) maximă admisă prin canal;
- **AC Power Switching Max** – Puterea (AC) maximă comutată pe canal;
- **AC Voltage Max** – Tensiunea(AC) maximă admisă pe canal;
- **Bandwith** – Banda de frecvență transferată de canal cu atenuare mai mică de 3 dB;
- **Channel Count** – returnează numărul canalelor disponibile;
- **Channel Item** – returnează un pointer la proprietățile canalului pe baza numelui;
- **Channel Name** – returnează numele pe baza unui index;
- **Characteristic Impedance** – returnează impedanța canalului;
- **DC Current Carry Max**– curentul (DC) maxim pe care îl duce canalul;
- **DC Current Switching Max** – curentul(DC) maxim care poate fi comutat;
- **DC Power Carry Max** – Puterea (DC) maximă admisă prin canal;
- **DC Power Switching Max** – Puterea (CC) maximă comutată pe cana;

- **DC Voltage Max** – Tensiunea(DC) maximă admisă pe canal;
- **Is configuration Channel** – specifică utilizarea canalului pentru crearea de căi de conexiune, considerat legătură internă;
- **Is debounced** – raportează stabilizarea conexiunii după comandă și terminarea tuturor oscilațiilor contactelor;
- **Is Source Channel** – canalul declarat canal sursă;
- **Settling Time** – timpul după care semnalul prin canalul respectiv este considerat stabil din punct de vedere al conexiunii;
- **Wire Mode** – descrie numărul de fire pentru canalul respectiv;

Funcțiile cu care aceste atribute pot fi modificate sunt următoarele:

- **Can Connect** - verifică posibilitatea creerii căii de conexiuni;
- **Connect** - realizează o cale de conexiuni între două canale;
- **Disconnect** - desface o cale de conexiuni între două canale;
- **Disconnect All** - desface toate căile conectate la acel moment;
- **Get Channel Name** - returnează numele canalului pe baza unui index;
- **Get Path** - returnează o listă a perechilor de canale utilizate pentru realizarea unei cai de conexiune între două canale;
- **Is Debounced** - confirmă terminarea vibrațiilor pe calea respectivă și ca semnalul pe acea cale este stabil conectat;
- **Set Path** - permite utilizatorului să seteze căile de configurare pentru a realiza o anumită cale de conexiuni. Uzual acest lucru este realizat automat de modulul de conexiuni;
- **Wait For Debounce** - setează timpul de stabilizare a semnalului, iar dacă acesta este depășit returnează eroare;

### 3.5 Testarea comunicației și instrumente pentru testarea dispozitivelor de comunicație. <sup>[21][8][100][110]</sup>

Numeroasele dispozitive electronice care se găsesc în alcătuirea unei aeronave comunică între ele folosind câteva tipuri de comunicație specifice acestei industrii. În figura 3.24 sunt prezentate dispozitivele conectate pe bus-urile Arinc 629 și rețeaua LAN pe avionul Boeing 777. Se remarcă existența a două bus-uri A629, unul pentru controlul zborului și unul pentru interconectarea sistemelor și transferul datelor. Al doilea poate fi folosit și pentru reîncărcarea de noi versiuni de soft operațional în timpul operațiilor de întreținere la sol.

Pentru noile arhitecturi de aeronave comunicația este esențială. Standardul Arinc 629 este un standard nou, foarte eficient în utilizarea și alocarea canalului de comunicație.

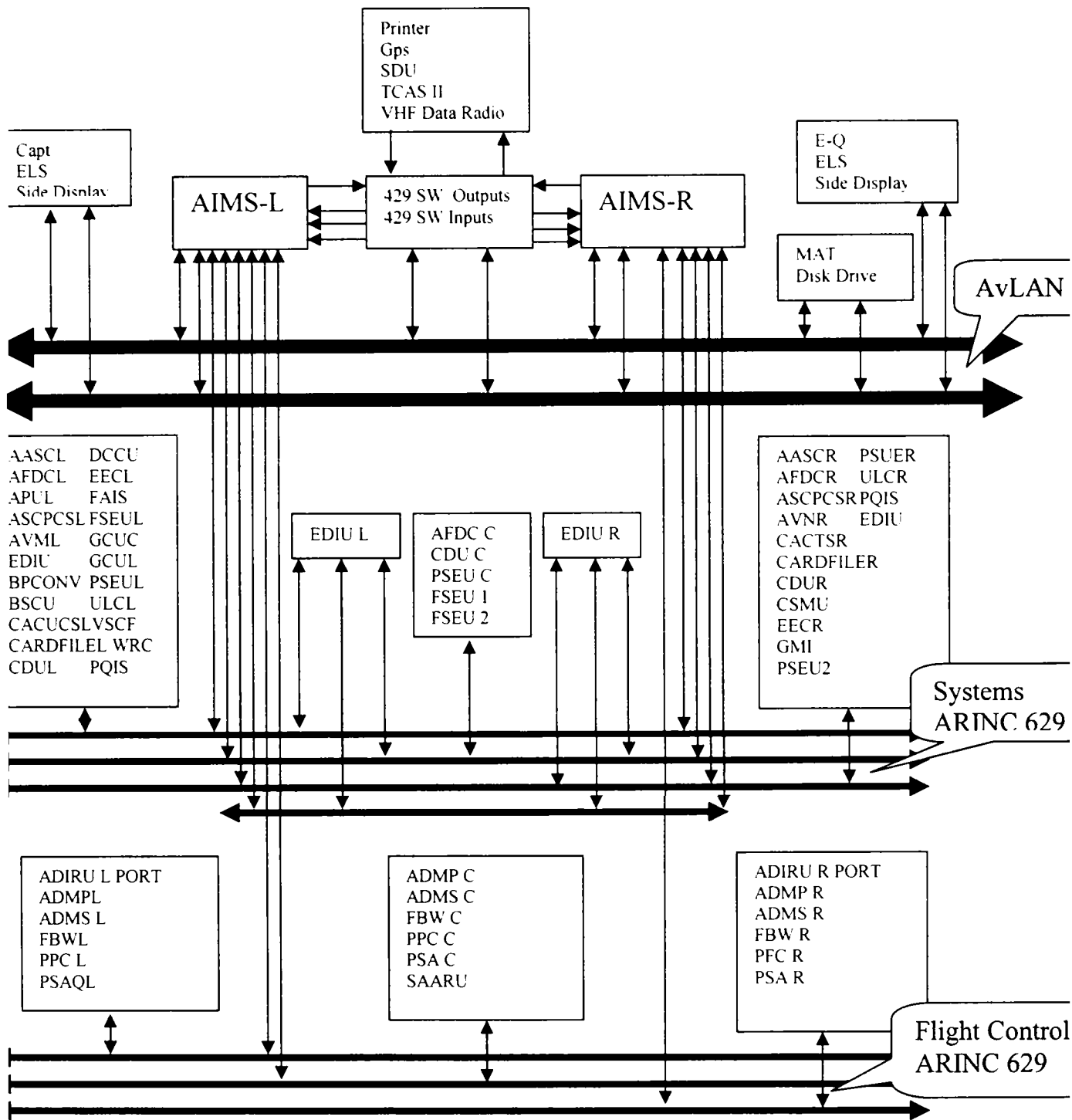


Fig. 3.24 Schema cu unitățile conectate la bus-urile 629 pe avionul Boeing 777

Majoritatea dispozitivelor testate au prin construcție circuite destinate comunicației, testarea acestor funcții de comunicație fiind absolut necesară, existența unor instrumente specializate în arhitectura testorului și cunoașterea acestor tipuri de comunicație este de asemenea necesară. Deoarece standardele ARINC 429 și ARINC 629 sunt implementate aproape pe toate unitățile, se prezintă aceste standarde precum și instrumentele folosite pentru testare.

### 3.5.1 ARINC 629<sup>[21][110]</sup>

Arinc 629 este un bus serial digital dezvoltat de compania Boeing pentru transferul datelor și controlul informației în interiorul avionului. Un bus A629 poate fi folosit de 120 de transmițătoare fără nici un controlor de bus. Fiecare dispozitiv se interfațează cu acest bus printr-un "terminal controller", un modul de interfață serială (SIM) și un cuplor de current. Bus-ul propriu-zis este o pereche de fire torsadate cu 130 Ohm la fiecare capăt (terminatori). Terminal controller-ul este programat cu un ROM de personalitate. Un dispozitiv va împărți o zonă de memorie cu terminal controller-ul.

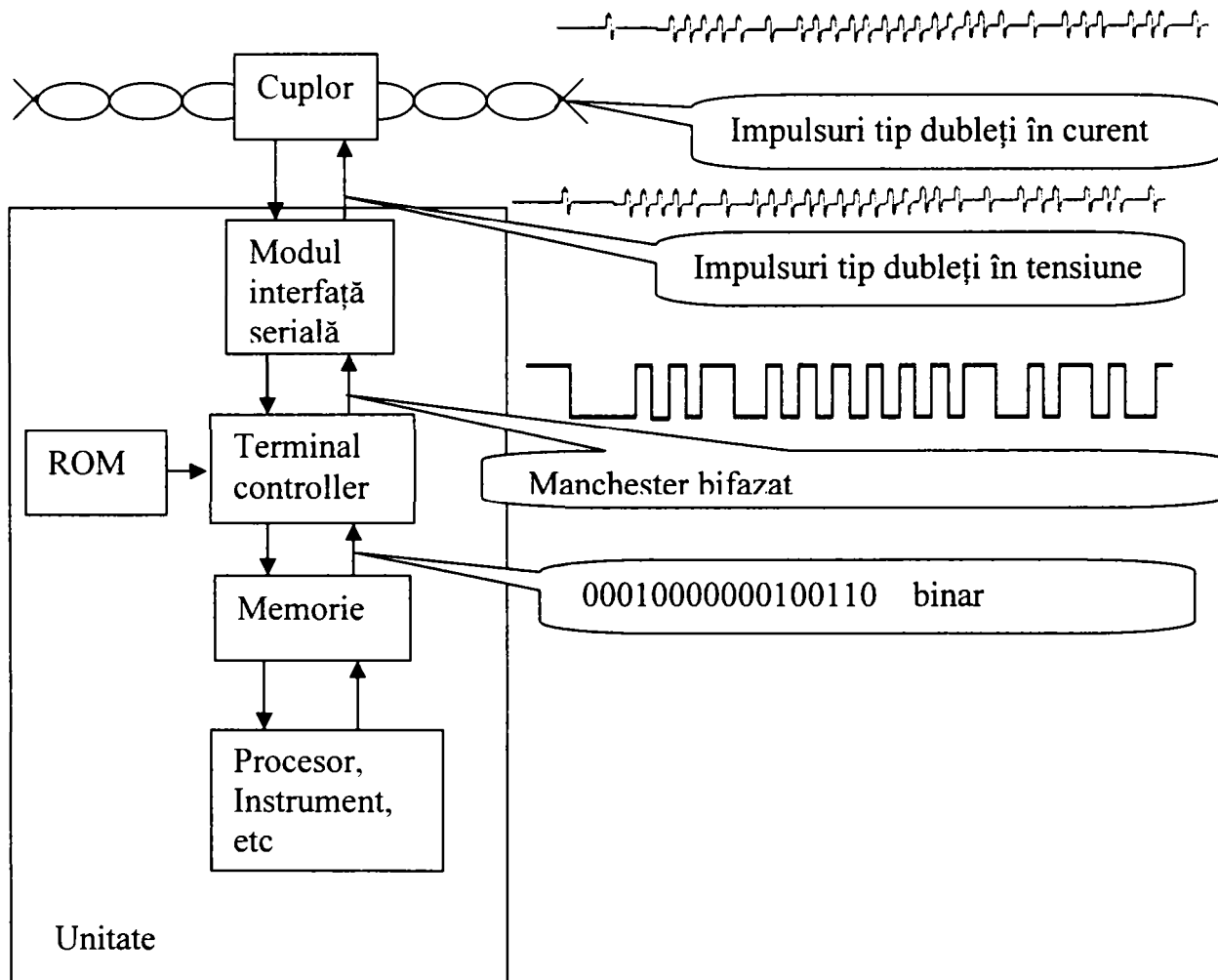


Fig. 3.25 Schema circuitului de conectare la bus-ul ARINC 629 a unei unități

Fiecare terminal monitorizează activitatea pe bus și menține 3 „timere” pentru a evita coliziunile, a permite acces egal tuturor unităților, și pentru o utilizare maximă a benzii fără un controlor de bus.

Un terminal trimite un mesaj odată. Un mesaj este alcătuit din 31 de șiruri de cuvinte. Un șir poate fi compus din maxim 257 de cuvinte. Un cuvânt are 3 biți de sincronizare, 16 biți de date și un bit de paritate. Fiecare șir are în față o etchetă de

identificare din 16 biți din care 12 identifică șirul și 4 biți mai semnificativi identifică canalul. Între două șiruri consecutive din același mesaj există un spațiu de timp egal cu 4 biți.

Fiecare controler de terminal are trei „timere”:

- Interval de transmisie (TI);
- Intervaie între terminale (Terminal Gap TG);
- Interval de sincronizare (Synchronization Gap SG);

Toate terminalele folosesc același TI. Dacă bus-ul nu este supraîncărcat fiecare terminal va transmite odata în intervalul TI. Fiecare terminal va avea un TG diferit eliminând astfel posibilitatea coliziunii. Un terminal transmite dacă după TG-ul său bus-ul este liber. SG garantează accesul fiecărui terminal la bus. SG este mai lung decât cel mai mare TG. SG este un interval după transmisie în care terminalul respectiv nu poate să transmită.

### 3.5.2 Modulul de comunicație VX4469A

Modulul de comunicație ARINC 629 de tip VX4469A produs de Tekronix este o placă VXI bazată pe procesorul Intel 80186 și care este programată în mod registru. Nu s-au definit capabilități pentru acest instrument. *Autorul a construit un driver sub mediul PAWS pentru această placă*. Se prezintă schema bloc a acestei plăci în figura 3.26.

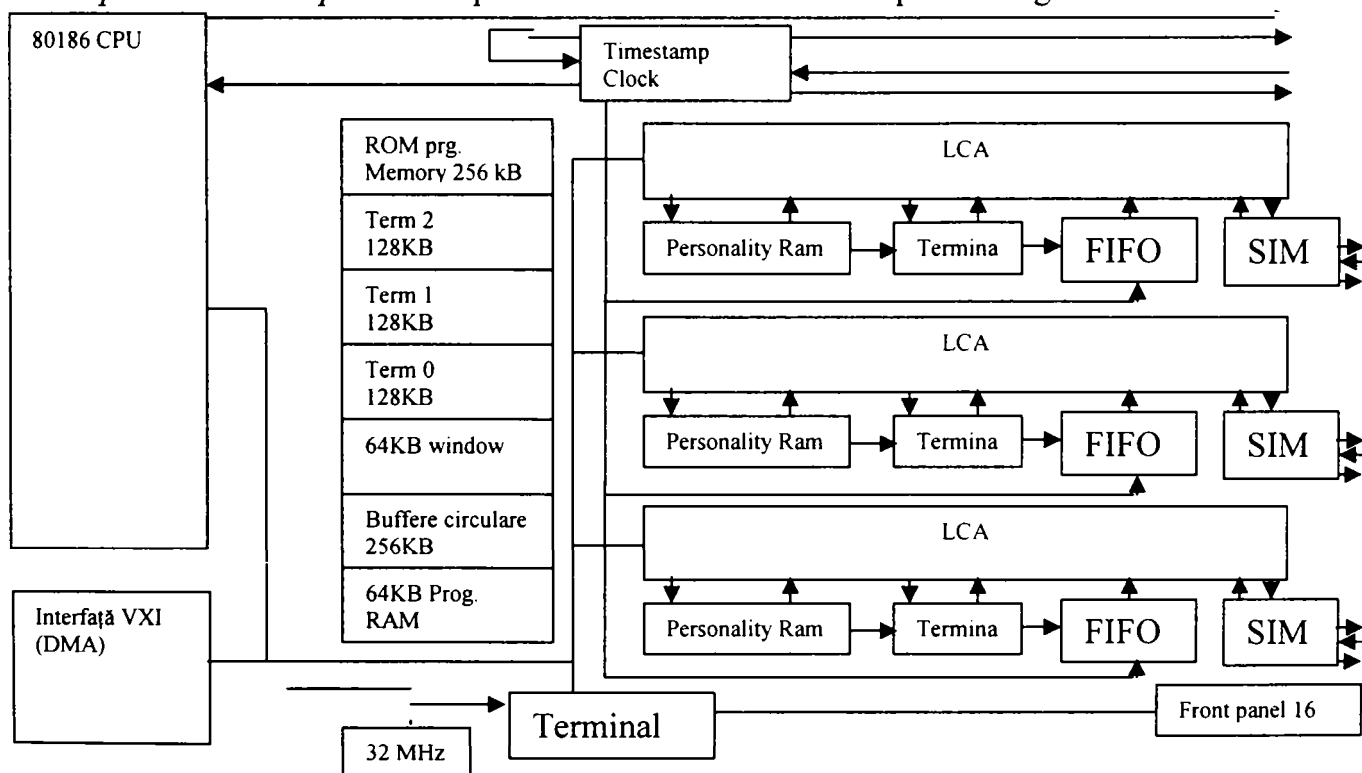


Fig. 3.26 Schema bloc a plăcii VX4469A

### 3.5.3 ARINC 429<sup>[17]</sup>

ARINC 429 numit și “Mark 33 Digital Information Transfer System (DITS)” este cel mai răspândit sistem de comunicație, între dispozitivele electronice de pe avioane, folosit în acest moment. Acest standard descrie un sistem în care un dispozitiv electronic care are de transmis o informație, o face de la un port desemnat, printr-o pereche de fire torsadate și ecranate, către toate sistemele care au nevoie de informația respectivă. Nu este permisă transmisia bidirecțională. Semnalul transmis este un semnal diferențial.

Modulul TVXI/429 (placă VXI) produs de TASC0 are schema bloc:

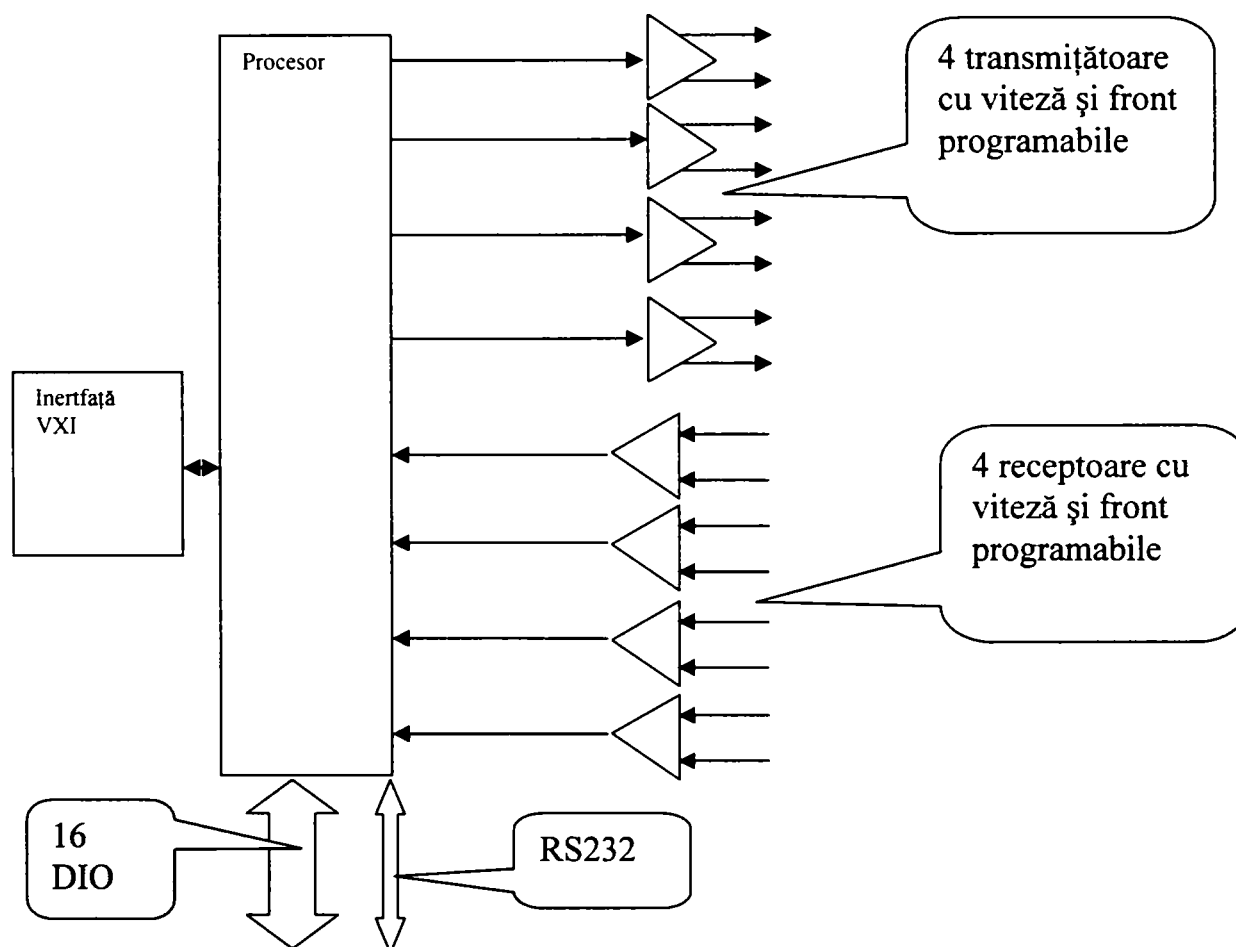


Fig. 3.27 Schema bloc a plăcii TVXI/429

Protocolul Arinc 429 operează cu cuvinte de 32 de biți construite ca în figura de mai jos:

32	31	30	29	28	27	26	25	24	23	22	21	20	19	18	17	16	15	14	13	12	11	10	9	8	1
P	SSM	Data																		Par	SDI	LABEL			

P = paritate

SSM = “Sign / Status Matrix” specifică modul de operare

DATA PAD = datele propriu-zise

SDI = Sursă / Identificare Destinație (dacă sunt mai multe destinații sau surse posibile)

LABEL = tipul de date (acestea sunt foarte precise în standardul A429)

Din punct de vedere electric cuvintele sunt trimise în mod diferențial pe două fire față de masă:

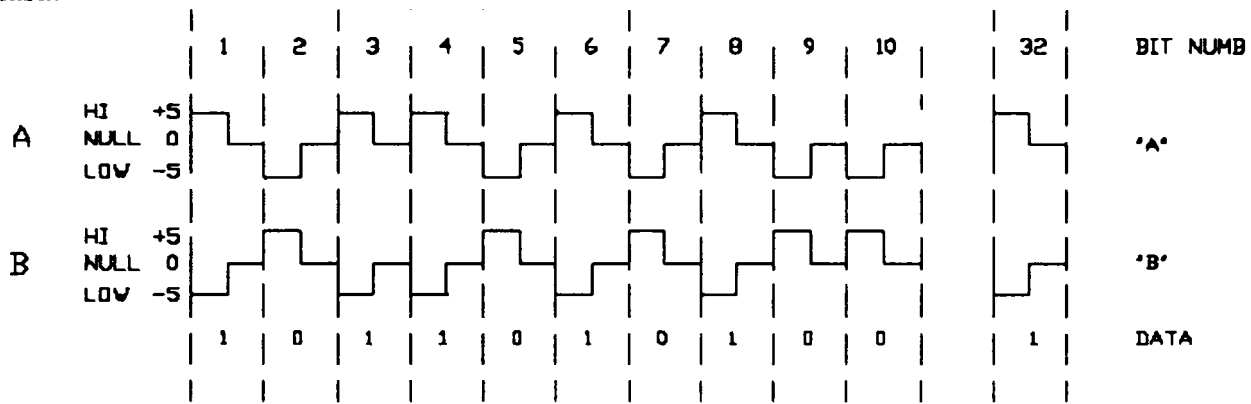


Fig. 3.28 diagramele de timp ale semnalelor pe busul Arinc 429

După cum se observă între A și B avem +10V pentru 1 logic și -10V pentru 0 logic. Semnalul este de tipul RZ (Return to Zero). În detaliu acesta arată astfel:

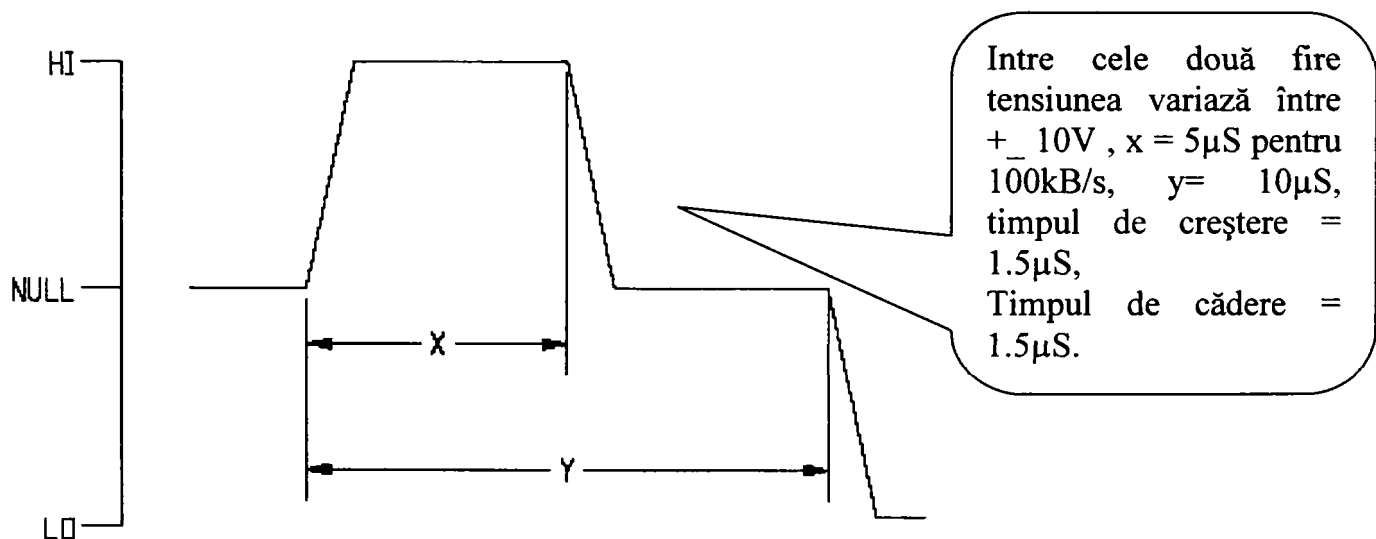


Fig. 3.29 Amplitudinea și duratele semnalului pe bus-ul ARINC 429



### 3.6 Surse de alimentare.<sup>[31][158][202]</sup>

Sursele de alimentare pot fi AC sau DC. Pentru avionică se folosesc alimentări de 28 VDC sau de 115VAC și 400 Hz. Aceste instrumente se folosesc atât pentru alimentarea propriu-zisă cât și pentru generarea unor stimuli.

Foarte des folosite în construcția testoarelor sunt sursele AC produse de California Instruments de tip 503T<sup>[X]</sup>. Acestea sunt surse trifazate (3 faze și nul) care acoperă frecvențe între 5 Hz și 10 KHz cu puteri de maxim 170 VA pe fază. Sursa este comandată GPIB, are limbajul SCPI implementat și poate controla separat pe fiecare fază amplitudinea, faza, frecvența și curentul. De asemenea sursa poate genera rampe de tensiune sau de frecvență. Nu există definit un instrument generic pentru sursele de curent alternativ și nici capabilități de bază.

Producătorii de surse DC sunt mai numeroși, sursele de tip HP603xA produse Hewlett Packard sunt printre cele mai folosite. Valorile electrice acoperite de aceste surse sunt variate în funcție de tipul ales. Aceste surse pot fi controlate GPIB și pot îndeplini următoarele funcții:

- programarea tensiunii;
- programarea curentului;
- posibilitatea de declanșare;
- controlul prezenței tensiunii la ieșire;
- limitarea curentului și atensiunii;
- raportarea stării;
- protecție tip “foldback”;
- măsurarea tensiunii;
- măsurarea curentului;
- self test;

#### 3.6.1 Capabilități de bază pentru sursele DC<sup>[31]</sup>.

O sursă DC este considerată o sursă de semnal DC. Definim în continuare câțiva termeni uzuali în descrierea surselor DC:

- **Nivel de tensiune** - tensiunea pe care sursa încearcă să o genereze;
- **OVP** - protecție la supratensiune (Over Voltage Protection). Dacă aceasta este validată, sursa oprește generarea de tensiune la ieșire;
- **Current Limit** - limită de curent. Există două situații posibile: fie sursa oprește generarea de tensiune, fie trece în regim de sursă de curent;
- **Mod de tensiune constantă** - sursa reglează curentul și menține tensiunea constantă;
- **Mod de curent constant** - reglează tensiunea și menține curentul constant;
- **Mod neregulat** - când sursa nu reușește să regleze la valorile programate nici curentul nici tensiunea;

Diagrama tensiune curent pentru o sursă DC este următoarea:

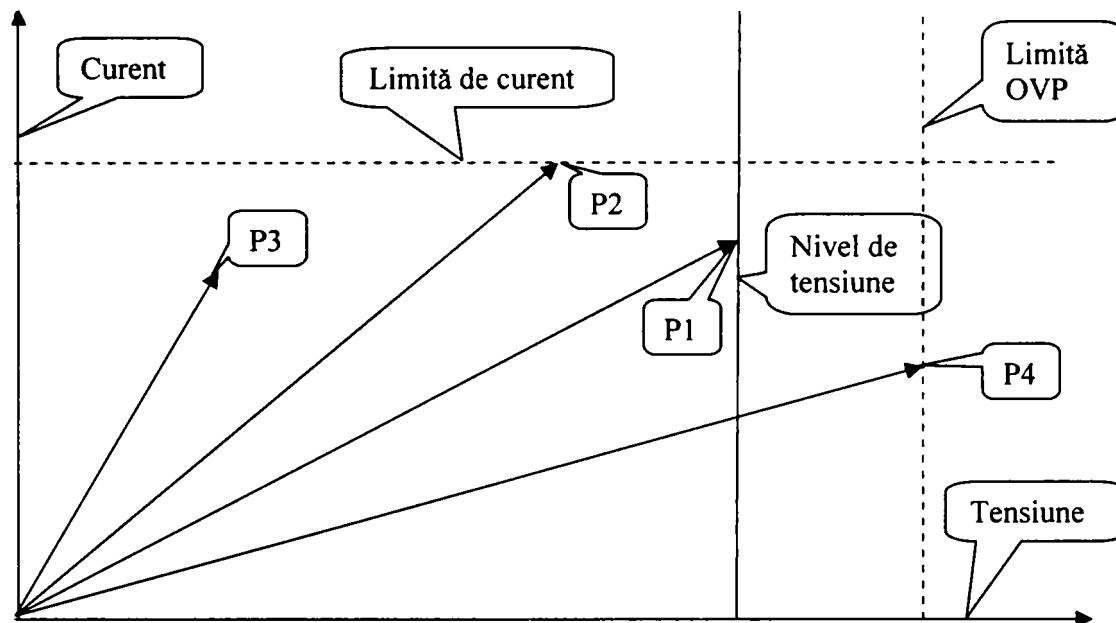


Fig. 3.30 Diagrama tensiune – curent pentru sursele DC

- Punctul P1 - sursa se află în mod de tensiune constantă;
- Punctul P2 - sursa se află în mod de curent constant;
- Punctul P3 - sursa se află în mod neregulat;
- Punctul P4 - sursa a atins limita de protecție la supra-tensiune;

Atributele definite pentru grupul de bază sunt următoarele:

- Limita de curent;
- Comportarea la limita de curent;
- Validare ieșire;
- Validare OVP;
- Nivel de tensiune;
- Numărul canalului de ieșire;
- Numele canalului;

Funcțiile cu care se operează asupra acestor atribute sunt următoarele:

- Configure Current Limit;
- Configure Output Enabled;
- Configure Output Range;
- Configure OVP;
- Configure Voltage Level;

- Get OutputChannelName;
- Query Current Limit Max;
- Query Voltage Level Max;
- Query Output State;
- Reset Output Protection;

### 3.7 Interfața de testare (TUA)<sup>[55-80][18]</sup>

Adaptorul de testare este un subansamblu care face legătura între conectorul standard al testorului și conectorul unității testate, dar cuprinde și resursele suplimentare necesare pentru testare care nu există în structura testorului.

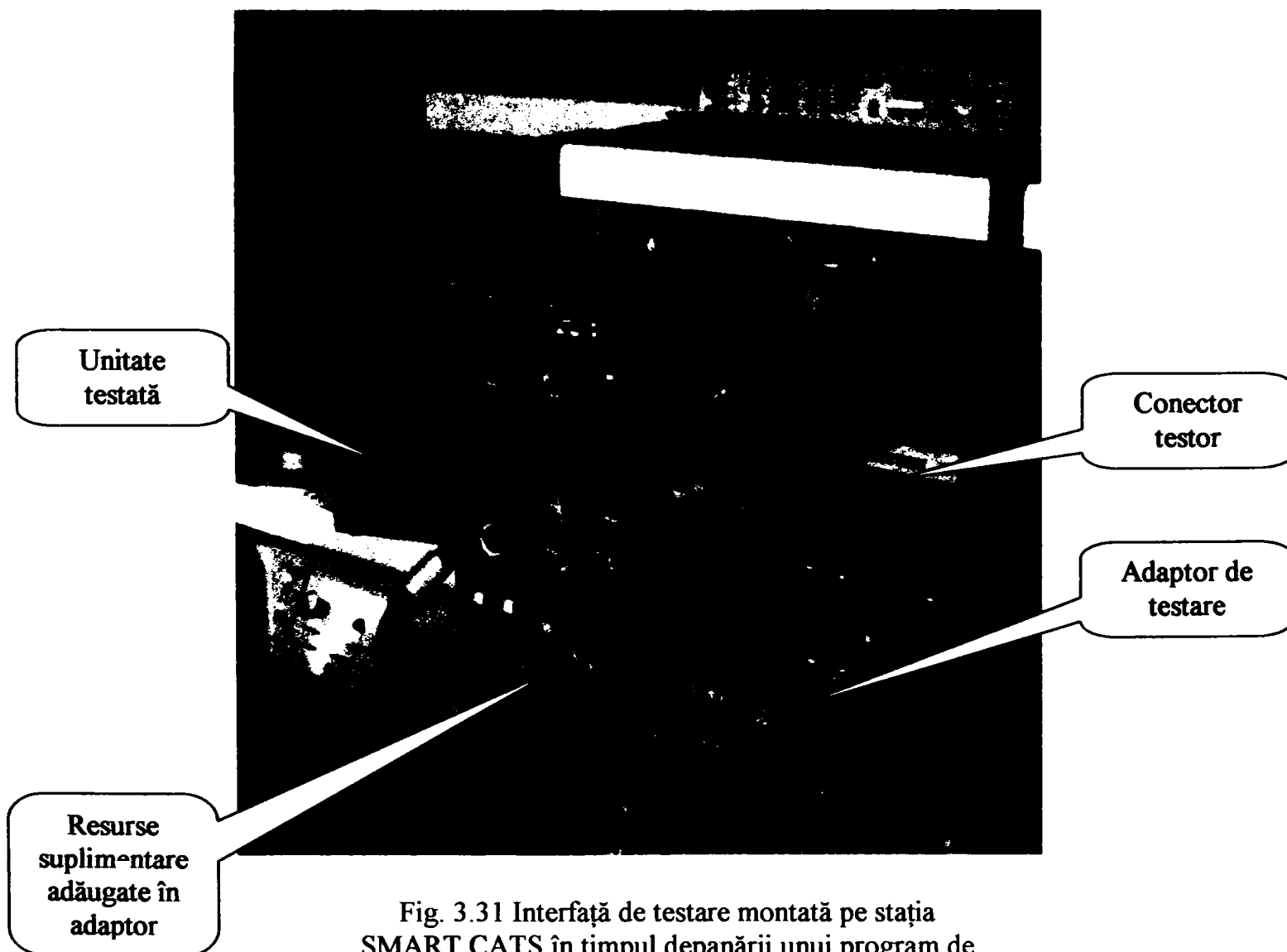


Fig. 3.31 Interfață de testare montată pe stația SMART CATS în timpul depanării unui program de testare

Adaptorul de testare se construiește respectând câteva reguli:

- Acesta are întodeauna un mod de identificare astfel încât eroare de conectare a unui adaptor cu o unitate nepotrivită să nu distrugă unitatea;
- Adaptorul are un program de testare propriu și în consecință este proiectat cu posibilitatea de măsurare a resurselor pe care le conține;

### 3.7.1 Interfața de testare pentru unitatea CSCP (Cabin System Control Panel) <sup>[40]</sup>

CSCP este o unitatea principală din sistemul de management al cabinei. Aceasta este o consolă (tip touch screen) folosită de personalul de însoțire pentru diverse comenzi cum ar fi aprinderea luminilor, monitorizare și control, aflarea adresei pasagerilor, etc. Tot această unitate este folosită de personalul de întreținere pentru încărcarea softului operațional și a bazelor de date, realizând testarea și diagnosticarea sistemului precum și funcții generale de întreținere și reconfigurare. CSCP este interfațat cu unități precum CSMU și EMC și cu serverul de date pentru cabină. CSCP conține două sisteme cu procesorul INTEL 80486, unul operând sub UNIX și unul sub Windows, fiind legat cu două conexiuni Ethernet cu rețeaua și conținând conexiuni audio, video, etc. Se prezintă câteva circuite folosite pentru testarea acestei unități, care sunt uzuale:

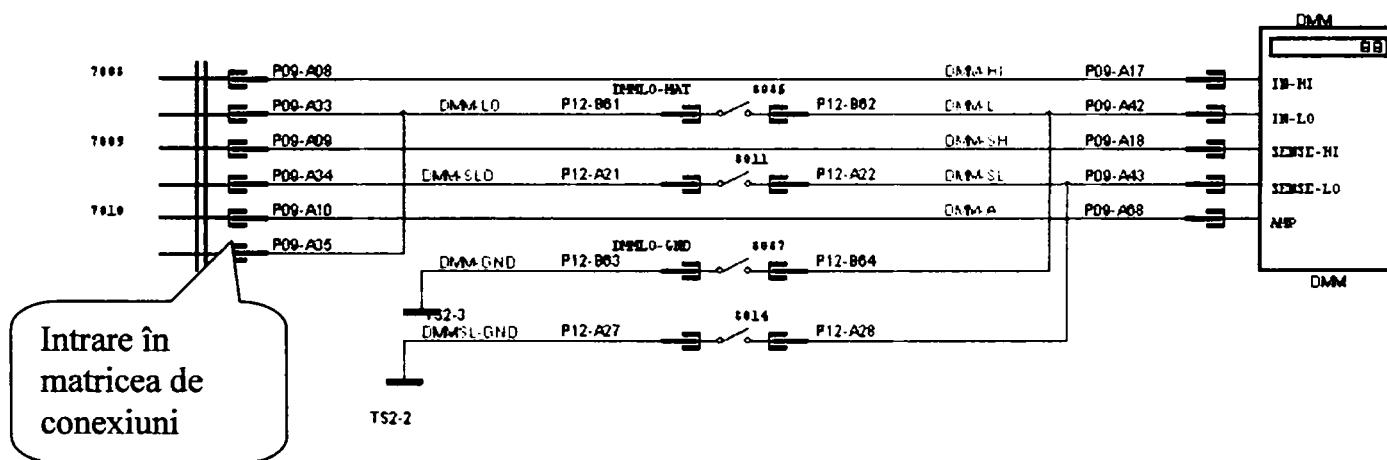


Fig. 3.32 Conectarea DMM-ului la matricea de conexiuni.

Modul de legare al DMM-ului la matricea de conexiuni permite diverse tipuri de măsurători (pe patru fire, pe două fire, scanare cu un fir legat la masă).

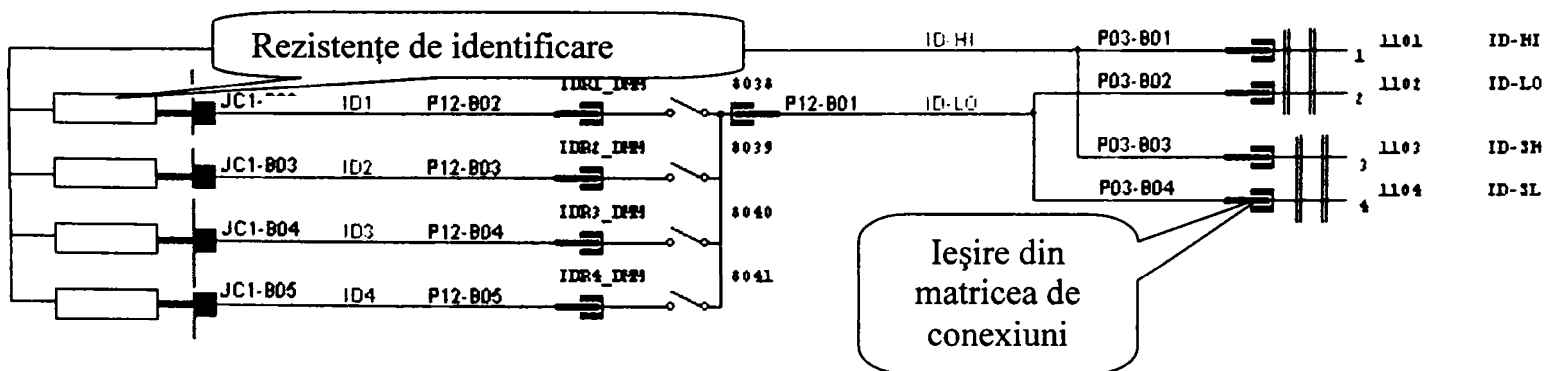


Fig. 3.33 Conectarea rezistențelor de identificare ale interfeței la matricea de conexiuni.

Schema de identificare permite măsurarea cu DMM-ul pe 4 fire a patru rezistențe care sunt unice pentru unitatea respectivă. Cele 4 rezistențe sunt plasate în adaptor. O situație mai dificilă se întâlnește la verificarea unitaților, care nu au fost construite pe acest principiu și inginerul care proiectează testul imaginează un test de verificare măsurând rezistența unor circuite la rece, test care se efectuează înainte de alimentarea unității.

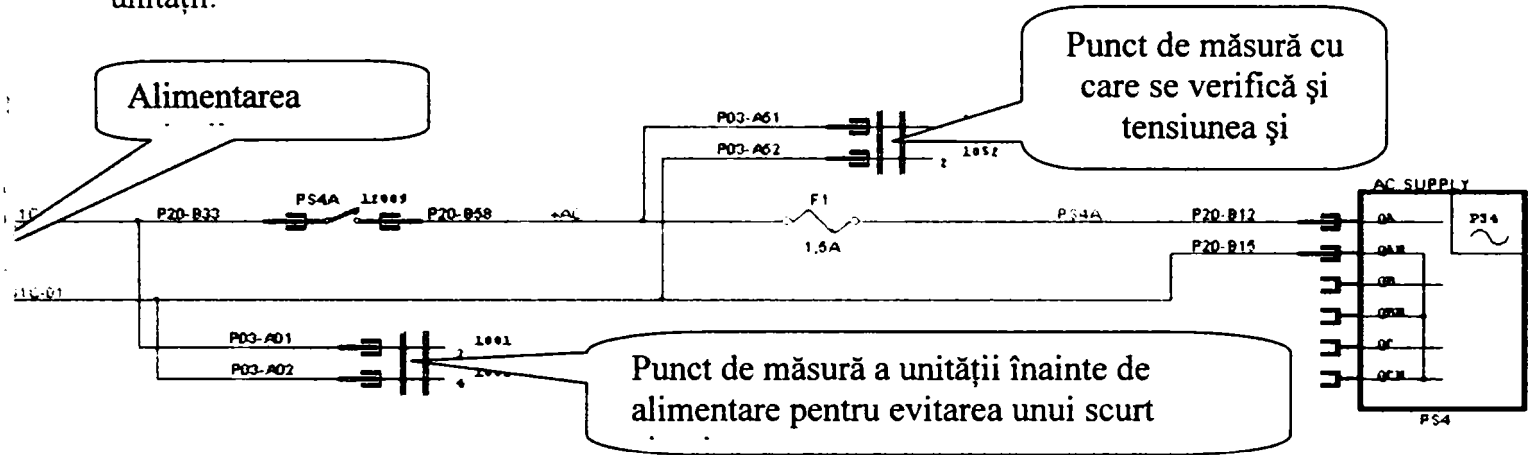


Fig. 3.34 Alimentarea unității testate cu tensiune AC.

Alimentarea unității cu tensiune alternativă de 115 V și 400 de Hz se face de la una din fazele unei surse de tip California Instruments de 500 VA.

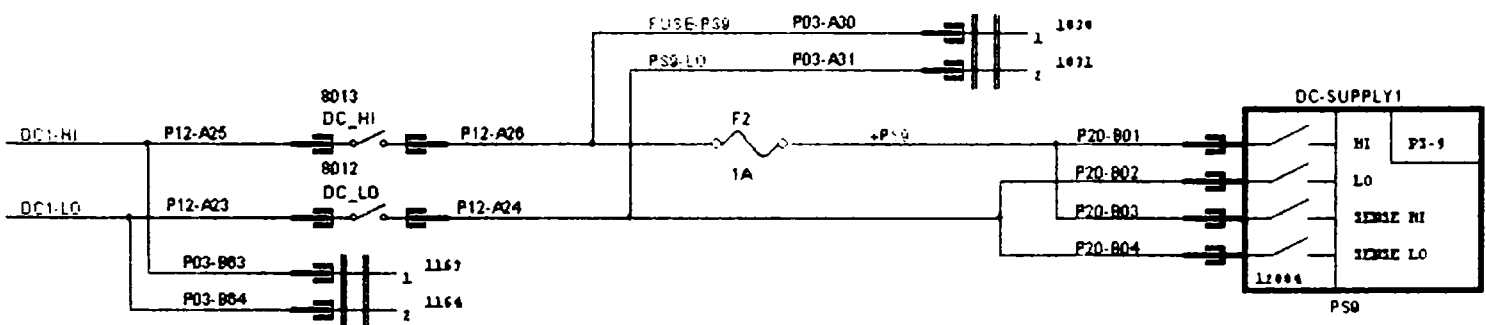


Fig. 3.35 Alimentarea unității testate cu tensiune DC.

Alimentarea cu curent continuu este similară cu cea de curent alternativ.

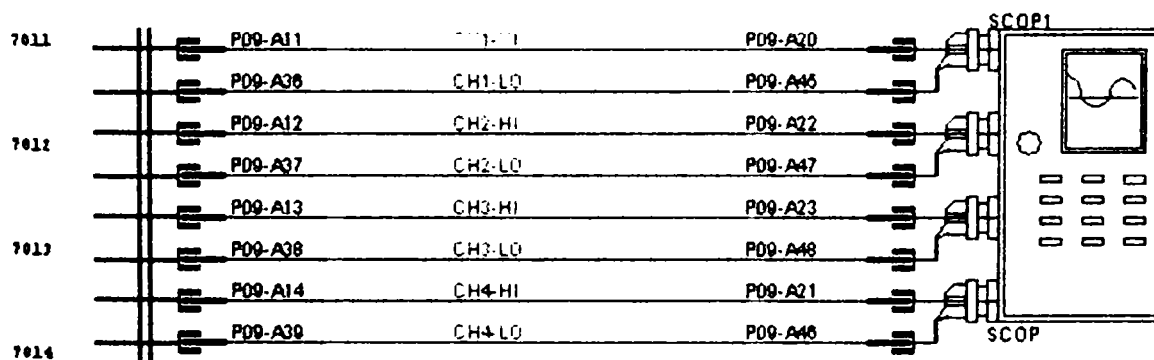


Fig. 3.36 Conectarea osciloscopului cu 4 canale la matricea de conexiuni.

Figura 3.36 prezintă conectarea osciloscopului cu toate cele 4 canale la matricea de conexiuni. După cum se remarcă acesta ocupă 4 canale analoge în varianta în care 2 canale sunt conectate simultan, altfel ocupând chiar mai multe. Cum de multe ori sunt necesare și alte resurse pe matrice când se măsoară cu osciloscopul testele care folosesc toate canalele sunt dificil de administrat.

### 3.8 Concluzii

Echipamentele de testare automată folosite pentru testarea dispozitivelor electronice din aviație sunt supuse unui intens proces de standardizare pe diversele paliere care alcătuiesc aceste sisteme complexe.

Gama instrumentelor virtuale interschimbabile (IVI) se diversifică odată cu diversificarea numărului de dispozitive. Această diversificare este primul pas spre necesitatea realizării instrumentelor sintetizate. Instrumentele sintetizate sunt instrumente generice realizate prin intermediul unor instrumente simple ale căror operații vor fi integrate de către driver-ele IVI.

Tipurile de instrumente folosite se grupează pe categorii generice care devin clase de instrumente și care permit realizarea unor programe de testare independente de suportul hardware folosit.

Matricea de conectare devine tot mai complexă permițând tot mai multe conexiuni simultane.

Prin încercarea diverselor arhitecturi de testare s-a constatat necesitatea interschimbabilității instrumentelor fără modificarea programelor de testare precum și posibilitatea extinderii resurselor testorului cu instrumente noi, acest lucru semnificând crearea unor arhitecturi deschise.

În secțiunea 3.1 se prezintă o *structură de echipament de testare automată, utilizată practic de autor*, care subliniază importanța magistralelor de comunicație cu resursele stației în asigurarea dezvoltării ulterioare cu noi resurse precum și modificarea acestora în sensul evoluției către forme mai complexe sau elemente de sinteză. Toate aceste modificări conservă programele de testare și asigură legătura între generațiile de echipament.

În secțiunea 3.1 se prezintă și *un testor proiectat și realizat de către autor* pentru testarea unui înregistrator video pentru elicoptere.

În secțiunea 3.2 se trec în revistă magistralele de comunicație cu instrumentele, accentuându-se standardele IEEE 488, VXI, PXI care sunt cele mai folosite în prezent și pe care autorul le-a folosit în diversele programe de testare dezvoltate.

În secțiunea 3.3 se prezintă câteva instrumente uzuale cum ar fi DMM-ul (multimetrul digital), AFG-ul (generatorul de funcții arbitrare), DSO-ul (osciloscopul digital) în dublă ipostază: ca instrumente specifice ale unor producători consacrați dar și ca instrumente generice cu atributele și funcțiile de modificare a acestora din grupul capabilităților de bază respective. Se prezintă interfața grafică a unui *instrument virtual de tip DMM generic realizat de autor*, cu comandă de la distanță.

În secțiunea 3.4 se prezintă matricea de conexiuni, element fundamental de legătură între mulțimea senzorilor și stimulilor testorului și mulțimea punctelor de măsură și injecție de stimuli ai unității, *matrice prezentată în varianta practică utilizată de autor*

precum și varianta generică cu capabilitățile de bază la care s-au adăgat elementele de standardizare din standardul ARINC 608 și proiectul IEEE P1505.

Secțiunea 3.5 prezintă testarea unor circuite specifice în avionică și anume circuitele de comunicație între unități. Se pune accent pe standardele ARINC 629 și ARINC 429 cu prezentarea propriu-zisă a standardelor respective (extrem de sintetic și cu accent pe partea de formă a semnalelor, partea de protocol și de convenții fiind extrem de laborioasă) precum și pe prezentarea unor păci tip VXI specifice pe care autorul le-a folosit și la care a dezvoltat drivere. Autorul *a participat la dezvoltarea unui driver pentru bus-ul ARINC 629.*

Secțiunea 3.6 prezintă sursele de current alternativ și continuu ca un grup distinct în rândul instrumentelor cu sublinierea standardizării surselor de current continuu ca instrumente generice.

Secțiunea 3.7 prezintă câteva scheme de conectare a instrumentelor uzuale prin intermediul adaptorului de testare la unitatea testată și câteva reguli practice de realizare, folosite la proiectarea interfețelor de testare de către autor.

## CAP. IV

### Structura programelor de testare funcțională. Exemple specifice pentru avionică<sup>[22][18][7][55]-[70][93][98][111][125]</sup>

*În acest capitol se prezintă procesul de testare funcțională în avionică: mod de proiectare, structură, utilitatea acestuia.*

*Testarea funcțională a unei unități electronice de aviație este un proces de verificare succesivă a funcțiilor unității respective prin intermediul conectorului exterior al acesteia.*

*Programul de testare are ca sursă de informație diverse documente generate în procesul de proiectare, fabricație și utilizare.*

*Structura programelor de testare prezentată în diagrama de testare implementează mai multe grupe de teste permițând teste complete, parțiale sau diagnosticarea.*

*Rezultatul testării complete este raportul de testare, un fișier cu rezultatele tuturor testelor care trebuiesc parcurse de unitate pentru a rămâne în serviciu.*

#### 4.1 Testarea funcțională în avionică.

Dispozitivele electronice folosite de o aeronavă sunt verificate din punct de vedere funcțional periodic pentru a putea fi utilizate. Testarea funcțională este importantă pentru avionică, acest domeniu tehnologic fiind critic din punct de vedere al securității pasagerilor. Din acest motiv testele funcționale se fac periodic pentru a verifica dacă o unitate este capabilă de serviciu. Testele funcționale permit estimarea cu precizie a gradului de funcționare a unui dispozitiv datorită modului de proiectare a testelor, ca proceduri independente care caracterizează o zonă bine delimitată funcțional și constructiv a unității testate. Un test funcțional furnizează informații și despre circuitele defecte. În regim de diagnostic un test funcțional poate indica componenta defectă.

Proiectarea programului de testare funcțională începe odată cu proiectarea avionului, continuă cu proiectarea unității este validat și apoi folosit pe toată perioada de folosire a avionului. Un astfel de ciclu a stat la baza proiectului de standard care specifică criteriile și procedurile de calitate pentru elaborarea setului de programe funcționale pentru o unitate. După cum se remarcă în figura 4.1 definiția funcționalității unității începe cu proiectarea de principiu a avionului, continuă cu proiectarea propriu-zisă a unității, continuă cu proiectarea testelor, cu validarea acestora și cu utilizarea lor pe durata de viață a avionului. Acest proces este un proces permanent care corectează pe toată durata de viață a avionului specificațiile și programul de testare.

Procesul de dezvoltare al unui TPS (Test Program Set, care reprezintă totalitatea documentelor necesare pentru execuția testelor) a fost standardizat din punct de vedere al procedurilor și al calității în standardul ARINC 625. Acesta specifică toate activitățile și documentele necesare pentru realizarea unui program de testare funcțională.



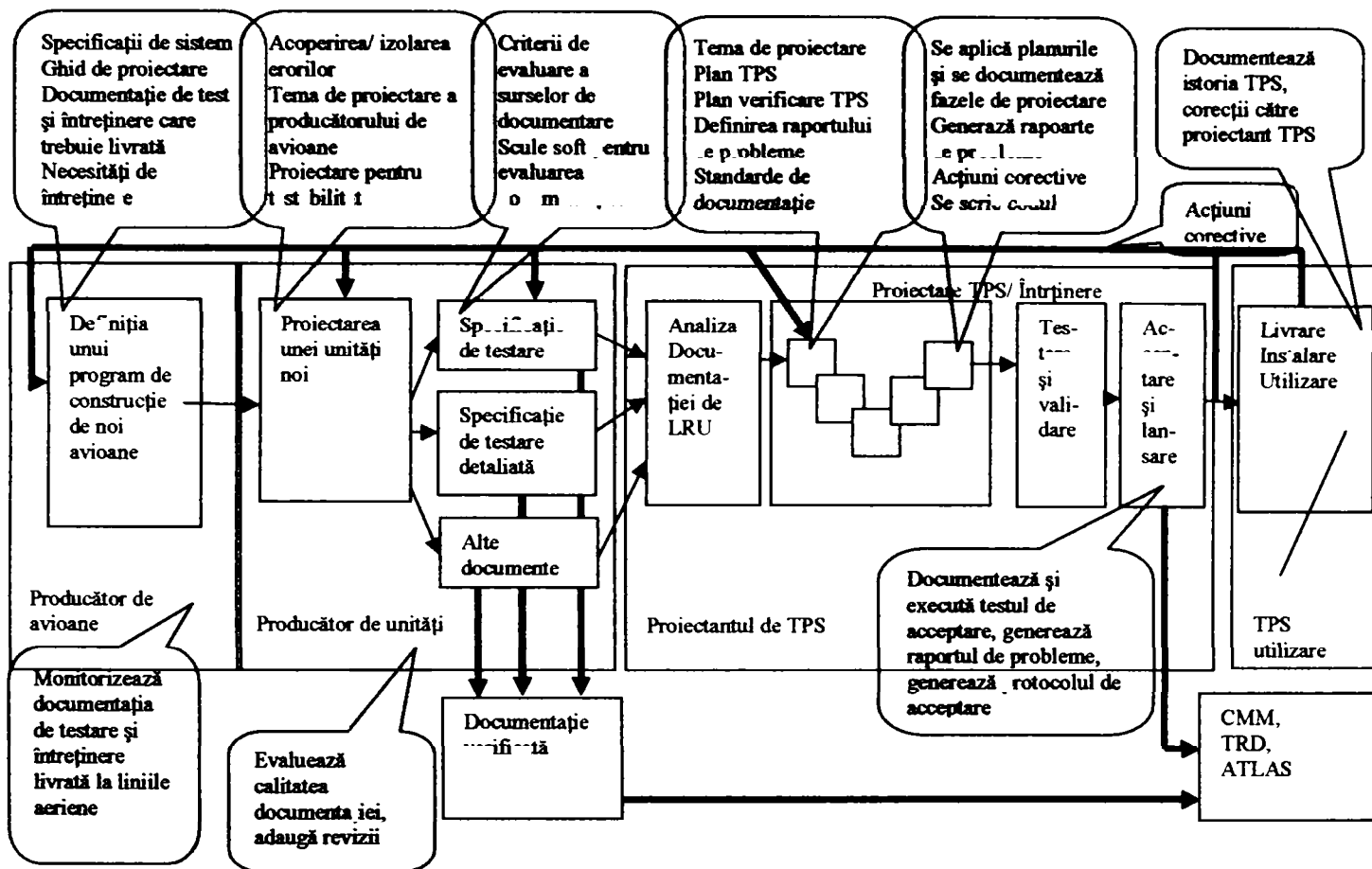


Fig. 4.1 Ciclul de existență al unui TPS<sup>[14]</sup>

#### 4.2 Moduri de descriere a testelor. <sup>[182]</sup> Moduri de execuție atestelor.

Documentul care descrie testarea funcțională a fost la unitățile mai vechi, manualul de întreținere CMM (Component Maintenance Manual). CMM-ul are o secțiune de testare în care se precizează echipamentul de testare, testele care trebuie parcurse și toleranțele verificărilor. Acest gen de document s-a adresat unităților care aveau echipamente de testare specifice și unde tehnicianul executa manual testele. Generarea unor programe de testare funcțională după aceste documente este dificilă deoarece nu oferă o informație precisă, de multe ori aceasta fiind cuprinsă în modul de construcție al testorului. Trecerea unor astfel de unități pe teste de uz general implică multe revalidări ale procesului de testare.

Documentul, care este utilizat astăzi și care se construiește conform standardului MIL-STD-1519, se numește TRD (Test Requirement Document). TRD-ul în construcția sa definește cel mai bine testul funcțional. TRD-ul este sursa pentru descrierea testelor în

limbajul ATLAS conform standardului IEEE 416. Testele în ATLAS sunt mai formal prezentate dar conservă cu exactitate informația din TRD.

TRD-ul va oferi informația necesară pentru a testa unitatea cu minimum de interfețe suplimentare. Prin definiție, TRD-ul furnizează informația necesară pentru a testa performanțele unității, pentru a detecta toate erorile și depășirile de toleranțe, pentru a face ajustările și reglările când este posibil.

Secvența de testare este complexul de acțiuni necesare pentru a verifica o funcțiune independentă a unității. Secvențele sunt astfel alese și ordonate încât o secvență care are erori să nu influențeze testarea celorlate secvențe.

Testele sunt efectuate pe categorii. Se disting câteva categorii mai importante:

- **Teste anterioare testului funcțional de verificare a continuităților și la scurt circuit.** Acestea sunt teste pentru punctele unde se aplică surse sau stimuli (înainte de aplicarea acestora);
- **Teste funcționale propriu-zise.** Acestea sunt teste parcurse complet pentru a revela orice degradare în funcționare;
- **Teste de diagnosticare.** Acestea sunt teste parcurse după detectarea unei erori de teste funcționale pentru găsirea elementelor fizice defecte sau uneori pentru reglaje;
- **Teste parțiale.** Acestea sunt teste singulare sau grupuri de teste parcurse pentru precizarea unor defecțiuni.

### 4.3 Proiectarea programelor de testare funcțională.

Proiectarea programelor de testare funcțională cuprinde mai multe etape:

- analiza documentației referitoare la unitate;
- proiectarea diagramelor de testare ;
- proiectarea diagramei programului de testare;
- proiectarea interfeței de testare;
- proiectarea programului de autotestare a interfeței;
- proiectarea programului de testare;
- validarea interfeței și a programului de autotestare;
- validarea programului de testare pe mai multe unități funcționale;

Programul de testare este, fie inclus într-o structură care asigură un proces unitar de execuție, fie asigură el acest proces. Am ales două unități testate, *dintre cele la care autorul a participat la proiectarea programelor și interfețelor de testare*, pentru care se prezintă diagramele de testare funcțională .

Prima se numește ADC (Air Data Computer) <sup>[203]</sup> și este o unitate care furnizează informații despre altitudine, viteză și alte mărimi.

A doua unitate se numește AT (Autothrottle)<sup>[204]</sup> și controlează tracțiunea motoarelor avionului.

Cele două unități au avut doar manual de întreținere fapt care a făcut mai dificilă generarea programului de testare. Prima ordinogramă include și ordinograma pentru testul interfeței.

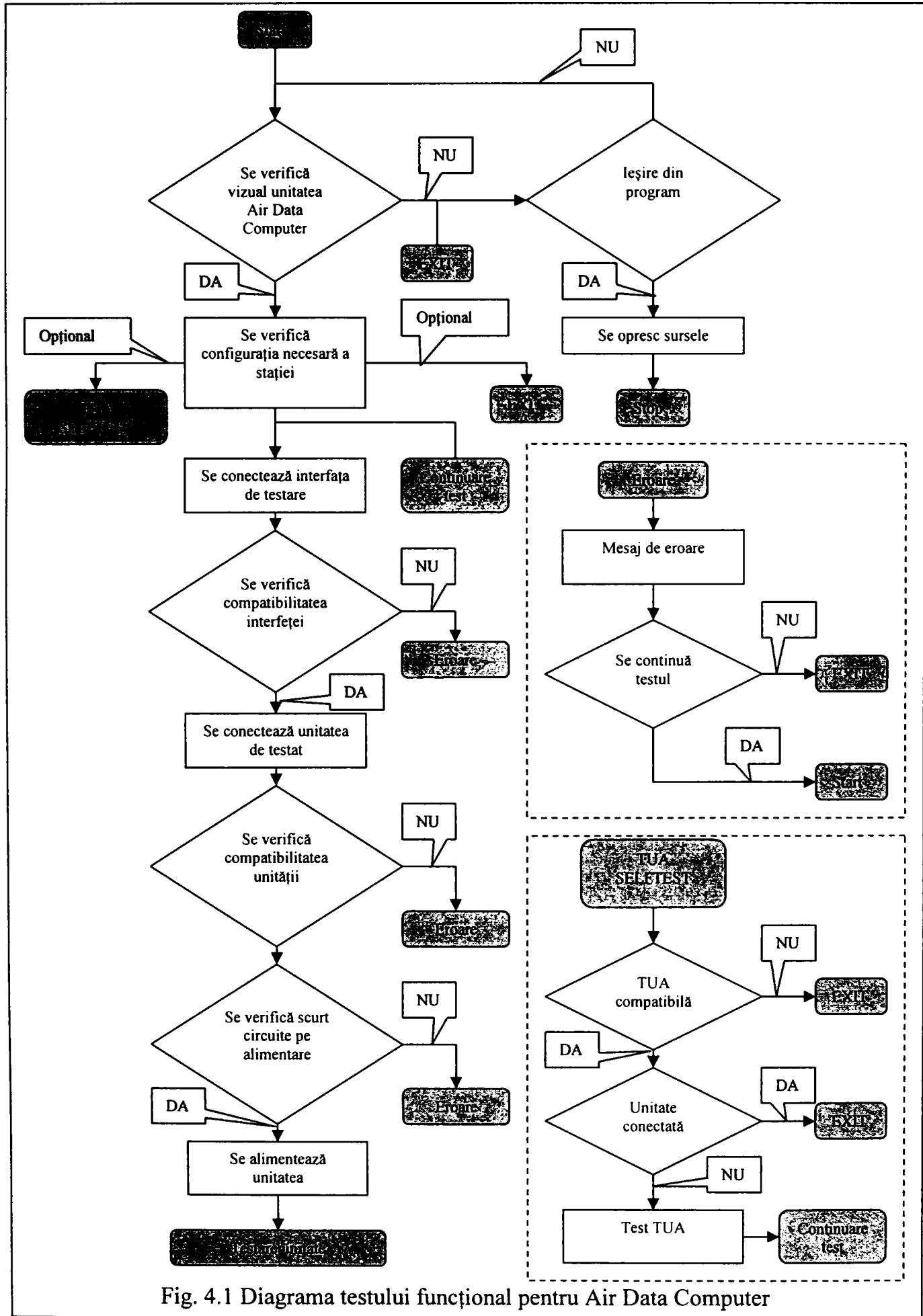


Fig. 4.1 Diagrama testului funcțional pentru Air Data Computer

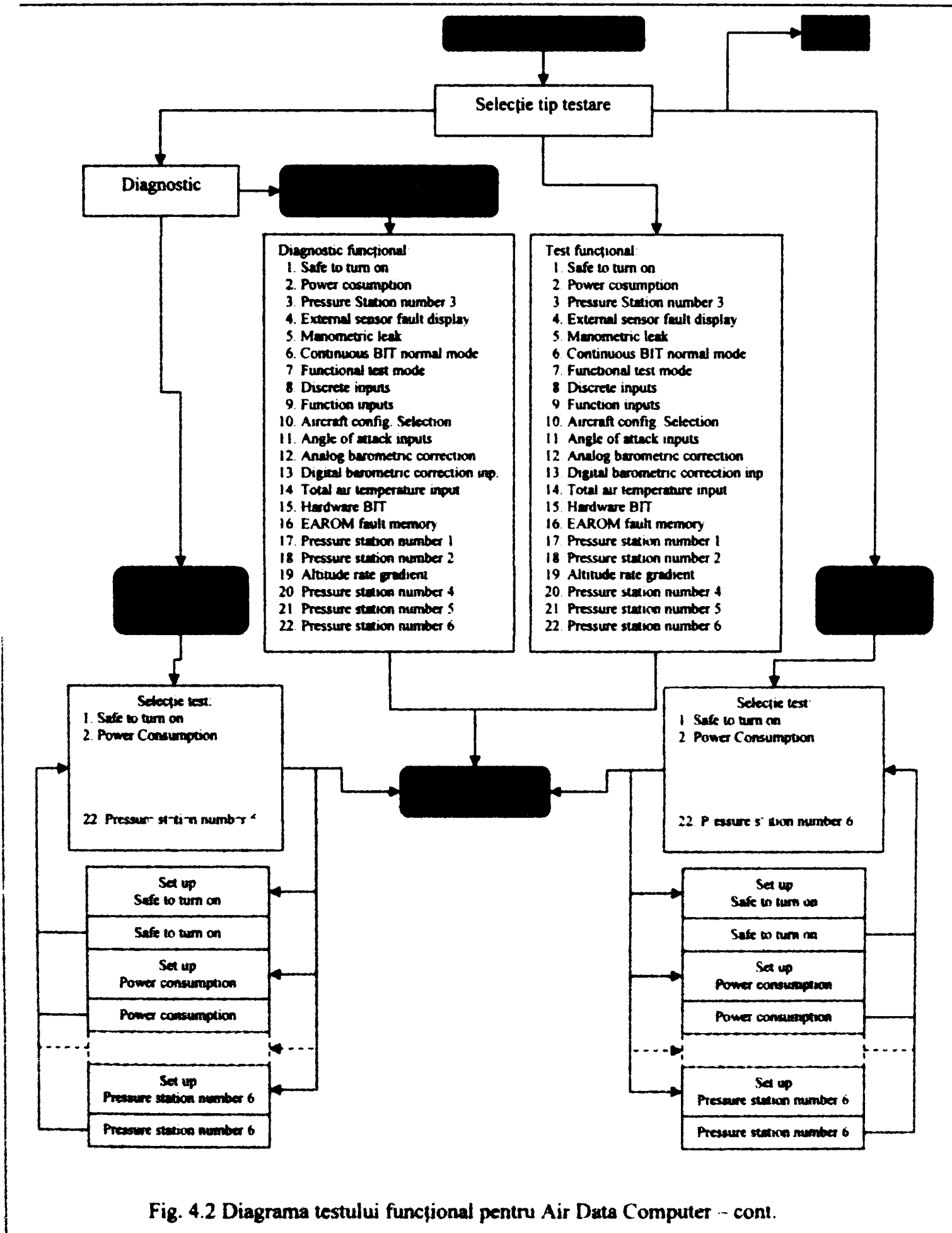


Fig. 4.2 Diagrama testului funcțional pentru Air Data Computer – cont.

În figura 4.1 este prezentată ordinograma părții de program care inițializează testarea propriu-zisă. Se remarcă procedurile de verificare a interfeței și a unității de testare înainte de aplicarea tensiunilor de alimentare. Interfața de testare poate fi testată separat înainte de începerea testului unității, sau dacă sunt necesare calibrări care se verifică înainte de fiecare test. Programul de testare al interfeței este similar cu cel al unității ca structură.

În figura 4.2 este prezentată ordinograma programului de testare pentru unitatea Air Data Computer. După cum se observă există mai multe opțiuni.

Operatorul poate opta pentru modul **test funcțional complet** care reprezintă validarea unității respective pentru serviciu. De multe ori se face un test complet pentru a avea o imagine de ansamblu asupra stării unității după care se repetă testele specifice unde au apărut erori. De asemenea din interpretarea tuturor erorilor se pot evidenția mai ușor circuitele cu probleme.

De asemenea operatorul poate opta pentru o secțiune din teste numită **test funcțional parțial**. Menționăm că testele în testarea funcțională sunt astfel construite încât să fie cât de independente posibil și să definească cu precizie un anumit circuit al unității conjugat cu o anumită funcționalitate. Această calitate permite continuarea testării dacă unul din teste a raportat erori. Există desigur și **teste obligatorii** pentru unitate pentru a putea continua procesul de testare. Aceste teste pot genera erori catastrofale (un exemplu sunt testele pentru circuitele de alimentare cu energie electrică) care trebuie rezolvate pentru a continua testul.

Operatorul poate opta pentru testarea în mod **diagnostic** care la rândul ei poate fi realizată complet sau parțial. În regim diagnostic la programul de testare propriu-zis se adaugă secțiuni care indică circuitele sau componentele defecte și dacă este necesar și posibil permit anumite calibrări.

În figura 3.3 se prezintă doar lista testelor din testul funcțional complet pentru o altă unitate testată AT (Autothrotle). Ordinograma de testare este similară cu cea de la ADC (Air Data Computer).

Fiecare test din această listă are o diagramă de testare asociată și o secvență (program) de testare care se execută de către echipamentul de testare automată. Se analizează în continuare pentru exemplificare blocul de teste nr. 2 de la unitatea AT din punct de vedere al documentației descriptive, al diagramei de testare și al secvenței de programare asociate.

Blocul nr. 2 de teste verifică procesorul (CPU) unității testate din punct de vedere al executării microinstrucțiilor, al funcționării celor două memorii

1.1 BONDING  
1.2 POWER CHECK  
1.3 CURRENT LIMIT  
1.4 FLIGHT FAULTS  
1.5 SET DISPLAY  
2.1 CPU USTEP  
2.2 STORE RAM UPPER  
2.3 STORE RAM LOWER  
2.4 STORE PRG CONTS  
3.1 PERIPH TEST 0  
3.2 PERIPH TEST 1  
3.3 PERIPH TEST 2  
3.4 PERIPH TEST 3  
3.5 PERIPH TEST 4  
3.6 PERIPH TEST 5  
3.7 PERIPH TEST 6  
4.1 PERIPH TEST 7A  
4.2 PERIPH TEST 7B  
4.3 PERIPH TEST 7C  
4.4 PERIPH TEST 8  
5.1 PARTS A TO E  
5.2 LEFT PRTS F L  
5.3 RIGHT PRTS F L  
5.4 PARTS M TO Q  
5.5 PARTS R TO V  
5.6 PARTS W TO X  
5.7 PARTS Y TO Z  
5.8 PARTS AA TO AF  
6.1 WATCHDOG  
6.2 RELOAD  
6.3 TEST F  
7.1 NIM CONV  
7.2 NIM SUPP  
7.3 NIM TRIP  
7.4 NIM COMM  
7.5 THRUST ONE  
7.6 THRUST TWO  
8.1 ARINC REC  
8.2 ARINC TX  
8.3 ARINC WAVE  
8.4 APPS ENTRY  
8.5 BITE TEST  
8.6 RAM WIPT

Fig. 4.3 Lista testelor funcționale pentru Autothrotle

RAM, precum și din punct de vedere al funcționării programelor. Se prezintă în continuare schema de testare necesară.

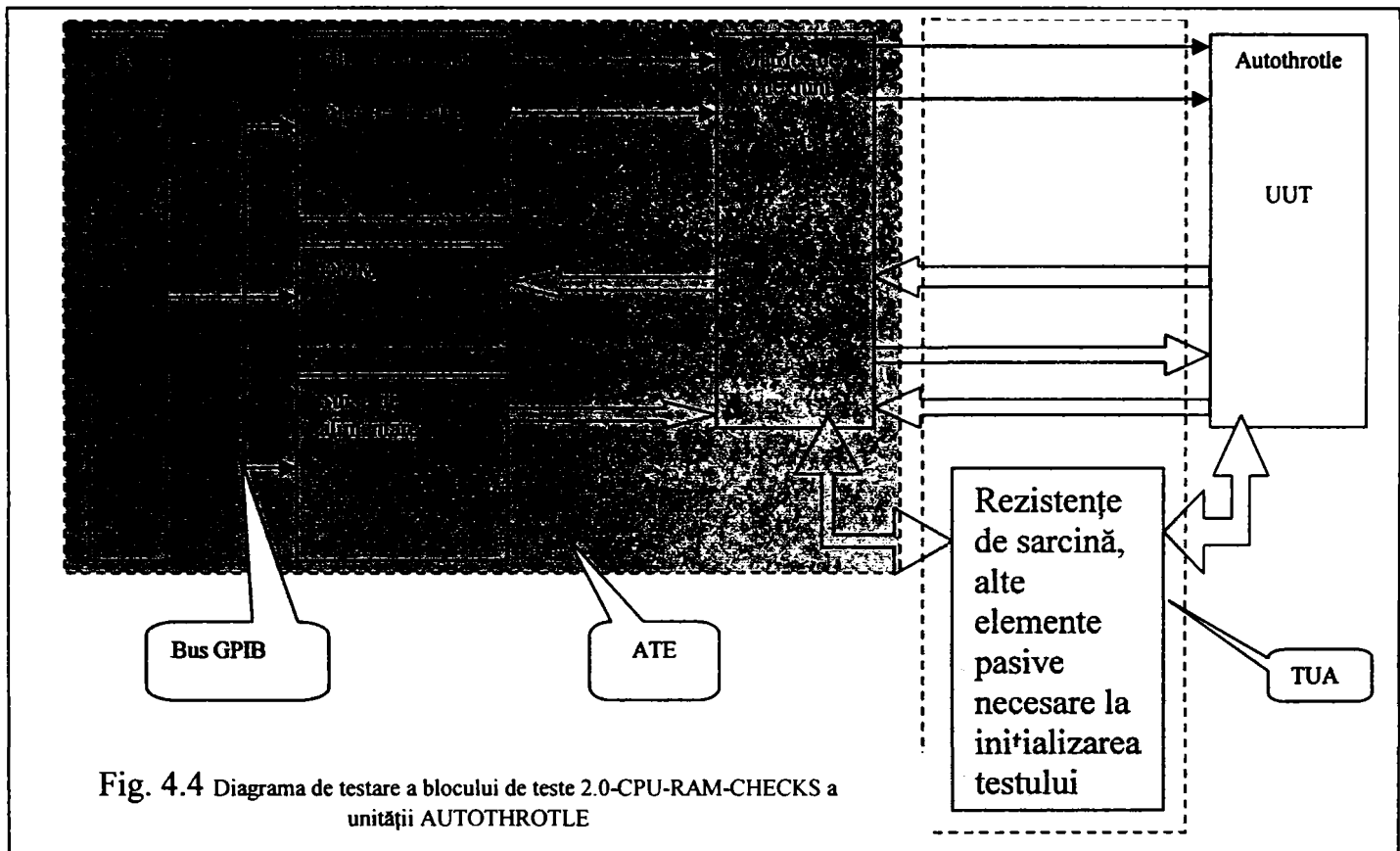


Fig. 4.4 Diagrama de testare a blocului de teste 2.0-CPU-RAM-CHECKS a unității AUTOTHROTLE

Testul funcționează astfel. Se inițializează unitatea prin aplicarea tuturor sarcinilor, se alimentează unitatea. Se încarcă prin cele două conexiuni LOAD și DATA serial diverse fișiere în unitate. Se lansează programele încărcate prin punerea scurtă la masă a unei intrări a unității. Se verifică cuvinte de stare măsurabile la pinii unității cu DMM-ul. Se generează raport de testare. Unitatea are descise la acest bloc, patru teste:

- 2.1 CPU-UPSTEP, care verifică execuția microinstrucțiilor în unitatea centrală.
- 2.2 STORE-RAM-UPPER, care verifică funcționarea blocului de memorie numit Ram Upper.
- 2.3 STORE-RAM-LOWER, care verifică funcționarea blocului de memorie numit Ram Lower.
- 2.4 STORE-PROGRAMME-CONTENTS, care încarcă soft-ul operațional într-un banc de memorie și soft-ul de autotest la sol BITE în celălalt banc de memorie și verifică această operație.

Se prezintă în **Anexa 1** definiția testelor prezentată într-o variantă de ATLAS 616 (o variantă de limbaj ATLAS folosită pentru descrierea testelor), schema detaliată a interfeței de testare, programul de testare pentru secvența de teste nr. 2 scris într-un limbaj de tip interpretor, și raportul de testare pentru această secvență.

#### 4.4 Tipuri de teste utilizate frecvent în avionică [55]-[70]

În decursul acestei activități *autorul a participat la testarea a peste 200 de unități de avionică*. O parte din aceste unități sunt listate în **Anexa 5**. Această activitate a permis o privire de ansamblu asupra tipurilor de circuite testate și posibilitatea unei clasificări a testelor uzuale pentru avionică. Clasificarea a luat în considerare atât schema electronică a dispozitivului precum și structura unui program de testare funcțională.

##### 4.4.1 Măsurarea conexiunilor și componentelor pasive.

Testarea funcțională începe întodeauna cu un șir de măsurători de rezistență între pinii unității sau alte componente pasive aflate între pinii unității. Acest gen de măsurători permite excluderea din start a unor defecțiuni catastrofale precum și identificarea unității pe baza unor valori caracteristice acesteia înainte de alimentarea cu energie electrică.

##### 4.4.2 Verificarea circuitelor de alimentare la rece

Circuitele de alimentare electrică ale unității sunt verificate la rece pentru a evita existența unor scurtcircuite sau a altor defecțiuni majore. Astfel pentru circuitele de curent alternativ se măsoară impedanța de intrare a transformatoarelor și eventual componentele din circuitele de comutație unde este cazul. Pentru circuitele de curent continuu se verifică componentele pasive (mai ales condensatorii) și active.

##### 4.4.3 Alimentarea unității cu energie electrică. Măsurarea puterii consumate.

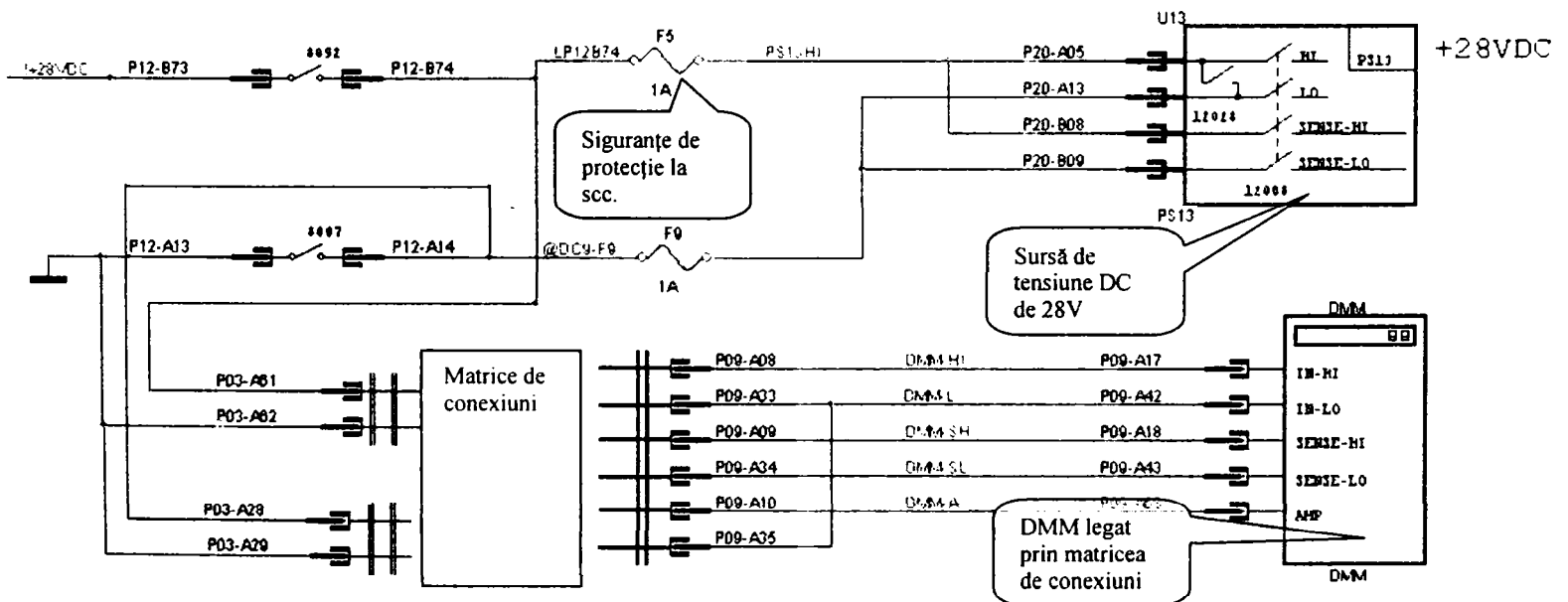


Fig. 4.5 Alimentarea unei unități și măsurarea mărimilor electrice

Se remarcă protejarea sursei la scurt circuit precum și posibilitatea de a măsura tensiunea și curentul furnizate cu ajutorul DMM-ului. Sursele de DC au capabilitatea în

general să măsoare și curentul furnizat și tensiunea și uneori și puterea, dar nu întodeauna cu precizia necesară. Nu același lucru se poate spune despre sursele AC unde schema de mai sus este foarte utilă. De asemenea la măsurarea curentului prin matrice trebuie avut în vedere curentul maxim admis de către aceasta.

#### 4.4.4 Verificarea canalelor de comunicație de tip ARINC 429

De obicei verificarea canalelor de comunicație cuprinde mai multe tipuri de teste. Se prezintă diagrama de testare pentru ARINC 429:

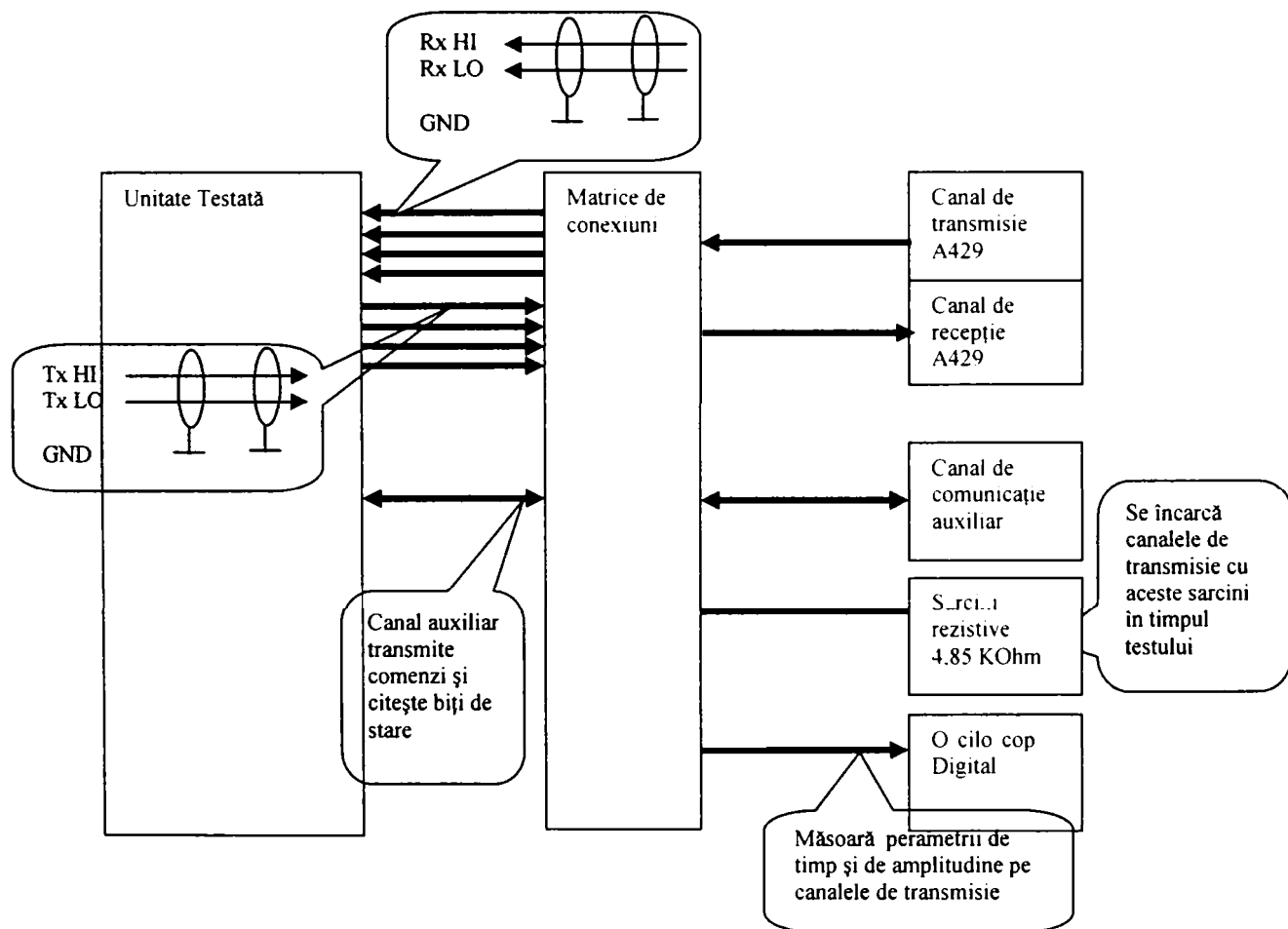


Fig. 4.6 Schema de principiu pentru testul canalelor A429

Testul cuprinde verificarea transmițătoarelor și a receptoarelor. În general o parte din teste se fac utilizând o conexiune serială (RS 232, RS 485, sau un canal A429 de test) auxiliară prin care se verifică mesajele recepționate de unitate sau valoarea anumitor biți de stare din unitate.



Tot prin această conexiune serială se comandă transmisia unor cuvinte sau mesaje de către unitate. În general acest lucru se face prin încărcarea canalului cu o impedanță de sarcină.

O altă parte din test verifică forma de undă a semnalelor. Această verificare se face cu osciloscopul. Parametrii măsurati se prezintă în figura 3.7.

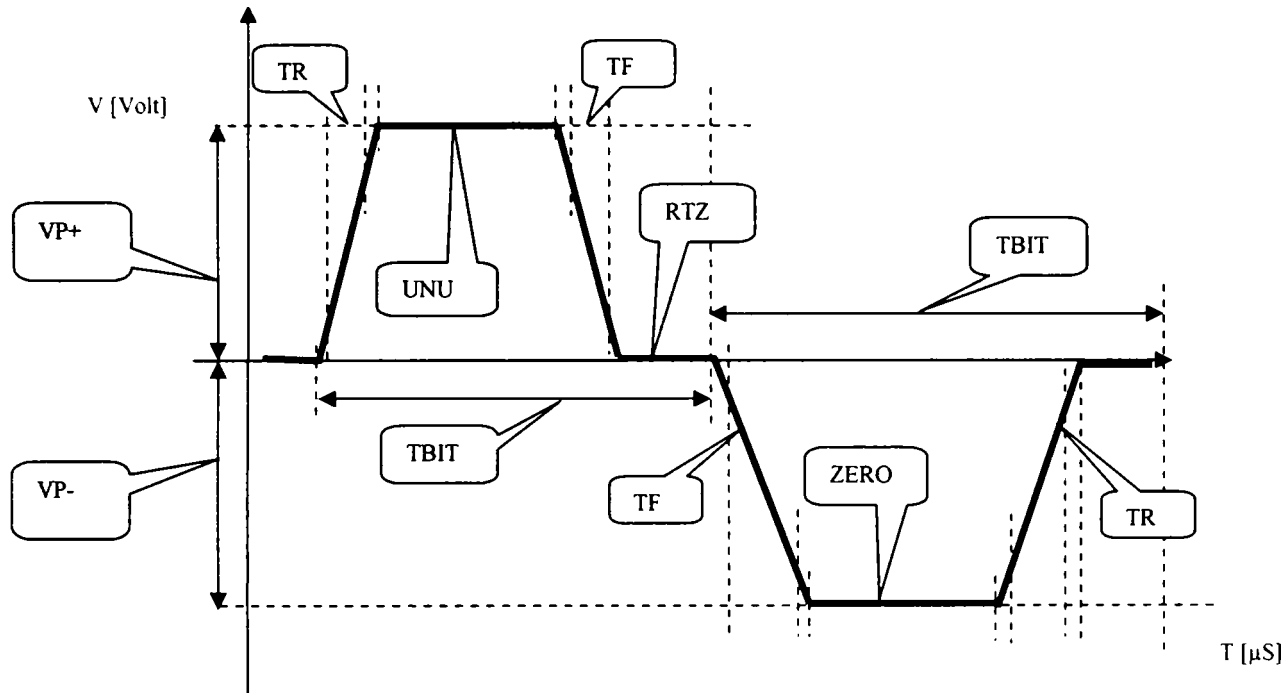


Fig. 4.7 Semnalul A429 și măsurile măsurate

Verificarea se face astfel: se transmite către unitate comanda de emisie a unui singur cuvânt de 32 biți format numai din UNU (FFFFFFF Hex). Se declanșează osciloscopul pe frontul crescător și se memorează forma de undă. Se măsoară VP+(peak voltage), TR (rise time), TF (fall time). Se transmite un cuvânt format numai din ZERO (0000000 Hex). Se măsoară VP- (peak voltage), TR, TF. Pentru măsurarea lui TBIT care este durata unui bit se transmite din nou un cuvânt format numai din UNU după care se măsoară anvelopa ca durată și se împarte la 32. Se obține astfel o valoare medie. Măsurătorile se fac prin funcții specializate ale osciloscopului. La nivel de utilizator fie se văd funcții distincte fie se transmite o comandă gen: „VERIFY 429 WAVEFORM”. În acest moment nu există un instrument de tip IVI (cu capabilități definite) pentru A429. RTZ semnifică „Return To Zero” și sublinează un bit se termină întodeauna cu un palier de nivel 0 V.

#### 4.4.5 Verificarea canalelor de comunicație de tip ARINC 629.

Comunicația ARINC 629 a fost inventată de compania Boeing și folosită pentru prima dată pe generația Boeing 777. A629 este o comunicație robustă care folosește canalul de comunicație la maxim și care acordă acces egal la bus tuturor participanților.

Se prezintă în figura 3.8 o schemă de testare pentru unitățile care au o astfel de comunicație.

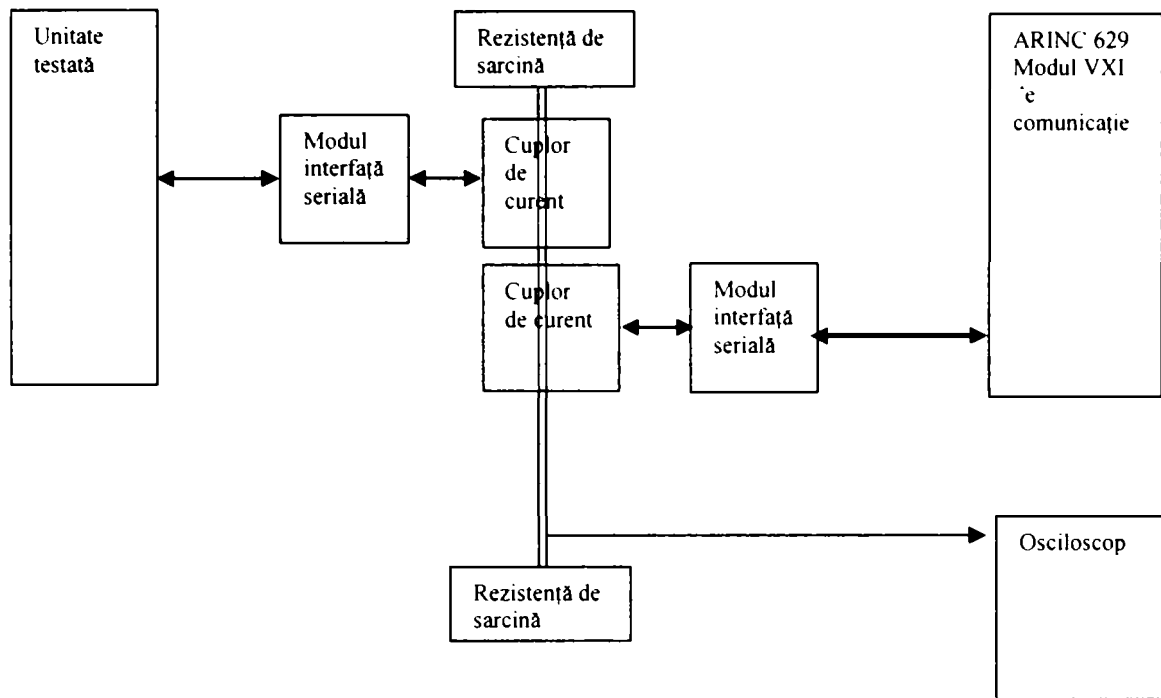


Fig. 4.8 schemă de testare comunicația ARINC 629

La fel ca în cazul A429 și la A629 se măsoară câteva mărimi de timp și de amplitudine cu osciloscopul care se prezintă în figura 4.9:

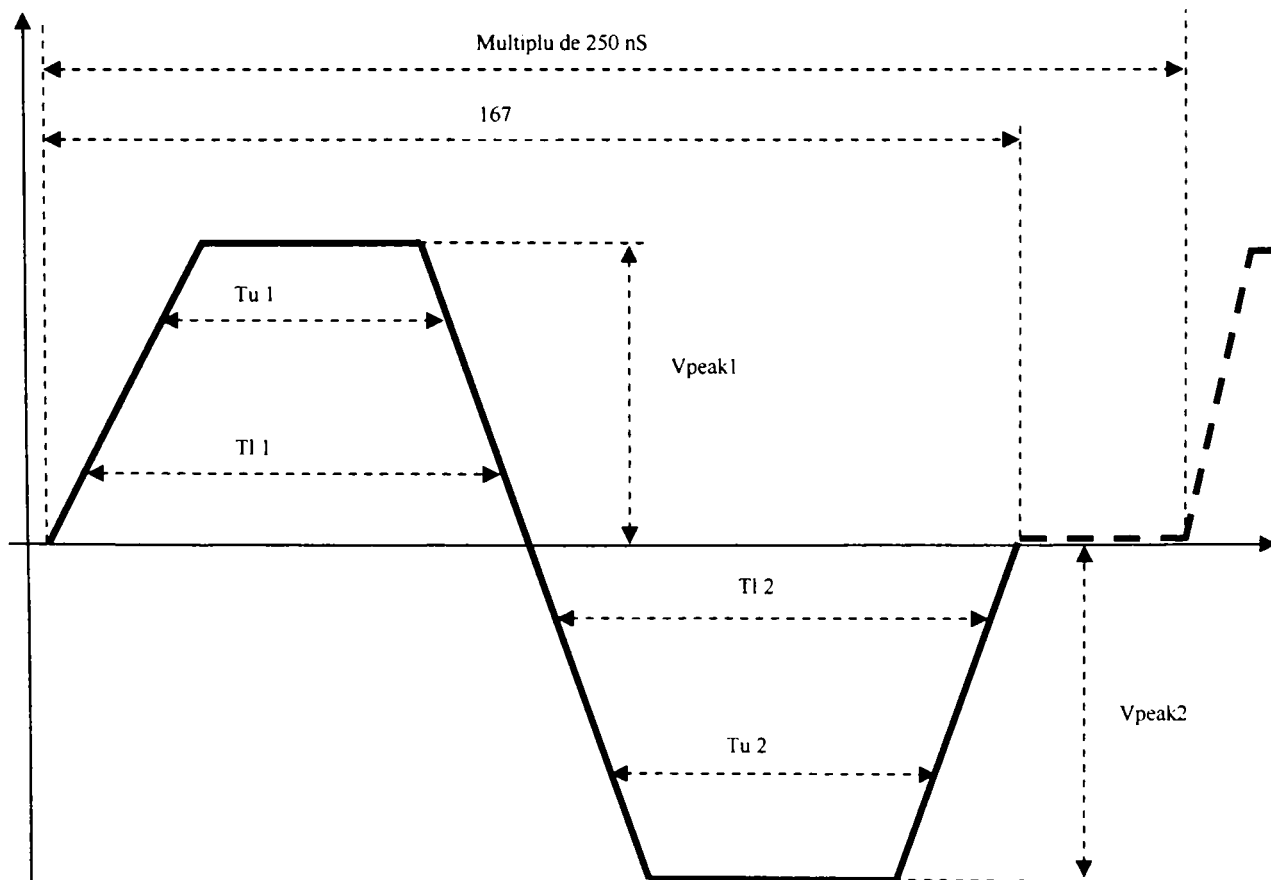


Fig. 4.9 Dubletul A629 și mărimile măsurate

Acest semnal se numește dublet și poate fi ca cel din figura 4.9 sau în oglindă în funcție de tranziția semnalului. Valorile pe care trebuie să le îndeplinească măsurătoarea sunt următoarele:

$$\begin{aligned} 59.0 \text{ nS} < Tl_1, Tl_2 < 77.4 \text{ nS} \text{ măsurat la } \pm 1.0 \text{ V} \\ 52.6 \text{ nS} < Tu_1, Tu_2 < 70.9 \text{ nS} \text{ măsurat la } \pm 2.25 \text{ V} \\ |3.96 \text{ V}| < V_{\text{peak}} < |5.5 \text{ V}| \end{aligned}$$

Pe lângă aceste măsurători calitative măsurate cu osciloscopul pe cele două fire torsadate care reprezintă fizic bus-ul, se fac și verificări de corectitudine de funcționare a protocolului precum și respectarea intervalelor de timp între mesajele puse pe bus de diverse dispozitive. Vom analiza în capitolul 4 un driver pentru o placă Tektronix VXI pentru comunicația A629. Nici pentru A629 nu există un instrument generic și un driver IVI.

#### 4.4.6 Verificare comunicație LAN (Ethernet).

Verificarea comunicației de tip Ethernet, pe bază de protocol TCP/IP se face prin intermediul unui hub, prin transmiterea unor mesaje și verificarea corectitudinii acestora. Nu există drivere de tip IVI deși acest gen de comunicație este standardizat.

#### 4.4.7 Verificarea utilizând testarea pe contur „Boundary scan”(J-TAG).<sup>[146][101]</sup>

Unitățile noi sunt proiectate pentru a putea fi testate aplicând standardul IEEE 1149.1 sau J-TAG. Se încarcă pe magistrala J-TAG vectorii de testare, după care se verifică diverse funcții ale unității. În principiu schema de testare se prezintă în figura 4.10:

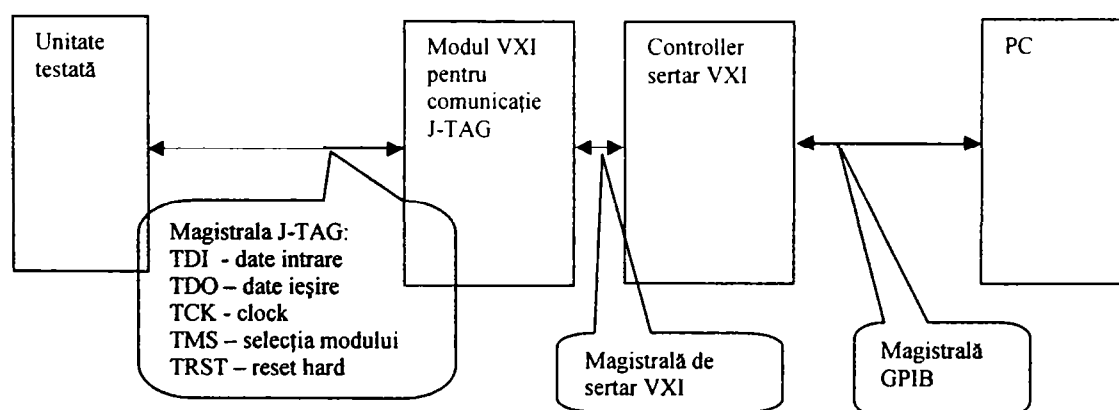


Fig. 4.10 Schema de testare pe magistrala J-TAG

După cum se remarcă este o schemă de testare simplă. Testarea este o succesiune de încărcări și descărcări de vectori de testare precum și măsurarea unor pini ai unității testate în corelație cu vectorul încărcat. Din punct de vedere hard procedeul este simplu se conectează cablul de legătura pentru magistrala J-TAG între testor și unitate. Din punct de vedere al programelor care rulează pe diversele entități din lanț (unitate, modul VXI, Controller de sertar, PC) construcția software este complexă, iar scrierea driver-elor este laborioasă. Nu există un instrument generic pentru J-TAG și nici drivere tip IVI.

#### 4.4.8 Verificări care utilizează simulatorul de LVDT (Linear Variable Differential Transformer)<sup>[113][130]</sup>

LVDT-ul este folosit foarte mult în industria de aviație pentru diverse traductoare de poziție. În figura 4.11 este prezentată o secțiune printr-un LVDT:

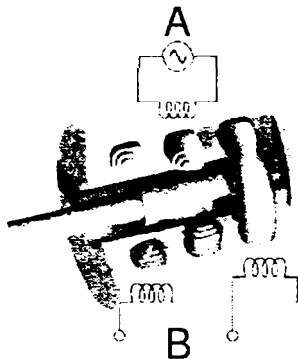


Fig. 4.11 LVDT

Primarul este alimentat cu o tensiune alternativă de aproximativ 10 KHz. Mișcarea miezului schimbă valoarea inductanțelor mutuale. Diferența semnalelor la ieșirea va fi proporțională cu poziția miezului și în fază sau antifază după cum acesta se află la stânga sau dreapta primarului. Acest gen de stimul (de la simulator spre unitate) se folosește foarte des în testarea avionicii, numeroase unități care controlează ozi ia unor subansamble având circuite conectate la astfel de traductoare.

Pentru testare se folosesc simulatoare. Există plăci VXI care au mai multe canale care simulează LVDT-uri (ex placa 7836 VXI LVDT Simulator produsă de North Atlantic Instruments Inc.). Schema bloc a unui astfel de simulator este următoarea:

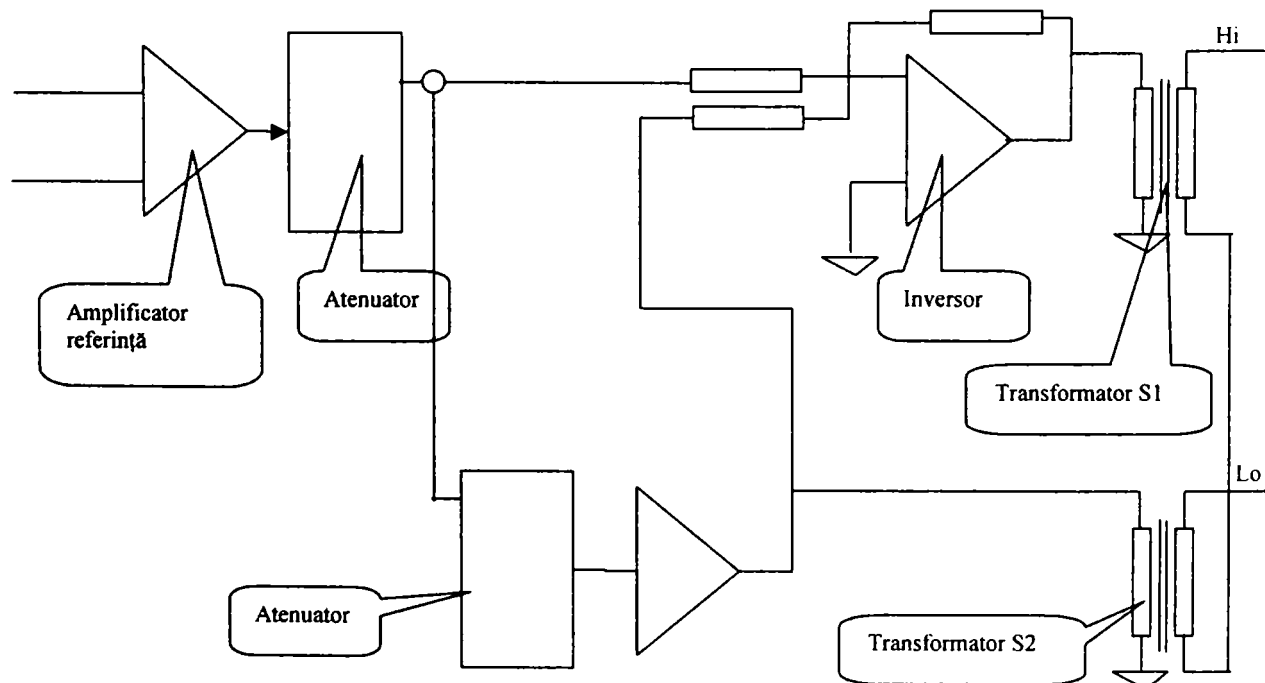


Fig. 4.12 Schemă simulator LVDT

Placa simulator de LVDT poate fi comandată prin limbaj SCPI specificând raportul între referință și mărimea de ieșire cu semn. Conectarea în ansamblul echipamentului de testare se face între PC, Controller VXI, Simulator LVDT, Matrice de conexiuni, Interfață de adaptare, Unitate testată. Nu există pentru Simulatorul LVDT definit instrument generic și nici driver IVI.

#### 4.4.9 Verificări folosind Synchro/Resolver-ul.<sup>[114]</sup>

Synchro/Resolverul este un dispozitiv foarte util (la fel ca și LVDT-ul) care funcționează în condiții dificile și care poate da informații de poziție la rândul său. Multe unități sunt conectate la dispozitive tip synchro-resolver. Pentru a le testa este necesar un simulator de Synchro/Resolver. Un astfel de instrument este placa VXI produsă de North Atlantic Instruments Inc. care conține cel puțin 2 simulatoare de synchro/resolver și un circuit API (Angle Position Indicator).

Synchro/Resolversele sunt folosite pentru multe unități de pe o aeronavă: unitățile din sistemul inerțial de navigație, unitățile de supraveghere contra incendiilor, unitățile responsabile de poziționarea pe suprafața de zbor, unitățile care controlează acționarea flapsurilor și altele. O schemă obișnuită de testare este cea din figura 4.13:

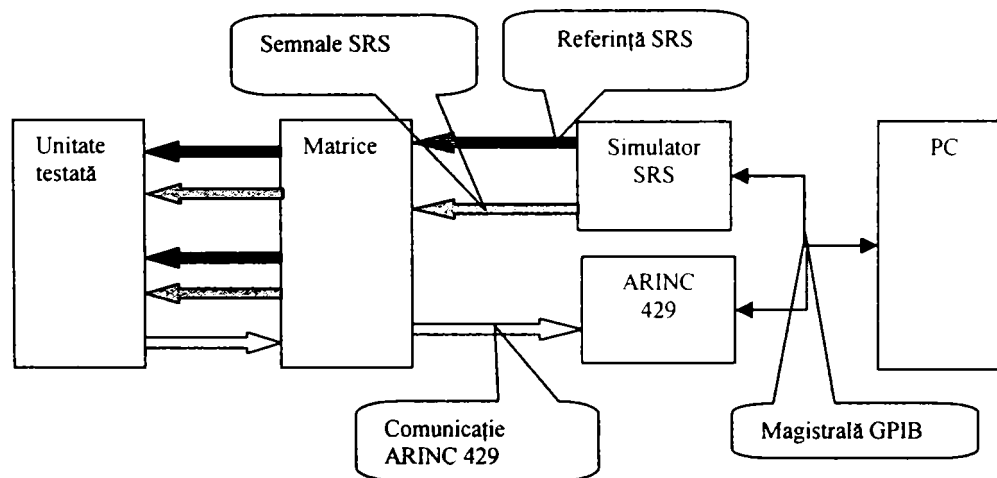


Fig. 4.13 Diagramă de testare cu Synchro/Resolver

În diagrama de testare din figură, unitatea primește de la traductorul de poziție de tip synchro/resolver (simulat în diagramă) semnale defazate cu numărul de grade corespunzător față de referință (ex. Poziția flapsurilor). Unitatea transmite valoarea sub formă numerică pe magistrala ARINC 429. Se compară de către programul de testare care rulează pe PC valoarea prescrisă și cea retransmisă de unitate.

Synchro/Resolverele folosesc referințe de 115V (sau 26V) și 400Hz. Aceste semnale sunt aplicate prin matrice unității. Instrumentul este un dispozitiv VXI comandat prin regiștrii. Driver-ul aflat pe controller-ul de magistrală VXI permite comanda în grade și implementează limbajul SCPI. Nu există definite capacități pentru instrument generic și nici driver IVI pentru acest instrument.

#### 4.4.10 Verificări uzuale folosind PGA (Programmable Gain Amplifier)

PGA-ul este o placă VXI care are mai multe canale de amplificare care pot fi comandate în amplitudine. Aceasta se folosește la multe teste, pentru dimensionarea semnalelor la valoarea dorită. Nu are definite capacități sau driver IVI

#### 4.4.11 Verificări uzuale de teste folosind Osciloscopul.

Osciloscopul digital este unul dintre cele mai utilizate instrumente în testarea pentru avionică. După cum am prezentat în exemplele de comunicație de mai sus osciloscopul este utilizat pentru măsurarea formelor de undă. Un caz des întâlnit este măsurarea rampelor foarte lente de ordinul secundelor sau al zecilor de secunde. Deoarece instrumentul poate fi declanșat de un semnal treaptă pe alt canal sau poate fi declanșat soft aceste rampe pot fi memorate și evaluate apoi punct cu punct.

Osciloscopul este definit ca instrument generic de clasa Scope și există drivere IVI realizate pentru el.

#### 4.4.12 Verificări uzuale folosind „Timer-Counter”-ul.

Timer/Counter-ul este un instrument folosit pentru măsurarea duratelor de timp, a perioadelor sau a frecvențelor. Situația cea mai folosită este aceea de a măsura distanța în timp pentru două evenimente electrice. Instrumentul are două canale cu parametrii de declanșare programabili pe care sunt monitorizate evenimentele care interesează. Timpii sunt mășurați cu precizie foarte bună. În testarea automată există tendința de a folosi timer-e soft implementate pe computerul pe care rulează programul de testare. Acestea au o precizie relativă în raport cu evenimentele care au loc în unitate și de aceea sunt folosite cel mult pentru evenimente foarte lungi de ordinul zecilor de secunde.

Timer/Counter-ul este un instrument cu capacități generice definite și cu drivere IVI dezvoltate de producători și alte companii.

#### 4.4.13 Verificări uzuale folosind AFG (Arbitrary Function Generator).

Arbitrary Function Generator este un instrument folosit la generarea diferitelor forme de undă utilizate pentru testarea unităților. Spre exemplu atunci când există moduri de comunicație simple, dar nestandardizate sau mai vechi, mesajele transmise (mai precis cuvintele) pot fi construite cu ajutorul AFG și răspunsurile recepționate cu ajutorul osciloscopului și interpretate cu acesta. De asemenea forme de undă mai deosebite sau semnale periodice cu formă nestandard pot fi generate cu acest instrument.

AFG este de obicei un instrument VXI, există capacități generice definite și sunt construite drivere IVI pentru acest instrument.

#### 4.4.14 Verificări uzuale folosind DIO (Data Input Output).

DIO semnifică intrări și ieșiri digitale. Numeroase instrumente au definite și câte un port de intrări/ieșiri digitale. Se folosesc de asemenea plăci specializate cu mai multe porturi paralele de intrări/ieșiri. Acestea sunt foarte utile la realizarea condițiilor de test pentru anumite teste, la verificarea unor ieșiri sau la simularea unor comunicații seriale.

Nu există o standardizare pentru acest gen de instrumente.

#### 4.4.15 Verificări în domeniul RF<sup>[143][144]</sup>

Instrumentele cele mai utilizate pentru măsurători în domeniul frecvențelor înalte (RF) sunt Generatorul RF (RF Gen), analizorul de spectru (Spectrum Analyzer), analizorul de rețea (Network analyzer) și instrumentul de măsurarea a puterii (RF Powermeter). Legătura între aceste instrumente și unitate nu se poate face prin matricea de conexiuni definită de ARINC 608 și nici prin cabluri obișnuite. De obicei se adaugă o matrice suplimentară (sau doar relee speciale comandate de soft) construită special pentru conexiuni RF (cabluri și conectori coaxiali). De asemenea se adaugă o interfață specială pentru partea de RF și de multe ori și programul de testare este separat. O schemă simplificată este prezentată în figura 4.14:

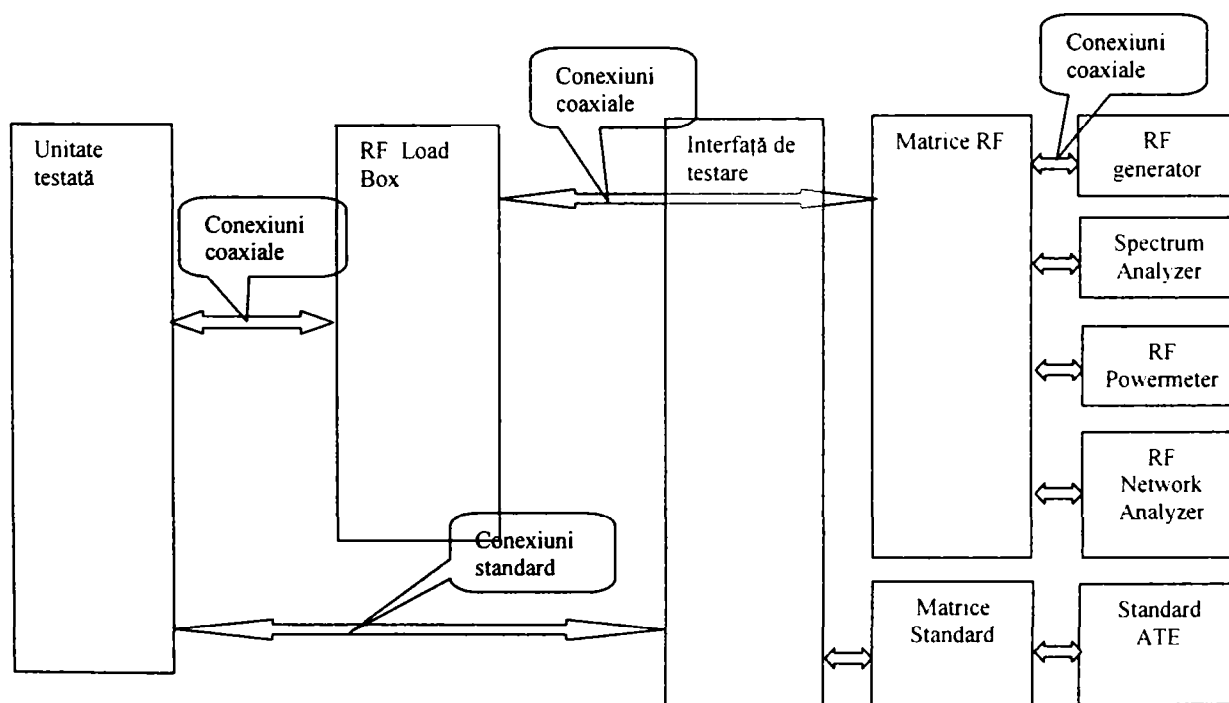


Fig. 4.14 Extinderea testorului cu echipament pentru domeniul RF

În general pentru partea de RF se proiectează un program de testare separat.

#### 4.4.16 Verificarea unităților prin încărcarea de programe de testare<sup>[111]</sup>

Unitățile mai noi, digitale, echipate cu procesoare complexe sunt testate prin încărcarea unor programe de test care execută anumite funcții. Acestea sunt verificate fie prin măsurători ale unor mărimi electrice la conectorul unității, fie prin mesajele pe care le transmite unitatea către testor.

Exemplul cel mai sugestiv este sistemul de încărcare a programelor de testare pentru avionica de tip modular care echipează avioanele din clasa Boeing 777. Se prezintă modul de funcționare al unităților (în general) din acest punct de vedere în fig. 4.15:

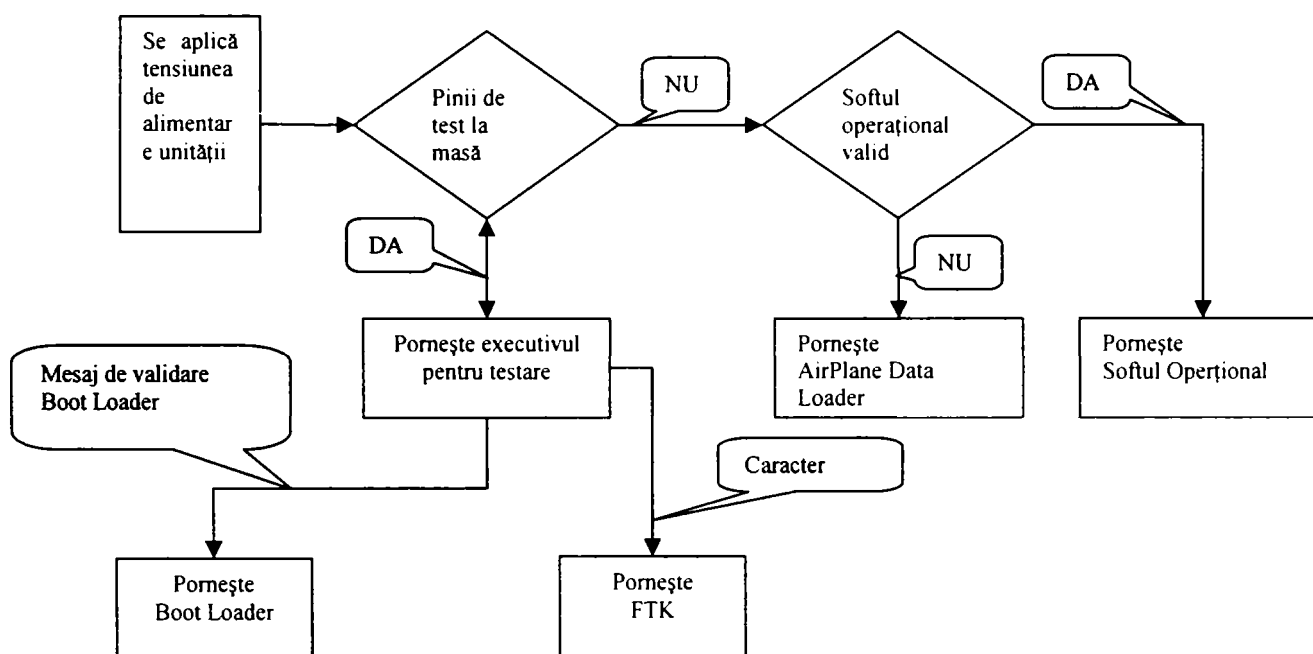


Fig. 4.15 Diagrama de inițializare a unităților din clasa B777

La aplicarea tensiunii procesorul unității verifică cei doi pini de test. Dacă aceștia nu sunt legați la masă se verifică dacă este valid softul operațional. Dacă acesta este valid unitatea intră în regim de funcționare normală. Dacă acest soft nu este valid se lansează o aplicație de încărcare a softului. Această operație poate fi făcută și la bordul avionului prin intermediul unității CMC (Cabin Management Controller) și a magistralei de date, permițându-se astfel modificarea softului de pe unități cu revizii noi.

Dacă pini de testare sunt la masă se lansează un executiv de testare care așteaptă 5 secunde un mesaj pe comunicația de test RS232 a unității. Acest mesaj poate fi o cerere de validare inițializare a transferului de fișiere (Boot Loader) sau o lansare a nucleului de testare funcțională (FTK).

În testarea funcțională se utilizează funcția de încărcare și lansare a unor executabile, prin intermediul cărora se verifică diverse funcții.

Această operație nu este standardizată neexistând capabilități generice. În mod obișnuit atunci când apare necesitatea încărcării unei aplicații de acest gen, programul de



testare comută controlul unui program extern furnizat de producător cu care se face operația. *Autorul a implementat lansarea „loader”-ului ca aplicație DOS (produs de firma BOEING) sub sistemul de operare UNIX (variante UnixWare) din aplicația de testare și revenirea la aceasta. Procedura este destul de complexă deoarece aplicația este un executabil care rulează sub UNIX și care se leagă cu porturile computerului prin nucleul sistemului de operare (transformat și înghețat în Real Time Operating System de o aplicație a firmei Venix) în timp ce „loader”-ul rulează pe un emulator de DOS dar se conectează la portul serial tot prin sistemul de operare.* La unități mai vechi, se furnizează protocolul de comunicație, programul de testare încarcă executabilul, iar lansarea în execuție a acestuia se face prin resetarea procesorului. O astfel de unitate este FMC (Flight Management Computer) produsă de firma Smith Ind. care are o arhitectură multiprocesor (trei plăci procesor) și care este testată prin încărcarea programelor de testare și resetarea plăcii testate. După resetare se măsoară diverși parametri sau se citește zone de memorie conform documentației de testare. *Autorul a proiectat interfața de testare și programul de testare pentru această unitate.*

#### **4.5 Raportul de testare și interpretarea acestuia.**

Raportul de testare se generează automat după parcurgerea testului final al unității. Acesta certifică și validează unitatea pentru serviciu. Raportul se încheie întodeauna cu numărul de erori cumulat pentru toate testele funcționale și durata testului. Se menționează aici că un test funcțional folosit pentru validarea unității este un program aprobat de producătorul unității și nu poate fi schimbat decât cu aprobarea acestuia.

Din punct de vedere al testului și al diagnosticului, testul funcțional complet furnizează o imagine asupra stării unității. Așa cum am menționat, testul funcțional se proiectează în așa fel încât fiecare modul de testare să fie independent, să reflecte funcționalitatea unei părți din unitate și să nu influențeze rezultatele altor teste. Acest lucru permite după rularea testului complet, prin simpla citire a raportului, identificarea circuitelor defecte sau dereglate. După această etapă se rulează programele de diagnostic care permit identificare precisă a componentelor defecte sau reglarea conform procedurii producătorului. După aceste operațiuni și remedierea unității se rulează din nou testul funcțional complet.

#### **4.6 Gradul de standardizare al unui echipament de testare automată.**

Echipamentul de testare automată construit cu instrumentele pe care le-am evaluat mai sus converge spre un echipament cu elemente generice care permite generarea unor programe de testare independente de platformă. Realitatea este mai puțin perfectă. Diverse consorții industriale încearcă să definească și să standardizeze mulțimea de elemente care alcătuiesc un testor pentru avionică. Procedura de generare a unui standard industrial este deosebit de complexă. Astfel datorită necesităților economice sau tehnice un grup de companii importante într-un domeniu alcătuiesc un consorțiu care generează primele documente. Dacă subiectul prezintă interes atunci numărul membrilor consorțiului crește. După mai multe revizii consorțiul se adresează unei instituții de standardizare (în acest caz IEEE sau ARINC) care la rândul ei organizează un grup de

lucru și generează noi variante de proiect. *Autorul a participat la revizia internă a standardului ARINC 625 referitor la TPS (Test Programm Set) elaborat de compania RADA Electronic Ind. standard în vigoare în prezent. Presentăm o structură de echipament în funcție gradul de standardizare a instrumentelor:*

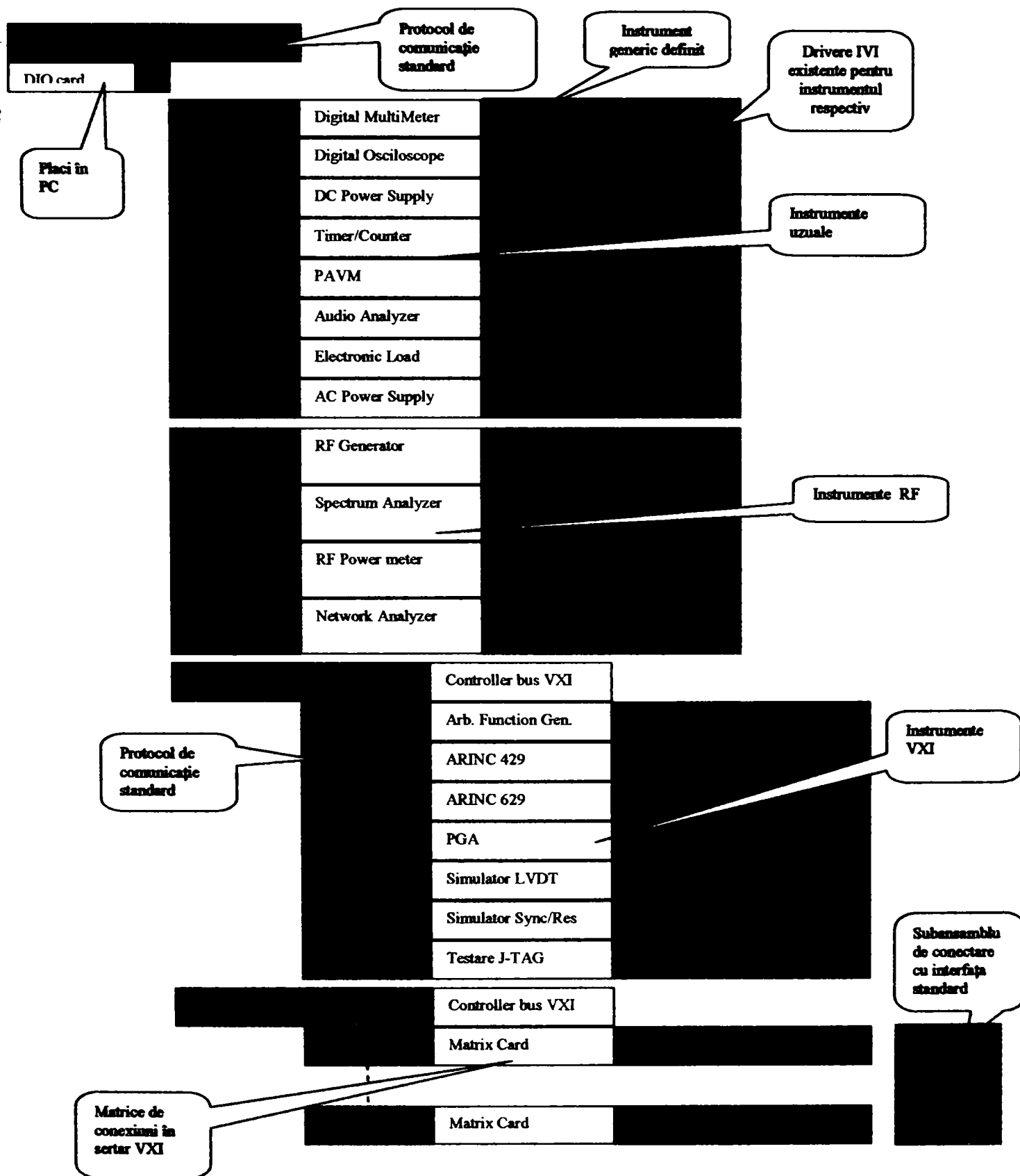


Fig. 4.16 Imagine sintetică asupra gradului de implementare a diverselor standarde pentru un testor de avionică

După cum se remarcă nu toate instrumentele au definite capacități de clasă. Definiția mulțimii de instrumente generice este dificilă deoarece apar în permanență necesități noi odată cu apariția unor tehnologii noi. Conceptul de structură implică existența unor proceduri care să permită adăugarea de noi instrumente fără a compromite generalitatea. Aceste lucruri se vor analiza în detaliu în capitolul 5. Obiectivul autorului în această teză este de a se apropia de o structură ideală din punct de vedere al portabilității programelor de testare, dar și de evidențierea unui mecanism care să permită acest lucru.

#### 4.7 Concluzii

Acest capitol definește în secțiunea 4.1 modurile de lucru în testarea funcțională în avionică, prezentând și ciclul complet al unui program de testare din momentul proiectării până în momentul scoaterii din serviciu al avionului. De altfel autorul a participat la proiectarea standardului ARINC 625 în faza de revizie internă a acestuia de către compania RADA Electronic Ind. care a fost inițiatorul standardului. În secțiunea 4.2 se prezintă modul de descriere a testelor iar în secțiunea 4.3 modul de proiectare a unui test funcțional. Toate aceste observații și definiții sunt documentate cu aplicații practice pe două unități. Autorul a participat la dezvoltarea testelor pentru cele două unități..

Secțiunea 4.4 este o trecere în revistă a tipurilor de teste și de instrumente care sunt frecvent utilizate în domeniul testării avionicii. Această evaluare este realizată pe baza situațiilor de testare reale cu care autorul s-a întâlnit în activitatea sa. Autorul prezintă câteva soluții de testare pentru verificări uzuale în avionică subliniind dificultățile sau implementările mai deosebite precum și caracterul de noutate datorită în special inovațiilor aduse de avionca modulară.

Secțiunea 4.5 sublinează importanța raportului de testare pentru acest gen de teste.

Secțiunea 4.6 încearcă să sintetizeze concluziile din secțiunea 4.5 și generează imaginea reală a unui testor de avionică în prezent precum și obiectivele care mai sunt de completat în acest domeniu. Prin aceste obiective se înțeleg completările la definirea unor capacități generice acolo unde ele nu există, definirea modului de generare a drivere-lor, posibilitățile de extindere a testorului fără a compromite ceea ce există în prezent. Această analiză a autorului permite în capitolul 5. integrarea componentelor de software astfel încât sa conserve caracterul de generalitate al structurii unui sistem de testare pentru avionică.

## CAP. V

### Mediul de testare, limbaje de programare, drivere<sup>[7][8][121][122][160][26][123][10]</sup>

Acest capitol prezintă procesul de testare funcțională în avionică, din punct de vedere al tuturor componentelor software care participă la el inclusiv limbajele de programare.

Se prezintă în acest capitol, pentru a avea o imagine de ansamblu, structura mediului de dezvoltare cu toate componentele sale.

Limbajele de programare a evoluat spre variante de nivel înalt care permit portabilitatea acestora pe diverse platforme și echipamente de testare.

Dezvoltarea driverelor pentru instrumente interschimbabile virtuale permite proiectarea de teste care utilizează elemente generice permițând trecerea de la o generație de testoare la alta fără a reproiecta testele.

Translația unor aplicații vechi de testare către echipamente moderne fără a reproiecta propriu-zis testele este un procedeu complex dar care permite conservarea unor programe de testare cu efort mult redus.

Aplicația care execută programul de testare se numește test executiv. Acest gen de aplicație a evoluat foarte mult permițând execuția programelor de testare în mod unitar cu definirea proceselor de testare prin modelare.

Programele de testare care au fost dezvoltate pe numeroase unități au permis verificarea diverselor variante de limbaj, drivere, test executiv.

#### 5.1 Mediul de testare, limbaje, drivere. Privire generală<sup>[8][22][2][3][4][5]</sup>

Pentru testarea funcțională a unei unități sunt necesare mai multe aplicații și programe software. Prezentăm în figura 5.1 o diagramă a activităților și programelor asociate necesare la testarea unei unități.

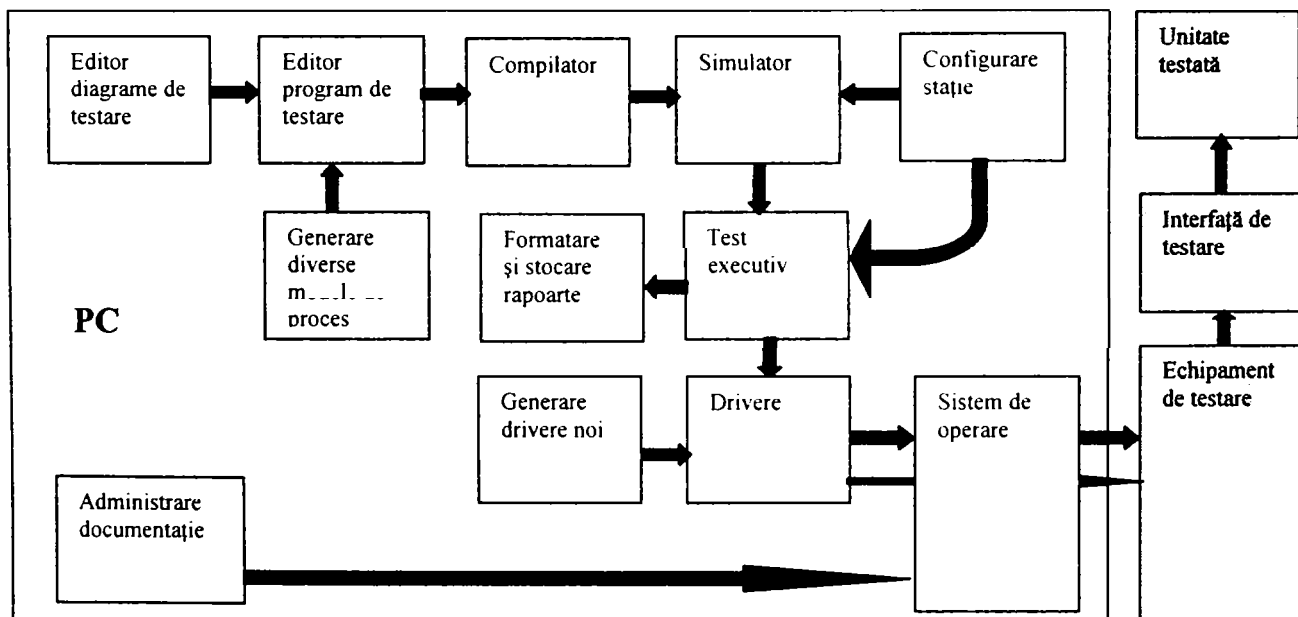


Fig. 5.1 Diagramă simplificată cu entitățile software care alcătuiesc un sistem de testare

Dacă evaluăm figura 5.1 de la stânga la dreapta, precum și considerând cele prezentate în capitolele anterioare, se constată că ordinea acțiunilor pentru a efectua testarea unei unități este următoarea:

- Se analizează documentația de testare furnizată de producătorul unității;
- Se proiectează diagramele de testare;
- Se proiectează interfața de testare și se configurează stația de testare;
- Se scrie programul de testare într-un limbaj adecvat;
- Se verifică sintactic programul fie prin compilare fie editorul are o astfel de funcție;
- Se verifică existența driverelor de instrumente necesare, conform configurației stației, se construiesc driverele care lipsesc;
- Se verifică programul pe un simulator;
- Se obține o unitate funcțională, verificată anterior prin alte mijloace;
- Se pune în funcțiune interfața de testare, împreună cu programul de verificare a acesteia;
- Se conectează unitatea la interfața de testare;
- Se integrează programul de testare pas cu pas.
- Se rulează programul de testare;
- Se verifică testele parțiale;
- Se integrează programul de diagnostic;
- Se rulează testul complet de cel puțin 3 ori și se generează rapoarte de testare;
- Se generează raport de diferențe între documentația furnizată de producător și condițiile de testare rezultate în urma integrării programului.
- Se obține aprobarea producătorului pentru modificări sau se reintegrează testele care nu corespund;
- După obținerea aprobării se îngheață versiunea funcțională care devine validă pentru verificarea și declararea unității apte de serviciu.

Dintre aceste acțiuni, editarea diagramelor de testare și editarea programului de testare sunt primele pe care le execută inginerul care dezvoltă programul. Dacă diagramele de testare pot fi și desenate cu creionul sau editate într-un mediu consacrat (Orcad, ViewLogic sau o aplicație specializată pentru testare), programul se editează într-un limbaj specializat. În timp s-au dezvoltat limbaje de diverse nivele de complexitate. Dintre acestea amintim limbajul ATLAS (Abbreviated Test Language for All Systems) care încearcă să îmbine calitățile descriptive cu cele formale ale unui limbaj de programare.

**Test executivul**<sup>[10]</sup> este de obicei o aplicație care execută programul de test. Această aplicație este în acest caz un interpretor care execută instrucțiunile pas cu pas. Există și situația în care programul de testare este integrat cu o parte comună tuturor programelor și compilate împreună, iar aplicația rezultată este specifică, particulară. Mai există și alte variante de legare a testului de test executiv. Există câteva aplicații deosebit de cunoscute cum ar fi Test Stand<sup>[12]</sup> dezvoltat de National Instruments, ATEasy dezvoltat de Marvin Test Systems, Inc. și mai ales PAWS<sup>[16]</sup> dezvoltat de TYX Corp. care este specializat pentru avionică.

O secțiune deosebită pentru sistemele de testare sunt driver-ele. Driverele sunt cele care leagă programele de instrumente și în final de unitatea testată. De fapt diversitatea acestora este cea care a împiedicat standardizarea echipamentelor de testare automată pentru multă vreme. Consorțiul IVI (Interchangeable Virtual Instruments) a inițiat definirea unor clase de instrumente generice, a unor proceduri de dezvoltare a drivere-lor. **Driver-ele IVI**<sup>[26]-[35][83]-[85][89][102]-[106][133]-[135]</sup> au modificat fundamental concepția despre programele de testare dar standardizarea tuturor instrumentelor și dezvoltarea de drivere pentru ele reprezintă un efort foarte mare.

Am menționat **translația** unor programe existente ca fiind importantă. Există multe programe de testare validate de o utilizare îndelungată și care sunt încă foarte utile dar echipamentele vechi fac imposibilă utilizarea lor. Schimbarea echipamentelor duce implicit la noi programe. Translația automată a celor existente permite un proces de validare al noilor programe mult mai rapid.

Pe lângă editorul de programe, test executiv, drivere există o serie de aplicații ajutătoare care simplifică dezvoltarea programelor de testare. O astfel de aplicație este **simulatorul**<sup>[53][54]</sup> de testare. Există diverse variante de simulatoare. Cele mai simple permit rularea programului cu introducerea manuală a valorilor măsurate. Acest gen de simulator permite verificarea tuturor ramurilor programului, a mesajelor, a formatării raportului. O formă mult mai avansată ar fi verificarea pe un model al unității, dar după informațiile autorului nu există o variantă care să funcționeze pentru testarea funcțională, modelarea și existența unor drivere care să poată fi legate de model fiind proces complexe.

Generatorul de rapoarte permite formatarea rapoartelor de de testare sub diverse forme și eventual publicarea acestora. De asemenea există și posibilitatea ca stocarea rapoartelor să fie realizată tot de generatorul de rapoarte. Dacă există o rețea conectată la mai multe sisteme de testare automate atunci aplicația de administrare va fi mult mai complexă legată la o bază de date.

Un subiect sensibil al arhitecturii software pentru sistemele automate de testare este posibilitatea extinderii și eventual adăugării de noi elemente (instrumente și drivere pentru ele, noi tipuri de semnale și chiar noi domenii tehnologice de testare). Dorința de a acoperi la modul general toate problemele, a făcut ca noul standard ATLAS pe care subcomitetul IEEE SCCC20 trebuie să-l propună în variantă finală a fost primit circumspect de către industrie fiind considerat dificil de aplicat. Totuși aplicații precum Test Stand permit dezvoltarea de programe într- arhitectură deschisă, implementarea unui sistem bazat pe instrucțiile de bază din ATLAS fiind apropiată de standard. Implementările făcute în mediul PAWS se bazează pe variantele ATLAS subseturile 626, 716<sup>[20][22]</sup>. În acest caz driverele sunt dezvoltate sub mediu și deci nu au statutul de drivere IVI. Variantele mai noi de PAWS permit includerea de drivere IVI dezvoltate sub LabWindows/CVI<sup>[9]</sup> sau alte compilatoare dar numai pentru sistemul de operare Windows. Aceste medii de testare permit adăugarea de module nestandard , definite ca module externe. Acest gen de structură deschisă a mediilor de testare au opțiunea ca atunci când apar domenii tehnologice noi, până la consacrarea și implicit standardizarea acestora, testele corespunzătoare să fie adăugate ca module externe.

*Autorul își propune să analizeze câteva variante pe care le-a aplicat la testarea unor unități. Cum în timp s-au folosit mai multe variante, concluziile ne-au permis să*

putem opta pentru o variantă care încearcă să păstreze elementele de standardizare dar să simplifice anumite elemente. Din acest motiv vom analiza mai întâi limbajele utilizate.

## 5.2 Limbaje de programare a testelor.

Limbajul de programare concentrează simbolic arhitectura hardware și software a sistemului de testare automată. Din acest motiv inventarea unui limbaj pentru testare s-a dovedit o sarcină deosebit de dificilă. În timp limbajele de programare folosite au evoluat odată cu celelalte entități ale sistemului. Dat fiind că instrumentele (inclusiv căile de conectare), conectorul unității, precum și acțiunile executate asupra acestora devin elemente de program, s-a dovedit a fi mult mai dificilă crearea unui limbaj pentru testare. Multe din acțiunile executate la momentul testării au fost ascunse de programul propriu-zis, ele fiind implicite și specifice echipamentului sau integrate în codul aplicațiilor, invizibile pentru proiectantul de test.

Astfel deosebim mai multe tipuri de limbaj. **Limbajul de nivel mai scăzut** care este specific unui producător de echipament foarte asemănător cu BASIC-ul care include în vocabular și comenzile spre instrumente. În acest caz extinderea echipamentului este dificilă și necesită integrarea noilor comenzi prin modificarea executabilelor. Proiectantul de test operează în acest caz cu comenzi legate de echipamentul pe care este instalat test executivul asociat. Un astfel de limbaj este limbajul dezvoltat de compania RADA Electronic Industries Ltd<sup>[8]</sup>. Editorul de programe în acest caz are și sarcina de a verifica sintactic programul.

Structura unui astfel de program este construită pe un sistem de graf prezentat în figura 5.2:

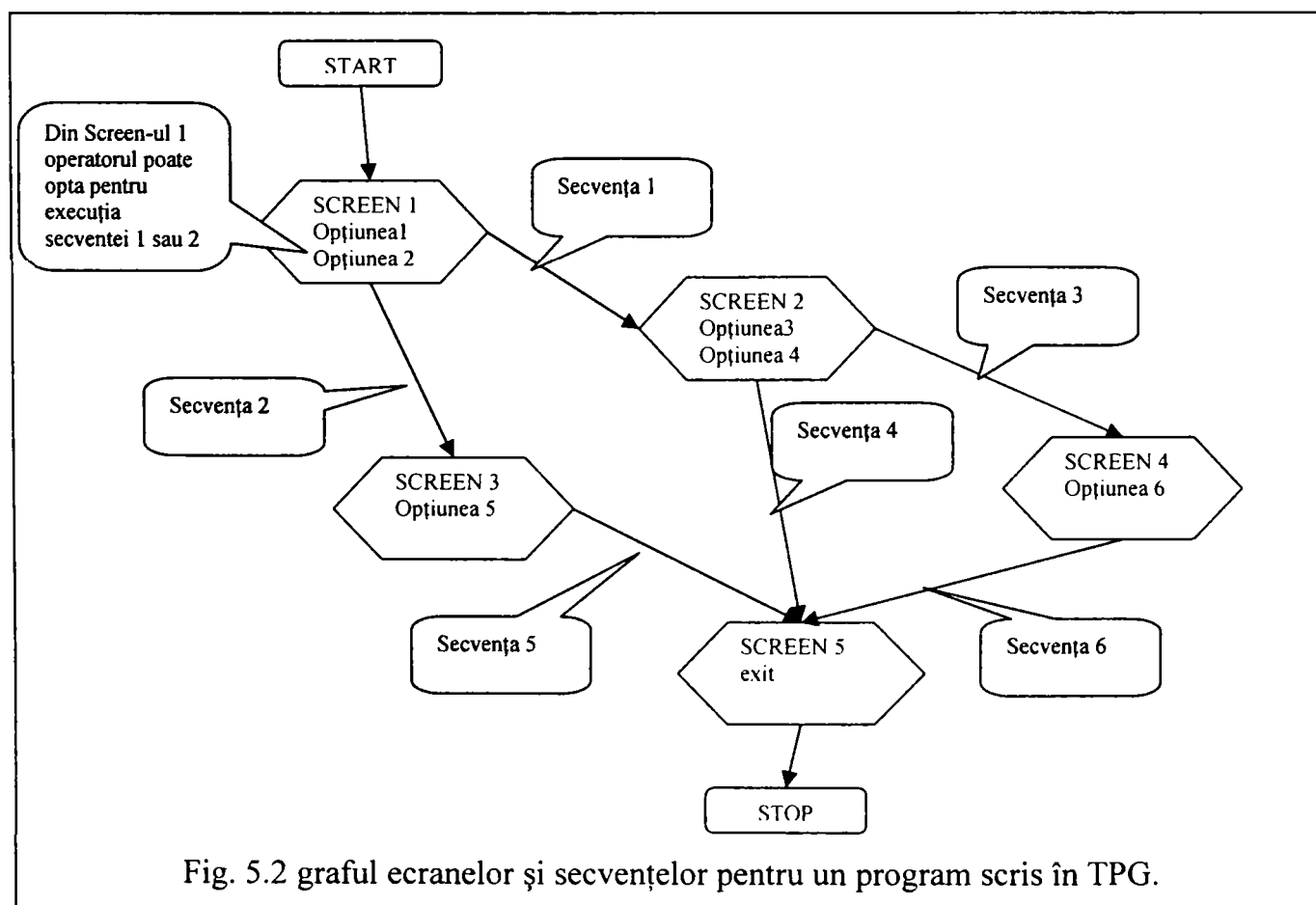


Fig. 5.2 graful ecranelor și secvențelor pentru un program scris în TPG.

După cum se remarcă proiectantul are la dispoziție blocuri de decizie numite screen-uri (ecrane) unde operatorul are afișate mesaje și poate selecta opțiuni. Selectarea unei opțiuni înseamnă transferul la alt screen după executarea unei secvențe. Secvențele sunt de fapt programele executate de testor.

Se prezintă în figura 5.3 o secvență de testare a tensiunilor sursei de alimentare de la unitatea FMC (Flight Management Computer):

INSTR.	PARAM 1	PARAM 2	PARAM 3	PARAM 4	TOL	
[						comentariu
'	power test - verify the values of the dc power sup					
]						Comentariu Tipărit
P	POWER SUPPLY TEST					
]						Mesaj pentru operator
LOC_LINE	3	2				
WR_LINE	POWER SUPPLY TEST					
WAIT_SEC	1					
M_VDC	J2-8	GND-J2-8	REG		28V	Măsurătoare de tensiune între J2-8 și GND-J2-8 cu valoarea în REG și toleranța în registrii 28V
JMP	FAIL	LINE	PWRTST-1			
M_VDC	J2-6	GND-J2-6	REG		19.5V	
JMP	FAIL	LINE	PWRTST-2			
M_VDC	J2-7	GND-J2-7	REG		-19.5V	
JMP	FAIL	LINE	PWRTST-2			
M_VDC	J2-2	GND-J2-2	REG		5V	
JMP	FAIL	LINE	PWRTST-1			
M_VDC	J2-3	GND-J2-3	REG		15V	Instrucție de salt condiționat
JMP	FAIL	LINE	PWRTST-1			
M_VDC	J2-5	GND-J2-5	REG		-15V	
JMP	FAIL	LINE	PWRTST-1			
JMP	UNC	LINE	LEAVE-PWT			
:	PWRTST-1					Încărcarea registrului FATALFAIL cu valoarea 1
LOADF	FATAL FAIL	1				
JMP	UNC	SEQ	FATAL F			
:	PWRTST-2					
LOADF	FATAL FAIL	2				
JMP	UNC	SEQ	FATAL F			
:	LEAVE-PWT					
[						
P	POWER SUPPLY TEST PASS					
]						
LOC_LINE	3	2				
WR_LINE	POWER SUPPLY TEST PASS					

Fig. 5.3 Secvență scrisă în TPG



Secvența este alcătuită din linii de program. O linie are o instrucție, patru câmpuri pentru parametri și un câmp pentru toleranțe. Dacă analizăm linia care măsoară tensiunea remarcăm că aceasta execută mai multe operații: face conexiunile, setează instrumentul pentru tipul de măsurătoare, execută măsurătoarea, depune valoarea într-un registru, o compară cu toleranțele definite de un alt registru (valoarea acestora nu se vede) și modifică un fanion care semnalează dacă testul a trecut sau nu. Multe din aceste operațiuni sunt ascunse proiectantului, altele trebuie cunoscute pentru ca testul să păstreze caracteristicile unui test funcțional. De asemenea din acest exemplu nu rezultă posibilitatea utilizării unor instrumente diverse. De fapt instrumentul este HP 34401 și nu poate fi folosit altul pentru că test executivul are driver-ul înglobat.

Un alt exemplu este utilizarea unor limbaje consacrate (ex. BASIC) , iar legătura cu instrumentele se face prin apelarea unor subrutine (care de fapt sunt driver-ele). În realitate acesta nu este cazul unui limbaj de testare, nu avem instrucții specifice domeniului.

Limbajele au evoluat spre variante mult mai complexe, de nivel înalt care permit o abordare unitară a programelor de testare. Un astfel de limbaj este limbajul ATLAS. Limbajul ATLAS este în realitate rezultatul eforturilor de creere a unui limbaj de nivel înalt, orientat spre semnale și care îndeplinește simultan cele două deziderate:

- formalizarea descrierii testelor;
- independența de echipament;

Limbajul ATLAS este descris de către standardul ARINC 626 (rev. 3)<sup>[20]</sup> sau IEEE 716-1995 (C/ATLAS)<sup>[22]</sup>.

### 5.2.1 Limbajul ATLAS<sup>[139][140][141][142]</sup> (Abbreviated Test Language for All Systems) pentru testare modulară.

Specificația de testare de tip ATLAS cuprinde un set de documente care descriu testele necesare pentru o unitate într-o manieră independentă de echipamentul de testare. Structura specificației de tip ATLAS cuprinde trei entități: structura programului ATLAS, structura modulului ATLAS și structura modulelor non-ATLAS.

Structura unui program ATLAS cuprinde următoarele părți:

- directiva BEGIN ATLAS;
- structura de tip preambul program;
- directiva COMMENCE MAIN;
- structura procedurală principală;
- directiva TERMINATE ATLAS;

Structura unui modul ATLAS cuprinde:

- directiva BEGIN ATLAS MODULE;
- preambul modul;
- directiva TERMINATE ATLAS MODULE;

O structură non-ATLAS are aceeași compoziție ca o structură de modul ATLAS, cu observația că aceasta este dependentă de platformă și este scrisă într-un alt limbaj.

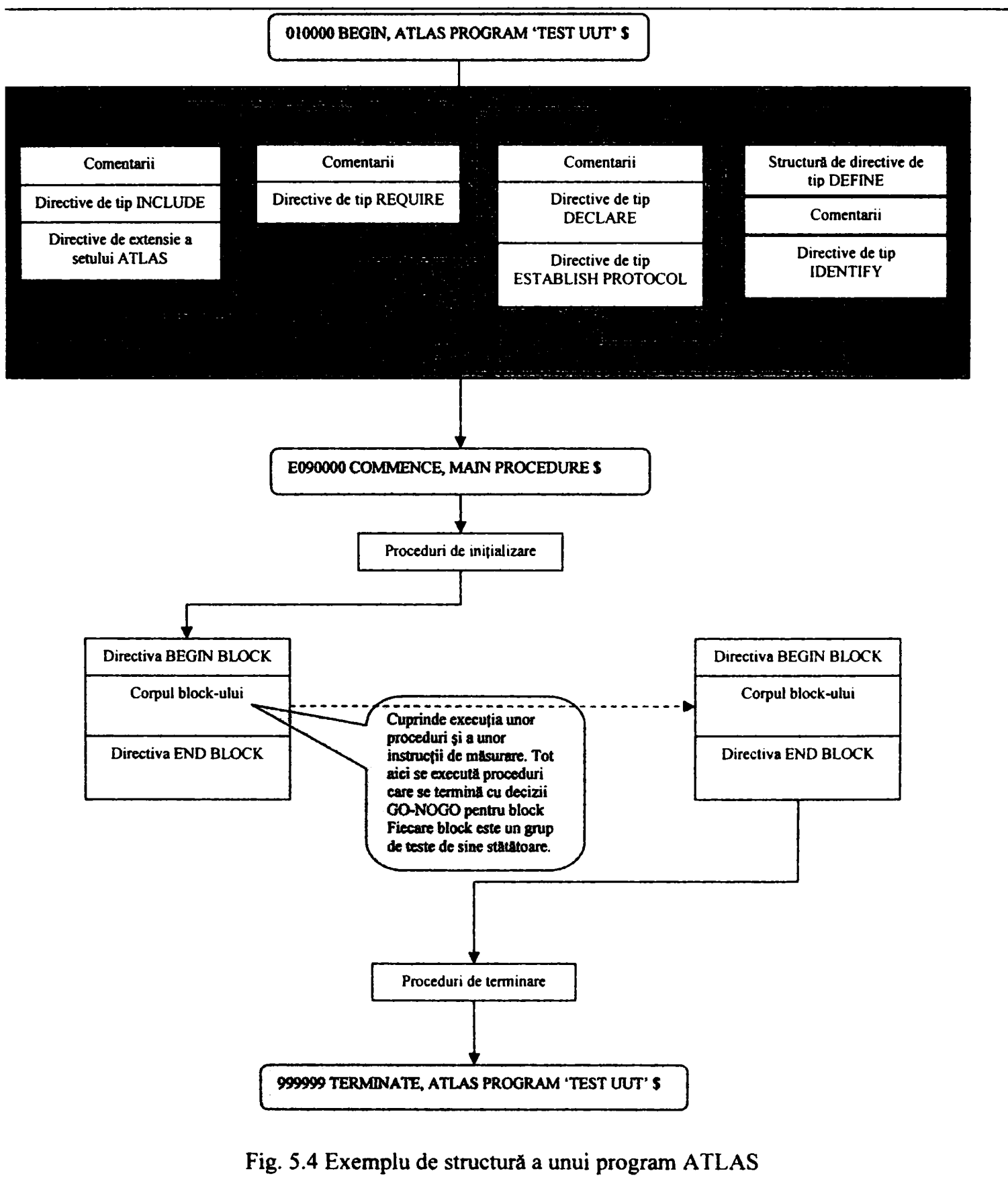


Fig. 5.4 Exemplu de structură a unui program ATLAS

După cum se remarcă în exemplul din figura 5.4 preambulul unui program ATLAS cuprinde o serie de acțiuni care definesc contextul testului.

Prin directivele de tip INCLUDE se definesc mai multe module ATLAS care pot face parte din programul respectiv. O proprietate a acestei directive este posibilitatea de extindere a limbajului cu noi subseturi sau cu noi substantive.

Directiva de tip REQUIRE este specială în structura programului. Ea definește practic mulțimea senzorilor și stimulilor necesari pentru testare, sau altfel spus definește instrumentele și resursele necesare pentru test. Se prezintă o astfel de instrucție care definește necesitatea unei surse de tensiune DC.

```
001000 REQUIRE. '+28-VDC-POWER-SUPPLY'. SOURCE. DC SIGNAL.  
CONTROL,  
VOLTAGE +28.0 V ERRLMT +-0.1 V,  
LIMIT,  
CURRENT MAX 2 A,  
CNX HI LO $  
CS
```

După cum se remarcă instrucția are următoarea structură:

- index : 001000;
- cuvânt cheie: REQUIRE;
- nume semnal: '+28-VDC-POWER-SUPPLY';
- tip de semnal: SOURCE, DC SIGNAL;
- capacități: CONTROL,  
VOLTAGE +28.0 V ERRLMT +-0.1 V;
- limite: LIMIT,  
CURRENT MAX 2 A.
- conectori: CNX HI LO;
- terminator instrucție: \$;

Directiva de tip DECLARE este folosită pentru a declara variabilele folosite de program:

```
DECLARE, VARIABLE, 'AC-VOLT' IS DECIMAL $
```

Directiva de tip ESTABLISH PROTOCOL definește în ansamblul său o conexiune pe care se schimbă informații după un anumit protocol:

```
020000 ESTABLISH, BUS-PROTOCOL 'XMT-BUS',  
SPEC 'ARINC-429',  
TEST-EQUIP-ROLE MASTER,MONITOR,SLAVE,  
TEST-EQUIP-MONITOR DATA,  
BUS-MODE TALKER-LISTENER,  
TALKER TEST-EQUIP,  
LISTENER UUT,  
DATA (STRING(32) OF BIT),  
STANDARD PRIMARY BUS,  
CNX TRUE COMPL $
```

Și aici identificăm mai multe elemente:

- index : 020000;

## 5. Mediul de testare, limbaje de programare, drivere

- cuvânt cheie: ESTABLISH;
- numele busului și protocolului: BUS-PROTOCOL 'XMT-BUS';
- specificația care definește protocolul: SPEC 'ARINC-429';
- capacitățile instrumentelor de comunicație:

```
TEST-EQUIP-ROLE MASTER,MONITOR,SLAVE,
TEST-EQUIP-MONITOR DATA,
BUS-MODE TALKER-LISTENER,
TALKER TEST-EQUIP,
LISTENER UUT,
DATA (STRING(32) OF BIT),
STANDARD PRIMARY BUS.
```

- pini de conexiune: CNX TRUE COMPL ;
- terminator de instrucție: s;

Directiva de tip DEFINE este utilizată pentru definirea detaliată și specifică a unui eveniment cum este de exemplu transmisia a două cuvinte folosind protocolul definit mai sus și denumit 'XMT-BUS':

```
031500 DEFINE, 'SEND-W', EXCHANGE, PROTOCOL 'XMT-BUS',
BUS-MODE TALKER-LISTENER,
TALKER TEST-EQUIP,
LISTENER UUT,
DATA 'SEND-WORD'(1 THRU 2) $
```

Tot la categoria DEFINE se găsesc și procedurile comune (subrutine) care practic sunt declarate și definite aici după cum se vede din exemplul următor:

```
C ***** * $
C * PROCEDURE: 'DATE-TIME' * $
C *----- * $
C * PURPOSE: READS THE DATE USING THE ATLAS DATE FUNCTION AND * $
C * RETURNS THE DATE IN THE FORM YY/MM/DD AND RETURNS * $
C * THE TIME IN THE FORM HH:MM:SS * $
C *----- * $
C * GLOBAL VARIABLES USED: * $
C * -VAR- -TYPE- -FUNCTION- * $
C * 'D' STRING(15) OF CHAR RETURNS THE DATE * $
C * 'T' STRING(15) OF CHAR RETURNS THE TIME * $
C * * $
C * PROCEDURES: NONE * $
C * * $
C ***** * $
CS
045000 DEFINE, 'DATE-TIME',
PROCEDURE RESULT( 'D', 'T' IS STRING(15) OF CHAR) $
DECLARE, VARIABLE, 'TODAY' IS STRING(15) OF CHAR $
DECLARE, VARIABLE, 'D1', 'T1' IS STRING(10) OF CHAR $
DECLARE, VARIABLE, 'D2', 'T2' IS STRING(12) OF CHAR $
CALCULATE, 'TODAY' = DATE $
CALCULATE, 'D1' = COPY('TODAY', 1, 6),
'D2' = INSERT(C', 'D1', 2),
'D' = INSERT(C', 'D2', 5) $
CALCULATE, 'T1' = COPY('TODAY', 7, 6),
'T2' = INSERT(C:', 'T1', 2),
'T' = INSERT(C:', 'T2', 5) $
END, 'DATE-TIME' $
CS
```

Procedurile din secțiunea DEFINE a programului sunt rutine globale care pot fi apelate de oriunde în program.

După partea de preambul care descrie practic contestul de testare propriu-zis, urmează secțiunea principală (MAIN) care conține testele funcționale grupate în blocuri. Blocurile pot avea și ele o parte de preambul după care urmează programul propriu-zis, după cum se poate vedea și din exemplu:

```

C ***** $
C *   BLOCK 1.3  POWER-UP TESTS                * $
C ***** $
CS
CS
    OUTPUT, TEXT, FROM
    'SPACE-BEFORE',
    C'\LF',
    C' -- BLOCK 1.3  POWER-UP TESTS ---\LF',
    'SPACE-AFTER' $
CS
    OUTPUT, TEXT TO 'LOG-FILE', FROM
    C'\LF',
    C' -- BLOCK 1.3  POWER-UP TESTS ---\LF\LF' $
CS
130000 APPLY, DC SIGNAL USING '+28-VDC-POWER-SUPPLY',
    VOLTAGE +28.0 V ERRLMT +-0.1 V,
    CURRENT MAX 2 A,
    CNX HI J1-10
    LO EARTH $
CS
    WAIT FOR, TIME 5 SEC $
CS
130010 VERIFY, (CURRENT), DC SIGNAL USING 'DC-AMMETER',
    LE 0.5 A,
    CURRENT RANGE 0 A TO 2 A,
    CNX VIA J1-10A $
CS
    PERFORM, 'CHECK-NOGO' (C'STATNO 130010 ', 0.05, 'MEASUREMENT', 0.5, C'A') $
CS
130020 VERIFY, (VOLTAGE), DC SIGNAL USING 'DC-VOLTMETER',
    UL 28.5 V LL 27.5 V,
    VOLTAGE RANGE 0V TO 30V,
    CNX HI J1-10
    LO EARTH $
CS
    PERFORM, 'CHECK-NOGO' (C'STATNO 130020 ', 27.5, 'MEASUREMENT', 28.5, C'VOLT') $
CS
130030 VERIFY, (VOLTAGE), DC SIGNAL USING 'DC-VOLTMETER',
    UL 28.5 V LL 27.5 V,
    VOLTAGE RANGE 0V TO 30V,
    CNX HI J1-16
    LO EARTH $
CS
    PERFORM, 'CHECK-NOGO' (C'STATNO 130030 ', 27.5, 'MEASUREMENT', 28.5, C'VOLT') $
CS
C ----- Initiate the NORMAL MODE for ACP ----- $
CS
    ENABLE, EXCHANGE-CONFIGURATION USING 'XMT',
    PROTOCOL 'XMT-BUS',
    CNX TRUE J1-17 COMPL J1-18 $
CS
    WAIT FOR, TIME 0.1 SEC $
CS
    CALCULATE, 'SEND-WORD'(1) = 'SCC-ACP-CT-1' $
    CALCULATE, 'SEND-WORD'(2) = 'SCC-ACP-CT-2' $
CS
    DO, EXCHANGE USING 'XMT', TEST-EQUIP-ROLE MASTER,
    
```

Contribuții la configurarea unor structuri de testare automată cu aplicații în avionică  
5. Mediul de testare, limbaje de programare, drivere

```
(EXCHANGE 'SEND-W',
TEST-EQUIP-ROLE MASTER,
DELAY 40 MSEC).
PROCEED $
C$
C----- 5 VAC POWER-SUPPLY ----- $
C$
APPLY, AC SIGNAL USING '5-VAC-POWER-SUPPLY',
VOLTAGE 5V,
FREQ 400HZ,
CURRENT MAX 0.5A,
CNX HI J1-22
LO J1-23 $
C$
130040 VERIFY, (VOLTAGE), AC SIGNAL USING 'AC-VOLTMETER'.
UL 5.2 V LL 4.5 V,
VOLTAGE RANGE 0V TO 6V,
CNX HI J1-22
LO J1-23 $
C$
PERFORM, 'CHECK-NOGO' (C'STATNO 130040 ', 4.5, 'MEASUREMENT', 5.2, C'VOLT') $
C$
130050 VERIFY, (CURRENT), AC SIGNAL USING 'AC-AMMETER',
UL 0.5A LL 0.005A,
CURRENT RANGE 0A TO 1A,
CNX VIA J1-22A $
C$
PERFORM, 'CHECK-NOGO' (C'STATNO 130050 ', 0.05, 'MEASUREMENT', 0.5, C'A') $
C$
199999 END, BLOCK '1.0 PRE-POWER/POWER-UP TESTS' $
C$
```

*Exemplul de mai sus elaborat de autor face parte din programul de testare al unității ACP (ANEXA 2). Acest program a fost validat de producătorul avionului și din punct de vedere al testului, dar și ca document descriptiv pentru această unitate. Acest sub-bloc verifică mărimile electrice referitoare la alimentarea unității. Procedura 'CHECK-NOGO' apare de fiecare dată când se fac măsurători care se publică în raport. Unitatea are 9 blocuri. Unele blocuri au mai multe subblocuri.*

Instrucția ATLAS este construită din punct de vedere sintactic astfel:

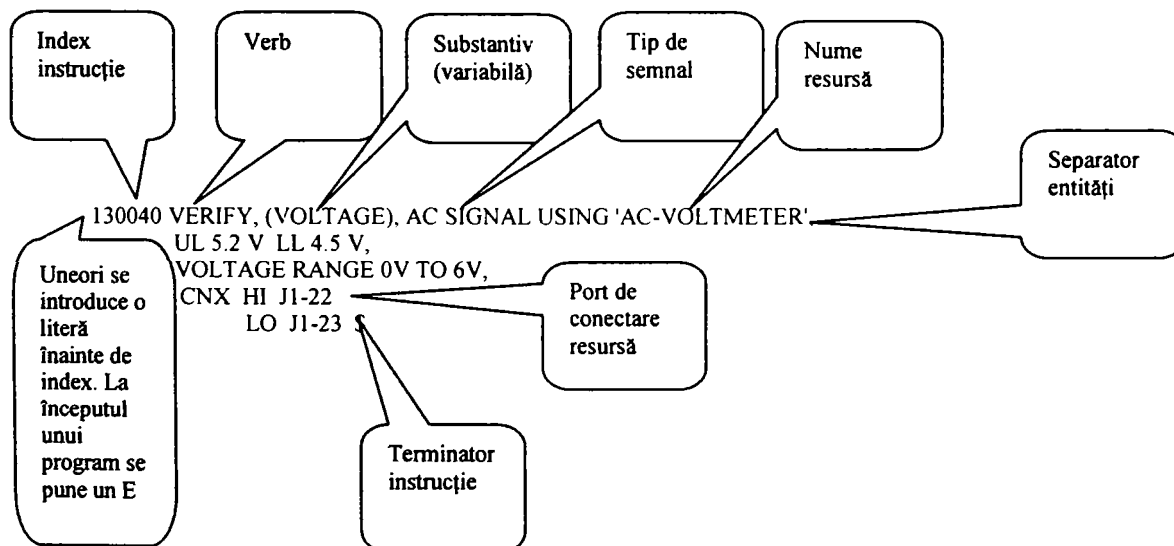


Fig. 4.5 structura unei instrucții ATLAS

Enumerăm cele mai folosite verbe în ATLAS :

## 5. Mediul de testare, limbaje de programare, drivere

- DEFINE
- IDENTIFY
- REQUIRE
- APPLY
- REMOVE
- MEASURE
- MONITOR
- VERIFY
- READ
- INITIATE
- SETUP
- CONNECT
- DISCONNECT
- ARM
- FETCH
- CHANGE
- RESET
- WAIT\_FOR
- STIMULATE
- SENSE
- PROVE
- DO
- EXCHANGE

La acestea se mai pot adăuga extensii pentru comunicație sau alte domenii tehnologice. Lista de mai sus cuprinde cele mai utilizate verbe, standardul ARINC 626 fiind mult mai întins. Dorim să subliniem că acțiunile verbelor pot fi simple sau complexe. Ne vom referi la instrucțiunile orientate spre semnal. Acestea constau în acțiuni simple sau multiple asupra surselor, senzorilor și sarcinilor legate de semnalele la conectorul unității testate. Resursele sunt considerate virtuale. Ele pot avea diverse stări:

- UNALLOCATED: resursa nu este folosită pentru nici funcție a unității testate și este disponibilă;
- SET: resursa alocată dar neconectată la unitate;
- PRPARED: resursa conectată la unitate;
- ARMED: stare validă doar pentru senzori și implică disponibilitatea acestuia de a face o măsurătoare;
- UNARMED: indică faptul că senzorul nu este gata să măsoare.
- READY: toate condițiile necesare pentru ca o resursă să-și schimbe starea spre starea dorită sunt îndeplinite;
- APPLIED: stare aplicată stimulilor și sarcinilor care specifică aplicarea semnalului necesar unității;
- MEASURED: senzorul a executat măsurătoarea;
- COMPLETED : senzorul a executat măsurătoare, este în continuare conectat la unitate și așteaptă instrucțiuni.

Am definit aceste stări pentru a prezenta următoarele diagrame care definesc aplicarea unor semnale sau măsurarea lor folosind verbe simple și multiple în condiții de sincronizare cu un eveniment sau fără sincronizare:

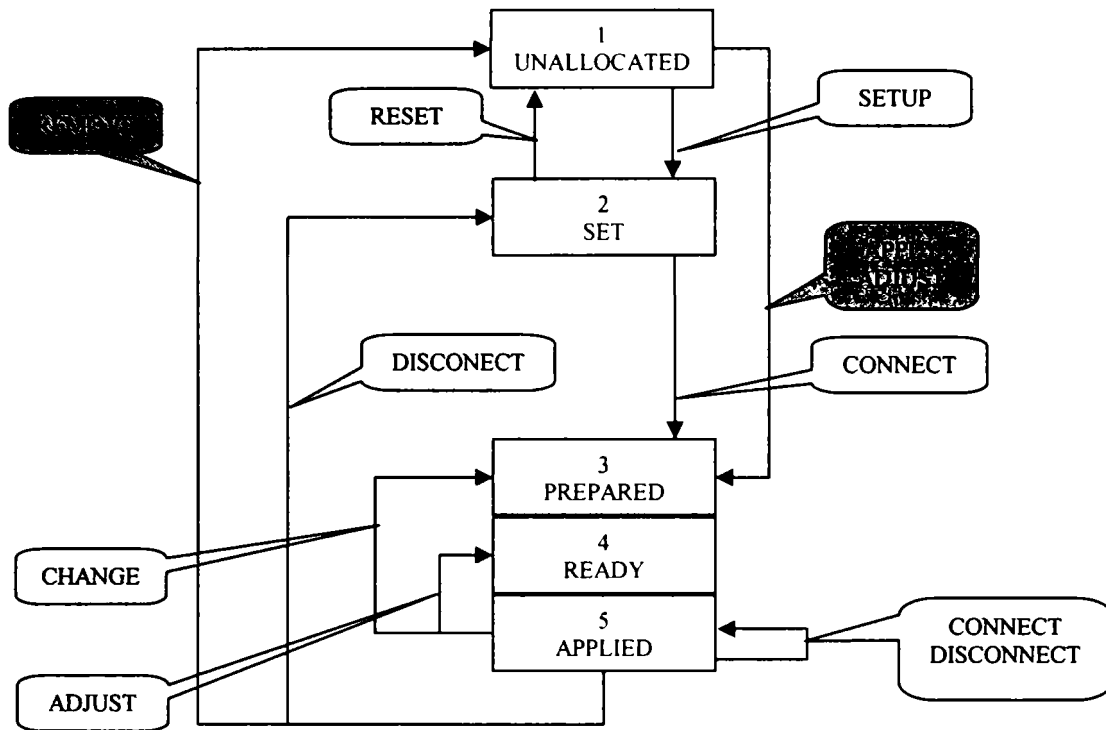


Fig. 5.6 Digrama aplicării unui stimul sau sarcină nesicron cu un eveniment folosind verbe simple și multiple

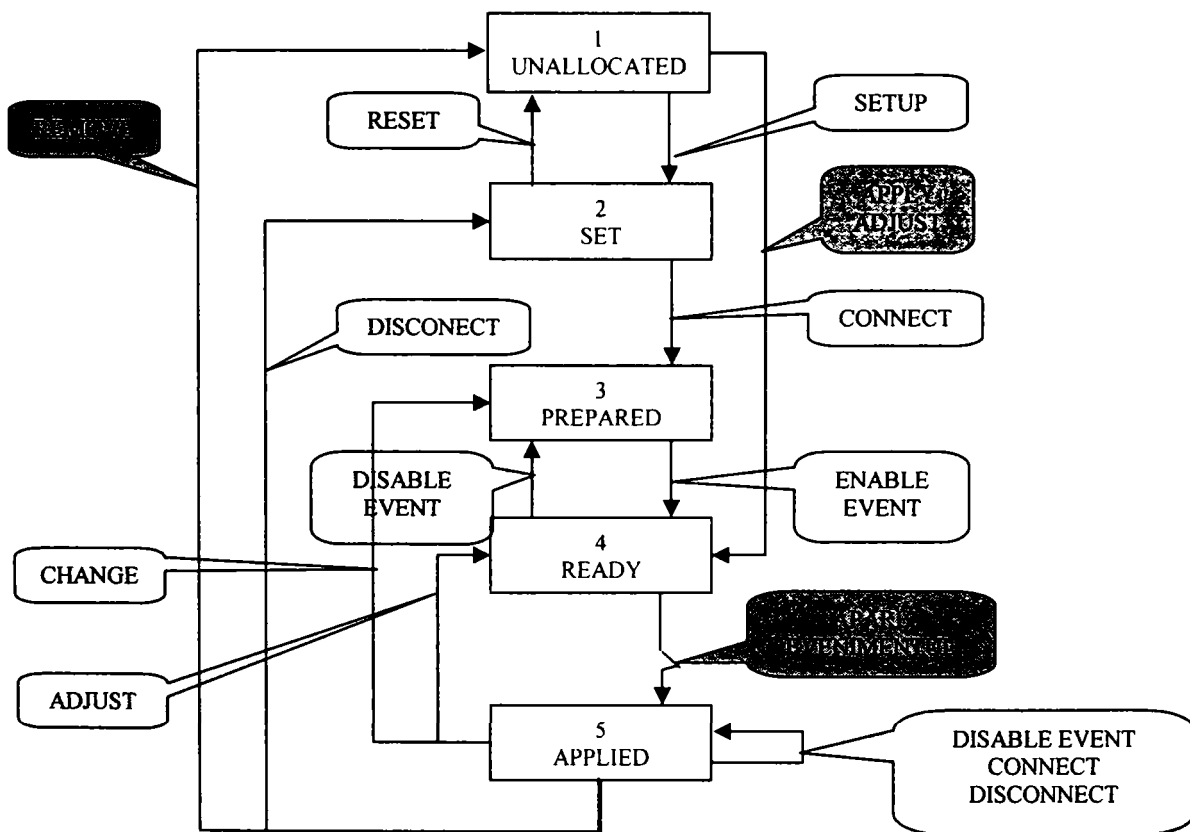


Fig. 5.7 Digrama aplicării unui stimul sau sarcină sicron cu un eveniment folosind verbe simple și multiple



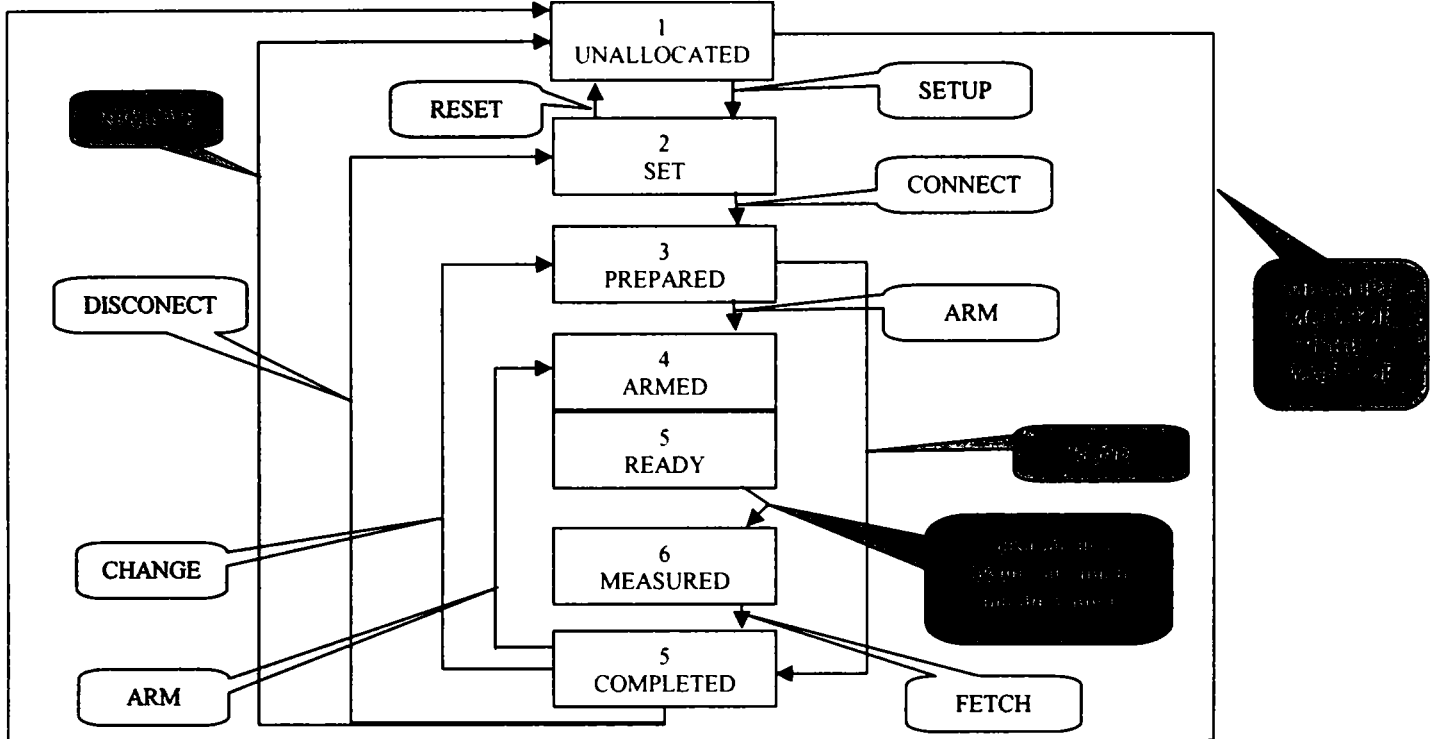


Fig. 5.8 Digrama măsurării cu un senzor, nesicron cu un eveniment folosind verbe simple și multiple

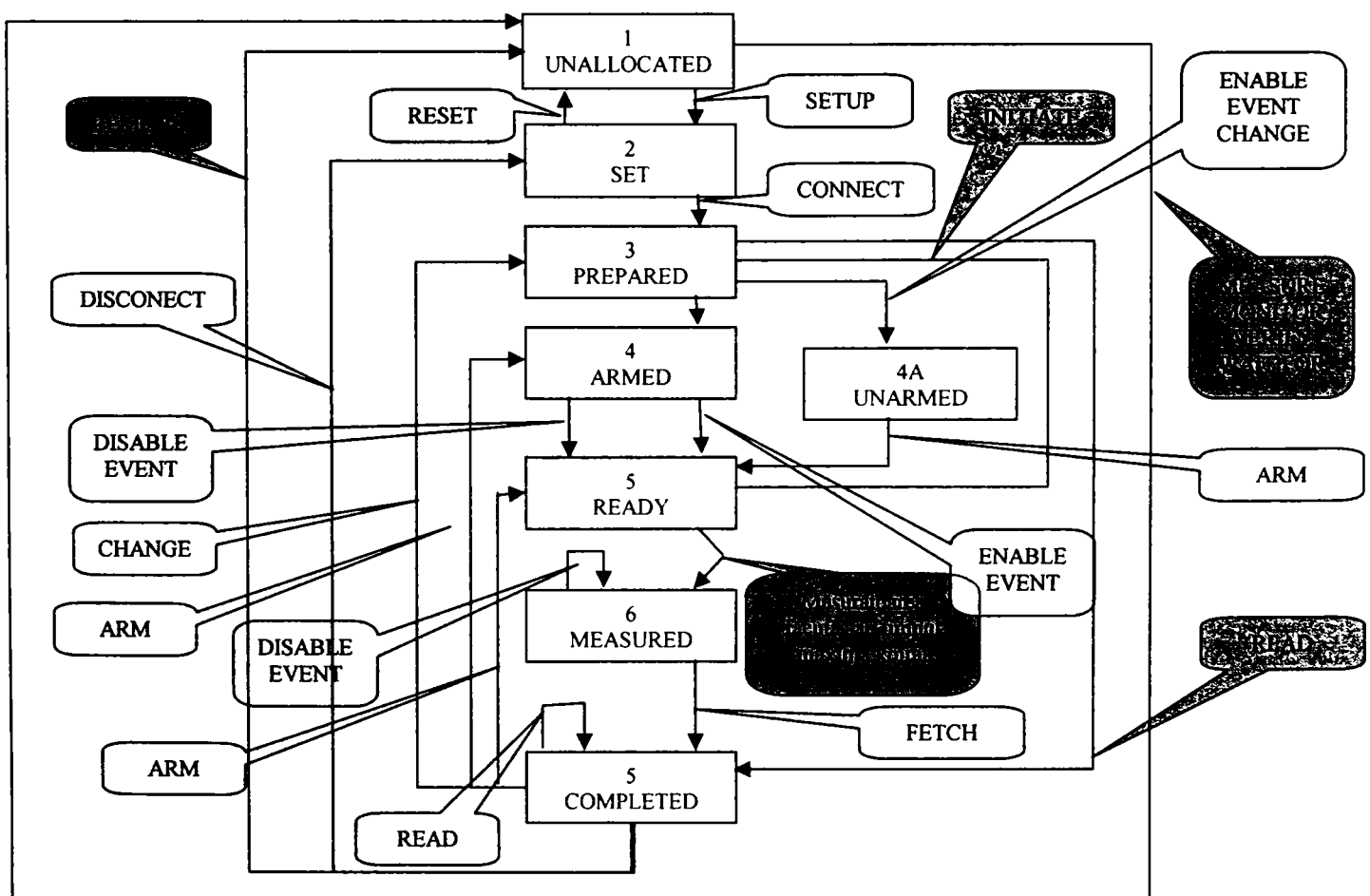


Fig. 5.9 Digrama măsurării cu un senzor, sincron cu un eveniment folosind verbe simple și multiple

Am făcut această prezentare detaliată a programului ATLAS pentru a explica nu numai structura acestuia bazată pe exemple din activitatea autorului dar și pentru a prezenta dilema care o crează. Acest limbaj a fost creat inițial pentru a descrie mai formal testele funcționale la care este supusă o unitate. O dată cu automatizarea procesului de testare a apărut și necesitatea unui limbaj pentru scrierea programelor de testare. Dar acest limbaj exista și se folosea pentru descriere. Trecerea de la un limbaj descriptiv la un limbaj de programare se dovedește în cazul acesta (când o parte din entitățile cu care acesta operează sunt elemente hardware) o sarcină mult mai dificilă.

Primul limbaj prezentat este un limbaj de programare (de nivel BASIC) care nu poate fi folosit pentru descriere în timp ce ATLAS este un limbaj descriptiv care se încearcă a fi folosit pentru programare. Acest lucru a reușit, dar numai parțial cu multe simplificări și particularizări, dar mai ales cu mutarea unor informații în alte fișiere pe care mediul le folosește în detrimentul generalității programului.

### 5.3 Drivere pentru instrumente. <sup>[26]-[35][84][102]-[104][106][123]</sup>

Pc-ul așa cum am văzut în capitolul II se leagă de instrumente prin diverse magistrale și protocoale. Programul, care face legătura între programul de testare și instrumente, fie prin funcții ale sistemului de operare, fie prin funcții care operează direct asupra porturilor, se numește driver. Dată fiind diversitatea instrumentelor și resurselor hardware crearea unui concept unitar la acest nivel al driverelor este foarte dificil. Cea mai directă abordare este crearea unei subrutine în programul de test care să comande direct portul computerului și mai departe instrumentul. Această abordare exclude posibilitatea schimbării instrumentelor pe stație și portabilitatea aplicației. Există foarte multe programe de testare care au fost concepute astfel.

Pentru un mediu de testare care utilizează un interpretor de comenzi legătura dintre programul de testare și instrument poate fi prezentată astfel:

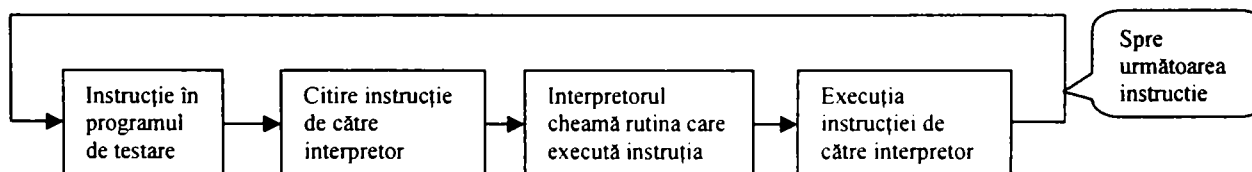


Fig. 5.10 Ciclul simplificat al execuției unei instrucții de către un interpretor

După cum se remarcă în figura 5.10 interpretorul este o aplicație care conține toate operațiile de testare cu excepția editării programului. Este genul de program care a funcționat sub sistemul de operare DOS.

Mediul de testare PAWS al companiei TYX folosește ca limbaj de programare, limbajul ATLAS. Modul în care este legat programul de testare de instrumente este complex. Prezentăm în figura 5.11 modul cum este structurat acest mediu precum și legăturile dintre diversele componente ale mediului:

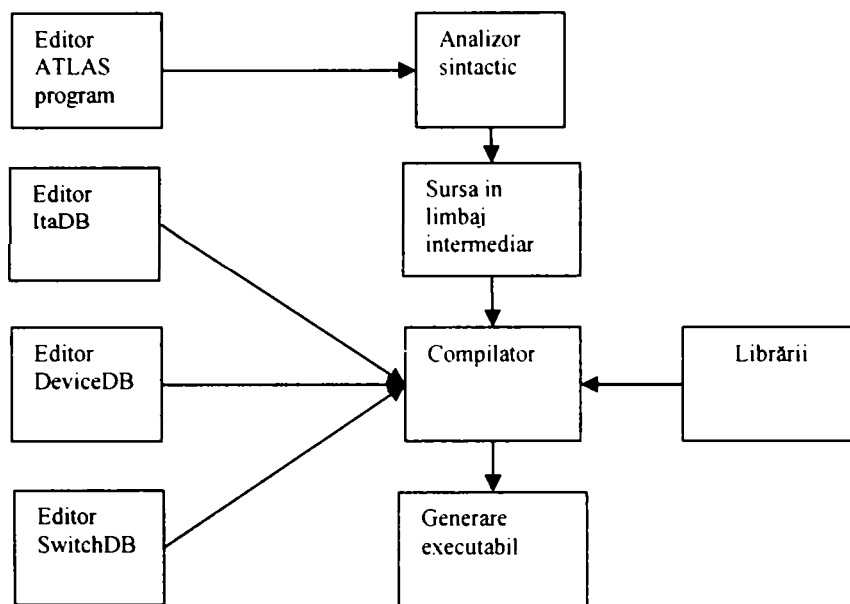


Fig. 5.11 Digramă simplificată a unui mediu de testare care utilizează ATLAS ca limbaj

ItaDb este un fișier care descrie interfața cu unitatea, SwitchDB descrie matricea de conexiuni iar DeviceDB conține driverele de nivel înalt. Acestea se leagă cu funcții de nivel mai scăzut care prin intermediul sistemului de operare acționează asupra porturilor sistemului. Aceste funcții se găsesc gata compilate în librării.

Fișierul DeviceDb conține toate driverele de nivel înalt. Fiecare instrument are mai multe zone alocate. Structura fișierului este prezentată în figura 5.12. Se remarcă zona de declararea a funcțiilor pe care dezvoltatorul de driver le are la dispoziție, zona dinamică unde se declară variabilele utilizate și funcțiile noi cu care se operează și zona statică în care se declară capabilitățile instrumentului precum și verbele simple. O operație pe care o face mediul înainte de compilare este alocarea instrumentelor. Alocatorul are misiunea de a identifica instrumentul potrivit dintre resursele descrise în DeviceDB pentru un instrument din secțiunea de REQUIREMENT a programului ATLAS. Evident se întâmplă foarte des ca alocatorul să găsească un instrument nepotrivit sau pur și simplu să nu identifice nici un instrument potrivit. În aceste cazuri se face o alocare forțată a instrumentului specificând într-un alt fișier asocierea funcției din DeviceDB (FNC) cu instrumentul din ATLAS. Procesul de alocare este greoi și consumă mult timp din procesul de integrare a programului de testare. Un rol separat îl are driverul de conectare. Deoarece conform figurii 5.11 în final se generează un executabil toate conexiunile trebuie definite în programul de testare fiind imposibil de utilizat conexiuni variabile în funcție de diversele rezultate ale testului. Alocatorul face alocarea înainte de compilare și lucrează numai cu valori precise ale pinilor. Dar foarte multe programe ATLAS au fost scrise cu scop descriptiv și conexiunile sunt adesea variabile și modificate folosind subrutine sau bucle. Acestea se modifică prin explodare, adică fiecare subrutină se rescrie de câte ori este necesară cu valorile specifice momentului. Acest lucru se întâmplă mai ales la rutinele de comunicație folosite pentru mai multe canale la care semnalele sunt mutate de la o pereche de pini la alții. *In Anexa 3 se prezintă un fișier DeviceDB funcțional pentru câteva instrumente (DMM, Audio Analyzer, Power supply) inclusiv partea de conexiuni la a cărui dezvoltare a participat și autorul.*

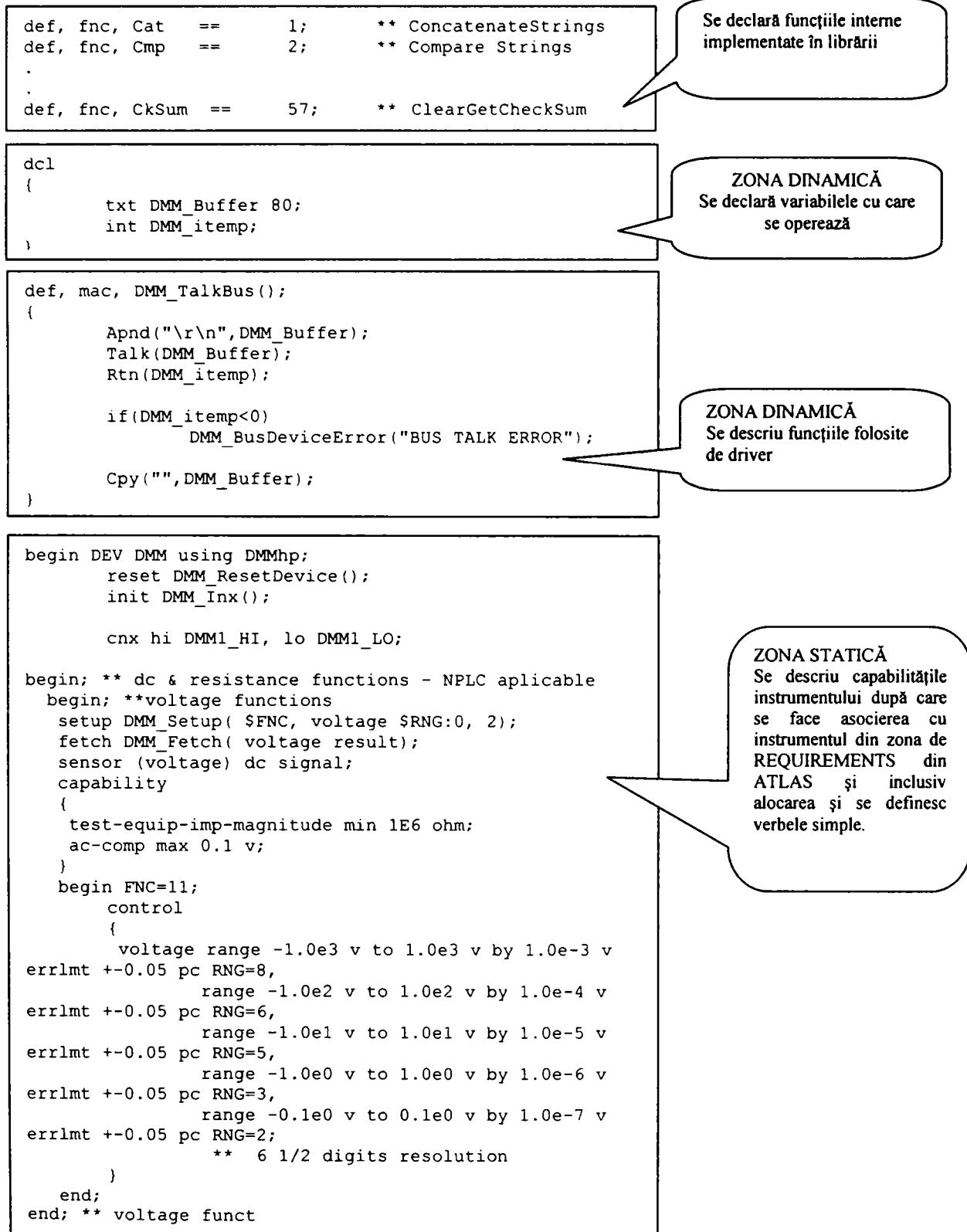


Fig. 5.12 Secțiunile care definesc un driver în fișierul DeviceDB (exemplul DMM-ului)

#### 5.4 Drivere IVI<sup>[26]-[35][149][179][180][172]</sup>

Instrumentele virtuale interschimbabile reprezintă un progres semnificativ în această tentativă de standardizare a echipamentelor și proceselor de testare. Instrumentul virtual interschimbabil este ceea ce am denumit mai devreme instrument generic. Instrumentul generic pentru a i se atașa o entitate software a fost definit ca o clasă de instrumente care au proprietăți și metode prin care aceste proprietăți pot fi schimbate. Driver-ul pune la dispoziția aplicației de nivel superior o interfață prin care se pot utiliza metodele respective pentru modificarea unor parametrii. Aceste metode sunt aceleași pentru toate instrumentele din clasa respectivă care au aceleași capacități, dar obligatoriu capacitățile de bază.

Capabilitățile unei clase de instrumente cuprind următoarele secțiuni:

- prezentare generală: descrie scopul și modul de folosire a grupului de capacități;
- atribute: definește atributele care fac parte din grup. Se definește numele fiecărui atribut, tipul de date folosit, accesul la atribut (scriere,citire) , o scurtă descriere, domeniul de valori;
- funcții: prezintă funcțiile din grup. Pentru fiecare se definește numele, descrierea, parametrii de intrare, parametrii de ieșire;
- modelul de comportare: descrie legătura dintre atributele și funcțiile clasei și comportamentul instrumentului;
- note de complianță: specifică eventualele excepții ale clasei care trebuie îndeplinite.

Din punct de vedere al driver-ului ne interesează atributele și funcțiile. Pentru o prezentare mai sugestivă vom lua în considerare un driver pentru un DMM care are doar capacitățile de bază.

Atributele DMM-ului sunt următoarele:

##### a. FUNCTION

tip de dată	acces	se aplică la	coerciție	funcție de nivel înalt
ViInt32	R/W	N/A	N/A	ConfigureMeasurement

Numele complet al atributului este: **IVIDMM\_ATTR\_FUNCTION**

Valorile pe care le poate lua atributul sunt următoarele:

**IVIDMM\_VAL\_DC\_VOLTS**: setează DMM-ul pentru măsurarea de tensiuni DC;

**IVIDMM\_VAL\_AC\_VOLTS**: setează DMM-ul pentru măsurarea de tensiuni AC;

**IVIDMM\_VAL\_DC\_CURRENT**: setează DMM-ul pentru măsurarea curentului DC;

**IVIDMM\_VAL\_AC\_CURRENT**: setează DMM-ul pentru măsurarea curentului AC;

**IVIDMM\_VAL\_2\_WIRE\_RES**: setează DMM-ul pentru măsurarea rezistențelor pe 2 fire;

**IVIDMM\_VAL\_4\_WIRE\_RES**: setează DMM-ul pentru măsurarea rezistențelor pe 4 fire;

**IVIDMM\_VAL\_FREQ**: setează DMM-ul pentru măsurarea frecvenței;

**IVIDMM\_VAL\_PERIOD**: setează DMM-ul pentru măsurarea perioadei;

**IVIDMM\_VAL\_TEMPERATURE**: setează DMM-ul pentru temperaturii;

## b. RANGE

---

tip de dată	acces	se aplică la	coerciție	funcție de nivel înalt
ViReal64	R/W	N/A	în sus	ConfigureMeasurement

---

Numele complet al atributului este: **IVIDMM\_ATTR\_RANGE**

Valorile pe care le poate lua atributul sunt următoarele:

**IVIDMM\_VAL\_AUTO\_RANGE\_ON**: DMM-ul selectează automat domeniul;

**IVIDMM\_VAL\_AUTO\_RANGE\_OFF**: DMM-ul rămâne pe domeniul cel mai recent;

**IVIDMM\_VAL\_AUTO\_RANGE\_ONCE**: DMM-ul selectează domeniul înaintea următoarei măsurători. Toate măsurătorile care urmează vor fi executate în același domeniu;

## c. RESOLUTION ABSOLUTE

---

tip de dată	acces	se aplică la	coerciție	funcție de nivel înalt
ViReal64	R/W	N/A	în jos	ConfigureMeasurement

---

Numele complet al atributului este: **IVIDMM\_ATTR\_RESOLUTION\_ABSOLUTE**

Valorile pe care le poate lua atributul sunt următoarele:

**IVIDMM\_ATTR\_RESOLUTION\_ABSOLUTE**: DMM-ul măsoară cu valori absolute;

## d. TRIGGER DELAY

---

tip de dată	acces	se aplică la	coerciție	funcție de nivel înalt
ViReal64	R/W	N/A	nu	ConfigureMeasurement

---

Numele complet al atributului este: **IVIDMM\_ATTR\_TRIGGER\_DELAY**

Valorile pe care le poate lua atributul sunt următoarele:

**IVIDMM\_VAL\_AUTO\_DELAY\_ON**: DMM-ul selectează automat întârzierea după declanșare, înainte de fiecare măsurătoare;

**IVIDMM\_VAL\_AUTO\_DELAY\_OFF**: DMM-ul selectează ultima setare pentru toate măsurătorile care urmează;

## e. TRIGGER SOURCE

---

tip de dată	acces	se aplică la	coerciție	funcție de nivel înalt
ViReal64	R/W	N/A	nu	ConfigureMeasurement

---

Numele complet al atributului este: **IVIDMM\_ATTR\_TRIGGER\_SOURCE**

Valorile pe care le poate lua atributul sunt următoarele:

**IVIDMM\_VAL\_IMMEDIATE:** DMM-ul nu așteaptă declanșarea, execută imediat măsurătoarea;

**IVIDMM\_VAL\_EXTERNAL:** DMM-ul așteaptă o declanșare externă pentru a părăsi starea de WAIT-FOR-TRIGGER conform diagramei de comportare.

**IVIDMM\_VAL\_SOFTWARE\_TRIG:** DMM-ul așteaptă declanșarea software;

Atributele de mai sus pot fi modificate prin funcții. Funcțiile definite pentru clasa de instrumente DMM, grupul capabilităților de bază sunt următoarele:

### **A. Abort**

Funcția abandonează măsurătoarea inițiată și DMM-ul se reîntoarce în starea de așteptare conform modelului de comportare.

Prototipul funcției în ANSI C este:

**ViStatus IviDMM\_Abort (ViSession Vi);**

Parametrii de intrare: Vi – instrument handler;

Tipul: ViSession (este un tip folosit de National Instruments);

Funcția returnează coduri de status (daca acțiunea a reușit sau coduri de eroare).

### **B. Configure Measurement**

Funcția configurează atributele comune ale DMM-ului.

Prototipul funcției în ANSI C este:

**ViStatus IviDmm\_ConfigureMeasurement (ViSession Vi, ViInt32 Function, Real64 Range, ViReal64 Resolution);**

Parametrii de intrare: Vi – instrument handler;

Function – setează atributul FUNCTION

Range – setează atributul RANGE

Resolution – setează atributul RESOLUTION

Funcția returnează coduri de status (daca acțiunea a reușit sau coduri de eroare).

### **C. Configure Trigger**

Funcția configurează atributele comune de declanșare ale DMM-ului.

Prototipul funcției în ANSI C este:

**ViStatus IviDmm\_ConfigureTrigger (ViSession Vi, ViInt32 TriggerSource, ViReal64 TriggerDelay);**

Parametrii de intrare: Vi – instrument handler;

TriggerSource – setează atributul TRIGGER SOURCE

TriggerDelay – setează atributul TRIGGER DELAY

Funcția returnează coduri de status (daca acțiunea a reușit sau coduri de eroare).

#### D. Fetch

Funcția returnează o măsurătoare pe care o inițiază funcția Initiate.  
Prototipul funcției în ANSI C este:

**ViStatus IviDmm\_Fetch ( ViSession Vi, ViInt32 MaxTimeMilliseconds,  
ViReal64 \*Reading);**

Parametrii de intrare: Vi – instrument handler;  
MaxTimeMilliseconds – setează timpul maxim de execuție a funcției;  
\*Reading – pointer către valoarea măsurată;

Funcția returnează „Over Range” dacă valoarea domeniului este depășită sau “Max Time Exceeded” dacă timpul este depășit.

#### E. Initiate

Funcția inițializează o măsurătoare cu DMM-ul. Funcția nu verifică statusul instrumentului.  
Prototipul funcției în ANSI C este:

**ViStatus IviDmm\_Initiate (ViSession Vi);**

Parametrii de intrare: Vi – instrument handler;  
Funcția returnează coduri de status (daca acțiunea a reușit sau coduri de eroare).

#### F. Is Over Range

Funcția determină pentru o măsurătoare cu DMM-ul executată folosind FETCH sau READ dacă pentru valoarea citită există sau nu condiția de depășire a domeniului..  
Prototipul funcției în ANSI C este:

**ViStatus IviDmm\_IsOverRange (ViSession Vi, ViReal64 MeasurementValue,  
ViBoolean \*IsOverRange);**

Parametrii de intrare: Vi – instrument handler;  
MeasurementValue – valoarea măsurată  
Funcția returnează TRUE dacă domeniul a fost depășit sau FALSE dacă măsurătoarea este în domeniu prin valoarea parametrului IsOverRange.  
Funcția returnează coduri de status (daca acțiunea a reușit sau coduri de eroare).

#### G. Read

Funcția inițializează o măsurătoare cu DMM-ul, așteaptă reîntoarcerea DMM-ului în starea de IDLE și returnează valoarea măsurată.  
Prototipul funcției în ANSI C este:

**ViStatus IviDmm\_Read (ViSession Vi, ViInt32 MaxTimeMilliseconds,  
ViReal64 \*Reading);**



Parametrii de intrare: Vi – instrument handler;

MaxTimeMilliseconds – setează timpul maxim de execuție a funcției;

\*Reading – pointer către valoarea măsurată;

Funcția returnează coduri de status (daca acțiunea a reușit sau coduri de eroare).

Acestea sunt atributele și funcțiile cu care programul de testare operează asupra clasei DMM. Pentru a evidenția această legătură vom continua cu prezentarea structurii unui driver în general și cu detalii pentru DMM. După cum se remarcă în figura 5.13 există mai multe legături care se stabilesc pentru comanda unui instrument.

API (application programming interface) este o interfață către aplicația care utilizează driver-ul. Aceasta expune mai multe funcții de nivel înalt și care definesc clasa de instrumente (instrumentul generic).

Tot la acest nivel este o interfață grafică folosită de proiectant pentru punerea la punct a driver-ului. Această interfață nu este absolut necesară dar este foarte utilă și în exploatarea ulterioară a driver-ului. Sistemele tot mai complexe care permit construirea unui testor printr-o simplă configurare a softului pot avea și facilitatea utilizării instrumentelor generice în regim individual sau de sine stătător, situație în care această interfață este foarte utilă.

Ambele interfețe operează prin intermediul funcțiilor expuse asupra unor funcții interne ale driver-ului care la rândul lor interacționează cu un motor IVI. Acest motor IVI asigură respectarea unor reguli la execuția unor comenzi către instrument.

VISA ( Virtual Instrumentation Software Architecture) asigură utilizarea unor tipuri de date standard la construirea driverelor IVI. Astfel atributele unei clase de instrumente sunt exprimate într-un format unitar.

Driverele din categoria IVI completează proprietățile driver-elor din categoria plug&play. Cele mai importante caracteristici ale driver-elor sunt :

- interschimbabilitatea (asigură înlocuirea unui instrument aparținând unei clase cu altul din aceeași clasă);
- simularea (driver-ul returnează și valori simulate pentru testarea unor programe de testare fără instrumente);
- monitorizarea stării instrumentului evitând astfel comenzi redundante
- permit crearea unei interfețe grafice cu instrumentul pentru configurarea și întreținerea acestuia.

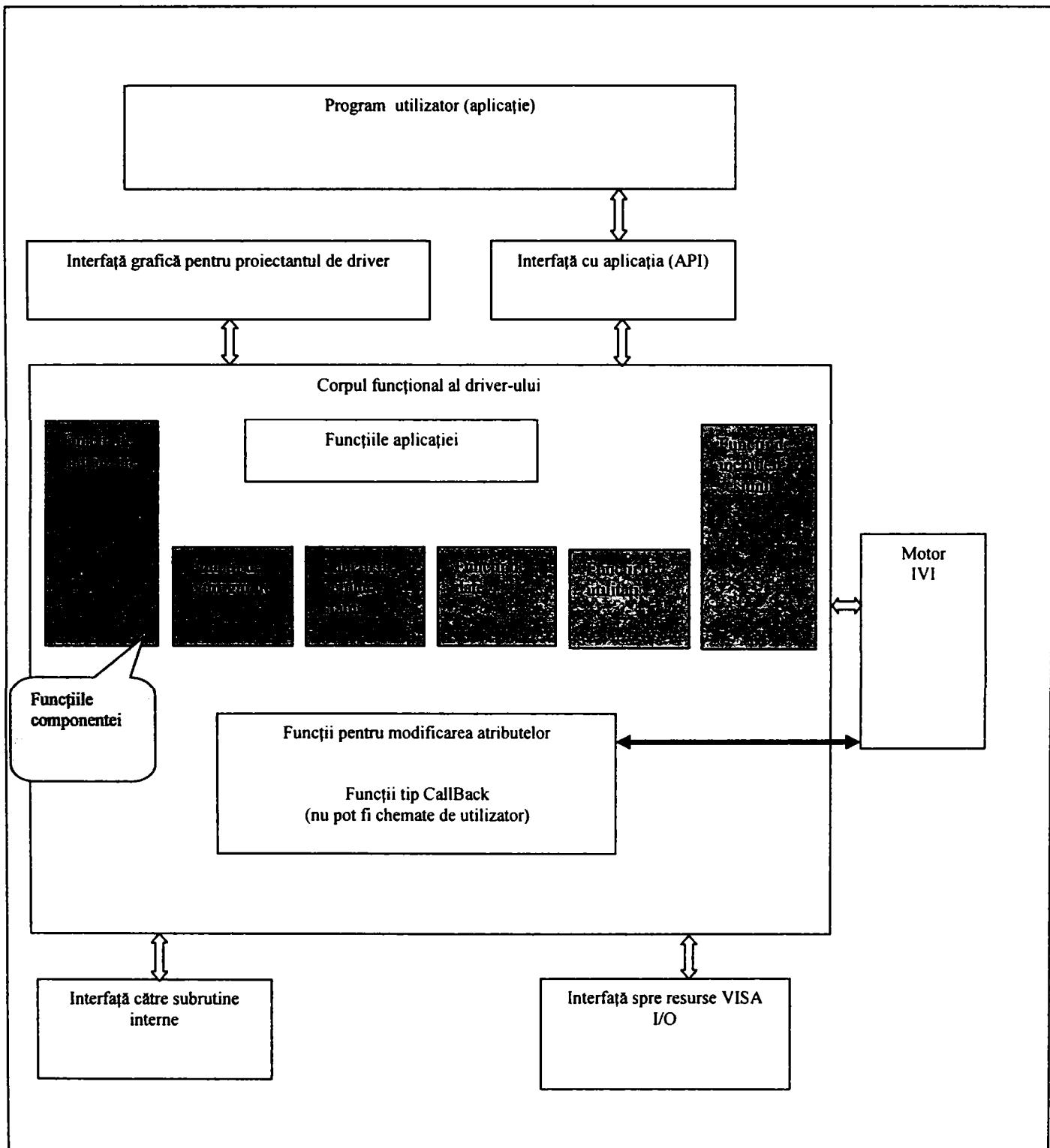


Fig. 5.13 Diagrama unui driver cu componentele sale

Se prezintă în figura 5.14 legătura dintre driver și motorul IVI ( care este un .dll (bibliotecă dinamică) pe 32 de biți invocată de driver).

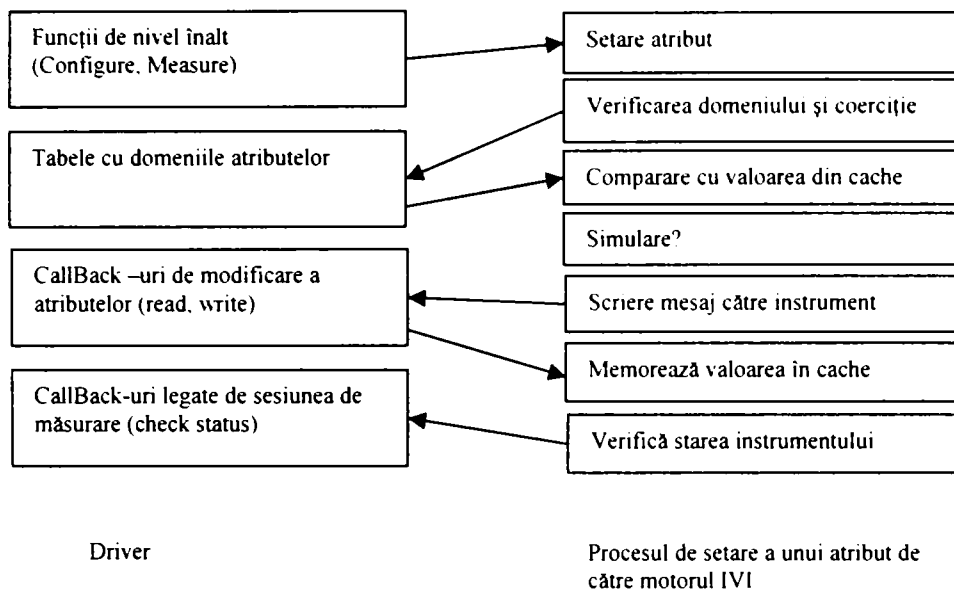


Fig. 5.14 Relația dintre driver și motorul IVI în procesul de setare a unui atribut

Prezentăm în rândurile următoare prototipurile funcțiilor construite pentru un driver IVI al DMM-ului cu ajutorul unui utilitar al companiei National Instruments<sup>[123]</sup>.

```

ViStatus_VI_FUNC dmm_IviInit (ViRsrc resourceName, ViBoolean IDQuery,
                             ViBoolean reset, ViSession vi);
ViStatus_VI_FUNC dmm_IviClose (ViSession vi);

/*- Locking Functions -----*/

ViStatus_VI_FUNC dmm_LockSession (ViSession vi, ViBoolean *callerHasLock);
ViStatus_VI_FUNC dmm_UnlockSession (ViSession vi, ViBoolean *callerHasLock);

/*- Basic Instrument Operation -----*/

ViStatus_VI_FUNC dmm_ConfigureMeasurement (ViSession vi, ViInt32 function,
                                           ViReal64 range, ViReal64 resolution);
ViStatus_VI_FUNC dmm_ConfigureTrigger (ViSession vi, ViInt32 triggerSource,
                                       ViReal64 triggerDelay);
ViStatus_VI_FUNC dmm_Read (ViSession vi, ViInt32 maxTime,
                           ViReal64 *reading);
ViStatus_VI_FUNC dmm_Fetch (ViSession vi, ViInt32 maxTime, ViReal64 *reading);
ViStatus_VI_FUNC dmm_Abort (ViSession vi);
ViStatus_VI_FUNC dmm_Initiate (ViSession vi);
ViStatus_VI_FUNC dmm_IsOverRange (ViSession vi, ViReal64 measurementValue,
                                  ViBoolean *isOverRange);

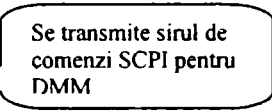
/*- Error Functions -----*/

ViStatus_VI_FUNC dmm_error_query (ViSession vi, ViInt32 *errorCode,
                                  ViChar errorMessage[]);
    
```

```
ViStatus_VI_FUNC dmm_GetErrorInfo (ViSession vi, ViStatus *primaryError,  
                                   ViStatus *secondaryError, ViChar errorElaboration[256]);  
ViStatus_VI_FUNC dmm_ClearErrorInfo (ViSession vi);  
ViStatus_VI_FUNC dmm_error_message (ViSession vi, ViStatus errorCode,  
                                   ViChar errorMessage[256]);  
  
/*- Utility Functions -----*/  
  
ViStatus_VI_FUNC dmm_reset (ViSession vi);  
ViStatus_VI_FUNC dmm_self_test (ViSession vi, ViInt16 *selfTestResult,  
                               ViChar selfTestMessage[]);  
  
ViStatus_VI_FUNC dmm_revision_query (ViSession vi,  
                                     ViChar instrumentDriverRevision[], ViChar firmwareRevision[]);  
ViStatus_VI_FUNC dmm_WriteInstrData (ViSession vi, ViConstString writeBuffer);  
ViStatus_VI_FUNC dmm_ReadInstrData (ViSession vi, ViInt32 numBytes,  
                                   ViChar rdBuf[], ViInt32 *bytesRead);
```

Acestea sunt funcțiile necesare pentru a folosi capacitățile de bază ale DMM-ului. Acest driver construit cu un utilitar are implementată toată structura IVI. Dar comenzile propriu-zise sunt implementate de proiectant. Astfel ca exemplu pentru funcția **dmm\_IviInit** comanda în limbaj SCPI este executată în subrutina:

```
static ViStatus dmm_DefaultInstrSetup (ViSession vi) {  
    ViStatus error = VI_SUCCESS;  
  
    /* Invalidate all attributes */  
    checkErr( Ivi_InvalidateAllAttributes (vi));  
  
    if (!Ivi_Simulating(vi)){  
        ViSession io = Ivi_IOSession(vi); /* call only when locked */  
        checkErr( Ivi_SetNeedToCheckStatus (vi, VI_TRUE));  
        viCheckErr( viPrintf (io, "**CLS;*ESE 1;*SRE 32"),  
                  viCheckErr( viPrintf (io, ":HEADERS OFF"));  
    }  
    Error:  
    return error;  
}
```



Un element important la aceste funcții este prefixul. In cazul de mai sus am folosit prefixul „dmm” dar mai potrivit ar fi fost „hp34401” pentru că acesta este instrumentul folosit în realitate. După cum se remarcă indiferent de instrumentul din clasa dmm folosit doar prefixul diferă funcțiile fiind aceleași. Acest lucru permite invocarea funcțiilor respective din aplicația de nivel superior doar prin cunoașterea prefixului. Acesta este de fapt mecanismul interschimbabilității instrumentelor.

Reluând structura unui echipament de testare automată până la nivelul aplicației de nivel superior se definește o arhitectură care asigură interschimbabilitatea și posibilitatea de

extindere a sistemului:

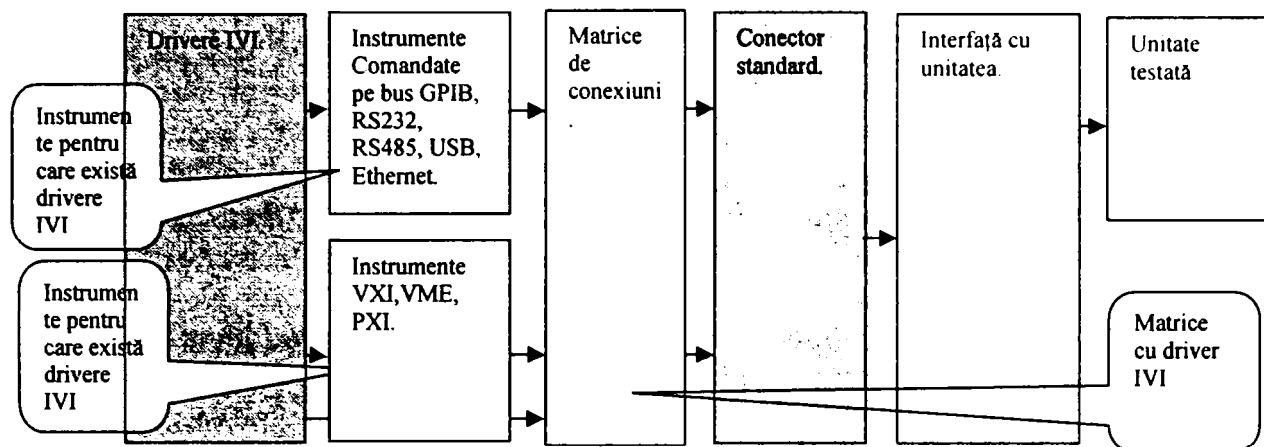


Fig. 5.15 Diagrama unui testor până la nivelul driverelor cu elemente standardizate

După cum se remarcă singurele elemente care nu sunt standardizate sunt interfața și unitatea testată. Teoretic până la acest nivel transferul perechii interfață-unitate la un alt testor care respectă structura de mai sus nu afectează rezultatul testului.

### 5.5 Mediul de testare<sup>[157][156][154]</sup>

Se analizează în continuare mediul de testare din punctul de vedere al legăturii dintre programul de testare și drivere, al modelului de proces pentru execuția instrucțiilor și secvențelor și al funcționării test executivelor. Analiza se axează în special pe programe sursă ATLAS legate de instrumente care au un driver IVI.

Mediul de testare este cel care implementează modul de execuție a instrucțiilor. Dacă privim diagramele 5.6-5.9 remarcăm multitudinea de operații care stau în spatele unor instrucții ATLAS. Aceste diagrame subliniază faptul că ATLAS este un limbaj de nivel înalt. În general toate mediile de testare translatează programele ATLAS într-un program bazat pe un limbaj intermediar de nivel scăzut cu instrucții simple. Aplicația care are ca entitate de intrare programul de testare și care execută acest program se numește test executiv. Acest element din lanțul testării automate nu a fost standardizat deși există standarde și reglementări referitoare la procesul de testare automată. Fiecare companie care produce aplicații software dorește să-și protejeze propriile produse și „know-how”-ul pe care îl posedă.

Un mediu deosebit de complex este mediul „TestStand” produs de compania National Instruments. *Autorul a participat la proiectarea unui prototip de mediu de testare pentru avionică bazat pe drivere IVI și modele de proces dezvoltat pe structură TestStand.* Autorul prezintă în continuare un exemplu de implementare a unei instrucții ATLAS bazat pe subinstrucții elementare (pas)(numite conform variantei în limba engleză „step”) cu referințe la mediul „TestStand” dar cu pretenția de generalitate a structurii .

Mediul TestStand a introdus câteva noțiuni interesante pentru managementul unui program de testare. Astfel a apărut noțiune de model de proces. Modelul de proces poate exista la nivel de program de testare, de bloc de testare, de secvență și chiar la nivel de instrucție sau pas. Modelul de proces specifică o succesiune de operații care se fac înainte și după execuția propriu-zisă a blocului, secvenței, instrucției sau pasului. Modelul de proces poate fi editat și modificat de către utilizator. Modelul de proces este o pseudo secvență care ordonează acțiunile test executivului la diverse nivele. În această secvență sunt chemate toate rutinele care trebuie executate înainte și după bloc, secvență, instrucție. Nu vom analiza implementarea din TestStand, dar menționăm posibilitatea implementării fluxului programului de testare la acest nivel. Ceea ce ne interesează în legătura dintre ATLAS și limbajul de nivel intermediar, este modul de implementare a instrucțiilor ATLAS. Analizăm o instrucție simplă cum ar fi instrucția SETUP. În ATLAS un exemplu de instrucție este următorul:

```
100000 SETUP, DC SIGNAL USING 'DC-VOLTMETER', VOLTAGE RANGE 0V TO 30V $
```

Evident instrucția de mai sus va trebui translatată într-un limbaj mai precis. Astfel de aici aflăm ca se acționează asupra unui DMM și că este o măsurătoare în curent continuu iar domeniul este de la 0 la 30 V, deci se măsoară o tensiune. Să considerăm instrucția de mai sus la nivel IVI și să o convertim în atribute și funcții din clasa DMM într-o ordine conformă cu diagrama 5.6. Acest lucru semnifică inițializarea instrumentului și setarea acestuia:

1. `IviDmm_Initiate (DCVolt);`

2. `IviDmm_ConfigureMeasurement`

```
(DCVolt, IVIDMM_VAL_DC_VOLTS, IVIDMM_VAL_AUTO_RANGE_ON, 1);
```

Aceste două funcții vor fi executate la instrucția SETUP. Dacă SETUP va fi definit ca un pas atunci cele două funcții vor fi un modul extern chemat de pasul SETUP. Pasul va mai avea o serie de proprietăți asociate:

- existența unei precondiții care va fi testată de test executiv;
- existența unei postcondiții care va fi testată de test executiv;
- existența modului simulare care forțează execuția cu succes a pasului;
- forțarea în mod eroare a execuției pasului;
- evitarea execuției pasului;

În concluzie pasul ATLAS va arăta astfel:

```
SETUP ( DCVolt, DC_VOLTS, AUTO, mV) $
```

Luăm în continuare spre analiză o instrucție cu acțiune multiplă:

```
100000 VERIFY, (VOLTAGE), DC SIGNAL USING 'DC-VOLTMETER',
    UL 28.5 V LL 27.5 V,
    VOLTAGE RANGE 0V TO 30V,
    CNX HI J1-16
    LO EARTH $
```

Conform standardului ARINC 626, instrucția VERIFY se descompune în următoarele verbe simple:

SETUP  
CONNECT  
ARM  
ENABLE, EVENT  
FETCH  
COMPARE  
DISABLE, EVENT  
DISCONNECT  
RESET

Dacă am definit verbele simple ATLAS ca fiind pași, atunci verbele multiple cum este și VERIFY vor fi secvențe. Dintre acțiunile simple de mai sus o problemă aparte o reprezintă CONNECT și DISCONNECT. Aceste verbe operează asupra matricii de conexiuni. Informația din instrucția ATLAS se referă doar la portul de destinație la care se conectează instrumentul considerându-se implicit cunoscut portul instrumentului. De fapt acest lucru semnifică faptul că procesul de alocare a fost realizat. Procesul de alocare asociază instrumentelor virtuale, instrumente reale cu porturile de conectare la matrice și definește lanțurile de conexiuni necesare până la portul de destinație. Date fiind cele două acțiuni există o alocare a instrumentelor stației pentru resursele virtuale și o alocare a căilor de conexiuni. **Alocarea** căilor de conexiuni se poate face **static** sau **dinamic**. **Alocarea statică** (se face în faza de compilare a programului de testare) implică un program de testare mai lung și mai greu fără posibilitatea utilizării conexiunilor variabile. Driver-ul pentru controlul căilor de conexiuni este mai complex în cazul alocării dinamice când o imagine oglindă a tuturor conexiunilor trebuie memorată. Utilizarea unui driver IVI conform clasei de conexiuni nu asigură toate aceste optimizări ale căilor precum și memorarea stărilor matricii, fapt care implică utilizarea unui modul intermediar. Acest modul va fi însă specific matricii utilizate. Configurarea modulului va fi însă relativ simplă deoarece conectorul este standardizat și practic impune numărul și tipurile de conexiuni avute la dispoziție. În cazul mediului TestStand pentru exemplul de mai sus, prima alocare a instrumentelor se va face manual, iar driverul de conexiuni va fi o problemă dacă alocarea se face dinamic deoarece acesta va trebui să fie permanent activ (un motor sau un serviciu la care test executivul să se conecteze în mod dinamic (ex. prin controale activeX)). Pornind de la aceste concluzii autorul a proiectat o arhitectură a mediului software care aduce independența programului de testare față de hardware. Această arhitectură încearcă să definească componentele unui astfel de sistem și să stabilească care dintre acestea se impune să fie standardizate. O astfel de arhitectură operează cu toate componentele pe care le-am descris în acest capitol :

- program de testare scris în ATLAS;
- clase de instrumente;
- test executiv;
- alocator de resurse;
- limbaj intermediar;
- alocator dinamic de conexiuni;
- interfața grafică cu operatorul;
- gestionarea documentației;

- configurarea stației;
- modele de proces;

Schema bloc a unui astfel de sistem se prezintă în figura 5.16

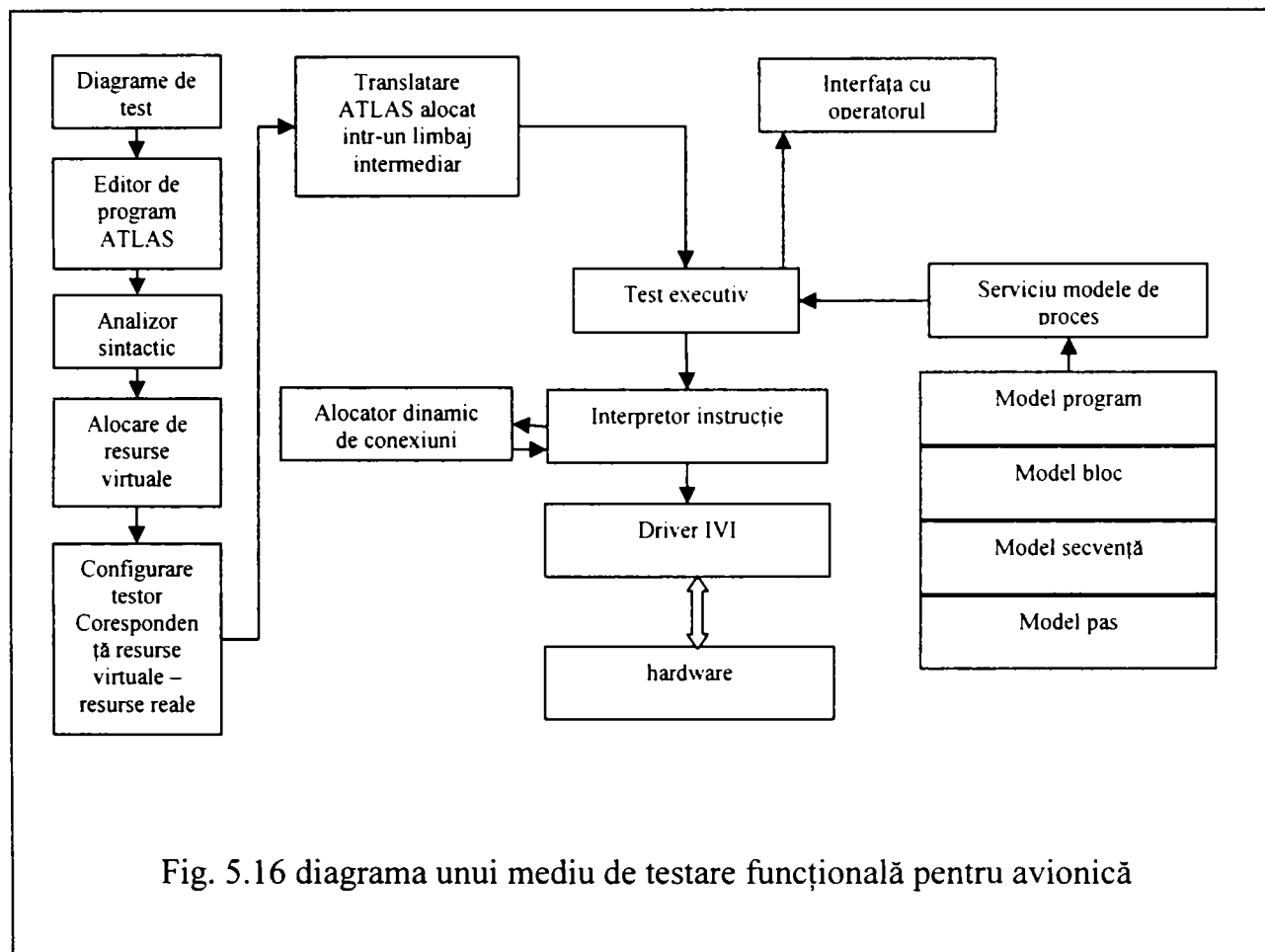


Fig. 5.16 diagrama unui mediu de testare funcțională pentru avionică

Dacă analizăm figura 5.16 remarcăm câteva procese care nu sunt rezolvate complet în acest moment. Informația pentru test executiv trebuie grupată și ordonată pentru ca acesta să execute programul de testare. Astfel semnalelor virtuale definite de ATLAS, este necesar să li se asocieze instrumente IVI și acestora instrumente reale. Blocurile și secvențele vor fi identificate și marcate astfel încât test executivul să permită operatorului să inițieze opțiunile care definesc un test funcțional pentru avionică. Limbajul intermediar evidențiază legătura cu instrumentele dar permite urmărirea programului ATLAS. **Alocatorul dinamic** va funcționa ca un serviciu care va pune tot timpul la dispoziție starea căilor de conexiune ocupate și libere. Serviciul care pune la dispoziție modelele pentru bloc, secvență și pas permite de fapt executarea unor secvențe standard înainte și după elementul de program sau returnarea unor fanioane referitoare la statusul elementului de program. Din această listă de



acțiuni se observă că portabilitatea este asigurată la nivelul unui grup de fișiere care furnizează următoarele informații:

- programul ATLAS verificat sintactic conform subsetului de instrucții folosit;
- lista de instrumente IVI conținută de testor (configurația stației);
- lista de alocare a instrumentelor virtuale la instrumente reale;
- lista alocării porturilor de instrument la conectorul standard. Aceasta nu este obligatorie, dar dacă sunt conexiuni opționale atunci acestea trebuie specificate;
- dacă alocatorul dinamic suportă diverse configurații pentru matricea de conexiuni, această configurare face parte din setul de documente.
- fișierele cu modelele de proces;
- fișierele cu formatul de raport;
- lista de conexiuni între conectorul standard al stației și pinii unității

Din punct de vedere hardware portabilitatea este asigurată de interfața de testare și de conectorul testorului care este standard.

Limbajul intermediar<sup>[204][205]</sup> este foarte important mai ales în faza de punere în funcțiune a testului. Autorul a dezvoltat în decursul timpului o variantă de limbaj bazată pe verbele ATLAS, cu atribute parțial inspirate din definiția claselor de instrumente. Astfel o instrucție ILS (Intermediary Language Set) are în varianta autorului următoarea structură:

**Index, verb ( clasa\_instrument (prefix\_instrument\_alocat-> (atribut1=val1, atribut2= val2, ....., atributn=valn), val->(numel ,...) tol-> (atribut1=val1, atribut2=val2...), cnx-> (atribut1=val1, atribut2=val2,...));**

Să considerăm exemplul ATLAS:

```
100000 VERIFY, (VOLTAGE), DC SIGNAL USING 'DC-VOLTMETER'.
    UL 28.5 V LL 27.5 V,
    VOLTAGE RANGE 0V TO 30V,
    CNX HI J1-16
    LO EARTH $
```

Care devine:

**100000, verify (dmm (dc\_voltmeter->(FUNCTION = DC\_VOLT, RANGE = 30V), val->(voltage), tol-> (UL = 28.5, LL = 27.5), cnx-> (HI = J1-16, LO = EARTH));**

prin similitudine cu structura ATLAS, verify devine:

**100000, setup // care se transformă spre driver în:**

```
IviDmm_Initiate (DCVolt);
IviDmm_ConfigureMeasurement (DCVolt, IVIDMM_VAL_DC_VOLTS, 30);
```

Funcții care sunt  
apelate din driverul  
IVI pentru execuția  
instrucției „setup”

Contribuții la configurarea unor structuri de testare automată cu aplicații în avionică  
 5. Mediul de testare, limbaje de programare, drivere

```

connect // care apelează alocatorul dinamic și găsește căile HI(dmm) – (J1-16)
           // în echivalent la conectorul standard (listă de echivalențe declarată)
arm      // inițializează instrumentul
enable, event // validează declanșarea
fetch    // citește valoarea
compare  // compară valoarea cu limitele
disable, event // invalidează declanșarea
disconect // deconectează instrumentul și alocatorul dinamic își modifică
           // informația memorată
reset    // resetează instrumentul și îl aduce în starea de așteptare
    
```

Fiecare verb simplu are implementată o structură similară cu „setup” la nivel de legătură cu driver-ul IVI.

Autorul a realizat o aplicație transformator din ATLAS subsetul ARINC 626 în limbaj intermediar. Structura de directoare a aplicației este următorul:

A2T

```

ATLAS           // conține fisierul sursă ATLAS
BIN             // conține executabilele
ConfigTemplate // conține fișiere de configurare în special pentru subset
Projects        // conține proiectele nou create (ex. OEU_N)
    OEU_N       // director proiect nou creat
        Cfg     // director configurare
        Out     // director fișiere intermediare și fișier rezultat
        Temp    // director fișiere temporare
    
```

Fișierele de configurare descriu practic limbajul ATLAS, limbajul intermediar și legăturile dintre elementele celor două limbaje . Inerfața aplicației se prezintă în fig. 5.17 :

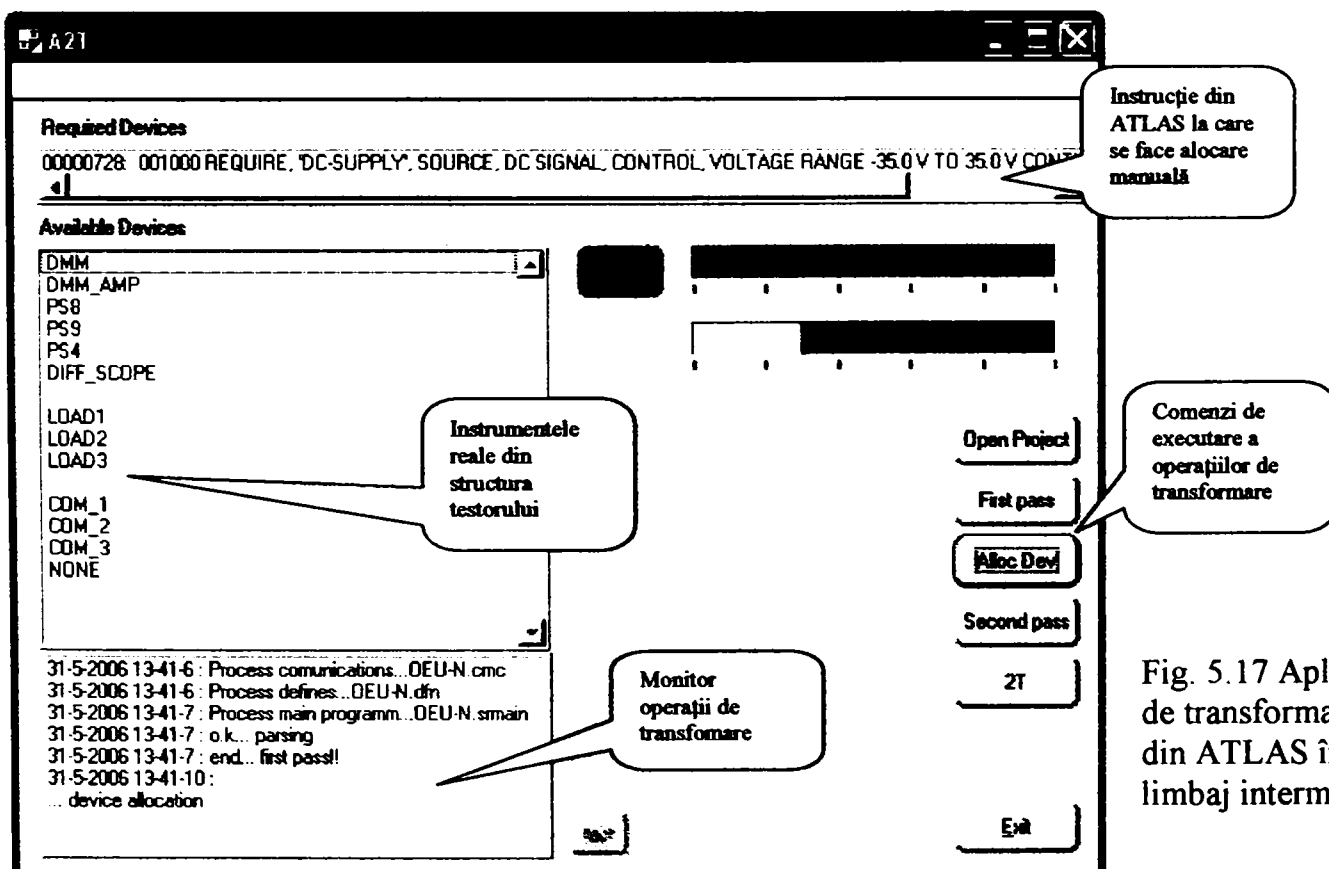


Fig. 5.17 Aplicație de transformare din ATLAS în limbaj intermediar

Fișierele de configurare, fișierul de intrare ATLAS și fișierul rezultat după transformare sunt prezentate în Anexa 4.

Prezentăm în figura 5.18 interfața grafică a unei aplicații (test executiv) la al cărei proiect autorul a participat:

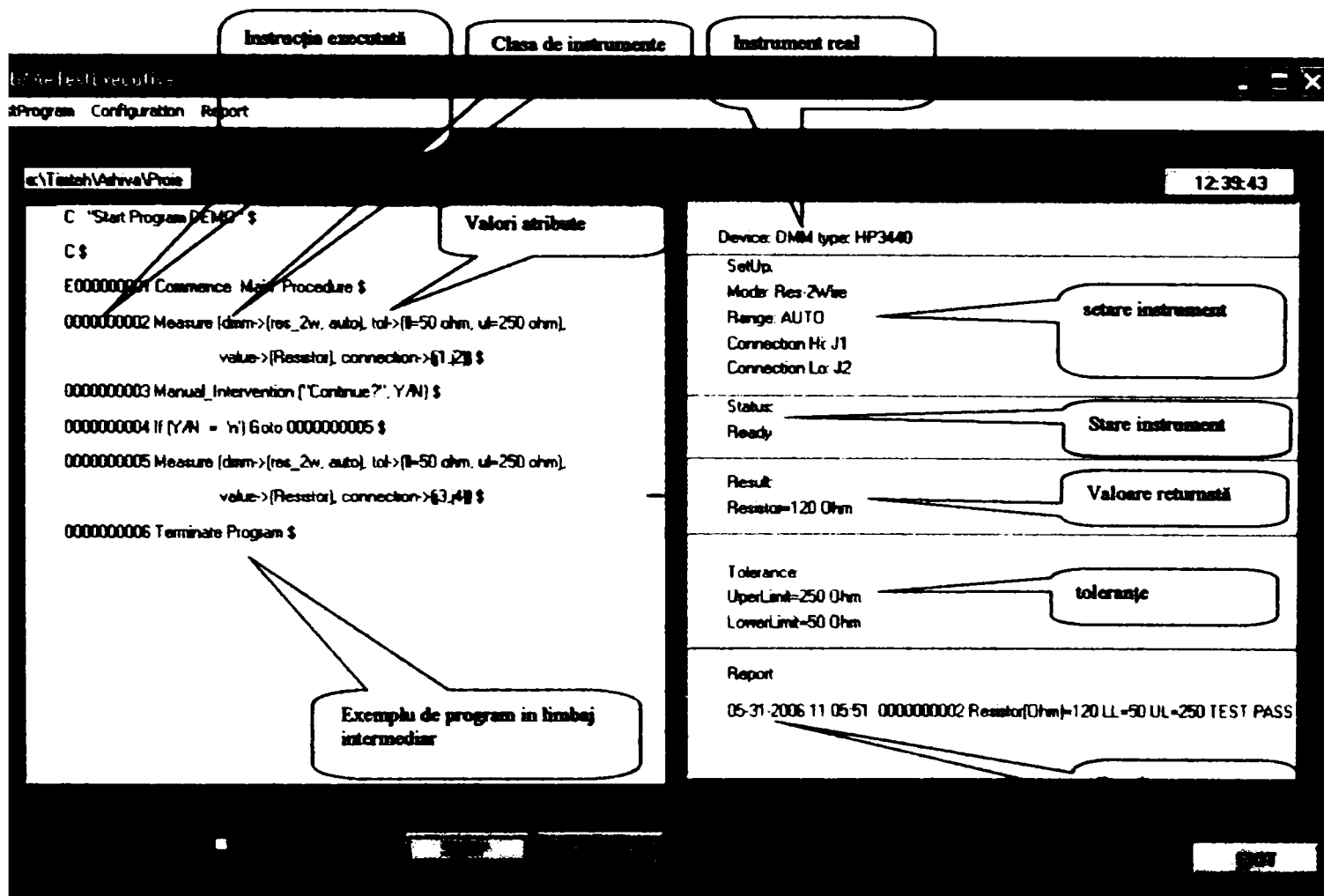


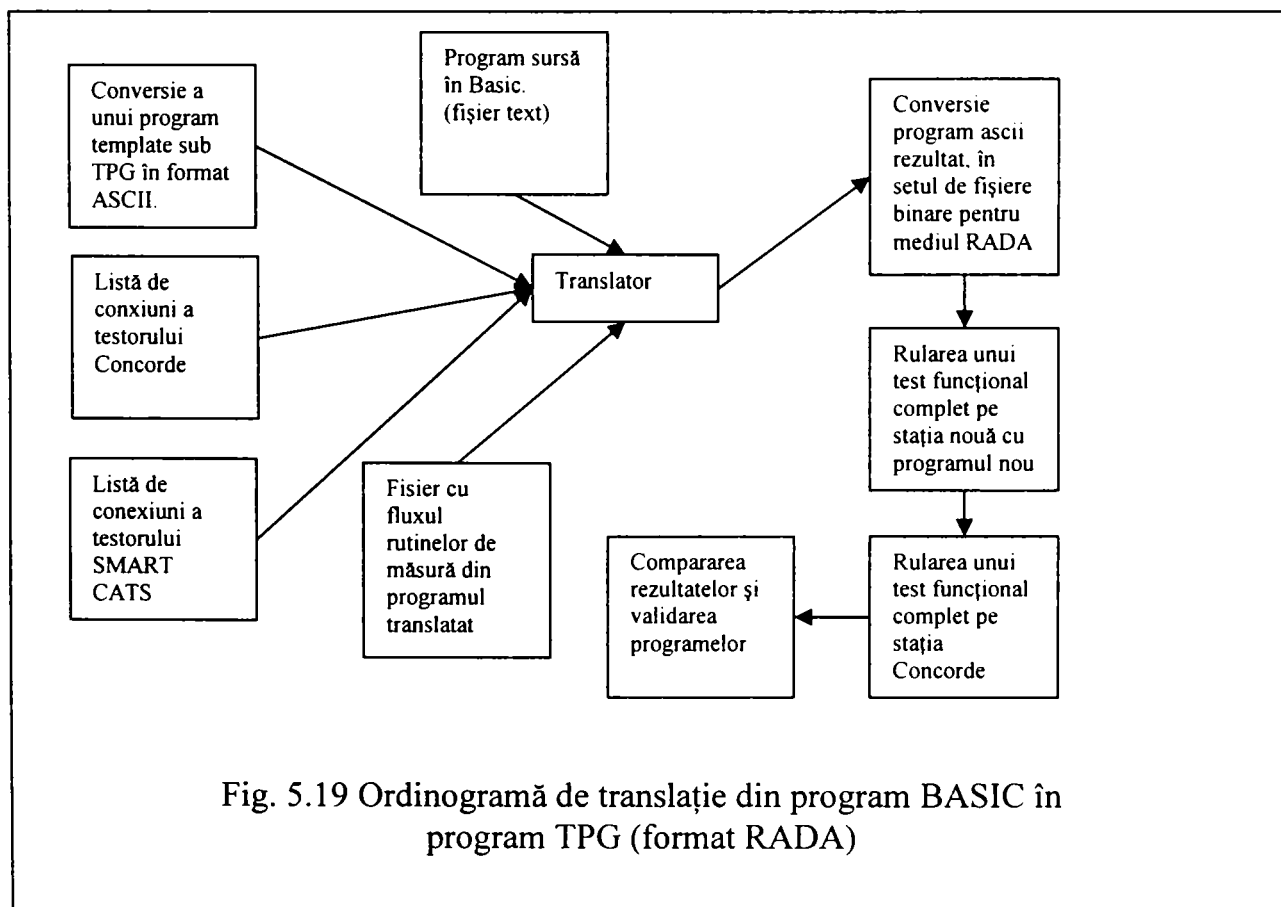
Fig. 5.18 Test executiv cu programul sursă în limbaj intermediar

În secțiunea de status se vizualizează toate verbele intermediare prin care trece instrumentul. Alocările de instrumente pentru acest program se fac manual din configurare și se memorează într-un fișier stație.ini.

Prin aceste aplicații autorul a verificat arhitectura din fig. 5.16 pentru un mediu de dezvoltare pentru programe de testare funcțională. În figura 3.13 din capitolul 3 este prezentată interfața grafică a unui driver IVI pentru DMM. Toate aceste aplicații verifică structura de mediu de testare prezentată de autor ca fiind portabilă de la o generație la alta de echipamente.

### 5.6 Translatoare de programe de testare.<sup>[108][199]</sup>

În prezent există foarte multe programe de testare pentru unități mai vechi, dar care sunt încă în serviciu. Modernizarea echipamentelor de testare impune și transformarea acestor programe în programe compatibile cu noile echipamente. În cele mai multe situații se reprojectează și interfețele de testare. Validarea acestor programe este un proces lung și anevoios. Astfel fiecare test trebuie verificat și validat. Din acest motiv realizarea unor translatoare de programe este foarte utilă și din punct de vedere al dezvoltării noului program și din punct de vedere al validării sale. Translația se face în două planuri: hard și soft. Translația hard presupune identificarea diagramei de test, a resurselor din aceste diagrame și proiectarea unor noi diagrame de testare cu echipamentul nou care să se suprapună funcțional peste diagrama veche. După acest moment se crează liste de echivalență între pinii conectorului testorului vechi și pinii conectorului testorului nou. După crearea unor echivalențe între circuitele funcționale ale celor două teste se trece la echivalarea rutinelor sau secvențelor de măsură. Se identifică subrutinele de măsură din programul mai vechi și se crează echivalentul lor în forma mai nouă. La terminarea acestor operațiuni se validează noile rutine de măsură. Cu toate aceste informații se poate face translația programului vechi în programul nou. *La realizarea unui astfel de translator a participat autorul în cadrul unui proiect de portare a testelor pentru unități ale avionului CONCORDE.* Tema de proiectare a fost translația programelor vechi de testare care rulau pe un testor construit de Bae (British Aerospace) cu mulți ani în urmă pe un testor modern (Smart Cats al companiei RADA Electronic Industries). Translația s-a făcut conform ordinogramei din figura:



Se prezintă în continuare în figura 5.20 un fragment din programul supus translației și un fragment din programul rezultat după translație:

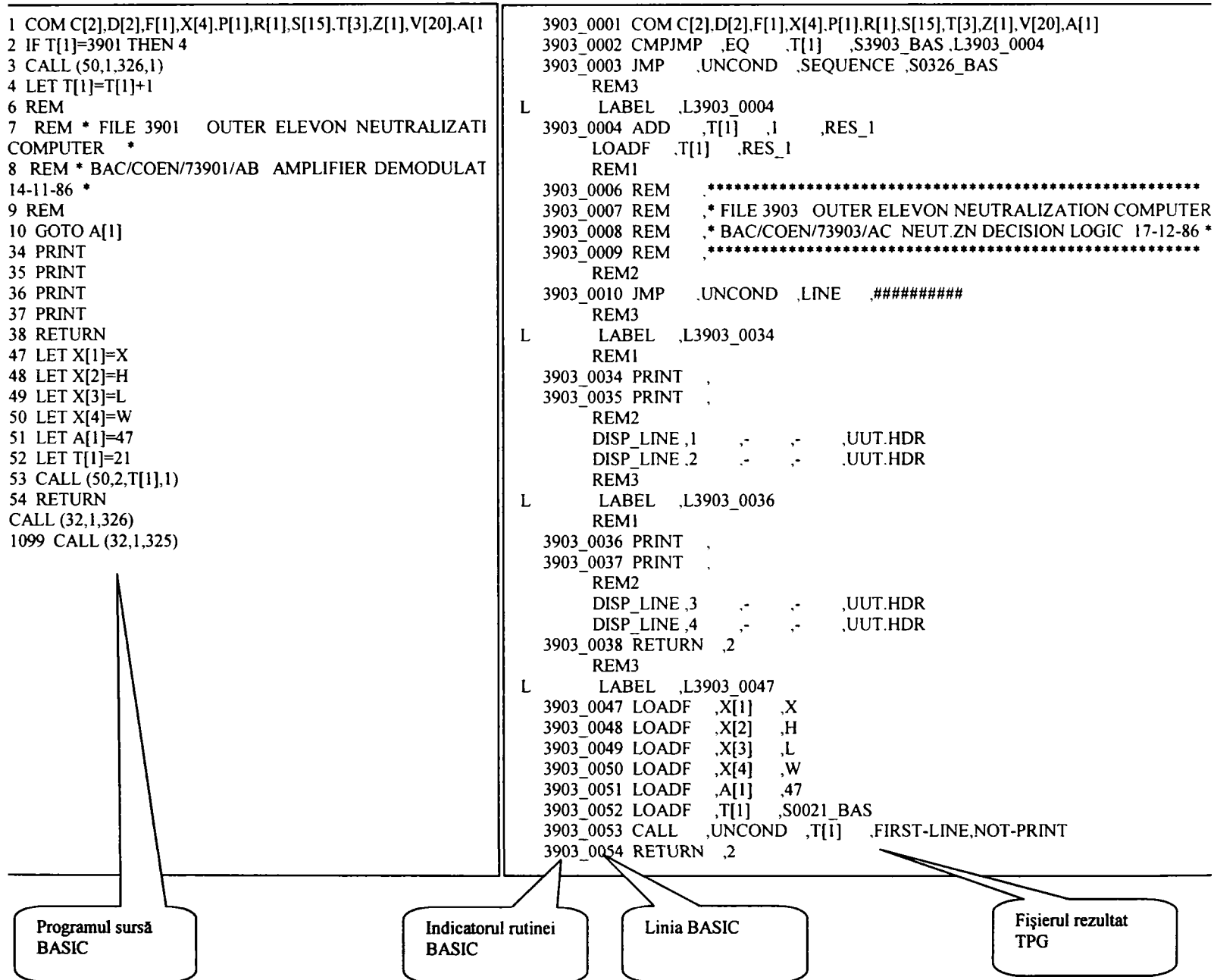


Fig. 5.20 Program BASIC supus translației comparativ cu program TPG rezultat (format RADA)

## 5.7 Concluzii

Acest capitol prezintă în secțiunea 5.1 o imagine de ansamblu asupra structurii mediilor de programare pentru testarea avionicii. Se prezintă entitățile componente și importanța fiecăruia în ansamblul sistemului de testare.

În secțiunea 5.2 se abordează problema limbajelor de programare din punctul de vedere al evoluției lor în timp precum și prin prisma experienței autorului. Se prezintă fracțiuni de program din programul de testare al unității Flight Management Computer , program proiectat, verificat și validat , de către autor. O deosebită și largă abordare se acordă limbajului ATLAS devenit limbaj de programare a testelor și standard de testare. Se prezintă câteva secvențe din programul pentru *unitatea ACP la elaborarea căruia autorul a participat, program ATLAS care a fost validat de producătorul avionului*. Câteva fragmente sunt prezentate și în Anexa 2.

În secțiunea 5.3 se analizează modul de construcție a driverelor de instrumente. Se descrie *funcționarea practică a driverelor proiectate în mediul PAWS, sub UNIXWARE ca sistem de operare, pentru testarea unor unități din seria Boeing 777*.

În secțiunea 5.4 se prezintă structura driverelor IVI a căror dezvoltare a permis reconsiderarea problemei portabilității programelor de testare. Autorul analizează în detaliu structura unui astfel de driver cu *exemplificări din proiectul pentru DMM la care autorul a participat*.

În secțiunea 5.5 se dezvoltă o analiză a diverselor momente din procesul de testare luând în considerare constrângerile și interdependențele care apar datorită numeroaselor componente ale mediului precum și legăturii dintre software și hardware. Mediul de testare care administrează sistemul de testare și asigură mijloacele pentru dezvoltarea programelor este și entitatea cea mai dificil de standardizat datorită complexității sale. Autorul urmărește legătura dintre programul ATLAS și instrument pe baza unor exemple care permit *propunerea unei arhitecturi a sistemului de către autor. De asemenea autorul propune o structură de limbaj intermediar care este verificată pas cu pas prin câteva programe de transformare și execuție proiectate de autor*.

În secțiunea 5.6 se abordează o problemă importantă a momentului de tranziție de la teste mai vechi la noile arhitecturi. *Autorul a participat la translația și validarea a peste 20 de programe de testare pentru avionul Concorde la varianta pentru testorul SMART CATS*. Translatorul la al cărui proiect autorul a participat, a permis translatarea semiautomată a programelor de testare. În secțiune se prezintă comparativ fișierul translatat de program și fișierul rezultat pentru comparare precum și o ordinogramă a momentelor unei astfel de translații.

O concluzie generală a acestui capitol este caracterul aplicat al prezentării subiectelor precum și aplicarea unor idei noi de structurare a sistemului. Dintre acestea *se menționează proiectul de limbaj intermediar care permite o mai bună și mai simplă legare de driver și conservarea caracterului descriptiv al limbajului de nivel înalt ATLAS*.

## Cap. VI Concluzii

Concluzia sintetică a acestei teze este că setul de fisiere și programe (TPS), driverele de tip IVI și conectorul standard pentru interfața de testare sunt elementele care asigură portabilitatea programelor de testare în domeniul avionicii.

Dacă cele trei entități sunt obligatorii pentru portabilitate și celelate module trebuie să îndeplinescă diverse criterii și reguli. Autorul prezintă în cele patru capitole tehnologiile care iau parte la ansamblul unui sistem de testare automată pentru avionică cu observațiile și experiențele personale obținute de-a lungul unui șir de participări la proiecte din acest domeniu.

**În capitolul I** autorul prezintă domeniul tehnologic al echipamentelor de aviație cu obiectivele și problemele acestei industrii. Astfel se remarcă diversitatea dispozitivelor cuprinse sub denumirea generică de avionică și complexitatea sistemelor de testare. Se subliniază de asemenea importanța testării funcționale pentru acceptarea în serviciu a unei unități de aviație.

**În capitolul II** autorul prezintă domeniul testării funcționale din perspectiva portabilității, subliniind elementele portabile necesare în tranziția de la o platformă la alta. Autorul evidențiază zonele de discontinuitate între descriere și implementarea fizică cu limitările și standardizările necesare, cu operațiunile ajutoare necesare și cu descrierile suplimentare adăugate la TPS. *Capitolul II a fost introdus de către autor pentru a sublinia scopul acestei teze de a găsi printr-o analiză de detaliu a fiecărei componente din proces, a unei structuri și ordini de execuție a diverselor faze care să asigure portabilitatea testelor funcționale în cadrul standardelor valide astăzi.*

**În capitolul III** autorul abordează echipamentele de testare automată din punct de vedere a structurii acestora, a instrumentelor și dispozitivelor folosite. Se prezintă tipuri de teste care au fost utilizate sau proiectate de autor precum și tipuri de magistrale sau de instrumente utilizate. Se prezintă de asemenea noțiunea de clasă de instrument cu exemple aplicate trecându-se în revistă câteva instrumente cunoscute și capacitățile clasei din care acestea fac parte. Se prezintă aspecte specifice testării aparaturii de aviație cum ar fi conectorul standardizat (și în general structura testorului) pentru testarea automată în aviație precum și dispozitive de comunicație folosite în această industrie.

**În capitolul IV** se explică procesul de testare funcțională cu exemple de documentare a testelor precum și diagrama unui test funcțional. Autorul exemplifică fiecare aspect al prezentării cu aplicații realizate. Tot în acest capitol se face o trecere în revistă a diverselor verificări utilizate la testarea avionicii. În final autorul prezintă sintetic tipurile de instrumente și gradul acestora de standardizare.

**În capitolul V** se analizează problema structurii mediilor de testare pentru sisteme automate și în special pentru avionică precum și limbajele folosite, driverele și alte componente software. În acest capitol se subliniază importanța standardului ARINC 626 (IEEE C/ATLAS) care definește un limbaj și un proces de testare. Autorul prezintă lanțul de procesări care au loc cu exemplificări sau aplicații proprii și soluții în plan teoretic. Dezvoltarea driverelor IVI este prezentată în detaliu cu exemple practice. Se subliniază în mod deosebit necesitatea unui limbaj intermediar și se prezintă o variantă proprie de limbaj, de translator de la ATLAS la varianta intermediară și o aplicație de tip testexecutiv pentru acesta. Translatoarele sunt o aplicație utilă în perioada de tranziție de la

vechile programe de testare la noua generație pe care autorul o prezintă din punctul de vedere al experienței proprii.

Cele cinci capitole prezintă în detaliu și în ordine firească tehnologiile care participă la acest complex proces de testare precum și orientările acestei industrii. Dintr-o astfel de analiză se extrag concluzii și pentru industria producătoare de avionică care poate proiecta orientat spre testare luând în considerare tehnologiile, standardele, protocoalele utilizate de echipamentele de testare.

În diagrama 2.1 autorul înlanțuie sintetic toate componentele sistemului pornind de la proiectarea și verificarea TPS-ului, cu execuția și alocarea resurselor de către ATE, cu comanda instrumentelor prin driverele IVI, cu legarea instrumentelor și matricii de conexiuni de interfața de testare legată la rândul ei de unitatea testată.

În concluzie autorul a prezentat în această teză o imagine de ansamblu a tehnologiei de testare automată a aparatelor de aviație cu detalii și exemple pentru elementele decisive pentru portabilitatea programelor precum și experiențe și proiecte proprii care au încercat să soluționeze anumite verigi tehnice din sistem.



## Cap. VII Contribuții

Teza de doctorat „**Contribuții la configurarea unor structuri de testare automată cu aplicații în avionică**” sintetizează și reflectă activitatea autorului în perioada perfecționării profesionale prin activitatea de doctorand dar și preocupările profesionale cotidiene ale acestuia. Autorul a studiat numeroase documentații ale unor aparate folosite pe aeronave, standarde și documente de lucru ale diverselor comitete și consorții profesionale care activează în domeniu, publicații în reviste și jurnale ale asociațiilor profesionale din domeniul instrumentației și măsurătorilor sau aeronauticii, cărți de referință ale unor personalități din domeniu.

Activitatea autorului s-a axat pe încercarea de a proiecta o structură de sistem care să permită portabilitatea programelor de testare precum și pe cercetarea și verificarea prin soluții proprii a unor module din arhitectura sistemului.

Se analizează în continuare pe capitole contribuțiile autorului la aprofundarea și dezvoltarea unor module din complexul sistem al echipamentelor de testare automată pentru avionică.

### 1. Contribuții la cap.I „Stadiul actual la testarea automată pentru avionică”

Acest capitol introductiv prezintă domeniul de aplicație al echipamentelor de testare automată și structura hardware și software a acestora. Pe baza studiului bibliografic și a experienței în testarea avionicii autorul a constatat:

- Noțiunea de avionică conține o mare diversitate de dispozitive electronice proiectate pentru o perioadă îndelungată de timp;
- Dispozitivele electronice care se utilizează pe o aeronavă pot fi clasificate ca provenind din perioada analogă, din epoca digitală sau din perioada dispozitivelor modular-digitale;
- Dispozitivele pot fi clasificate după funcția pe care o îndeplinesc în sistemul aeronavei, dispozitivele de comunicație fiind cele mai numeroase;
- Echipamentele de testare pot fi specifice pentru un dispozitiv sau grup de dispozitive electronice sau pot fi echipamente de uz general care permit testarea unui mare număr de unități de avionică;
- Testarea funcțională este procedeul prin care se decide dacă o unitate de avionică poate fi folosită în sistemul aeronavei pentru serviciu sau nu;
- Programul de testare se proiectează pe baza datelor din documentele de testare ale producătorului prezentate sub formă de manual de întreținere, document cu specificațiile de testare (Test Requirement Document) sau ATLAS.
- Echipamentul de testare cuprinde computerul, instrumentele pentru măsură și stimulare, matricea de conexiuni, conectorul testorului și interfața de testare;
- Programele de testare pot fi scrise sub mai multe forme și limbaje. Există programe în limbaje de nivel scăzut a căror portabilitate este complicată și programe în limbaje de nivel înalt cum este ATLAS, limbaj cu o mare

independență față de mediul de dezvoltare și drivere. Autorul exemplifică programarea în diverse limbaje;

- Există diverse sisteme care execută programele. Autorul amintește câteva tipuri de mediu de lucru pentru testarea avionicii. Exemplele cuprind mediul dezvoltat la BA (British Airways) pentru avionul Concorde, mediul folosit de RADA Electronic Ind., mediul folosit de TYX Corp., mediul TestStand de la national Instruments, mediul ATEasy de la Marvin Test Systems și mediul dezvoltat de ARINC, inc. Autorul a dezvoltat proiecte pe toate aceste medii.
- Standardizarea în domeniul testării de avionică este deosebit de densă. Se amintesc câteva standarde ARINC (compania liniilor aeriene care administrează standardizarea în domeniu) sau IEEE care reglementează procesul de testare. Autorul a participat la reviziile interne pentru ARINC 625, standard care definește procesul de proiectare a testelor din punct de vedere al calității.
- Introducerea driverelor tip IVI a făcut posibilă portarea programelor de testare. Autorul trece în revistă instrumentele pentru care au fost definite capacități de clasă de către consorțiul IVI.

## **2. Contribuții la cap. II „Testarea funcțională pentru avionică. Portabilitatea programelor de testare.”**

Capitolul definește conceptul de testare funcțională și domeniile concurente semnificative participante la acest proces. Autorul prezintă procesul de testare funcțională în domeniul avionicii din perspectiva portabilității testelor cu următoarele constatări și remarci personale:

- Domeniul testării funcționale în avionică poate fi împărțit în șase sectoare de interes care cuprind atât zona de software cât și zone legate de arhitectura hardware a sistemului.
- Descrierea testelor funcționale a suferit un proces continuu de standardizare.
- Descrierea testelor a evoluat formal până la limita de tranziție dintr-un document descriptiv într-un program de testare.
- Din mulțimea aplicațiilor care participă la execuția unui program de testare, cele care fac legătura dintre programul de testare și instrumente condiționează portabilitatea.
- Conceptul de instrumentație virtuală interschimbabilă a accelerat drumul către portabilitate.
- Interfața de testare nu trebuie să afecteze portabilitatea.
- Alocarea dinamică a căilor de conexiune este un proces specific fiecărui testor, dar un descriptor al matricii de conexiuni face parte din setul portabil de documente.
- Necesitatea alocării resurselor virtuale din descriere la resursele virtuale ale testorului și necesitatea tranziției de la programul descriptiv de nivel înalt la un program intermediar în faza de execuție.

- Prezentarea drumului parcurs de la descrierea testelor până la execuția acestora cu tranziția de la un sector la altul, de la software la hardware, cu sublinierea elementelor obligatorii pentru portabilitate.

### 3. Contribuții la cap. III „Echipe de testare automată pentru avionică”

Capitolul III prezintă arhitecturi de stații de testare, instrumentele uzuale folosite pentru testare în avionică și scheme de utilizare a acestora. Din experiența utilizării a numeroase stații de testare precum și a proiectării de teste, din aprofundarea standardului ARINC 608 (IEEE P1505) autorul a constatat sau a contribuit cu următoarele observații, experiențe proprii și cercetări la definirea unei arhitecturi de stație de testare:

- Structura sistemelor de testare este supusă unui proces de standardizare intens la diferite nivele cu scopul portabilității programelor de testare și pentru crearea unor structuri deschise care permit extinderea sistemului cu conservarea programelor dezvoltate anterior;
- Autorul prezintă stația SMART CATS și o schemă bloc de testor pentru avionică folosită pentru testarea dispozitivelor de tip modular utilizate pe noile aeronave din clasa B777.
- Schema bloc a testorului subliniază categoriile de echipament care alcătuiesc un astfel de sistem.
- Autorul prezintă o altă variantă de testor realizată de autor pe structura unui PC industrial dar care conservă structura unui testor de uz general. Testorul a fost proiectat pentru testarea unui recorder video care echipează elicoptere (la a cărui proiectare autorul a participat de asemenea), dar după cum se observă din schemă a fost echipat cu module de comunicație, cu matrice de conexiuni astfel încât el poate fi utilizat și pentru testarea altor unități.
- Magistrala de comunicație pentru instrumentație definită de standardul IEEE 488 în conexiune cu standardul VXI, este folosită pe scară largă în construcția testoarelor. Cele două standarde au permis dezvoltarea unui limbaj pentru comanda instrumentelor, SCPI, care este folosit fie pentru instrumente de sine stătătoare fie pentru instrumente modulare comandate prin drivere instalate pe controlorul de sertar. Această arhitectură a permis dezvoltarea instrumentației virtuale interschimbabile.
- Instrumentele cele mai utilizate sunt analizate din punct de vedere al schemei funcționale și al existenței capabilităților clasei instrumentului respectiv definite conform specificației IVI.
- Autorul a realizat un instrument generic cu o interfață grafică care permite accesul la capabilitățile clasei DMM. Instrumentul propriu-zis poate fi oricare instrument ale cărui drivere permit conectarea la un driver de nivel mai înalt care realizează interfața IVI.
- Se prezintă instrumentele și din punct de vedere al modelului de funcționare care trebuie corelat cu modelele implementate pentru verbe multiple la nivel de limbaj ATLAS.

- Analiza modului de raportare a stării pentru osciloscop permite observarea modului de conexiune între driverul IVI și toate instrumentele care au implementat limbajul SCPI la nivel de control al stării instrumentului. Acest proces este legat la nivel mai înalt cu structura verbelor cu acțiune multiplă ATLAS;
- Aprofundarea standardului ARINC 608 care este decisiv pentru realizarea portabilității programelor de testare și în a cărui structură se remarcă conectorul standard pentru avionică împreună cu matricea de conexiuni.
- Se prezintă o schemă de matrice de conexiuni utilizată de autor, în care se remarcă limitările tehnologice asupra modelului teoretic, care se vor reflecta în toate documentele și programele referitoare la conexiuni.
- Autorul remarcă standardizarea elementelor de conexiune cu reprezentarea detaliată a căilor de conexiune care permit construirea unei matrici complexe. Se constată amânarea standardizării problemei alocării căilor de conexiune și conservarea ei la nivel de mediu de testare ca opțiune specifică producătorului.
- Prezentarea în detaliu a sistemului de comunicație de pe o aeronavă modernă și analiza modului de simulare și testare pentru comunicația de tip ARINC 629.
- Realizarea unui driver pentru modulul de comunicație A629 de nivel înalt precum și testarea unor unități cu acest tip de driver.
- Analiza comunicației de tip A429 care este consacrată în avionică . Autorul a participat la realizarea unui driver pentru A429 pentru placa VXI Tektronix VX4469 dar și pentru modulul produs de firma TASCO.
- Se aprofundează standardizarea IVI pentru sursele de alimentare și se constată că este realizată doar pentru sursele DC.
- Modul de proiectare a interfeței de testare permite interconectarea unității la testorul de uz general și se subliniază necesitatea verificării interfeței printr-un program de testare propriu. La realizarea unei structuri standard de program de testare a interfeței precum și la proiectarea unor circuite care au devenit permanente a participat și autorul în baza experienței acumulate.
- Autorul prezintă câteva scheme de conectare a instrumentelor uzuale la matricea de conexiuni, scheme de protecție a surselor, modul de identificare a interfeței de testare sau legarea unui osciloscop cu patru canale pentru o utilizare optimă a canalelor analoge din matricea de conexiuni;

#### **4. Contribuții la cap. IV „Structura programelor de testare funcțională. Exemple specifice pentru avionică”**

Autorul a analizat la elaborarea numeroaselor programe de testare la care a participat, procesul de testare funcțională, structura programelor , tipologia măsurătorilor. Contribuțiile și constatările referitoare la acest capitol sunt:

- Din experiența proprie și din studierea unor programe elaborate de companii sau producători, autorul aprofundează în limitele domeniului testare de avionică conceptul de testare funcțională.
- Proiectarea programelor de testare funcțională este un proces laborios pe care autorul îl prezintă în ordinea sa firească. Autorul prezintă o ordinogramă de testare funcțională verificată pe programele mai multor unități, dar cu aplicație pe unitatea Air Data Computer. Diagrama fixează pașii necesari în procesul de testare funcțională.
- Autorul detaliază prezentarea cu schema de testare a blocului 2 din testarea unității AirData Computer. În Anexa 1 se prezintă un pachet de documentație complet pentru blocul 2 care cuprinde documentul descriptiv (în format ATLAS, care aici este folosit ca limbaj de descriere), schemele aferente din interfața de testare, programul de testare și rezultatele acestei testări într-un fișier de raport;
- Autorul analizează în acest capitol câteva scheme de conectare consacrate ale instrumentelor de măsură. Astfel se prezintă ordinea de efectuare a măsurătorilor (cu schemele aferente) cum ar fi: verificarea la „rece” a unității, conectarea DMM-ului, schema de principiu pentru conectarea canalelor de A429, schema de testare a comunicației A629, testarea J-TAG, simulatoarele de LVDT și Synchro/Resolver. Autorul prezintă o schemă bloc pentru testarea în domeniul RF adăugată ca extensie la testarea obișnuită.
- Se constată la avionica de tip modular utilizarea unor programe speciale de testare care se încarcă în unități în momentul testului. Autorul prezintă experiența proprie în acest gen de testare care integrează aplicații specifice de încărcare cu un mediu de testare de uz general.
- Se trec în revistă tipurile de instrumente utilizate frecvent cu gradul de integrare pe care îl are fiecare într-un sistem care permite portabilitatea programelor de testare.
- Proiectarea programelor de testare pentru avionică este obiectul unor eforturi susținute de standardizare printre care și elaborarea standardului ARINC 625 care stabilește criteriile de calitate pentru acest proces. Autorul a făcut observații asupra acestui standard în perioada de elaborare a acestuia bazate pe experiența proprie.

## **5. Contribuții la cap. V „Mediul de testare, limbaje de programare, drivere”**

Acest capitol cuprinde elementele cele mai importante, decisive pentru realizarea unor structuri de testare portabile. Prin prisma numeroaselor programe de testare elaborate, a diverselor încercări de realizare de componente software care să permită atingerea acestui deziderat al portabilității, a bibliografiei și cercetărilor din domeniu autorul a constatat elemente de interes sau a contribuit cu observații sau proiecte personale:

- Se prezintă o schemă bloc a entităților software care compun sistemul de testare funcțională și activitățile asociate în ordinea cronologică a utilizării lor. Se subliniază componentele esențiale ale sistemului.
- Se analizează comparativ limbajele de programare de nivel scăzut, cu o exemplificare a limbajului folosit de aplicația TPG a companiei RADA și limbajul ATLAS.
- Se observă faptul că limbajul ATLAS a devenit dintr-un limbaj folosit pentru descrierea testelor un limbaj de programare și un standard pentru testarea funcțională orientat spre semnale.
- Prezentarea limbajului se face cu exemple din activitatea de programare de teste a autorului pentru diverse unități de aviație.
- Se prezintă asociat cu exemplele diagramele de funcționare a verbelor simple și multiple cu declanșare sau fără declanșare.
- Elaborarea programelor ATLAS cuprinde două situații. Prima și cea mai frecventă este aceea când proiectanții de teste folosesc un Program ATLAS sursă furnizat de proiectantul unității care trebuie integrat cu sistemul de testare, alocate instrumentele și căile de conectare și revalidat programul. A doua situație mult mai dificilă este aceea a elaborării programului sursă ATLAS în baza unor alte documente ale producătorului cu integrarea acestuia cu sistemul și validarea programului. Autorul prezintă în anexă fragmente dintr-un astfel de program la a cărui proiectare a participat.
- Se evidențiază importanța driverelor de instrumente pentru portabilitatea programelor de testare. Analiza cuprinde drivere legate de programe scrise în limbajul ATLAS pentru mai multe tipuri de programe de execuție. Pentru Mediul Paws se prezintă fragmente din driverele de nivel înalt la a căror elaborare autorul a participat.
- Driverele de tip IVI au reprezentat momentul de cotitură în evoluția sistemelor de testare automată introducând conceptul de clase de instrumente și de instrumente interschimbabile. Se evidențiază structura unui driver pe exemplul driver-ului pentru DMM la a cărui proiectare autorul a participat.
- Se evidențiază structura unui testor până la nivelul driverelor remarcându-se faptul că singurul element specific este perechea unitate de testare – interfață cu testorul.
- Execuția instrucțiilor ATLAS este realizată prin intermediul programelor tip testexecutiv și al driverelor IVI. Autorul exemplifică legătura dintre verbele simple și multiple ATLAS cu driverele IVI. Se sublinează de asemenea importanța modelelor de proces pentru execuția programelor de testare funcțională.
- Din această analiză rezultă concluzia existenței mai multor componente software precum și necesitatea utilizării unui limbaj intermediar între ATLAS și drivere. Se prezintă necesitatea existenței unui alocator dinamic pentru conexiuni.
- Autorul propune formatul unui limbaj intermediar care conservă caracterul descriptiv al limbajului ATLAS dar include utilizarea

claselor de instrumente. Se exemplifică pentru DMM formatul și modul de translație de la ATLAS la limbajul intermediar. Se prezintă o aplicație realizată de autor pentru transformare.

- Autorul a testat acest limbaj, utilizând un test executiv pe care l-a proiectat cu acest scop și care reflectă în prezentarea grafică toate stările prin care trece sistemul la execuția unei măsurători.
- Există utilitate importantă pentru conservarea programelor de testare proiectate mai de mult dar încă utile pentru testarea avionicii aflate în serviciu. O astfel de categorie o reprezintă translațiile de programe. Autorul prezintă o astfel de aplicație pentru programele de testare de la unități de pe avionul Concorde la a cărui proiectare a participat și care a fost utilizat la mai mult de 20 de astfel de programe.

## BIBLIOGRAFIE

- [1] IEE TC8, SCCC20: "Atlas 2000 Architecture", 1997.
- [2] Arinc Aeronautical Radio, Inc.: SMART Getting Started, May 1992.
- [3] Arinc Aeronautical Radio, Inc.: Smart Configuration Model Language, May 1992.
- [4] Arinc Aeronautical Radio, Inc.: Smart Key Word Language, May 1992.
- [5] Arinc Aeronautical Radio, Inc.: Smart Test Unit Adapter Description Language, May 1992.
- [6] Arinc Aeronautical Radio, Inc.: Smart Resource Description Keyword Language, May 1992.
- [7] Arinc Aeronautical Radio, Inc.: Atlas 626-3 specification.
- [8] Smart Cats manul, Rada Electronic Industries Ltd.
- [9] National Instruments: LabWindows/CVI user manual, 1998.
- [10] National Instruments: LabWindows/CVI test executive toolkit reference manual, 1998.
- [11] National Instruments: VXI/VME PC 600 series user manual. 1998
- [12] IEEE Aerospace and Electronic systems - Integrating system engineering software tools. nov. 1998
- [13] IEEE Aerospace and Electronic systems - Www leads an ATE revolution. june 1998.
- [14] IEEE Aerospace and Electronic systems - Applying independent verification and validation to the ATE life cycle vol. 13 nr. 7.
- [15] **Dan Simu**, An overview of automatic test equipment, third international conference on technical informatics CONTI'98 , Buletinul stiintific al Universității „Politehnica” Timișoara, seria Automatică și Calculatoare pag. 104-108, - 1998.
- [16] Miron Abramovici, Melvin a. Breuer, Arthur d. Friedman, Digital systems testing and testable design - 1990.
- [17] Arinc specification 429p3-18 mark 33 digital information transfer system (dits)
- [18] Arinc report 608a, Design guidance for avionics test equipment – 1993.
- [19] Arinc report 625-1, Quality management process for test procedure generation – 1999
- [20] Arinc report 626-3 - Standard atlas language for modular test – 1995
- [21] Arinc report 629, Multi-transmitter data bus – 1999
- [22] IEEE 716 Standard, Test Language for All Systems – Common / Abbreviated Test Language for All Systems (c/atlas) – 1995
- [23] IEEE 488.1 standard, Digital interface for programmable instrumentation – 1988
- [24] IEEE 488.2 standard, Codes, formats, protocols, and common commands for use with IEEE std 488.1-1987, IEEE standard digital interface for programmable instrumentation – 1992
- [25] IEEE 771 IEEE Guide to the use of the atlas specification – 1998
- [26] IVI-3.1: Driver architecture specification - 2006
- [27] IVI-3.4: Api style guide -2005
- [28] IVI-4.1: Iviscope class specification - 2004
- [29] IVI-4.2: Ividmm class specification -2004



- [30] IVI-4.3: Fgen class specification - 2004
- [31] IVI-4.4: Ividcpwr class specification -2004
- [32] IVI-4.6: Iviswtch class specification -2004
- [33] IVI-4.7: Ivipwrmeter class specification -2004
- [34] IVI-4.8: Ivispecan class specification -2004
- [35] IVI-4.10: ivirfsiggen class specification -2004
- [36] CMM ATA 23-31-05 for ambient noise sensor p/n 285w0030 – 1998
- [37] CMM ATA 23-92-01 for arinc signal gateway p/n 285w0020- 1999
- [38] CMM ATA 23-39-14 for touch screen/lcd assembly p/n 285w0129 - 1999
- [39] CMM ATA 23-42-0 cabin attendant handset p/n 285w0024-1 –1998
- [40] CMM ATA 23-39-12 cabin system control panel p/n 285w0011-2 – 1999
- [41] CMM ATA 23-39-11 cabin system management unit p/n285w0034-1 – 1996
- [42] CMM ATA 21-27-04 environmental control system miscellaneous card p/n 285w0019-101 - 1996
- [43] CMM ATA 33-16-08 master dim and test pwa p/n 285w0191-1 1996
- [44] CMM ATA 23-33-11 overhead electronics unit p/n 285w0029-3 – 1995
- [45] CMM ATA 23-93-01 overhead panel bus controller p/n 283w0219-1 – 1998
- [46] CMM ATA 23-39-03 passenger address / cabin interphone p/n 285w0062-2 – 1997
- [47] CMM ATA 31-09-01 linear/monitor card p/n 285w0037-101 – 1997
- [48] CMM ATA 31-09-02 pre-regulator pwa for cardfile power supply p/n 285w0038-101 – 1998
- [49] CMM ATA 23-12-04 radio tuning panel p/n 285w0114-1 -1997
- [50] CMM ATA 23-31-02 speaker drive module p/n 285w0025 – 1997
- [51] CMM ATA 23-34-05 seat electronics unit p/n 285w0035-1 1998
- [52] CMM ATA 31-51-43 warning electronic unit p/n 285w0015-101 – 1996
- [53] **Dan Simu** - Simulation based testing of complex electronic systems – Transactions on Electronics and Communications – buletinul stiintific al Universitatii “ Politehnica” Timisoara - tom 49(63), fascicola 1, 2004.
- [54] **Dan Simu** - Simulation based environment for automatic test and error injection - scientific bulletin "Politehnica" University of Timisoara, romania, transactions on automatic control and computer science, vol. 49(63) 2004 no. 1,2,3,4 / issn 1224-600x
- [55] CMM ATA 27-59-01 flap/slat electronics unit p/n 285w0023-1 – 1998
- [56] CMM ATA 23-39-04 zone management unit p/n 285w0027-1 -1996
- [57] CMM ATA 23-92-02 overhead panel interface card p/n 285w0218-1 – 1996
- [58] CMM ATA 26-10-04 cargo smoke detector p/n s218w301-1 - 1994
- [59] CMM ATA 23-39-01 zone power converter p/n s906-70463-1 - 1994
- [60] CMM ATA 27-20-02 rudder trim indicator p/n s231w231-2 - 1994
- [61] CMM ATA 23-50-43 audio management unit p/n s222w101 – 1995
- [62] CMM ATA 28-48-01 boeing 777 integrated refuel panel p/n s345w001-020 – 1995
- [63] CMM ATA 23-34-02 entertainment multiplexer/controller p/n 285w0013-1 1994
- [64] CMM ATA 29-11-02 hydraulic interface module p/n 285w0017- 101 – 1996

- [65] CMM ATA 29-11-06 logic and speed control unit p/n s271w130- 33 – 1994
- [67] CMM ATA 21-32-44 cabin pressure valve control unit p/n 2704474-2 – 1995
- [68] CMM ATA 23-93-03 panel data concentrator unit p/n 285w0259-1 – 1995
- [69] CMM ATA 23-39-50 cabin control panel p/n 285w0863 – 1999
- [70] CMM ATA 23-39-04 css zone management unit p/n 285w0027-101 - 1999
- [71] B.A.C. Universal test equipment manuals - 1975
- [72] CMM ATA 27-32-44 artificial feel computer – concorde- 1975
- [73] CMM ATA 33-15-11 master warning control unit – concorde- 1975
- [74] CMM ATA 71-61-74 aicu computer unit – concorde - 1975
- [75] CMM ATA 71-61-60 aitu computer unit – concorde - 1975
- [76] CMM ATA 22-12-11 pitch computer unit – concorde- 1975
- [77] CMM ATA 22-13-11 azimuth computer unit – concorde- 1975
- [78] CMM ATA 22-22-11 auto stab computer unit – concorde- 1975
- [79] CMM ATA 22-31-11 auto-throttle computer unit – concorde- 1975
- [80] CMM ATA 78-31-80 nozzle angle scheduling unit – concorde- 1975
- [81] Jahn Luke, Replacement strategy for aging avionics computers. *iee aes systems magazine*, march, 1999
- [82] Wilcock, G. Totten, T. Gleave, A. Wilson, r., The application of cots technology in future modular avionic systems, *Electronics & communication engineering Journal* vol. 13, nr. 4, - 2001
- [83] Bode, F., Ivi comes of age: an overview of ivi specifications with current status, *Autotestcon proceedings*, 2002. *iee* – 2002
- [84] Cheij, D., Using interchangeable virtual instrument (ivi) drivers to increase test system performance, *Aerospace and Electronic Systems magazine*, *IEEE*, vol. 16, nr. 7, - 2001.
- [85] Gutterman, L., Integrating visa, ivi and ateasy to migrate legacy test systems, *Aerospace and Electronic Systems magazine*, *IEEE*, vol. 20, nr. 6 2005.
- [86] Dowling, D. Rupinski, T., Avionics maintenance 2010, : Selected areas in communications, *IEEE journal on*, vol. 4, nr. 7 - 1986
- [87] Cashar, E.E., Development of a tps reuse library using cots tools, *Aerospace and Electronic Systems magazine*, *IEEE*, vol. 12, nr. 10 - 1997.
- [88] Gooding, M. Cohen, L., Evaluation of three ate test environments, *Aerospace and Electronic Systems magazine*, *IEEE*, vol. 12, nr. 9 – 1997
- [89] Gutterman, L., Integrating visa, ivi and ateasy to migrate legacy test systems, *Aerospace and Electronic Systems magazine*, *iee*, vol. 20, nr. 6 - 2005
- [90] Pizzica, S., Open systems architecture solutions for military avionics testing, *Aerospace and Electronic Systems magazine*, *IEEE*, vol. 16, nr. 8 - 2001
- [91] Rajsuman, R. Masuda, N. Yamashita, K., Architecture and design of an open ate to incubate the development of third-party instruments, *instrumentation and measurement*, *iee transactions on*, vol. 54, nr. 5 - 2005
- [92] Mueller, J. Oblad, R., Architecture drives test system standards, *spectrum*, *IEEE* – sept. 2000.
- [93] Rolain, Y. Van Moer, W., Block-oriented instrument software design, *instrumentation and measurement*, *IEEE transactions on*, vol. 53, nr. 3 – 2004
- [94] Craig, R.W., A methodology for addressing support equipment obsolescence, *Aerospace and Electronic Systems magazine*, *iee*, vol.17, nr. 5 - 2002

- [95] Cleary, R.T., A new deterministic vxi highway interconnect. Aerospace and Electronic Systems magazine, IEEE, vol. 11, nr. 3 - 1996
- [96] Hill, G. , VXIbus revision 2.0-what's new?. Instrumentation & Measurement magazine, IEEE, vol. 2, nr. 2 – 1999.
- [97] Dettmer, R., The vxi bus-an open standard for modulator instrumentation. : IEE review, vol. 35, nr.9 – 1989.
- [98] Neblett, B., Implementing reusable, instrument independent test programs in the factory, Aerospace and Electronic Systems magazine, IEEE, vol. 12, nr. 6 – 1997.
- [99] Musmann, S.P., Gpib and the battle of incompatible languages, Instrumentation and measurement, IEEE transactions on, vol. 37, nr. 4 – 1988.
- [100] Andrade, L. Tenning, C., Design of boeing 777 electric system. Aerospace and Electronic Systems magazine, ieee, vol. 7, nr. 7 – 1992.
- [101] Eklow, B. Parker, K.P. Barnhart, c.f., IEEE 1149.6: a boundary-scan standard for advanced digital networks, Design & test of computers, IEEE , vol. 20, nr.5 – 2003.
- [102] Pasquarette, John: Using ivi drivers to build hardware - Independent test systems with LabView and LabWindows /CVI, National Instruments 1998
- [103] Pasquarette, John: Using IVI drivers to build hardware-independent test systems with LabView and LabWindows/CVI, National Instruments 1998
- [104] Pasquarette, John: Using IVI drivers to simulate your instrumentation hardware in LabView and LabWindows/CVI, National Instruments 1998
- [105] Long-term instrument control and connectivity solutions – National Instruments 2006
- [106] How ivi-c instrument driver technology enables system longevity and platform portability – National Instruments 2006
- [107] The future for new bus technologies in instrument control and connectivity– National Instruments 2006
- [108] Guo De-Gui, Liu Lei, Li Wen-Jin, Transformation from test language atlas to c++, the fifth international conference on computer and information technology (cit'05), 2005
- [109] B.Blanc, G.Durrieu, A.Lakehal, O.Laurent, B.Marre, I. Parissis, C.Seguin, V. Wiels, Automated functional test case generation from data flow specifications using structural coverage criteria – Airbus france erts 2006
- [110] Vx4469a Arinc 629 communication module, User manual 070-9147-00 - 1994
- [111] 777 data load user requirements d220w110 - 1991
- [112] HP e1340a arbitrary function generator user's manual -1992
- [113] 7836 vxi lvdt simulator manual, North Atlantic Instruments -1993
- [114] VXI 5390/5393 synchro/resolver processor, North Atlantic Instruments -1993
- [115] Operators Manual model 2250 digital analyzing voltmeter, North Atlantic Instruments -1991
- [116] 777 cas software load system requirements and interface control document, d906-70658 - 1994
- [117] HP 75000 series c, c-size VXIbus systems, Installation and getting started guide - 1993
- [118] HP 54503a 500 mhz digitizing oscilloscope , Programmer's reference - 1993

- [119] HP 34401a multimeter, User's guide - 1992
- [120] HP 8903b audio analyzer, Operation and calibration manual - 1989
- [121] TestStand reference manual, National Instruments - 1993
- [122] Using TestStand, Manual, National Instruments - 2003
- [123] LabWindows/CVI Instrument driver developers guide, National Instruments - 2003
- [124] Measurement studio user manual, National Instruments - 2006
- [125] Stora, M.J. Droste, D. "ATE open system platform" iee-p1552 structured architecture for test systems (sats), Autotestcon 2003. IEEE systems readiness technology conference. proceedings – 2003
- [126] Purcell, A., The search for a gpib replacement, Autotestcon '99. IEEE systems readiness technology conference, 1999. IEEE - 1999
- [127] Rawnsley, D.J. Hummels, D.M. Segee, B.E., A Virtual instrument bus using network programming, Instrumentation and measurement technology conference, 1997. Imtc/97. proceedings. 'sensing, processing, networking'.. IEEE - 1997
- [128] Cram, R.S., Gpib compliance testing in a large test and measurement company, Autotestcon '94. iee systems readiness technology conference. 'cost effective support into the next century', conference proceedings. – 1994
- [129] Emmert, G.T., Considerations for implementing high performance vxi test systems, Autotestcon '98. IEEE systems readiness technology conference., 1998 IEEE-1998
- [130] Johnson, M.W. Dayton, D.W., VXI lvdt simulation cots resource augments legacy commercial airline industry ate, Autotestcon proceedings, 2001. IEEE systems readiness technology conference – 2001
- [131] Hetherington, D. , The vxibus: an introduction, buses for instruments: vxi and beyond, IEE colloquium on – 1989
- [132] Nair, C., Modular test architectures for the aerospace industry, autotestcon proceedings, 2002. IEEE - 2002
- [133] Rajendran, R., User-focused ivi-com driver development, Autotestcon 2003. IEEE systems readiness technology conference. proceedings - 2003
- [134] Hulett, J., IVI drivers - new requirements for ivi conformance, Autotestcon 2004. proceedings – 2004
- [135] Mueller, J.E., Achieving instrument interchangeability with ivi instrument drivers, Autotestcon 2003. IEEE systems readiness technology conference. proceedings - 2003
- [136] Functional test requirements – Cargo system controller d906-70143 – 1993
- [137] Functional test requirements – Master dim and test pwa d906-70372 – 1994
- [138] Jones, S., A signal server software architecture, Autotestcon proceedings, 2000 IEEE - 2000
- [139] Cherfas, A. Reeves, W., Atlas 2000 signal and method classification and modeling, Autotestcon '98. IEEE systems readiness technology conference., 1998 IEEE - 1998
- [140] Hulme, A.M.B., The atlas language-panacea or pariah? does it only specify the task or does it really drive the tester?, Autotestcon '95. 'systems readiness: test technology for the 21st century'. conference record - 1995

- [141] Oishi, R.T., Atlas extend, its effect on ate system software, Autotestcon '88. IEEE international automatic testing conference, futuretest. symposium proceedings - 1988
- [142] Timcho, T.J., Bridging the gap between atlas and c: an open-systems approach to TPS re-host, Autotestcon '98. iee systems readiness technology conference., 1998 IEEE - 1998
- [143] Krizman, K.J. Duvall, J.A., Rf synthetic instrumentation: ats technology insertion and implications, Autotestcon 2003. IEEE systems readiness technology conference. proceedings - 2003
- [144] Mesibov, c., Mms response to rapid rf ate development needs, Autotestcon '93. IEEE systems readiness technology conference. proceedings -1993
- [145] Margaret Cadogan, Teresa Lopes, Specifying an ivi class for digital test instrumentation, Teradyne inc.
- [146] IEEE standard protocol 1149.5. a standard module test and maintenance bus.- 1995
- [147] Dave Rolince, Simplifying tps development and execution using a pc, web based environment, Teradyne, inc.
- [148] Philip Stern, High-performance component software changes the rules for configuring ate, Assembly test division Teradyne inc.
- [149] Dave Rolince, Applying virtual test principles to digital test program development, Teradyne, inc.
- [150] Prashant S. Parikh, Miron Abramovici, Testability-based partial scan analysis, Journal of electronic testing: theory and applications - 1995
- [151] Albert Helfrick, Principles of avionics, avionics communications inc - 2004
- [152] Cary R. Spitzer, The avionics handbook, electrical handbook series , crc press - 2000
- [153] IEEE std 1155-1992, IEEE standard for vmebus extensions for instrumentation: vxibus -1992
- [154] Pierluigi san Pietro, Angelo Morzenti, Sandro Morasca, Generation of execution sequences for modular time critical systems, IEEE transactions on software engineering, vol. 26, nr. 2 - 2000
- [155] A perspective on the state of research on fault injection techniques, University of Virginia, center for safety - critical systems - 2002
- [156] Cheng-Wei chen, Jenq Kuen Lee, Case study: an infrastructure for C/Atlas environments with object-oriented design and xml representation, Journal of system and software - 2002
- [157] Jan Peleska, Klemens Brumm, Gunnar Jonas, Tobias Hartmann, Advancement in automated simulation and testing technology for safety-critical avionic systems, University of Bremen; center of information technology - 2006
- [158] Elgar operating manual, model sw 5250a -1996
- [159] HP electronic load family, Programming reference manual -1991
- [160] Paws user's guide dos/ms-windows, tyx corp. - 1995
- [161] Paolo Donzelli, Roberto Marozza, Customizing the software process to support avionics systems enhancements, the journal of defense software engineering - 2001

- [162] Barry, T. Scheffer, T. Small, L.R., An environment for the integration and test of the space station distributed avionics systems, Aerospace and Electronic Systems magazine, IEEE - 1988
- [163] Pete Faulkner, Flexible, mixed architecture automated test systems uses vme/vxi/compactpci/pxi, Vmebus systems - 2003
- [164] Chris Goringe, EADS, The pitfalls of replacing obsolete instrumentation, EE-evaluation engineering - 2006
- [165] Douglass, K.; Worley, J.; Stehle, C., Choosing software and replacing ate: lessons learned, Aerospace and Electronic systems magazine, IEEE, vol 19, nr. 9 - 2004
- [166] Ted Miller, Thomas J. Gallagher, VXI-based functional ate, ee-evaluation engineering - 1998
- [167] Nate D'anna, Cots software prevents ate obsolescence, Test & measurement world - 2006
- [168] Eric Sacher, A system view of vxi ate design, ee-evaluation engineering - 1997
- [169] Sergio M Perez, The critical need for open ate architecture, International test conference (itc'04) - 2004
- [170] Burnell G. West, Michael F. Jones, Digital synchronization for reconfigurable ate, International test conference (itc'04) - 2004
- [171] Shanrui Zhang, Minsu Choi, Nohpill Park, Fabrizio Lombardi, Probabilistic balancing of fault coverage and test cost in combined built-in self-test/automated test equipment testing environment, 19th IEEE international symposium on defect and fault tolerance in vlsi systems (dft'04) - 2004
- [172] M. Miegler, W. Wolz, Development of test programs in a virtual test environment, 14th IEEE vlsi test symposium (vts '96) - 1996
- [173] Guangfan Shi, Guangming Yan, Jigang Li, Guanran Wang, Zeguo Cheng, The design and implement of virtual instrument based on computing technique and usb platform, Third international conference on information technology and applications (icita'05) volume 1 - 2005
- [174] Armando Carbonari, Avionic systems overview, Proceedings of the 17th symposium on integrated circuits and system design (sbcci '04) - 2004
- [175] Bob Stasonis, pxi - A new architecture for many testing requirements, International test conference 2003 - 2003
- [176] Standards, IEEE design and test of computers - 2001
- [177] Eric Starkloff, Tim Fountain, Garth Black, the pxi modular instrumentation architecture, International test conference 2003 -2003
- [178] Wolfe, R, Virtual instruments in vxi, Autotestcon '93. ieee systems readiness technology conference. proceedings - 1993
- [179] Cristaldi, L.; Ferrero, A.; Piuri, V., Programmable instruments, virtual instruments, and distributed measurement systems: what is really useful, innovative and technically sound?, Instrumentation & measurement magazine, IEEE, vol. 2, nr. 3 - 1999
- [180] Rabe, D. Miller, J., Applying software process to virtual instrument based test program set development, : Autotestcon '97. 1997 IEEE autotestcon proceedings - 1997

- [181] Bearse, T.M. Lynch, M.L., Translating test programs using a model-based process, Autotestcon '99. IEEE systems readiness technology conference, 1999. IEEE - 1999
- [182] Deng, B.; Glauert, W., Formal description of test specification and ate architecture for mixed-signal test, test conference, 2004. proceedings. Itc 2004. international – 2004.
- [183] Perez, S.M., The consequences of an open ate architecture, Test conference, 2002. Proceedings. international - 2002
- [184] West, B.G., Open ate architecture: key challenges, Test conference, 2002. Proceedings. international - 2002
- [185] Orlidge, L.A. Stoll, E.D., Measurement hardware emulator: synthetic instrumentation and cass, : Autotestcon '99. IEEE systems readiness technology conference, 1999. IEEE - 1999
- [186] Crowe, D. Matysek, G. , The need for multi-service test equipment standardization, autotestcon '91. IEEE systems readiness technology conference. improving systems effectiveness in the changing environment of the '90s, conference record. - 1991
- [187] Kennedy, C., Sustainment of legacy automatic test systems: lessons learned on TPS transportability, aerospace and electronic systems magazine, iee - 2005
- [188] Proceedings international test conference 2001 (cat. no.01ch37260), Test conference, 2001. proceedings. international - 2001
- [189] Simpson, W.R.; Sheppard, J.W., Developing intelligent automatic test equipment, aerospace and electronics conference, 1991. naecon 1991., proceedings of the IEEE 1991 national -1991
- [190] Jian Hou; Weiguo Feng, A vxi-based automatic test solution for avionics: issues and implementation, Autotestcon proceedings, 2000 IEEE - 2000
- [191] Pestana, P.A., C and C/Atlas: the logical solution for the future, Autotestcon '95. 'systems readiness: test technology for the 21st century'. conference record -1995
- [192] Linn, R.J., jr., Conformance evaluation methodology and protocol testing, Selected areas in communications, IEEE journal on – 1989
- [193] Ramachandran, N., The role of (software) standards in test (avionics testing), Autotestcon 2003. IEEE systems readiness technology conference. proceedings - 2003
- [194] Sacher, E.; Lonngren, D., Nondenominational digital test programming for functional test, Autotestcon 2003. IEEE systems readiness technology conference. proceedings – 2003
- [195] Ellis, K.; Delaney, d., Signal definition and test description - an IEEE standard, Autotestcon proceedings, 2002. iee - 2002
- [196] Blair, M., Tedl - a new test interface standard from the iee, Autotestcon '97. 1997 IEEE autotestcon proceedings – 1997
- [197] Seavey, M., The complex signal C/Atlas structure: a signal description construct for the future, Autotestcon '92. IEEE systems readiness technology conference, conference record - 1992
- [198] Jurcak, T., An instrument-independent test software framework allows both hardware and software reuse, Autotestcon '97. 1997 IEEE autotestcon proceedings - 1997

- [199] Hudis, E.; Greenspan, A.M., Atlas2000 object oriented programming capabilities, Autotestcon '98. IEEE systems readiness technology conference., 1998 ieee - 1998.
- [200] IEEE standard for signal and test definition, IEEE std 1641-2004 – 2005
- [201] Stoica, S., System design verification tests - an overview, Test conference, 1999. proceedings. international - 1999
- [202] HP 603xA user's manual.
- [203] **Dan Simu** , Avionics functional test programs portability, Analele Universității din Oradea, fascicula Electrotehnică, secțiunea electronică, pag. 214-218, -2006
- [204] **Dan Simu** , Useful Intermediate language for running and translating test programs, Analele Universității din Oradea, fascicula Electrotehnică, secțiunea electronică, pag. 219-223, -2006
- [205] **Dan Simu**, Echipamente de testare automata, referat doctorat – 1999
- [206] **Dan Simu**, Portabilitatea programelor de testare. Clase de instrumente virtuale, referat doctorat - 1999

Nota: CMM = Component Maintenance Manual  
ATA = Air Transport Association  
XX-XX-XX = numărul de înregistrare ATA



ANEXA 1  
Descrierea în limbaj ATLAS 616 a testelor din blocul 2.0-CPU-RAM-CHECKS pentru unitatea AUTOTHROTTLER tip 10-62017-21 pentru  
avioanele Boeing 737-500 produs de firma Smith Industries Aerospace

```

C3 ..... MAIN PROCEDURE ..... 1
C ..... 2
C3 ..... 3
C ..... 4
C ..... 5
C ..... 6
C ..... 7
C ..... 8
C ..... 9
C ..... 10
C ..... 11
C ..... 12
C ..... 13
C ..... 14
C ..... 15
C ..... 16
C ..... 17
C ..... 18
C ..... 19
C ..... 20
C ..... 21
C ..... 22
C ..... 23
C ..... 24
C ..... 25
C ..... 26
C ..... 27
C ..... 28
C ..... 29
C ..... 30
C ..... 31
C ..... 32
C ..... 33
C ..... 34
C ..... 35
C ..... 36
C ..... 37
C ..... 38
C ..... 39
C ..... 40
C ..... 41
C ..... 42
C ..... 43
C ..... 44
C ..... 45
C ..... 46
C ..... 47
C ..... 48
C ..... 49
C ..... 50
C ..... 51
C ..... 52
C ..... 53
C ..... 54
C ..... 55
C ..... 56
C ..... 57
C ..... 58
C ..... 59
C ..... 60
C ..... 61
C ..... 62
C ..... 63
C ..... 64
C ..... 65
C ..... 66
C ..... 67
C ..... 68
C ..... 69
C ..... 70
C ..... 71
C ..... 72
C ..... 73
C ..... 74
C ..... 75
C ..... 76
C ..... 77
C ..... 78
C ..... 79
C ..... 80
C ..... 81
C ..... 82
C ..... 83
C ..... 84
C ..... 85
C ..... 86
C ..... 87
C ..... 88
C ..... 89
C ..... 90
C ..... 91
C ..... 92
C ..... 93
C ..... 94
C ..... 95
C ..... 96
C ..... 97
C ..... 98
C ..... 99
C ..... 100

```

```

C3 ..... 200100 CALCULATE 'R' = 'OPTION'(1) + 'OPTION'(2) $
C ..... 10 CALCULATE 'R' = 'R' + 'OPTION'(3) + 'OPTION'(4) $
C ..... 10 IF 'R' LT 0.5, THEN $
C ..... 10 LEAVE, BLOCK 2
C ..... 20 END, IF $
C ..... 21
C ..... 22
C ..... 23
C ..... 24
C ..... 25
C ..... 26
C ..... 27
C ..... 28
C ..... 29
C ..... 30
C ..... 31
C ..... 32
C ..... 33
C ..... 34
C ..... 35
C ..... 36
C ..... 37
C ..... 38
C ..... 39
C ..... 40
C ..... 41
C ..... 42
C ..... 43
C ..... 44
C ..... 45
C ..... 46
C ..... 47
C ..... 48
C ..... 49
C ..... 50
C ..... 51
C ..... 52
C ..... 53
C ..... 54
C ..... 55
C ..... 56
C ..... 57
C ..... 58
C ..... 59
C ..... 60
C ..... 61
C ..... 62
C ..... 63
C ..... 64
C ..... 65
C ..... 66
C ..... 67
C ..... 68
C ..... 69
C ..... 70
C ..... 71
C ..... 72
C ..... 73
C ..... 74
C ..... 75
C ..... 76
C ..... 77
C ..... 78
C ..... 79
C ..... 80
C ..... 81
C ..... 82
C ..... 83
C ..... 84
C ..... 85
C ..... 86
C ..... 87
C ..... 88
C ..... 89
C ..... 90
C ..... 91
C ..... 92
C ..... 93
C ..... 94
C ..... 95
C ..... 96
C ..... 97
C ..... 98
C ..... 99
C ..... 100

```

THE FOLLOWING TABLE PROVIDES A CROSS REFERENCE BETWEEN WORDS 220 AND 240 AND THEIR ASSOCIATED LOGIC LAMP NUMBERS AS USED IN THE BENCH TEST SET (DIN) AIR FOR THE A/T.

WORD	LOGIC 1 (ON)	LOGIC 0 (OFF)
1	OUTPUT	LAMP
1	MORE BIT	LAMP
1	1220	116
1	1230	14
1	1230	15
1	1230	16
1	1230	17
1	1230	18
1	1230	19
1	1230	20
1	1230	21
1	1230	22
1	1230	23
1	1230	24
1	1230	25
1	1230	26
1	1230	27
1	1230	28
1	1230	29
1	1230	30
1	1230	31
1	1230	32
1	1230	33
1	1230	34
1	1230	35





ANEXA 1

Descrierea în limbaj ATLAS 616 a testelor din blocul 2.0-CPU-RAM-CHECKS pentru unitatea AUTOTHROTTLE tip 10-62017-21 pentru avioanele Boeing 737-500 produs de firma Smith Industries Aerospace

```

C9 00      END, FOR 0      'RESULT' 9
C  I GIVE PRINTOUT IF 'PRINT' = 1      1 9
C  I I.E. FULL PRINTOUT MODE OR THIS TEST FAILED      1 9
C
C5 212400  IF, 'PRINT' EQ 1, THEN 9
C  PRINT, MESSAGE,
C  PRINT, MESSAGE, CPU MICROSTEP TEST
C  PRINT, MESSAGE, CHECK FOR INITIATION OF CPU COUNT
C5 212450  PRINT, MESSAGE,
C  PRINT, MESSAGE, 2 SECONDS AFTER GO-AROUND
C  PRINT, MESSAGE, LR43 AND LR6 SHOULD BOTH BE 28+-2V
C  PRINT, MESSAGE,
C5 212500  FOR, 'INDEX1' = 1 THRU 2, THEN 6
C  CALCULATE, 'Z1' = 'B'('INDEX1') 6
C5 212600  IF, ABS('Z1'-20) GT 2, THEN 9
C  ELSE 9
C  FILL, 'RESULT', 'FAILED' 9
C  END, IF 9 'PASSED' 9
C5 212650  DISPLAY, MESSAGE, ('STRUCT', 'PINS'('INDEX1'), 'Z1',
C  PND, 'IF' 9
C5 212700  IF, 'RESULT' LT 0, THEN 9
C  DISPLAY, MESSAGE, CPU COUNT HAS NOT STARTED      FAILED 9
C  DISPLAY, MESSAGE, CPU COUNT HAS NOT STARTED      FAILED 9
C  PRINT, MESSAGE,
C  PERFORM, 'FAILURE' 9
C  REMOVE, 'LOCK' 9
C5 212800  CLEAR 9
C  DISPLAY, MESSAGE, CPU COUNT HAS STARTED
C  DISPLAY, MESSAGE,
C  IF, 'COUNT(26) EQ 1, THEN 9
C  PRINT, MESSAGE, CPU COUNT HAS STARTED
C  PRINT, MESSAGE,
C  END, IF 9
C5 213000  FILL, 'PINS', (1) C-LR16, 9
C  PERFORM, 'RUM-DMT', (2) C-LR30, 9
C5 213100  PERFORM, 'RUM-DMT', (TABLE) VAR 2 / TIMERS,
C  IF, '2' NE 17777, THEN 9
C  CALCULATE, 'PRINT' = 1 9
C  END, IF 9
C5 213200  FOR, 'INDEX1' = 1 THRU 29, THEN 5
C  CALCULATE, 'Z1' = 'C'('INDEX1') 5
C  CALCULATE, 'Z2' = 'B'('INDEX1') 5
C  IF, ABS('Z2'-'Z1') GT 3.0, THEN 9
C  IF, 'Z' EQ 17777, THEN 9
C  CALCULATE, 'Z' = 0 9
C  IF, 'B' LT 2, THEN 9
C  CALCULATE, 'Z' = 'Z' + 100000 9
C  END, IF 9
C  IF, 'B' LT 10, THEN 9
C  CALCULATE, 'Z' = 'Z' + 10000 9
C  END, IF 9
C  IF, 'B' LT 3, THEN 9
C  CALCULATE, 'Z' = 'Z' + 20000 9
C  END, IF 9
C  IF, 'B' LT 1, THEN 9
C  CALCULATE, 'Z' = 'Z' + 10000 9
C  END, IF 9
C  IF, 'B' LT 3, THEN 9
C  CALCULATE, 'Z' = 'Z' + 4000 9
C  END, IF 9
C  LEAVE, FOR 9
C  END, FOR 9
C5 213300  IF, '2' NE 17777, THEN 9
C  CALCULATE, 'PRINT' = 1 9
C  END, IF 9
C5 213400  I DISPLAY AND (IF REQUIRED) PRINT RESULT
C  END, IF 9

```





ANEXA 1  
 Descrierea în limbaj ATLAS 616 a testelor din blocul 2.0-CPU-RAM-CHECKS pentru unitatea AUTOTHROTTLER tip 10-62017-21 pentru  
 avioanele Boeing 737-500 produs de firma Smith Industries Aerospace

```

20 PERFORM, 'RAM-PRINT' 8
21200 IF, RESULTS('J') EQ 1, THEN 9
10 CALCULATE, 'J' - 2 9
26 PERFORM, BLOCK-RES' 9
40 LEAVE, ALL 9
221250 END, IF 8
-----
C6 I TEST FAILED GIVE DIAGNOSTICS
C5 -----
C6 222000 DISPLAY, MESSAGE, ('TMM') TEST FAILED
10 DISPLAY, MESSAGE, RAM DECODE BOARD SUSPECT AT FOLLOWING:
20 DISPLAY, MESSAGE, LOCATIONS
222050 PRINT, MESSAGE, ('TMM') TEST FAILED
60 PRINT, MESSAGE, RAM DECODE BOARD SUSPECT AT FOLLOWING
70 PRINT, MESSAGE, LOCATIONS
C9 222100 IF, 'R'(1) GT 2.0, THEN 5
10 DISPLAY, MESSAGE, LOCATION C3 8
20 PRINT, MESSAGE, LOCATION C2 8
30 END, IF 5
C8 222200 IF, 'B'(2) GT 2.0, THEN 8
10 DISPLAY, MESSAGE, LOCATION C2 8
20 PRINT, MESSAGE, LOCATION C3 8
30 END, IF 5
C6 222300 IF, 'B'(3) GT 2.0, THEN 5
10 DISPLAY, MESSAGE, LOCATION C1 5
20 PRINT, MESSAGE, LOCATION C1 5
30 END, IF 5
C5 229000 CALCULATE, 'J' - 2 5
10 PERFORM, 'BLOCK-HEU' 5
20 LEAVE, ALL 9
229990 END, BLOCK, '2.2-STORE RAM-UPPER' 5
-----
C8
C6 BLOCK 2.3 STORE RAM LOWER
C5 .....
C6 THIS BLOCK CARRIES OUT THE STORE RAM LOWER TEST AS
C4 FOLLOW:
C3 THE UUT IS SET TO INITIAL CONDITIONS AND THE STORE RAM
C2 LOWER DOWNLOAD PROGRAMME IS LOADED INTO THE UUT.
C1 IF THE LOAD IS OK THEN TEST PROCEEDS AS FOLLOWS
C THE FOLLOWING CODE (7070707 OCTAL) IS THEN SET UP ON
C THE INPUT PENS
C
C I CODE 7070707
C
C I INPUT UUT BITS SWITCH LOGIC STATUS SWITCH
C I WORD BIT PIN SWITCH LOGIC PRINT(V)
C
C I 1240 15 U12 48 1 28.0 UP
C I 1240 10 U12 49 1 28.0 UP
C I 1240 5 U12 50 0 28.0 UP
C I 1280 8 U12 51 0 28.0 DOWN
C I 1300 15 U12 52 0 28.0 DOWN
C I 1300 14 U12 53 1 28.0 UP
C I 1300 13 U12 54 1 28.0 UP
C I 1300 11 U12 55 0 28.0 DOWN
C
C9 230000 I SET UP CODE 7070707 THEN APPLY GO-AROUND
C8 -----
C6 230100 PERFORM, 'INITCHECK', 'C' STORE RAM LOWER
10 IF, RESULTS('J') LT 0, THEN 8
20 LEAVE, BLOCK 8
30 END, IF 5
C5
C6 I DOWNLOAD PROGRAM. EXIT BLOCK IF FAILURE OCCURS
C5 -----
C6 230400 PERFORM, 'LOADCHECK', 'C' STORE RAM LOWER
10 IF, RESULTS('J') LT 0, THEN 5
20 LEAVE, BLOCK 5
30 END, IF 5
C5
C9 231000 I SET UP CODE 7070707 THEN APPLY GO-AROUND
C8 -----
C6 231000 PERFORM, 'GO-AROUND' 8
10
C9

```

ANEXA 1  
Descrierea în limbaj ATLAS 616 a testelor din blocul 2.0-CPU-RAM-CHECKS pentru unitatea AUTOTHROTLE tip 10-62017-21 pentru  
avioanele Boeing 737-500 produs de firma Smith Industries Aerospace

```

C  I AFTER SHORT DELAY VERIFY LRG LRG AND LMS ALL AT OV 1 5
C  231100 DELAY, 2 SW, 5
C  10 PERFORM, 'RAM-CHECK' 5
C  20 IF, 'RESULTS' (3) EQ 1, THEN 5
C  30 CALCULATE, 'J' = 3 5
C  40 REMOVE, 'BLOCK-RST' 5
C  231230 LEAVE, BLOCK 5
C  40 END, IF 5
C  I TEST FAILED GIVE DIAGNOSTICS
C  232000 DISPLAY, MESSAGE, ('TNM') TEST FAILED
C  10 DISPLAY, MESSAGE, 'RAM DECOMB SUSPECT AT FOLLOWING
C  30 DISPLAY, MESSAGE, LOCATIONS
C  40 PRINT, MESSAGE, ('TNM') TEST FAILED
C  60 PRINT, MESSAGE, 'RAM DECOMB SUSPECT AT FOLLOWING
C  70 PRINT, MESSAGE, LOCATIONS
C  80 PRINT, MESSAGE, LOCATIONS
C  232100 IF, 'B'(1) UT 2 0, THEN 5
C  10 DISPLAY, MESSAGE, LOCATION C3 5
C  20 PRINT, MESSAGE, LOCATION C3 5
C  30 END, IF 5
C  232200 IF, 'B'(2) GT 2 0, THEN 5
C  10 DISPLAY, MESSAGE, LOCATION C2 5
C  20 PRINT, MESSAGE, LOCATION C2 5
C  30 END, IF 5
C  232300 IF, 'N'(1) GT 2 0, THEN 5
C  10 DISPLAY, MESSAGE, LOCATION C1 5
C  20 PRINT, MESSAGE, LOCATION C1 5
C  30 END, IF 5
C  232900 CALCULATE, 'J' = 3 5
C  10 PERFORM, 'BLOCK-RST' 5
C  20 REMOVE, 'ALL' 5
C  239000 END, BLOCK, '2.3 STORE-RAM-LOWER' 3
C  BLOCK 2.4 STORE PROGRAMME CONTENTS TEST
C  THIS BLOCK CARRIES OUT THE STORE PROGRAMME CONTENTS TEST
C  AS FOLLOWS
C  THIS UT IS SET TO INITIAL CONDITIONS AND THE STORE
C  PROGRAMME CONTENTS DOWNLOADED IS LOADED INTO THE UT.
C  IF THE LOAD IS OK THEN TEST PROCEEDS AS FOLLOWS
C  THERE ARE TWO CRC CHECKS TO BE PERFORMED, ONE FOR THE
C  FLYING PROGRAM (BANK 0) AND ONE FOR THE GROUND BITS
C  PROGRAMME (BANK 1).
C  THE APPROPRIATE BANK IS SELECTED BY EITHER SETTING THE
C  GEAR DOWN INPUT (L14) TO THE APPROPRIATE LEVEL.
C  BANK 0 = FLYING PROGRAM = GEAR UP = L14 OPEN CIRCUIT
C  BANK 1 = GROUND BITS = GEAR DOWN = L14 GROUND
C  THE LENGTH OF THE PROGRAMME TO BE CHECKED IS THEN
C  ENTERED INTO THE UT ON WORD 1300 BITS 15 THRU 4
C  AND WORD 1240 BITS 7 THRU 4 AS FOLLOWS

```

INPUT BIT	UT PIN	BTS SWITCH	BIT=0 PIN(V)	BIT=1 PIN(V)	SWITCH STATE
1	1300 15	UL12	52	55	DOWN UP
1	1300 14	UL13	55	58	DOWN UP
1	1300 13	UL12	54	57	DOWN UP
1	1300 12	LR37	55	00.0	DOWN UP
1	1300 11	LR30	56	0/C	DOWN UP
1	1300 10	LR30	57	0/C	DOWN UP
1	1300 9	UR28	56	0/C	DOWN UP
1	1300 8	UL12	59	0/C	DOWN UP
1	1300 7	UL13	60	0/C	DOWN UP
1	1300 6	UL12	61	0/C	DOWN UP
1	1300 5	LR48	62	0/C	DOWN UP
1	1300 4	L148	63	0/C	DOWN UP
1	1240 7	UL36	64	0/C	DOWN UP
1	1240 6	UL35	65	0/C	DOWN UP
1	1240 5	UL34	66	0/C	DOWN UP
1	1240 4	UL25	67	0/C	DOWN UP

1 BIT SWITCHES REFER TO THE EQUIVALENT BENCH TEST  
 1 SET SWITCHES AS USED IN THE BENCH TEST KIT AND ARE  
 1 INCORPORATED FOR CROSS REFERENCING PURPOSES  
 1 BETWEEN THE ATLAS AND THE ATP

TREATING THE ABOVE 16 DISCRETES WITH UL12 BEING THE  
 MSR AND UL25 THE LSR THE OCTAL LENGTHS OF THE  
 PROGRAMMES ARE AS FOLLOWS

755SUE1-1	BANK 0 = 040000	BANK 1 = 040000
755SUE2-2	BANK 0 = 040000	BANK 1 = 040000
755SUE3-3	BANK 0 = 040000	BANK 1 = 040000
756SUE1-1	BANK 0 = 040000	BANK 1 = 040000
756SUE2-2	BANK 0 = 040000	BANK 1 = 040000
756SUE3-3	BANK 0 = 040000	BANK 1 = 040000
756SUE4-2	BANK 0 = 040000	BANK 1 = 040000
756SUE4-3	BANK 0 = 040000	BANK 1 = 040000

A GO-AROUND IS THEN PERFORMED WHICH CAUSES THE UT TO  
 START ITS CRC CHECK. UT OUTPUT PIN L10 IS THEN  
 MONITORED AND WHEN THE CRC CHECK HAS BEEN COMPLETED  
 IT CHANGES FROM -10V TO +10V WHICH SHOULD HAPPEN  
 WITHIN 20SECONDS OF THE GO-AROUND (THIS IS EQUIVALENT  
 TO WAITING FOR LAMP 19 TO GO FROM RED TO GREEN ON THE  
 BENCH TEST SET)

ON COMPLETION OF THE CRC CHECK THE CRC CODE WILL APPEAR  
 ON UT OUTPUT WORDS 220 AND 240 AS FOLLOWS

OUTPUT	UT	BTS	BIT=0	BIT=1	LAMP STATE
WORD BIT	PIN	LAMP	PIN(V)	PIN(V)	BIT=0 BIT=1
1	220 11	LR45	24	28.0	OFF ON
1	220 10	LR46	25	28.0	OFF ON
1	220 9	LR23	26	28.0	OFF ON
1	220 8	LR23	27	28.0	OFF ON
1	240 15	LR6	26	28.0	OFF ON
1	240 14	LR7	29	28.0	OFF ON
1	240 13	LR15	30	28.0	OFF ON
1	240 12	LR44	31	28.0	OFF ON
1	240 11	LR36	32	28.0	OFF ON
1	240 10	LR43	33	28.0	OFF ON
1	240 9	LR26	34	28.0	OFF ON
1	240 8	LR14	35	28.0	OFF ON







ANEXA 1  
 Descrierea în limbaj ATLAS 616 a testelor din blocul 2.0-CPU-RAM-CHECKS pentru unitatea AUTOTHROTTLE tip 10-62017-21 pentru  
 avioanele Boeing 737-500 produs de firma Smith Industries Aerospace

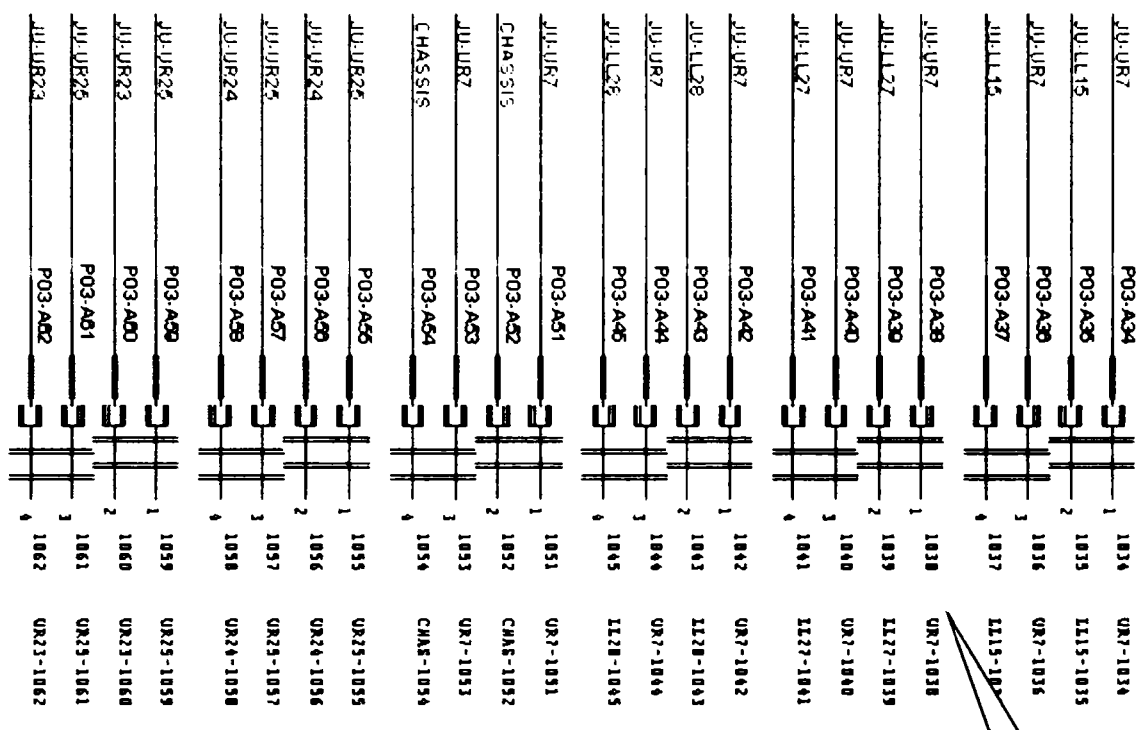
```

20 PRINT, MESSAGE, STORE PROGRAMME CONTENTS CHECK      )
30 PRINT, MESSAGE, BANK ('BANK' FORMAT +9) SELECTED      )
40 PRINT, MESSAGE,                                     )
240450 PRINT, MESSAGE, ('MSCIA',
      'C'(1), 'C'(2), 'C'(3), 'C'(4), 'C'(5), 'C'(6), 'C'(7),
      'C'(8), 'C'(9), 'C'(10), 'C'(11),
      'B'(1), 'B'(2), 'B'(3), 'B'(4), 'B'(5), 'B'(6), 'B'(7),
      'B'(8), 'B'(9), 'B'(10),
      'PINRES'(1), 'PINRES'(2), 'PINRES'(3), 'PINRES'(4),
      'PINRES'(5), 'PINRES'(6), 'PINRES'(7), 'PINRES'(8),
      'PINRES'(9), 'PINRES'(10)) $
      PRINT, MESSAGE, ('MSCIB',
      'C'(11), 'C'(12), 'C'(13), 'C'(14), 'C'(15),
      'C'(16), 'C'(17), 'C'(18), 'C'(19), 'C'(20),
      'B'(11), 'B'(12), 'B'(13), 'B'(14), 'B'(15),
      'B'(16), 'B'(17), 'B'(18), 'B'(19), 'B'(20),
      'PINRES'(11), 'PINRES'(12), 'PINRES'(13),
      'PINRES'(14), 'PINRES'(15), 'PINRES'(16),
      'PINRES'(17), 'PINRES'(18), 'PINRES'(19),
      'PINRES'(20)) $
      C9
C      I IF FAIL AND FAILSTOF SELECTED HALT PROGRAMME      )
C      I $
C      C9
248500 IF, 'FF' ST 0, THEN $
      10 IF, 'OPTION'(27) EQ 1, THEN $
      20 PERFORM, 'FAILSTOF' $
      30 END, IF $
      40 END, FOR $
      C8
C      I GIVE OVERALL RESULT OF TESTS
C      C
C      C9
249000 CALCULATE, 'J' - 4 $
      10 PERFORM, 'BLOCK-HEST' $
      20 REMOVE, ALL $
      249250 END, BLOCK, '7-9-STORE-PROGRAMME-CONTRIBUTS-TEST' $
      C8
290000 REMOVE, ALL $
299900 PERFORM, 'CPU-RAM-CHECKS' $
C9

```

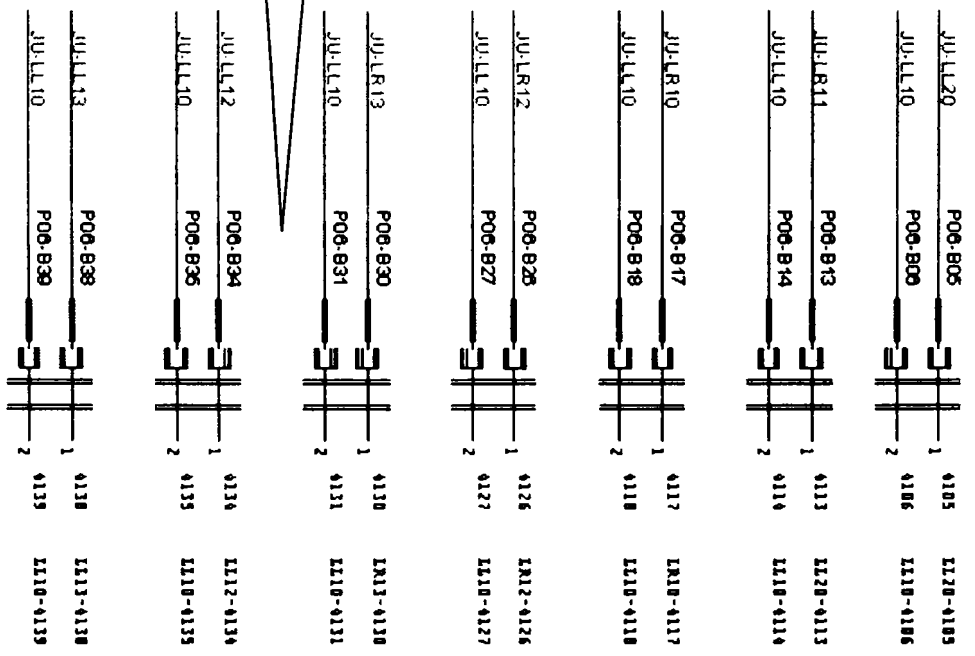
ANEXA 1

Scheme interfață de testa e (pentru testul 2) pentru unitatea AUTOTHROTTLE tip 10-62017-21 pentru avioane Boeing 737-500 produs de firma Smith Industries Aerospace

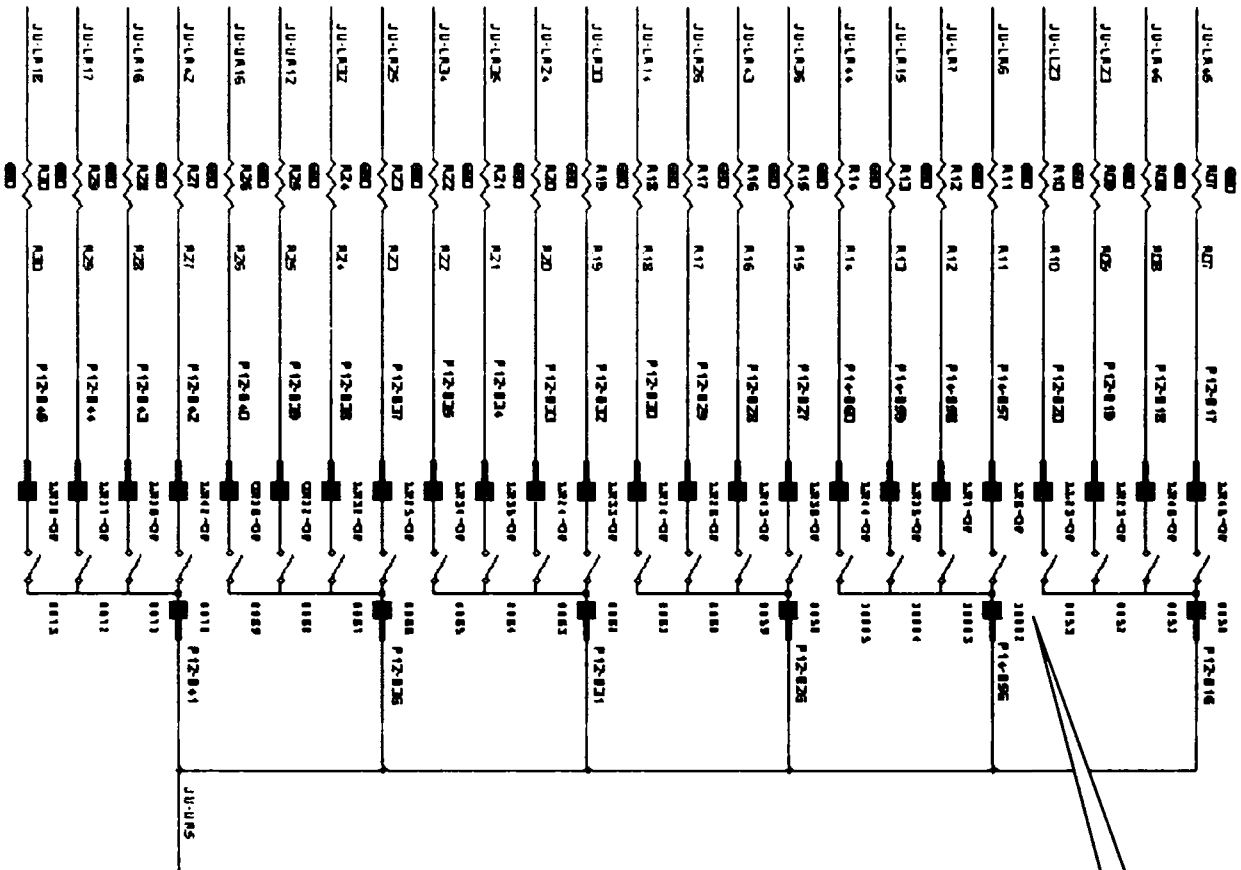


Pini ai UUT legati la matricea de conexiuni

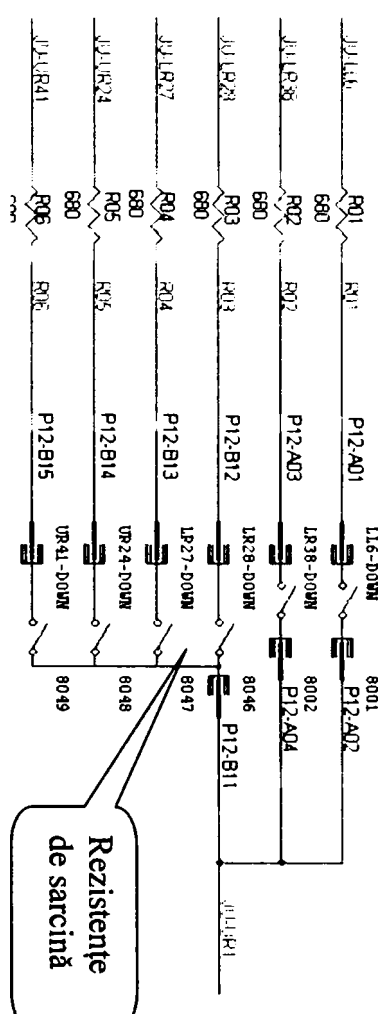
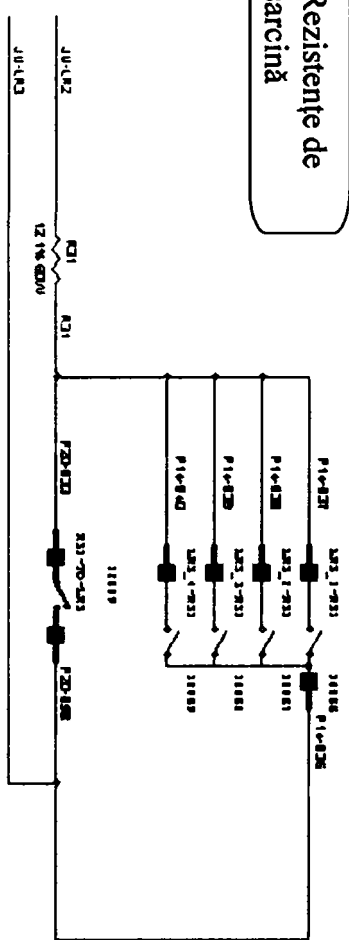
Pini ai UUT legati la matricea de conexiuni



ANEXA 1  
 Scheme interfață de testare (pentru testul 2) pentru unitatea  
 AUTOTHROTTLE tip 10-62017-21 pentru avioanele Boeing 737-500 produs de firma Smith Industries Aerospace

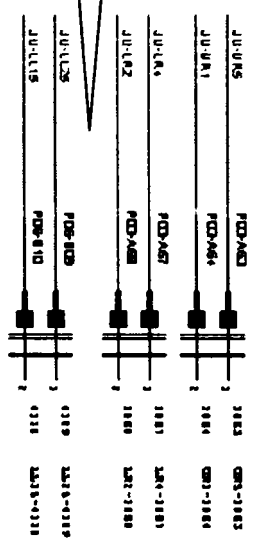


Rezistențe de sarcină



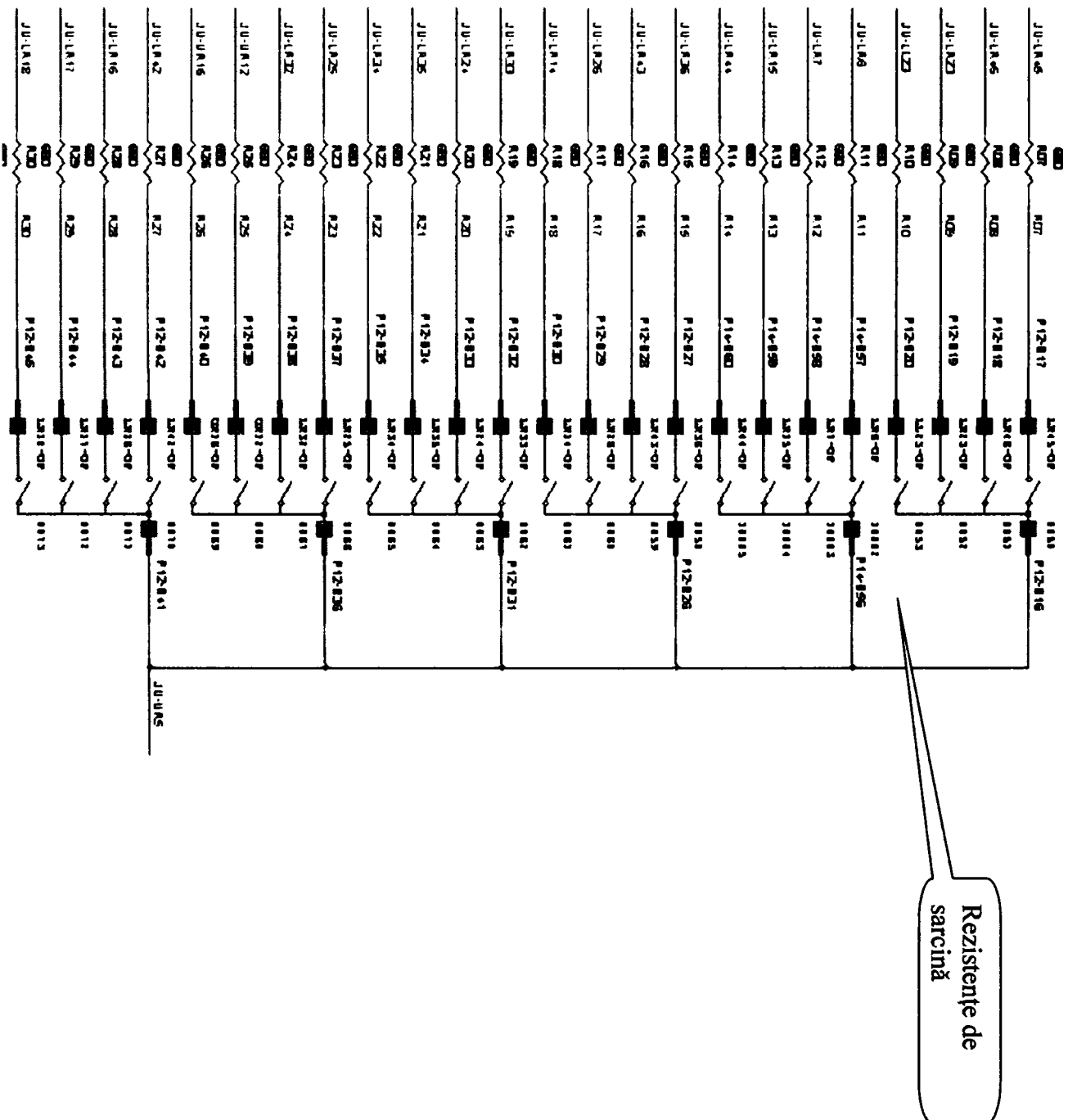
Rezistențe de sarcină

Pini de UUT legați la matricea de conexiune



ANEXA 1

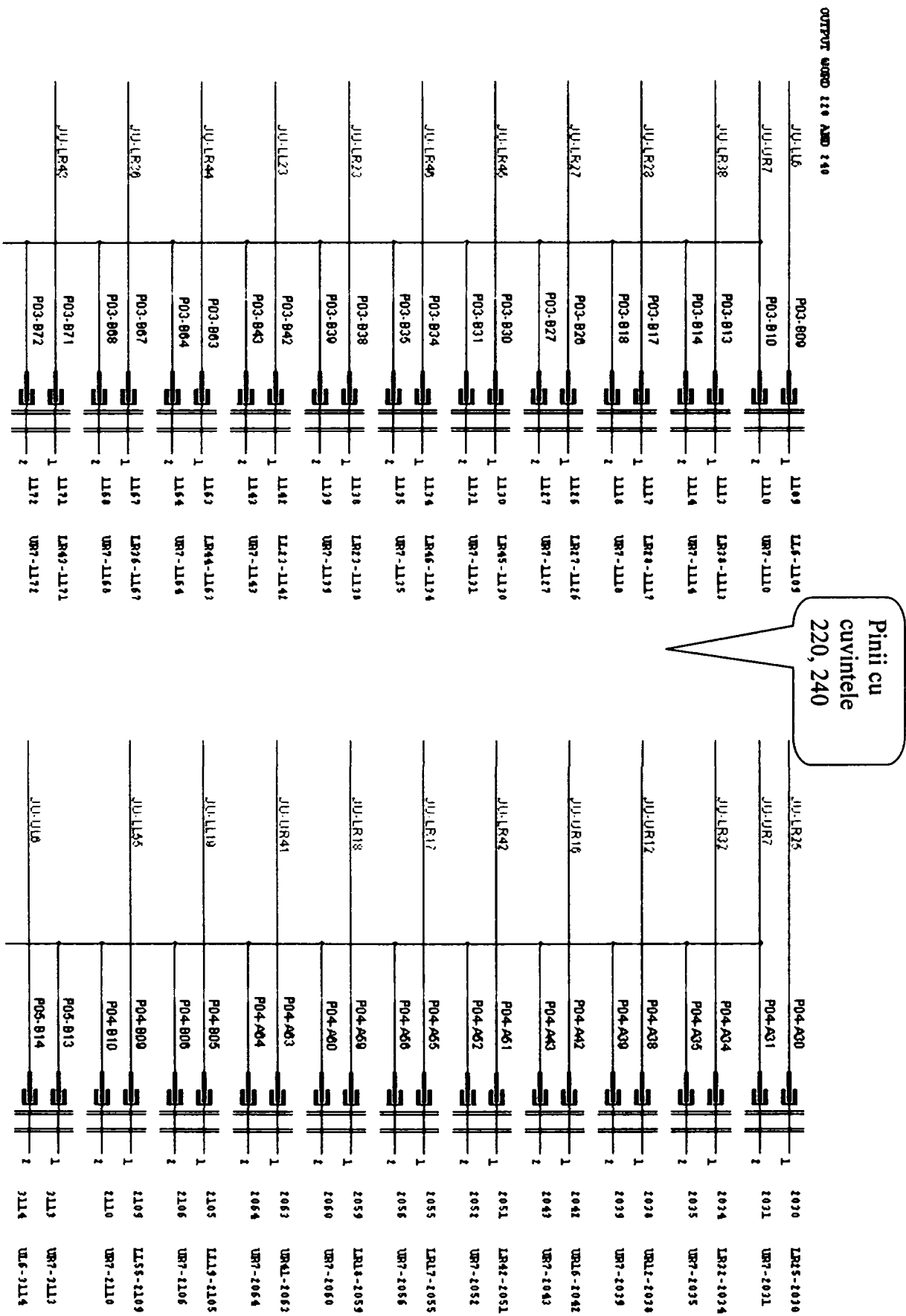
Scheme interfață de testare (pentru testul 2) pentru unitatea  
AUTOTHROTTLE tip 10-62017-21 pentru avioanele Boeing 737-500 produs de firma Smith Industries Aerospace



ANEXA 1

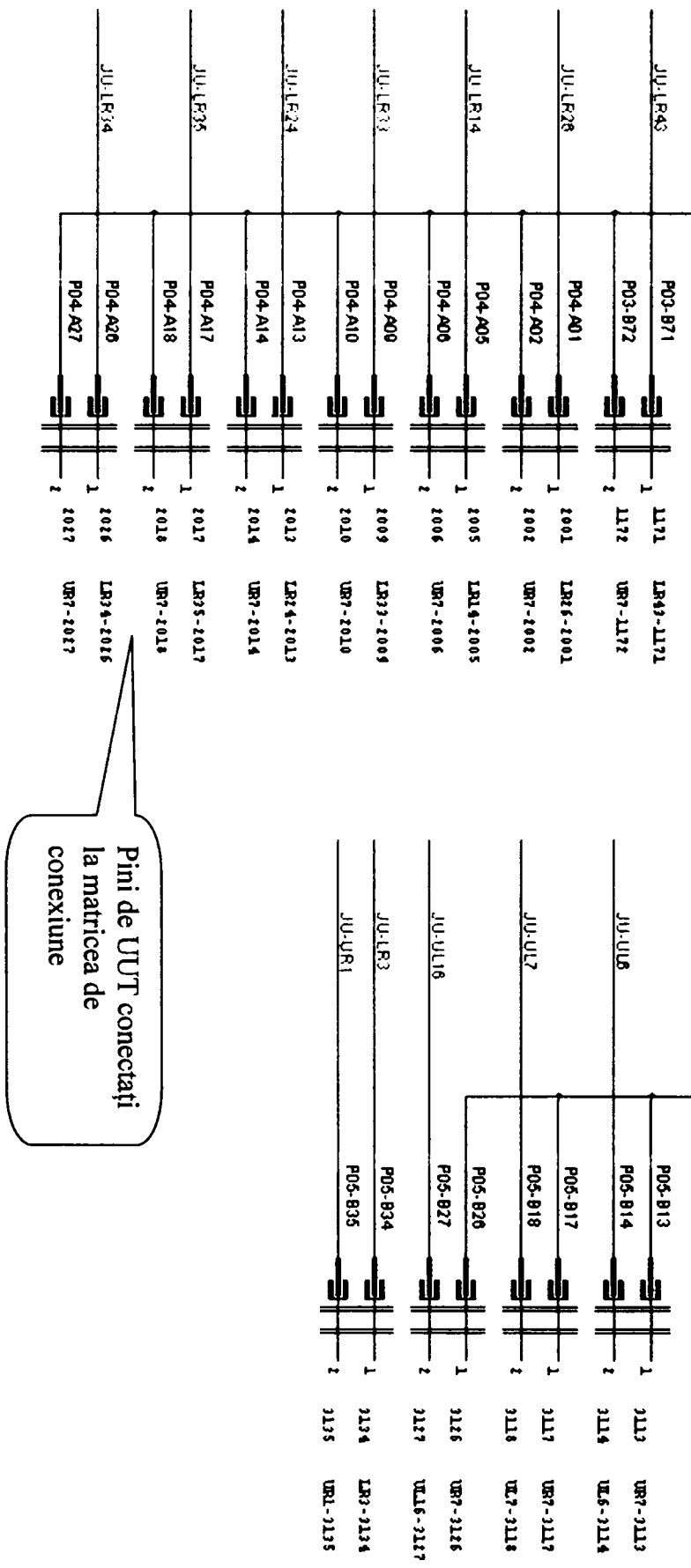
Scheme interfață de testare (pentru testul 2) pentru unitatea

AUTOTHROTTLE tip 10-62017-21 pentru avioanele Boeing 737-500 produs de firma Smith Industries Aerospace



ANEXA 1

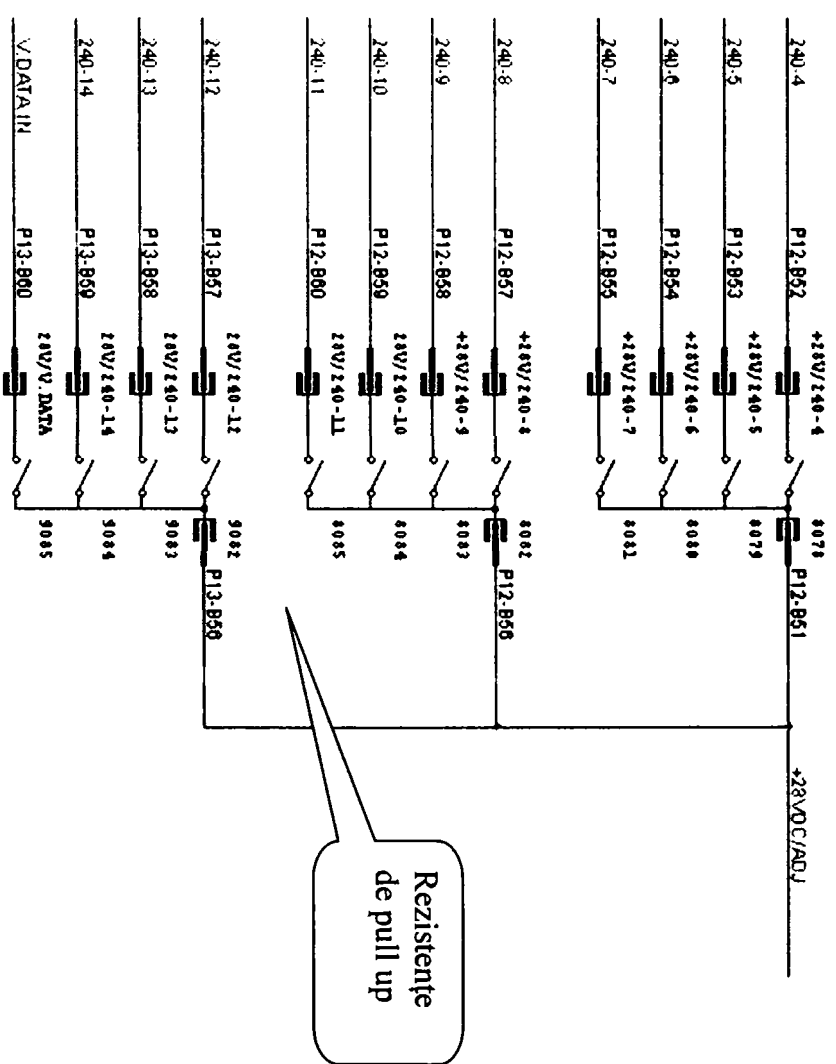
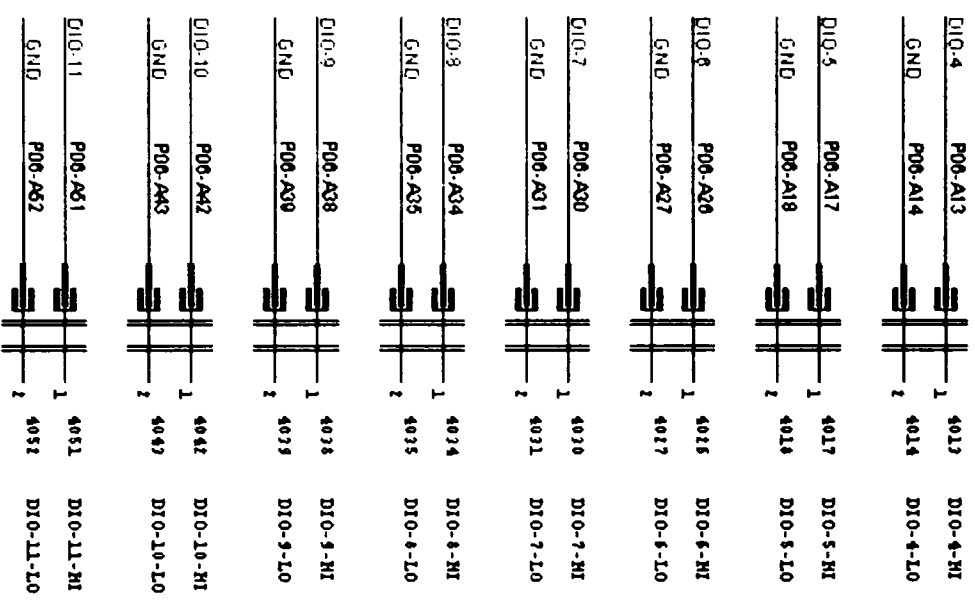
Scheme interfață de testare (pentru testul 2) pentru unitatea AUTOTHROTTLE tip 10-62017-21 pentru avioanele Boeing 737-500 produs de firma Smith Industries Aerospace



Pini de UUT conectați la matricea de conexiune



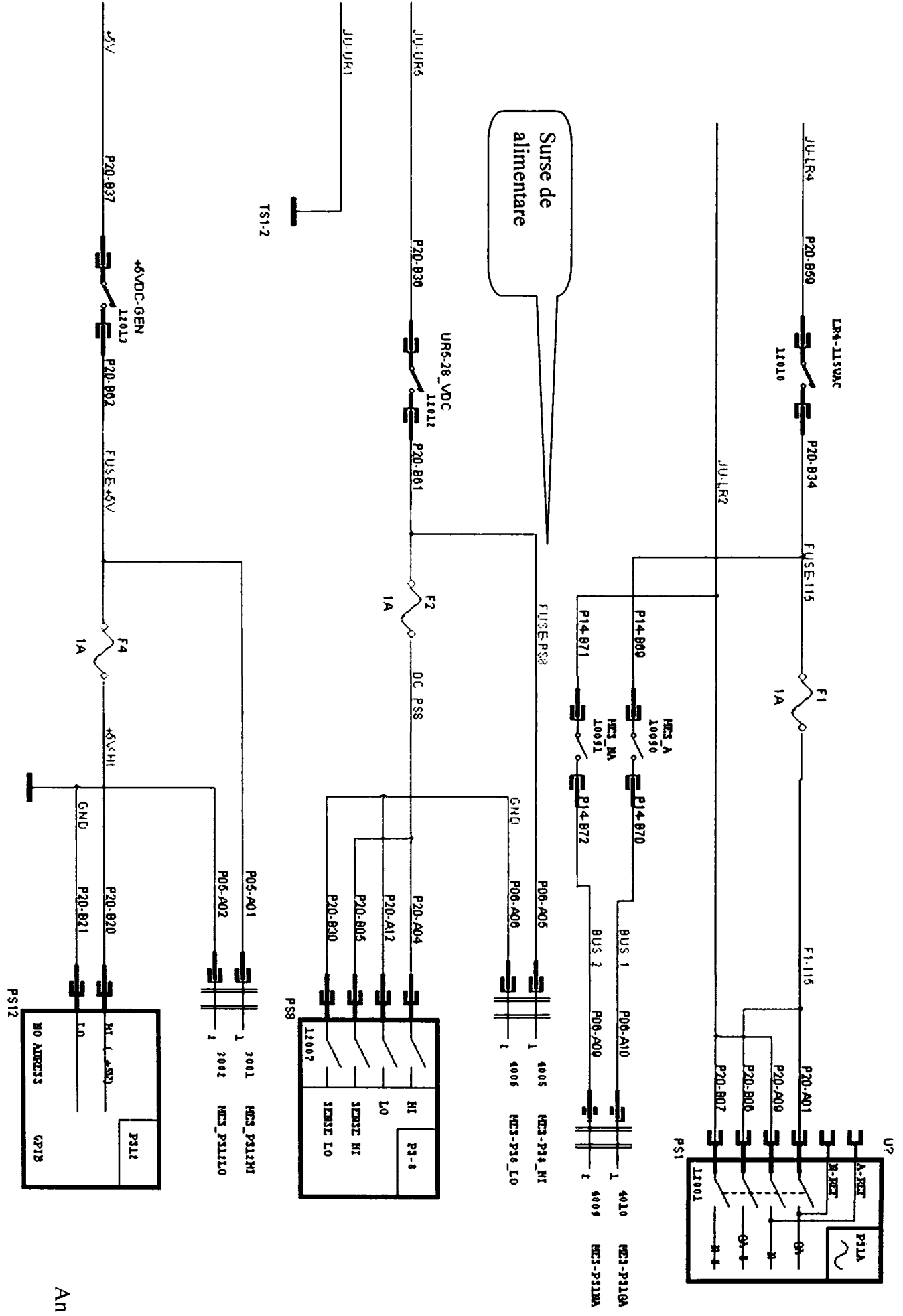
ANEXA 1  
 Scheme interfață de testare (pentru testul 2) pentru unitatea  
 AUTOTHROTTLE tip 10-62017-21 pentru avioanele Boeing 737-500 produs de firma Smith Industries Aerospace



ANEXA 1

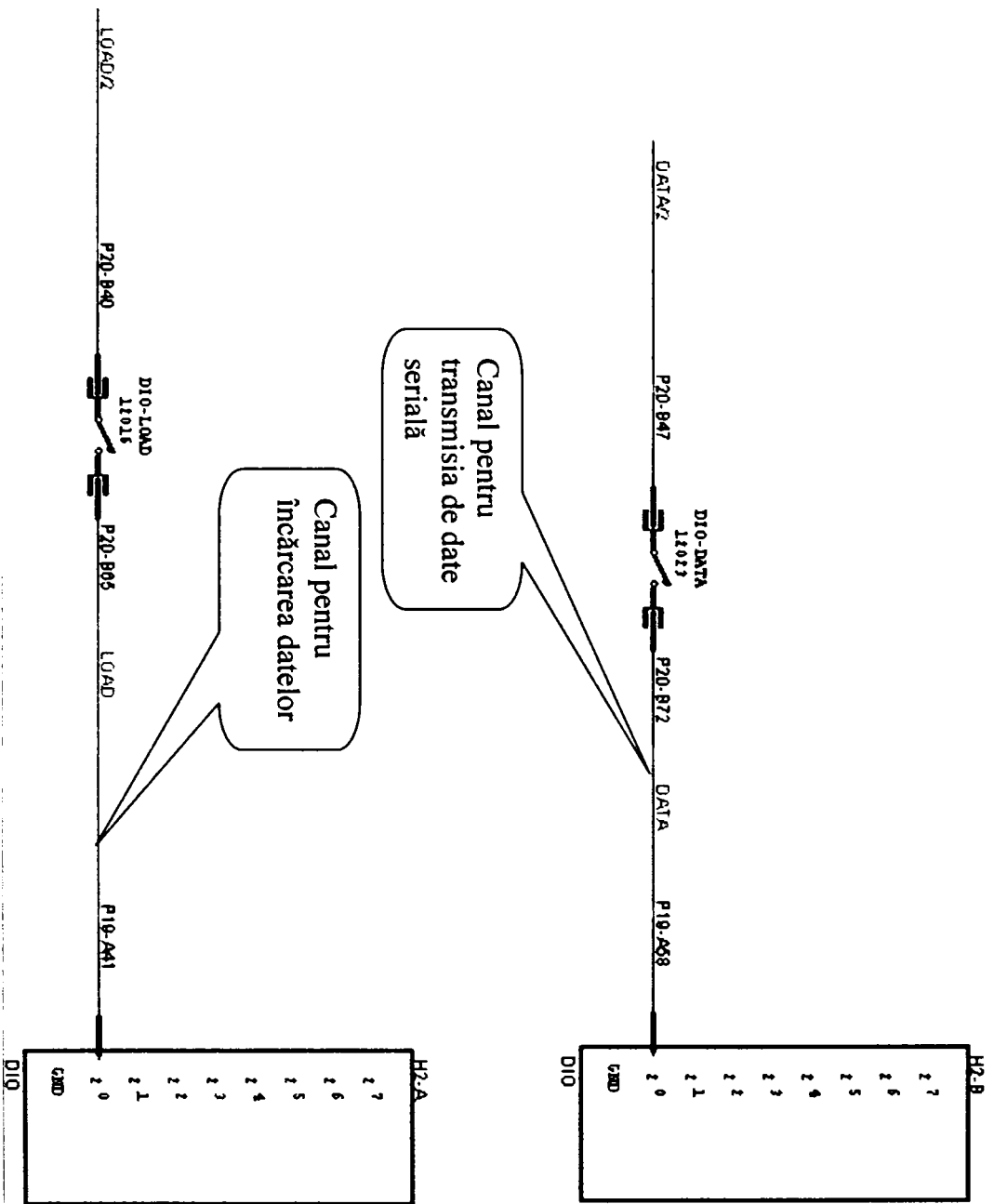
Scheme interfață de testare (pentru testul 2) pentru unitatea

AUTOTHROTTLE tip 10-62017-21 pentru avioanele Boei g 737-500 produs de firma Smith Industries Aerospace



ANEXA 1

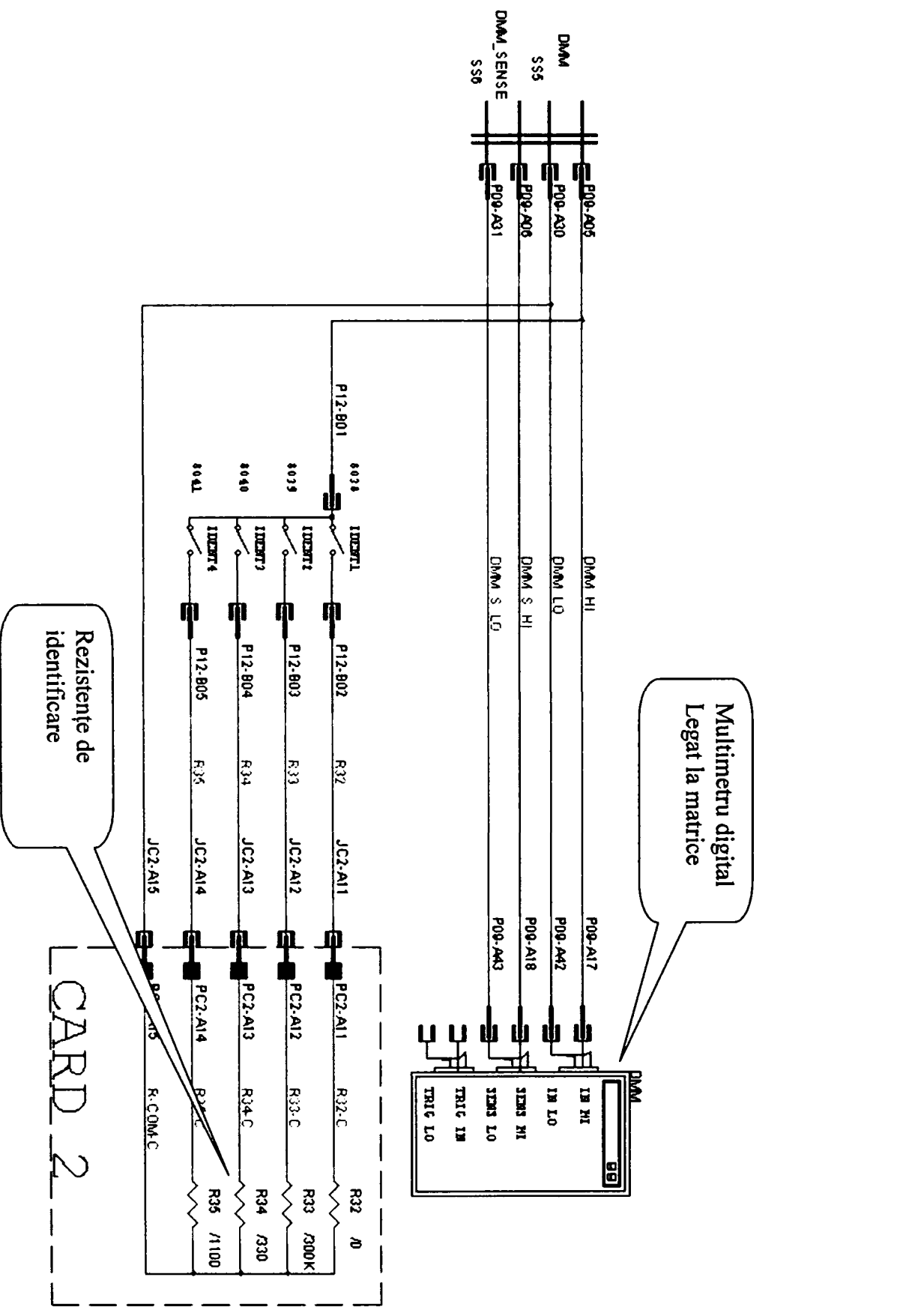
Scheme interfață de testare (pentru testul 2) pentru unitatea AUTOTHROTTLE tip 10-62017-21 pentru avioanele Boeing 737-500 produs de firma Smith Industries Aerospace



JU-LR55	P05-B42	1	2142	LR55-2142
JU-UR1	P05-B43	2	2143	UR1-2143
JU-UR12	P05-B03	1	2163	UR12-2163
JU-UR9	P05-B04	2	2164	UR9-2164
JU-UR18	P05-B07	1	2167	UR18-2167
JU-UR19	P05-B08	2	2168	UR19-2168
JU-UL4	P05-B71	1	2171	UL4-2171
JU-UL14	P05-B72	2	2172	UL14-2172
JU-UL13	P03-B01	1	1101	UL13-1101
JU-UL14	P03-B02	2	1102	UL14-1102
JU-UL8	P03-B05	1	1105	UL8-1105
JU-UL18	P03-B06	2	1106	UL18-1106
JU-UL7	P05-A38	1	3038	UL7-3038
JU-UL18	P05-A39	2	3039	UL18-3039
JU-UL9	P05-A42	1	3042	UL9-3042
JU-UL19	P05-A43	2	3043	UL19-3043
JU-UL18	P05-B30	1	2130	UL18-2130
JU-UL19	P05-B31	2	2131	UL19-2131
JU-UL1	P05-B38	1	2138	UL1-2138
JU-UL11	P05-B39	2	2139	UL11-2139
JU-UL10	P05-B51	1	2151	UL10-2151
JU-UL11	P05-B52	2	2152	UL11-2152

ANEXA 1

Scheme interfață de testare (pentru testul 2) pentru unitatea AUTOTHROTTLE tip 10-62017-21 pentru avioanele Boeing 737-500 produs de firma Smith Industries Aerospace



## ANEXA 1

Secvențele de testare ale testelor din blocul 2.0-CPU-RAM-CHECKS pentru unitatea  
AUTOTHROTTLE tip 10-62017-21 pentru avioanele Boeing 737-500 produs de  
firma Smith Industries Aerospace

```

REM1
PRN_LINE      2.1 CPU MICROSTEP
REM2
SCREEN_R      DISP-SCR SHOW - -
DISP_LINE     8  2  4  TESTS.HDR
DISP_LINE     9  3  4  TESTS.HDR
WAIT_SEC      3
REM1
PRN_LINE      BLOCK 2.1 CPU MICROSTEP      STEP 210000
REM  THIS BLOCK CARRIES OUT THE CPU MICROSTEP AS FOLLOWS
REM  THE UUT IS SET TO INITIAL CONDITIONS AND THE CPU
REM  DOWNLOAD PROGRAMME IS LOADED INTO THE UUT
REM2
REM1
REM  INITIALISE UUT.
REM  ABORT TESTING IF FAILURE OCCURS.
REM2
REM1
REM  APPLICATION OF PULLUP AND PULLDOWN LOADS
REM2
CALL  UNC    PULLUP&DW FIRST-LINE NOT-PRINT
REM1
REM  CONNECT MOTORS
REM2
CALL  UNC    CON-MOT FIRST-LINE NOT-PRINT
REM1
REM  PERFORM 'POWER UP'
REM2
CALL  UNC    POWER UP FIRST-LINE NOT-PRINT
REM1
REM  DOWNLOAD 'CPU MICROSTEP' INTO UUT
REM  OPTION = 1. CPU MICROSTEP
REM2
DISP_LINE     32  5  20  MSG.HDR
LOADF  OPTION  1
CALL  UNC    PLOAD NOT-PRINT FIRST-LINE
SCREEN_R      DISP-SCR SHOW - -
DISP_LINE     8  2  4  TESTS.HDR
DISP_LINE     9  3  4  TESTS.HDR
REM1
REM  VERIFY DOWNLOAD LOAD INTO UUT OK , 'PL-FLAG'=1
REM  IF FAIL INDICATE SO AND ABORT TEST.
REM2
CMPJMP      EQ    PL-FLAG 1    T2.1_C1
REM1
PRN_LINE      PROGRAMME DOWNLOAD FAILED
REM2
CALL  UNC    REMOVE ALL FIRST-LINE NOT-PRINT
BEEP  1
SCREEN_R      MSG-SCR SHOW - -
DISP_LINE     2  2  4  TESTS.HDR
DISP_LINE     7  3  4  TESTS.HDR
DISP_LINE     9  4  25  MSG.HDR
DISP_LINE     2  5  25  MSG.HDR
SCREEN_R      MSG-SCR ENTER - 123456
CMPJMP      NE    COND_JMP ON-FAIL T2.1_S1
SCREEN_R      LOAD-FAIL ENTER - -
LABEL  T2.1_S1
JMP  UNC    SCR  100
LABEL  T2.1_C1
REM1
PRN_LINE      VERIFY WORDS 220 AND 240 BITS 15 THROUGH 4 ALL ON
PRN_LINE      STEP 211000
REM2
LOADF  Z1-Z2  0
REM1
PRN_LINE      VERIFY BIT 15 OF WORD 220 IS ON.
REM2
M_VDC  LL6-1109 UR7-1110 =          28#3_VDC
JMP  SUC    LINE  T2.1_C2

```

## ANEXA 1

Secvențele de testare ale testelor din blocul 2.0-CPU-RAM-CHECKS pentru unitatea  
AUTOTHROTTLE tip 10-62017-21 pentru avioanele Boeing 737-500 produs de  
firma Smith Industries Aerospace

```

LOADF  Z1-Z2  1
LABEL  T2.1_C2
REM1
PRN_LINE  VERIFY BIT 14 OF WORD 220 IS ON .
REM2
M_VDC  LR38-1113 UR7-1114 =          28n3_VDC
JMP    SUC  LINE  T2.1_C3
LOADF  Z1-Z2  1
LABEL  T2.1_C3
REM1
PRN_LINE  VERIFY BIT 13 OF WORD 220 IS ON
REM2
M_VDC  LR28-1117 UR7-1118 =          28n3_VDC
JMP    SUC  LINE  T2.1_C4
LOADF  Z1-Z2  1
LABEL  T2.1_C4
REM1
PRN_LINE  VERIFY BIT 12 OF WORD 220 IS ON .
REM2
M_VDC  LR27-1126 UR7-1127 =          28n3_VDC
JMP    SUC  LINE  T2.1_C5
LOADF  Z1-Z2  1
LABEL  T2.1_C5
REM1
PRN_LINE  VERIFY BIT 11 OF WORD 220 IS ON
REM2
M_VDC  LR45-1130 UR7-1131 =          0n3_VDC
JMP    SUC  LINE  T2.1_C6
LOADF  Z1-Z2  1
LABEL  T2.1_C6
REM1
PRN_LINE  VERIFY BIT 10 OF WORD 220 IS ON .
REM2
M_VDC  LR46-1134 UR7-1135 =          0n3_VDC
JMP    SUC  LINE  T2.1_C7
LOADF  Z1-Z2  1
LABEL  T2.1_C7
REM1
PRN_LINE  VERIFY BIT 9 OF WORD 220 IS ON .
REM2
M_VDC  LR23-1138 UR7-1139 =         0n3_VDC
JMP    SUC  LINE  T2.1_C8
LOADF  Z1-Z2  1
LABEL  T2.1_C8
REM1
PRN_LINE  VERIFY BIT 8 OF WORD 220 IS ON .
REM2
M_VDC  LL23-1142 UR7-1143 =          0n3_VDC
JMP    SUC  LINE  T2.1_C9
LOADF  Z1-Z2  1
LABEL  T2.1_C9
REM1
PRN_LINE  VERIFY BIT 15 OF WORD 240 IS ON .
REM2
M_VDC  LR6-2159 UR7-2160 =          0n3_VDC
JMP    SUC  LINE  T2.1_C10
LOADF  Z1-Z2  1
LABEL  T2.1_C10
REM1
PRN_LINE  VERIFY BIT 14 OF WORD 240 IS ON .
REM2
M_VDC  LR7-2163 UR7-2164 =          0n3_VDC
JMP    SUC  LINE  T2.1_C11
LOADF  Z1-Z2  1
LABEL  T2.1_C11
REM1
PRN_LINE  VERIFY BIT 13 OF WORD 240 IS ON .
REM2
M_VDC  LR15-2167 UR7-2168 =         0n3_VDC
JMP    SUC  LINE  T2.1_C12
LOADF  Z1-Z2  1
LABEL  T2.1_C12
REM1

```

## ANEXA 1

Secvențele de testare ale testelor din blocul 2.0-CPU-RAM-CHECKS pentru unitatea  
AUTOTHROTTLE tip 10-62017-21 pentru avioanele Boeing 737-500 produs de  
firma Smith Industries Aerospace

```

PRN_LINE  VERIFY BIT 12 OF WORD 240 IS ON .
REM2
M_VDC    LR44-1163 UR7-1164 =          0n3_VDC
JMP      SUC   LINE   T2.1_C13
LOADF    Z1-Z2  1
LABEL    T2.1_C13
REM1
PRN_LINE  VERIFY BIT 11 OF WORD 240 IS ON
REM2
M_VDC    LR36-1167 UR7-1168 =          0n3_VDC
JMP      SUC   LINE   T2.1_C14
LOADF    Z1-Z2  1
LABEL    T2.1_C14
REM1
PRN_LINE  VERIFY BIT 10 OF WORD 240 IS ON .
REM2
M_VDC    LR43-1171 UR7-1172 =          0n3_VDC
JMP      SUC   LINE   T2.1_C15
LOADF    Z1-Z2  1
LABEL    T2.1_C15
REM1
PRN_LINE  VERIFY BIT 9 OF WORD 240 IS ON .
REM2
M_VDC    LR26-2001 UR7-2002 =          0n3_VDC
JMP      SUC   LINE   T2.1_C16
LOADF    Z1-Z2  1
LABEL    T2.1_C16
REM1
PRN_LINE  VERIFY BIT 8 OF WORD 240 IS ON .
REM2
M_VDC    LR14-2005 UR7-2006 =          0n3_VDC
JMP      SUC   LINE   T2.1_C17
LOADF    Z1-Z2  1
LABEL    T2.1_C17
REM1
PRN_LINE  VERIFY BIT 7 OF WORD 240 IS ON .
REM2
M_VDC    LR33-2009 UR7-2010 =          0n3_VDC
JMP      SUC   LINE   T2.1_C18
LOADF    Z1-Z2  1
LABEL    T2.1_C18
REM1
PRN_LINE  VERIFY BIT 6 OF WORD 240 IS ON .
REM2
M_VDC    LR24-2013 UR7-2014 =          0n3_VDC
JMP      SUC   LINE   T2.1_C19
LOADF    Z1-Z2  1
LABEL    T2.1_C19
REM1
PRN_LINE  VERIFY BIT 5 OF WORD 240 IS ON
REM2
M_VDC    LR35-2017 UR7-2018 =          0n3_VDC
JMP      SUC   LINE   T2.1_C20
LOADF    Z1-Z2  1
LABEL    T2.1_C20
REM1
PRN_LINE  VERIFY BIT 4 OF WORD 240 IS ON .
REM2
M_VDC    LR34-2026 UR7-2027 =          0n3_VDC
JMP      SUC   LINE   T2.1_C21
LOADF    Z1-Z2  1
LABEL    T2.1_C21
REM1
PRN_LINE  VERIFY BIT 7 OF WORD 220 IS ON .
REM2
M_VDC    LR25-2030 UR7-2031 =          0n3_VDC
JMP      SUC   LINE   T2.1_C22
LOADF    Z1-Z2  1
LABEL    T2.1_C22
REM1
PRN_LINE  VERIFY BIT 6 OF WORD 220 IS ON .
REM2
M_VDC    LR32-2034 UR7-2035 =          0n3_VDC

```

# ANEXA 1

## Secvențele de testare ale testelor din blocul 2.0-CPU-RAM-CHECKS pentru unitatea AUTOTHROTTLE tip 10-62017-21 pentru avioanele Boeing 737-500 produs de firma Smith Industries Aerospace

```

JMP     SUC     LINE     T2.1_C23
LOADF   Z1-Z2   1
LABEL   T2.1_C23
REM1
PRN_LINE  VERIFY BIT 5 OF WORD 220 IS ON .
REM2
M_VDC    UR12-2038 UR7-2039 =          0a3_VDC
JMP     SUC     LINE     T2.1_C24
LOADF   Z1-Z2   1
LABEL   T2.1_C24
REM1
PRN_LINE  VERIFY BIT 4 OF WORD 220 IS ON
REM2
M_VDC    UR16-2042 UR7-2043 =          0a3_VDC
JMP     SUC     LINE     T2.1_C25
LOADF   Z1-Z2   1
LABEL   T2.1_C25
CMPJMP  EQ      Z1-Z2   0      T2.1_C26
REM1
PRN_LINE  WORDS 220 AND 240 BITS 15 THROUGH 4 NOT ALL ON.
PRN_LINE  TESTING ABORTED.
REM2
CALL     UNC     REMOVE ALL FIRST-LINE NOT-PRINT
BEEP     1
SCREEN_R  MSG-SCR  SHOW     -     -
DISP_LINE 8      2      4      TESTS.HDR
DISP_LINE 9      3      4      TESTS.HDR
DISP_LINE 11     4      10     MSG.HDR
DISP_LINE 2      5      10     MSG.HDR
SCREEN_R  MSG-SCR  ENTER    -     123456
CMPJMP   NE      COND_JMP ON-FAIL T2.1_TR1
BEEP     1
SCREEN_R  TRBL-SCR2 SHOW    -     -
DISP_LINE 10     3      18     TRBL.HDR
DISP_LINE 11     4      18     TRBL.HDR
DISP_LINE 12     5      18     TRBL.HDR
SCREEN_R  TRBL-SCR2 ENTER  -     123456
LABEL    T2.1_TR1
JMP     UNC     SCR      100
LABEL   T2.1_C26
REM1
REM      PERFORM A GO-AROUND AND VERIFY THAT CPU INSTRUCTION
REM      SET COUNT THROUGH HAS BEEN INITIATED.
REM2
CALL     UNC     GO-AROUND FIRST-LINE NOT-PRINT
WAIT_SEC 2
REM1
PRN_LINE  CHECK FOR AND LR6 SHOULD INITIATION OF CPU COUNT,
PRN_LINE  LR43 BOTH BE 28a2_VDC. STEP 212220
REM2
LOADF   Z1-Z2   0
REM1
PRN_LINE  VERIFY BIT 10 OF WORD 240 IS OFF .
REM2
M_VDC    LR43-1171 UR7-1172 =          28a2_VDC
JMP     SUC     LINE     T2.1_C27
LOADF   Z1-Z2   1
LABEL   T2.1_C27
REM1
PRN_LINE  VERIFY BIT 15 OF WORD 240 IS OFF .
REM2
M_VDC    LR6-2159 UR7-2160 =          28a2_VDC
JMP     SUC     LINE     T2.1_C28
LOADF   Z1-Z2   1
LABEL   T2.1_C28
CMPJMP  EQ      Z1-Z2   0      T2.1_C29
REM1
PRN_LINE  CPU COUNT HAS NOT STARTED.
PRN_LINE  TESTING ABORTED.
REM2
CALL     UNC     REMOVE ALL FIRST-LINE NOT-PRINT
BEEP     1
SCREEN_R  MSG-SCR  SHOW     -     -

```



## ANEXA 1

Secvențele de testare ale testelor din blocul 2.0-CPU-RAM-CHECKS pentru unitatea  
AUTOTHROTTLE tip 10-62017-21 pentru avioanele Boeing 737-500 produs de  
firma Smith Industries Aerospace

```

DISP_LINE 8 2 4 TESTS.HDR
DISP_LINE 9 3 4 TESTS.HDR
DISP_LINE 12 4 25 MSG.HDR
DISP_LINE 2 5 25 MSG.HDR
SCREEN_R MSG-SCR ENTER - 123456
CMPJMP NE COND_JMP ON-FAIL T2.1_TR2
BEEP 1
SCREEN_R TRBL-SCR2 SHOW - -
DISP_LINE 10 3 18 TRBL.HDR
DISP_LINE 11 4 18 TRBL.HDR
DISP_LINE 12 5 18 TRBL.HDR
SCREEN_R TRBL-SCR2 ENTER - 123456
LABEL T2.1_TR2
JMP UNC SCR 100
LABEL T2.1_C29
REM1
REM CPU INSTRUCTION SET CYCLE WILL BE COMPLETE WITHIN
REM 30 SECONDS. DELAY 30 SECONDS AND THEN VERIFY WORDS
REM 220 AND 240 BITS 15 THROUGH 4 ALL ON, ALSO READ
REM VOLTAGES PRESENT ON LR42, LR17, AND LR18.
REM2
REM1
PRN_LINE VERIFY WORDS 220 AND 240 BITS 15 THROUGH 4 ALL ON
PRN_LINE STEP 213000
REM2
WAIT_SEC 30
LOADF Z 177777
LOADF Z1-Z2 0
REM1
PRN_LINE VERIFY BIT 15 OF WORD 220 IS ON
REM2
M_VDC LL6-1109 UR7-1110 = 28a3_VDC
JMP SUC LINE T2.1_C30
LOADF Z1-Z2 1
LABEL T2.1_C30
REM1
PRN_LINE VERIFY BIT 14 OF WORD 220 IS ON .
REM2
M_VDC LR38-1113 UR7-1114 = 28a3_VDC
JMP SUC LINE T2.1_C31
LOADF Z1-Z2 1
LABEL T2.1_C31
REM1
PRN_LINE VERIFY BIT 13 OF WORD 220 IS ON .
REM2
M_VDC LR28-1117 UR7-1118 = 28a3_VDC
JMP SUC LINE T2.1_C32
LOADF Z1-Z2 1
LABEL T2.1_C32
REM1
PRN_LINE VERIFY BIT 12 OF WORD 220 IS ON .
REM2
M_VDC LR27-1126 UR7-1127 = 28a3_VDC
JMP SUC LINE T2.1_C33
LOADF Z1-Z2 1
LABEL T2.1_C33
REM1
PRN_LINE VERIFY BIT 11 OF WORD 220 IS ON .
REM2
M_VDC LR45-1130 UR7-1131 = 0a3_VDC
JMP SUC LINE T2.1_C34
LOADF Z1-Z2 1
LABEL T2.1_C34
REM1
PRN_LINE VERIFY BIT 10 OF WORD 220 IS ON .
REM2
M_VDC LR46-1134 UR7-1135 = 0a3_VDC
JMP SUC LINE T2.1_C35
LOADF Z1-Z2 1
LABEL T2.1_C35
REM1
PRN_LINE VERIFY BIT 9 OF WORD 220 IS ON .
REM2

```

## ANEXA 1

### Secvențele de testare ale testelor din blocul 2.0-CPU-RAM-CHECKS pentru unitatea AUTOTHROTTLE tip 10-62017-21 pentru avioanele Boeing 737-500 produs de firma Smith Industries Aerospace

```
M_VDC LR23-1138 UR7-1139 = 0n3_VDC
JMP SUC LINE T2.1_C36
LOADF Z1-Z2 1
LABEL T2.1_C36
REM1
PRN_LINE VERIFY BIT 8 OF WORD 220 IS ON .
REM2
M_VDC LL23-1142 UR7-1143 = 0n3_VDC
JMP SUC LINE T2.1_C37
LOADF Z1-Z2 1
LABEL T2.1_C37
REM1
PRN_LINE VERIFY BIT 15 OF WORD 240 IS ON
REM2
M_VDC LR6-2159 UR7-2160 = 0n3_VDC
JMP SUC LINE T2.1_C38
LOADF B(9) 1
LOADF Z1-Z2 1
LABEL T2.1_C38
REM1
PRN_LINE VERIFY BIT 14 OF WORD 240 IS ON .
REM2
M_VDC LR7-2163 UR7-2164 = 0n3_VDC
JMP SUC LINE T2.1_C39
LOADF B(10) 1
LOADF Z1-Z2 1
LABEL T2.1_C39
REM1
PRN_LINE VERIFY BIT 13 OF WORD 240 IS ON .
REM2
M_VDC LR15-2167 UR7-2168 = 0n3_VDC
JMP SUC LINE T2.1_C40
LOADF B(11) 1
LOADF Z1-Z2 1
LABEL T2.1_C40
REM1
PRN_LINE VERIFY BIT 12 OF WORD 240 IS ON .
REM2
M_VDC LR44-1163 UR7-1164 = 0n3_VDC
JMP SUC LINE T2.1_C41
LOADF B(12) 1
LOADF Z1-Z2 1
LABEL T2.1_C41
REM1
PRN_LINE VERIFY BIT 11 OF WORD 240 IS ON .
REM2
M_VDC LR36-1167 UR7-1168 = 0n3_VDC
JMP SUC LINE T2.1_C42
LOADF B(13) 1
LOADF Z1-Z2 1
LABEL T2.1_C42
REM1
PRN_LINE VERIFY BIT 10 OF WORD 240 IS ON .
REM2
M_VDC LR43-1171 UR7-1172 = 0n3_VDC
JMP SUC LINE T2.1_C43
LOADF Z1-Z2 1
LABEL T2.1_C43
REM1
PRN_LINE VERIFY BIT 9 OF WORD 240 IS ON .
REM2
M_VDC LR26-2001 UR7-2002 = 0n3_VDC
JMP SUC LINE T2.1_C44
LOADF Z1-Z2 1
LABEL T2.1_C44
REM1
PRN_LINE VERIFY BIT 8 OF WORD 240 IS ON .
REM2
M_VDC LR14-2005 UR7-2006 = 0n3_VDC
JMP SUC LINE T2.1_C45
LOADF Z1-Z2 1
LABEL T2.1_C45
REM1
```

## ANEXA 1

Secvențele de testare ale testelor din blocul 2.0-CPU-RAM-CHECKS pentru unitatea  
AUTOTHROTTLE tip 10-62017-21 pentru avioanele Boeing 737-500 produs de  
firma Smith Industries Aerospace

```

PRN_LINE  VERIFY BIT 7 OF WORD 240 IS ON .
REM2
M_VDC    LR33-2009 UR7-2010 =          0n3_VDC
JMP      SUC    LINE    T2.1_C46
LOADF    Z1-Z2  1
LABEL    T2.1_C46
REM1
PRN_LINE  VERIFY BIT 6 OF WORD 240 IS ON .
REM2
M_VDC    LR24-2013 UR7-2014 =          0n3_VDC
JMP      SUC    LINE    T2.1_C47
LOADF    Z1-Z2  1
LABEL    T2.1_C47
REM1
PRN_LINE  VERIFY BIT 5 OF WORD 240 IS ON
REM2
M_VDC    LR35-2017 UR7-2018 =          0n3_VDC
JMP      SUC    LINE    T2.1_C48
LOADF    Z1-Z2  1
LABEL    T2.1_C48
REM1
PRN_LINE  VERIFY BIT 4 OF WORD 240 IS ON
REM2
M_VDC    LR34-2026 UR7-2027 =          0n3_VDC
JMP      SUC    LINE    T2.1_C49
LOADF    Z1-Z2  1
LABEL    T2.1_C49
REM1
PRN_LINE  VERIFY BIT 7 OF WORD 220 IS ON .
REM2
M_VDC    LR25-2030 UR7-2031 =          0n3_VDC
JMP      SUC    LINE    T2.1_C50
LOADF    Z1-Z2  1
LABEL    T2.1_C50
REM1
PRN_LINE  VERIFY BIT 6 OF WORD 220 IS ON
REM2
M_VDC    LR32-2034 UR7-2035 =          0n3_VDC
JMP      SUC    LINE    T2.1_C51
LOADF    Z1-Z2  1
LABEL    T2.1_C51
REM1
PRN_LINE  VERIFY BIT 5 OF WORD 220 IS ON .
REM2
M_VDC    UR12-2038 UR7-2039 =          0n3_VDC
JMP      SUC    LINE    T2.1_C52
LOADF    Z1-Z2  1
LABEL    T2.1_C52
REM1
PRN_LINE  VERIFY BIT 4 OF WORD 220 IS ON .
REM2
M_VDC    UR16-2042 UR7-2043 =          0n3_VDC
JMP      SUC    LINE    T2.1_C53
LOADF    Z1-Z2  1
LABEL    T2.1_C53
REM1
PRN_LINE  CHECK LR42, LR17 AND LR18 .
REM2
LOADF    Z1      0
LOADF    RESLTS  0
REM1
PRN_LINE  VERIFY LR42 IS 28_VDC
REM2
M_VDC    LR42-2051 UR7-2052 =          28n3_VDC
JMP      SUC    LINE    T2.1_C54
LOADF    RESLTS  1
LOADF    Z1-Z2  1
LABEL    T2.1_C54
REM1
PRN_LINE  VERIFY LR17 IS 28_VDC
REM2
M_VDC    LR17-2055 UR7-2056 =          28n3_VDC
JMP      SUC    LINE    T2.1_C55

```

## ANEXA 1

Secvențele de testare ale testelor din blocul 2.0-CPU-RAM-CHECKS pentru unitatea  
AUTOTHROTTLE tip 10-62017-21 pentru avioanele Boeing 737-500 produs de  
firma Smith Industries Aerospace

```

LOADF  RESLTS  1
LOADF  Z1-Z2  1
LABEL  T2.1_C55
REM1
PRN_LINE  VERIFY LR18 IS 28_VDC
REM2
M_VDC    LR18-2059 UR7-2060 =      28n3_VDC
JMP     SUC   LINE  T2.1_C56
LOADF  RESLTS  1
LOADF  Z1-Z2  1
LABEL  T2.1_C56
CMPJMP EQ   Z1-Z2  0    T2.1_C57
REM1
PRN_LINE  OUTPUT CODE HAS FAILED.
PRN_LINE  TESTING ABORTED.
REM2
CALL     UNC   REMOVE ALL FIRST-LINE NOT-PRINT
LOADF  Z      0
CMPJMP NE   B(9)  1    T2.1_C58
ADD    Z     10000  Z
LABEL  T2.1_C58
CMPJMP NE   B(10) 1    T2.1_C59
ADD    Z     40000  Z
LABEL  T2.1_C59
CMPJMP NE   B(11) 1    T2.1_C60
ADD    Z     20000  Z
LABEL  T2.1_C60
CMPJMP NE   B(12) 1    T2.1_C61
ADD    Z     10000  Z
LABEL  T2.1_C61
CMPJMP NE   B(13) 1    T2.1_C62
ADD    Z      4000  Z
LABEL  T2.1_C62
CMPJMP NE   RESLTS 1    T2.1_C63
ADD    Z     40000  Z1
LABEL  T2.1_C63
REM1
PRN_LINE  PROGRAMME HAS CORRUPTED      STEP 216200
PRN_LINE  LAST TEST TO PASS STEP:
REM2
BETWEEN 0    Z    8.999E+36    LOG
REM1
PRN_LINE  PROGRAM CORRUPTED AT :
REM2
BETWEEN 0    Z1   8.999E+36    LOG
BEEP     1
SCREEN_R MSG-SCR SHOW  -  -
DISP_LINE 8    2    4    TESTS.HDR
DISP_LINE 7    3    4    TESTS.HDR
DISP_LINE 13   4    25   MSG.HDR
DISP_LINE 2    5    25   MSG.HDR
SCREEN_R  MSG-SCR ENTER -  123456
CMPJMP NE   COND_JMP ON-FAIL T2.1_TR3
BEEP     1
SCREEN_R  TRBL-SCR2 SHOW -  -
DISP_LINE 10   3    18   TRBL.HDR
DISP_LINE 11   4    18   TRBL.HDR
DISP_LINE 12   5    18   TRBL.HDR
SCREEN_R  TRBL-SCR2 ENTER -  123456
LABEL    T2.1_TR3
JMP     UNC   SCR    100
LABEL    T2.1_C57
CALL    UNC   REMOVE ALL FIRST-LINE NOT-PRINT
NOP

REM1
PRN_LINE  2.2 STORE RAM UPPER
REM2
LOADF  TEST_NAME 14

```

# ANEXA 1

## Secvențele de testare ale testelor din blocul 2.0-CPU-RAM-CHECKS pentru unitatea AUTOTHROTTLE tip 10-62017-21 pentru avioanele Boeing 737-500 produs de firma Smith Industries Aerospace

```

SCREEN_R  DISP-SCR  SHOW  -  -
DISP_LINE 8    2    4    TESTS HDR
DISP_LINE 10   3    4    TESTS HDR
WAIT_SEC   3
REM1
PRN_LINE   BLOCK 2.2 STORE RAM UPPER      STEP 220000
REM       THIS BLOCK CARRIES OUT THE STORE RAM UPPER TEST.
REM2
REM1
REM       INITIALISE UUT.
REM       ABORT TESTING IF FAILURE OCCURS.
REM2
REM1
REM       APPLICATION OF PULLUP AND PULLDOWN LOADS
REM2
CALL      UNC    PULLUP&DW FIRST-LINE NOT-PRINT
REM1
REM       CONNECT MOTORS
REM2
CALL      UNC    CON-MOT  FIRST-LINE NOT-PRINT
REM1
REM       PERFORM 'POWER UP'
REM2
CALL      UNC    POWER UP  FIRST-LINE NOT-PRINT
REM1
REM       DOWNLOAD 'STORE RAM UPPER' INTO UUT
REM       OPTION = 2. STORE RAM UPPER
REM2
DISP_LINE 32   5    20   MSG HDR
LOADF     OPTION 2
CALL      UNC    PLOAD    NOT-PRINT FIRST-LINE
SCREEN_R  DISP-SCR  SHOW  -  -
DISP_LINE 8    2    4    TESTS.HDR
DISP_LINE 10   3    4    TESTS.HDR
REM1
REM       VERIFY DOWNLOAD LOAD INTO UUT OK , 'PL-FLAG'=1
REM       IF FAIL INDICATE SO AND ABORT TEST.
REM2
CMPJMP    EQ     PL-FLAG 1    T2.2_C1
REM1
PRN_LINE   PROGRAMME DOWNLOAD FAILED
REM2
CALL      UNC    REMOVE ALL FIRST-LINE NOT-PRINT
BEEP      1
SCREEN_R  MSG-SCR  SHOW  -  -
DISP_LINE 2    2    4    TESTS.HDR
DISP_LINE 7    3    4    TESTS.HDR
DISP_LINE 9    4    25   MSG.HDR
DISP_LINE 2    5    25   MSG.HDR
SCREEN_R  MSG-SCR  ENTER  -  123456
CMPJMP    NE     COND_JMP ON-FAIL T2.2_S1
SCREEN_R  LOAD-FAIL ENTER  -  -
LABEL     T2.2_S1
JMP      UNC    SCR    100
LABEL     T2.2_C1
REM1
REM       SET UP CODE 7070707 THEN APPLY GO-AROUND
REM2
CALL      UNC    SET7070707 FIRST-LINE NOT-PRINT
CALL      UNC    GO-AROUND  FIRST-LINE NOT-PRINT
REM1
PRN_LINE   AFTER SHORT DELAY VERIFY LR6, LR7 AND LR15 ALL AT 0_V
PRN_LINE   STEP 221100
REM2
WAIT_SEC   2
LOADF     RESULTS 1
REM1
PRN_LINE   VERIFY LR6 AT 0_V
REM2
M_VDC     LR6-2159 UR7-2160 B(1)      0a2_VDC
JMP      SUC    LINE  T2.2_C2
LOADF     RESULTS -1
LABEL     T2.2_C2

```

## ANEXA 1

Secvențele de testare ale testelor din blocul 2.0-CPU-RAM-CHECKS pentru unitatea  
AUTOTHROTTLE tip 10-62017-21 pentru avioanele Boeing 737-500 produs de  
firma Smith Industries Aerospace

```

REM1
PRN_LINE  VERIFY LR7 AT 0_V
REM2
M_VDC    LR7-2163 UR7-2164 B(2)      0a2_VDC
JMP      SUC    LINE  T2.2_C3
LOADF    RESLTS  -1
LABEL    T2.2_C3
REM1
PRN_LINE  VERIFY LR15 AT 0_V
REM2
M_VDC    LR15-2167 UR7-2168 B(3)      0a2_VDC
JMP      SUC    LINE  T2.2_C4
LOADF    RESLTS  -1
LABEL    T2.2_C4
CMPJMP   EQ     RESLTS  1      T2.2_C8
REM1
PRN_LINE  TEST FAILED GIVE DIAGNOSTICS  STEP 222000
PRN_LINE  : RAM DECODE BOARD SUSPECT AT FOLOWING LOCATIONS
REM2
CMPJMP   LESS  B(1)  2      T2.2_C5
REM1
PRN_LINE  LOCATION C3
REM2
LABEL    T2.2_C5
CMPJMP   LESS  B(2)  2      T2.2_C6
REM1
PRN_LINE  LOCATION C2
REM2
LABEL    T2.2_C6
CMPJMP   LESS  B(3)  2      T2.2_C7
REM1
PRN_LINE  LOCATION C1
REM2
LABEL    T2.2_C7
LOADF    TRBL_LINE 15
JMP      UNC    WHERE_JMP VALUE_JMP
LABEL    T2.2_C8
REM1
REM      REMOVE 'SET-7070707'
REM2
CON      LR22-GND
CON      LL22-GND
CON      LR37-GND
DISCON   LL36-28V
DISCON   UL3-28V
DISCON   UL2-28V
DISCON   LL2-28V
DISCON   UL53-28V
DISCON   UL32-28V
DISCON   UL35-28V
DISCON   UL34-28V
DISCON   UL25-28V
CALL     UNC    REMOVE ALL FIRST-LINE NOT-PRINT
NOP

```

```

REM1
PRN_LINE  2.3 STORE RAM LOWER
REM2
LOADF    TEST_NAME 17
SCREEN_R  DISP-SCR SHOW  -  -
DISP_LINE 8    2    4    TESTS.HDR
DISP_LINE 11   3    4    TESTS.HDR
WAIT_SEC  3
REM1
PRN_LINE  BLOCK 2.3 STORE RAM LOWER  STEP 230000
REM      THIS BLOCK CARRIES OUT THE STORE RAM LOWER TEST.
REM2
REM1
REM      INITIALISE UUT.
REM      ABORT TESTING IF FAILURE OCCURS.
REM2

```

## ANEXA 1

Secvențele de testare ale testelor din blocul 2.0-CPU-RAM-CHECKS pentru unitatea  
AUTOTHROTTLE tip 10-62017-21 pentru avioanele Boeing 737-500 produs de  
firma Smith Industries Aerospace

```

REM1
REM  APPLICATION OF PULLUP AND PULLDOWN LOADS
REM2
CALL  UNC  PULLUP&DW  FIRST-LINE NOT-PRINT
REM1
REM  CONNECT MOTORS
REM2
CALL  UNC  CON-MOT  FIRST-LINE NOT-PRINT
REM1
REM  PERFORM 'POWER UP'
REM2
CALL  UNC  POWER UP  FIRST-LINE NOT-PRINT
REM1
REM  DOWNLOAD 'STORE RAM LOWER' INTO UUT
REM  OPTION = 3. STORE RAM LOWER
REM2
DISP_LINE 32  5  20  MSG HDR
LOADF  OPTION 3
CALL  UNC  PLOAD  NOT-PRINT FIRST-LINE
SCREEN_R  DISP-SCR  SHOW  -  -
DISP_LINE 8  2  4  TESTS.HDR
DISP_LINE 11  3  4  TESTS HDR
REM1
REM  VERIFY DOWNLOAD LOAD INTO UUT OK , 'PL-FLAG'=1
REM  IF FAIL INDICATE SO AND ABORT TEST.
REM2
CMPJMP  EQ  PL-FLAG 1  T2.3_C1
REM1
PRN_LINE  PROGRAMME DOWNLOAD FAILED
REM2
CALL  UNC  REMOVE ALL FIRST-LINE NOT-PRINT
BEEP  1
SCREEN_R  MSG-SCR  SHOW  -  -
DISP_LINE 2  2  4  TESTS HDR
DISP_LINE 7  3  4  TESTS.HDR
DISP_LINE 9  4  25  MSG.HDR
DISP_LINE 2  5  25  MSG.HDR
SCREEN_R  MSG-SCR  ENTER  -  123456
CMPJMP  NE  COND_JMP ON-FAIL T2.3_S1
SCREEN_R  LOAD-FAIL ENTER  -  -
LABEL  T2.3_S1
JMP  UNC  SCR  100
LABEL  T2.3_C1
REM1
REM  SET UP CODE 7070707 THEN APPLY GO-AROUND
REM2
CALL  UNC  SET7070707 FIRST-LINE NOT-PRINT
CALL  UNC  GO-AROUND FIRST-LINE NOT-PRINT
REM1
PRN_LINE  AFTER SHORT DELAY VERIFY LR6, LR7 AND LR15 ALL AT 0_V
PRN_LINE  STEP 231100
REM2
WAIT_SEC 2
LOADF  RESLTS 1
REM1
PRN_LINE  VERIFY LR6 AT 0_V
REM2
M_VDC  LR6-2159 UR7-2160 B(1) 0a2_VDC
JMP  SUC  LINE  T2.3_C2
LOADF  RESLTS -1
LABEL  T2.3_C2
REM1
PRN_LINE  VERIFY LR7 AT 0_V
REM2
M_VDC  LR7-2163 UR7-2164 B(2) 0a2_VDC
JMP  SUC  LINE  T2.3_C3
LOADF  RESLTS -1
LABEL  T2.3_C3
REM1
PRN_LINE  VERIFY LR15 AT 0_V
REM2
M_VDC  LR15-2167 UR7-2168 B(3) 0a2_VDC
JMP  SUC  LINE  T2.3_C4

```

## ANEXA 1

Secvențele de testare ale testelor din blocul 2.0-CPU-RAM-CHECKS pentru unitatea  
AUTOTHROTTLE tip 10-62017-21 pentru avioanele Boeing 737-500 produs de  
firma Smith Industries Aerospace

```

LOADF  RESULTS  -1
LABEL  T2.3_C4
CMPJMP EQ      RESULTS  1      T2.3_C8
REM1
PRN_LINE  TEST FAILED GIVE DIAGNOSTICS      STEP 232000
PRN_LINE  RAM DECODE BOARD SUSPECT AT FOLOWING LOCATIONS
REM2
CMPJMP  LESS  B(1)  2      T2.3_C5
REM1
PRN_LINE  LOCATION C3
REM2
LABEL  T2.3_C5
CMPJMP  LESS  B(2)  2      T2.3_C6
REM1
PRN_LINE  LOCATION C2
REM2
LABEL  T2.3_C6
CMPJMP  LESS  B(3)  2      T2.3_C7
REM1
PRN_LINE  LOCATION C1
REM2
LABEL  T2.3_C7
LOADF  TRBL_LINE 18
JMP    UNC  WHERE_JMP VALUE_JMP
LABEL  T2.3_C8
REM1
REM  REMOVE 'SET-7070707'
REM2
CON    LR22-GND
CON    LL22-GND
CON    LR37-GND
DISCON LL36-28V
DISCON UL3-28V
DISCON UL2-28V
DISCON LL2-28V
DISCON UL53-28V
DISCON UL32-28V
DISCON UL35-28V
DISCON UL34-28V
DISCON UL25-28V
CALL  UNC  REMOVE ALL FIRST-LINE NOT-PRINT
NOP

REM1
PRN_LINE  2.4 STORE PROGRAMME CONTENTS
REM2
LOADF  TEST_NAME 20
SCREEN_R  DISP-SCR  SHOW  -  -
DISP_LINE  8      2      4      TESTS.HDR
DISP_LINE  12     3      4      TESTS.HDR
WAIT_SEC  3
REM1
PRN_LINE  BLOCK 2.4 STORE PROGRAMME CONTENTS  STEP 240000
REM  THIS BLOCK CARRIES OUT THE STORE PROGRAMME CONTENTS
REM  TEST.
REM2
REM1
REM  INITIALISE UUT.
REM  ABORT TESTING IF FAILURE OCCURS.
REM2
REM1
REM  APPLICATION OF PULLUP AND PULLDOWN LOADS
REM2
CALL  UNC  PULLUP&DW FIRST-LINE NOT-PRINT
REM1
REM  CONNECT MOTORS
REM2
CALL  UNC  CON-MOT FIRST-LINE NOT-PRINT
REM1
REM  PERFORM 'POWER UP'
REM2
CALL  UNC  POWER UP FIRST-LINE NOT-PRINT

```



## ANEXA 1

Secvențele de testare ale testelor din blocul 2.0-CPU-RAM-CHECKS pentru unitatea  
AUTOTHROTTLE tip 10-62017-21 pentru avioanele Boeing 737-500 produs de  
firma Smith Industries Aerospace

```

REM1
REM   DOWNLOAD 'STORE PROGRAMME CONTENTS' INTO UUT
REM   OPTION = 4. STORE PROGRAMME CONTENTS
REM2
DISP_LINE 32  5  20  MSG HDR
LOADF  OPTION 4
CALL  UNC  PLOAD  NOT-PRINT FIRST-LINE
SCREEN_R  DISP-SCR SHOW  -  -
DISP_LINE 8  2  4  TESTS.HDR
DISP_LINE 12 3  4  TESTS.HDR
REM1
REM   VERIFY DOWNLOAD LOAD INTO UUT OK, 'PL-FLAG'=1
REM   IF FAIL INDICATE SO AND ABORT TEST.
REM2
CMPJMP  EQ  PL-FLAG 1  T2.4_C1
REM1
PRN_LINE  PROGRAMME DOWNLOAD FAILED
REM2
CALL  UNC  REMOVE ALL FIRST-LINE NOT-PRINT
BEEP  1
SCREEN_R  MSG-SCR SHOW  -  -
DISP_LINE 8  2  4  TESTS.HDR
DISP_LINE 12 3  4  TESTS.HDR
DISP_LINE 9  4  25  MSG.HDR
DISP_LINE 2  5  25  MSG.HDR
SCREEN_R  MSG-SCR ENTER  -  123456
CMPJMP  NE  COND_JMP ON-FAIL T2.4_S1
SCREEN_R  LOAD-FAIL ENTER  -  -
LABEL  T2.4_S1
JMP  UNC  SCR  100
LABEL  T2.4_C1
REM1
REM   LENGTHS OF ALL CRC CHECKS ARE THE SAME (I.E.040000)
REM   SO SET THE INPUTS UP TO THIS.
REM2
CON  UL3-28V
REM1
PRN_LINE  CHECK OUTPUTS FOR BOTH BANKS (0 AND 1). STEP 246000
REM2
REM1
PRN_LINE  BANK 0
REM2
CALL  UNC  GO-AROUND FIRST-LINE NOT-PRINT
REM1
PRN_LINE  BANK 0, LR10 < -5V IMMEDIATELY AFTER GO-AROUND.
REM2
M_VDC  LR10-2134 UR7-2135 =  <-5_VDC
JMP  SUC  LINE  T2.4_C2
REM1
PRN_LINE  BANK 0 SELECTED, LR10 CHECK FAILED,
PRN_LINE  LR10 GREATER -5_VDC IMMEDIATELY AFTER GO-AROUND.
REM2
CALL  UNC  REMOVE ALL FIRST-LINE NOT-PRINT
BEEP  1
SCREEN_R  MSG-SCR SHOW  -  -
DISP_LINE 2  2  4  TESTS.HDR
DISP_LINE 7  3  4  TESTS.HDR
DISP_LINE 14 4  25  MSG.HDR
DISP_LINE 2  5  25  MSG.HDR
SCREEN_R  MSG-SCR ENTER  -  123456
LOADF  TRBL_LINE 21
JMP  UNC  WHERE_JMP VALUE_JMP
JMP  UNC  SCR  100
LABEL  T2.4_C2
REM1
PRN_LINE  BANK 0, LR10 > +5V WITHIN 20 SECONDS AFTER GO-AROUND.
REM2
ELAPS_TIME 0  0
LABEL  T2.4_L1
CON_MAT  DMM  LR10-2134 UR7-2135
READ_DMM  VDC  MEAS_VOLT
DISCON_MAT DMM  LR10-2134 UR7-2135
ELAPS_TIME 1  TIME

```

ANEXA I

Secvențele de testare ale testelor din blocul 2.0-CPU-RAM-CHECKS pentru unitatea AUTOTHROTTLE tip 10-62017-21 pentru avioanele Boeing 737-500 produs de firma Smith Industries Aerospace

```

CMPJMP  GREATER TIME 20 T2.4_C3
CMPJMP  GREATER MEAS_VOLT 5 T2.4_C4
JMP  UNC LINE T2.4_L1
LABEL  T2.4_C3
BETWEEN 5 MEAS_VOLT 50 LOG
REM1
PRN_LINE  BANK 0 SELECTED, LR10 CHECK FAILED,
PRN_LINE  20 SECONDS AFTER GO-AROUND LR10 STILL NOT ABOVE +5_V
REM2
CALL  UNC REMOVE ALL FIRST-LINE NOT-PRINT
BEEP  1
SCREEN_R  MSG-SCR SHOW - -
DISP_LINE 2 2 4 TESTS.HDR
DISP_LINE 7 3 4 TESTS.HDR
DISP_LINE 14 4 25 MSG.HDR
DISP_LINE 2 5 25 MSG.HDR
SCREEN_R  MSG-SCR ENTER - 123456
LOADF  TRBL_LINE 21
JMP  UNC WHERE_JMP VALUE_JMP
JMP  UNC SCR 100
LABEL  T2.4_C4
BETWEEN 5 MEAS_VOLT 50 LOG
REM1
PRN_LINE  VERIFY OUTPUT WORD BIT FOR BANK 0 STEP 248000
PRN_LINE  OFF=28_VDC
PRN_LINE  ON=0_VDC
REM2
REM1
PRN_LINE  VERIFY BIT 20 (MSB) OF BANK 0 IS ON
REM2
M_VDC  LR45-1130 UR7-1131 = 0n2_VDC
LOADF  TRBL_LINE 21
JMP  COND_JMP WHERE_JMP VALUE_JMP
REM1
PRN_LINE  VERIFY BIT 19 OF BANK 0 IS OFF
REM2
M_VDC  LR46-1134 UR7-1135 = 28n2_VDC
LOADF  TRBL_LINE 21
JMP  COND_JMP WHERE_JMP VALUE_JMP
REM1
PRN_LINE  VERIFY BIT 18 OF BANK 0 IS OFF
REM2
M_VDC  LR23-1138 UR7-1139 = 28n2_VDC
LOADF  TRBL_LINE 21
JMP  COND_JMP WHERE_JMP VALUE_JMP
REM1
PRN_LINE  VERIFY BIT 17 OF BANK 0 IS ON
REM2
M_VDC  LL23-1142 UR7-1143 = 0n2_VDC
LOADF  TRBL_LINE 21
JMP  COND_JMP WHERE_JMP VALUE_JMP
REM1
PRN_LINE  VERIFY BIT 16 OF BANK 0 IS OFF
REM2
M_VDC  LR6-2159 UR7-2160 = 28n2_VDC
LOADF  TRBL_LINE 21
JMP  COND_JMP WHERE_JMP VALUE_JMP
REM1
PRN_LINE  VERIFY BIT 15 OF BANK 0 IS ON
REM2
M_VDC  LR7-2163 UR7-2164 = 0n2_VDC
LOADF  TRBL_LINE 21
JMP  COND_JMP WHERE_JMP VALUE_JMP
REM1
PRN_LINE  VERIFY BIT 14 OF BANK 0 IS ON
REM2
M_VDC  LR15-2167 UR7-2168 = 0n2_VDC
LOADF  TRBL_LINE 21
JMP  COND_JMP WHERE_JMP VALUE_JMP
REM1
PRN_LINE  VERIFY BIT 13 OF BANK 0 IS OFF
REM2
M_VDC  LR44-1163 UR7-1164 = 28n2_VDC

```

## ANEXA 1

### Secvențele de testare ale testelor din blocul 2.0-CPU-RAM-CHECKS pentru unitatea AUTOTHROTTLE tip 10-62017-21 pentru avioanele Boeing 737-500 produs de firma Smith Industries Aerospace

```

LOADF   TRBL_LINE 21
JMP     COND_JMP WHERE_JMP VALUE_JMP
REM1
PRN_LINE  VERIFY BIT 12 OF BANK 0 IS OFF
REM2
M_VDC   LR36-1167 UR7-1168 =          28a2_VDC
LOADF   TRBL_LINE 21
JMP     COND_JMP WHERE_JMP VALUE_JMP
REM1
PRN_LINE  VERIFY BIT 11 OF BANK 0 IS ON
REM2
M_VDC   LR43-1171 UR7-1172 =          0a2_VDC
LOADF   TRBL_LINE 21
JMP     COND_JMP WHERE_JMP VALUE_JMP
REM1
PRN_LINE  VERIFY BIT 10 OF BANK 0 IS ON
REM2
M_VDC   LR26-2001 UR7-2002 =          0a2_VDC
LOADF   TRBL_LINE 21
JMP     COND_JMP WHERE_JMP VALUE_JMP
REM1
PRN_LINE  VERIFY BIT 9 OF BANK 0 IS ON
REM2
M_VDC   LR14-2005 UR7-2006 =          0a2_VDC
LOADF   TRBL_LINE 21
JMP     COND_JMP WHERE_JMP VALUE_JMP
REM1
PRN_LINE  VERIFY BIT 8 OF BANK 0 IS OFF
REM2
M_VDC   LR33-2009 UR7-2010 =          28a2_VDC
LOADF   TRBL_LINE 21
JMP     COND_JMP WHERE_JMP VALUE_JMP
REM1
PRN_LINE  VERIFY BIT 7 OF BANK 0 IS OFF
REM2
M_VDC   LR24-2013 UR7-2014 =          28a2_VDC
LOADF   TRBL_LINE 21
JMP     COND_JMP WHERE_JMP VALUE_JMP
REM1
PRN_LINE  VERIFY BIT 6 OF BANK 0 IS ON
REM2
M_VDC   LR35-2017 UR7-2018 =          0a2_VDC
LOADF   TRBL_LINE 21
JMP     COND_JMP WHERE_JMP VALUE_JMP
REM1
PRN_LINE  VERIFY BIT 5 OF BANK 0 IS OFF
REM2
M_VDC   LR34-2026 UR7-2027 =          28a2_VDC
LOADF   TRBL_LINE 21
JMP     COND_JMP WHERE_JMP VALUE_JMP
REM1
PRN_LINE  VERIFY BIT 4 OF BANK 0 IS ON
REM2
M_VDC   LR25-2030 UR7-2031 =          0a2_VDC
LOADF   TRBL_LINE 21
JMP     COND_JMP WHERE_JMP VALUE_JMP
REM1
PRN_LINE  VERIFY BIT 3 OF BANK 0 IS OFF
REM2
M_VDC   LR32-2034 UR7-2035 =          28a2_VDC
LOADF   TRBL_LINE 21
JMP     COND_JMP WHERE_JMP VALUE_JMP
REM1
PRN_LINE  VERIFY BIT 2 OF BANK 0 IS ON
REM2
M_VDC   UR12-2038 UR7-2039 =          0a2_VDC
LOADF   TRBL_LINE 21
JMP     COND_JMP WHERE_JMP VALUE_JMP
REM1
PRN_LINE  VERIFY BIT 1 (LSB) OF BANK 0 IS OFF
REM2
M_VDC   UR16-2042 UR7-2043 =          28a2_VDC
LOADF   TRBL_LINE 21

```

## ANEXA 1

### Secvențele de testare ale testelor din blocul 2.0-CPU-RAM-CHECKS pentru unitatea AUTOTHROTTLE tip 10-62017-21 pentru avioanele Boeing 737-500 produs de firma Smith Industries Aerospace

```

JMP COND_JMP WHERE_JMP VALUE_JMP
REM1
PRN_LINE BANK 1
REM2
CON LL4-GND
CALL UNC GO-AROUND FIRST-LINE NOT-PRINT
REM1
PRN_LINE BANK 1, LR10 < -5V IMMEDIATELY AFTER GO-AROUND.
REM2
M_VDC LR10-2134 UR7-2135 = <-5_VDC
JMP SUC LINE T2_4_C5
REM1
PRN_LINE BANK 1 SELECTED, LR10 CHECK FAILED,
PRN_LINE LR10 GREATER -5_VDC IMMEDIATELY AFTER GO-AROUND.
REM2
CALL UNC REMOVE ALL FIRST-LINE NOT-PRINT
BEEP 1
SCREEN_R MSG-SCR SHOW - -
DISP_LINE 2 2 4 TESTS.HDR
DISP_LINE 7 3 4 TESTS.HDR
DISP_LINE 14 4 25 MSG.HDR
DISP_LINE 2 5 25 MSG.HDR
SCREEN_R MSG-SCR ENTER - 123456
LOADF TRBL_LINE 21
JMP UNC WHERE_JMP VALUE_JMP
JMP UNC SCR 100
LABEL T2_4_C5
REM1
PRN_LINE BANK 1, LR10 > +5V WITHIN 20 SECONDS AFTER GO-AROUND.
REM2
ELAPS_TIME 0 0
LABEL T2_4_L2
CON_MAT DMM LR10-2134 UR7-2135
READ_DMM VDC MEAS_VOLT
DISCON_MAT DMM LR10-2134 UR7-2135
ELAPS_TIME 1 TIME
CMPJMP GREATER TIME 20 T2_4_C6
CMPJMP GREATER MEAS_VOLT 5 T2_4_C7
JMP UNC LINE T2_4_L2
LABEL T2_4_C6
BETWEEN 5 MEAS_VOLT 50 LOG
REM1
PRN_LINE BANK 1 SELECTED, LR10 CHECK FAILED,
PRN_LINE 20 SECONDS AFTER GO-AROUND LR10 STILL NOT ABOVE +5_V
REM2
CALL UNC REMOVE ALL FIRST-LINE NOT-PRINT
BEEP 1
SCREEN_R MSG-SCR SHOW - -
DISP_LINE 2 2 4 TESTS.HDR
DISP_LINE 7 3 4 TESTS.HDR
DISP_LINE 14 4 25 MSG.HDR
DISP_LINE 2 5 25 MSG.HDR
SCREEN_R MSG-SCR ENTER - 123456
LOADF TRBL_LINE 21
JMP UNC WHERE_JMP VALUE_JMP
JMP UNC SCR 100
LABEL T2_4_C7
BETWEEN 5 MEAS_VOLT 50 LOG
REM1
PRN_LINE VERIFY OUTPUT WORD BIT FOR BANK 1 STEP 248000
PRN_LINE OFF=28_VDC
PRN_LINE ON=0_VDC
REM2
REM1
PRN_LINE VERIFY BIT 20 (MSB) OF BANK 1 IS OFF
REM2
M_VDC LR45-1130 UR7-1131 = 28n2_VDC
LOADF TRBL_LINE 21
JMP COND_JMP WHERE_JMP VALUE_JMP
REM1
PRN_LINE VERIFY BIT 19 OF BANK 1 IS ON
REM2
M_VDC LR46-1134 UR7-1135 = 0n2_VDC

```

ANEXA 1

Secvențele de testare ale testelor din blocul 2.0-CPU-RAM-CHECKS pentru unitatea  
AUTOTHROTTLE tip 10-62017-21 pentru avioanele Boeing 737-500 produs de  
firma Smith Industries Aerospace

```

LOADF  TRBL_LINE 21
JMP    COND_JMP WHERE_JMP VALUE_JMP
REM1
PRN_LINE  VERIFY BIT 18 OF BANK 1 IS OFF
REM2
M_VDC   LR23-1138 UR7-1139 =          28n2_VDC
LOADF  TRBL_LINE 21
JMP    COND_JMP WHERE_JMP VALUE_JMP
REM1
PRN_LINE  VERIFY BIT 17 OF BANK 1 IS ON
REM2
M_VDC   LL23-1142 UR7-1143 =          0n2_VDC
LOADF  TRBL_LINE 21
JMP    COND_JMP WHERE_JMP VALUE_JMP
REM1
PRN_LINE  VERIFY BIT 16 OF BANK 1 IS OFF
REM2
M_VDC   LR6-2159 UR7-2160 =          28n2_VDC
LOADF  TRBL_LINE 21
JMP    COND_JMP WHERE_JMP VALUE_JMP
REM1
PRN_LINE  VERIFY BIT 15 OF BANK 1 IS ON
REM2
M_VDC   LR7-2163 UR7-2164 =          0n2_VDC
LOADF  TRBL_LINE 21
JMP    COND_JMP WHERE_JMP VALUE_JMP
REM1
PRN_LINE  VERIFY BIT 14 OF BANK 1 IS ON
REM2
M_VDC   LR15-2167 UR7-2168 =          0n2_VDC
LOADF  TRBL_LINE 21
JMP    COND_JMP WHERE_JMP VALUE_JMP
REM1
PRN_LINE  VERIFY BIT 13 OF BANK 1 IS ON
REM2
M_VDC   LR44-1163 UR7-1164 =          0n2_VDC
LOADF  TRBL_LINE 21
JMP    COND_JMP WHERE_JMP VALUE_JMP
REM1
PRN_LINE  VERIFY BIT 12 OF BANK 1 IS ON
REM2
M_VDC   LR36-1167 UR7-1168 =          0n2_VDC
LOADF  TRBL_LINE 21
JMP    COND_JMP WHERE_JMP VALUE_JMP
REM1
PRN_LINE  VERIFY BIT 11 OF BANK 1 IS ON
REM2
M_VDC   LR43-1171 UR7-1172 =          0n2_VDC
LOADF  TRBL_LINE 21
JMP    COND_JMP WHERE_JMP VALUE_JMP
REM1
PRN_LINE  VERIFY BIT 10 OF BANK 1 IS ON
REM2
M_VDC   LR26-2001 UR7-2002 =          0n2_VDC
LOADF  TRBL_LINE 21
JMP    COND_JMP WHERE_JMP VALUE_JMP
REM1
PRN_LINE  VERIFY BIT 9 OF BANK 1 IS ON
REM2
M_VDC   LR14-2005 UR7-2006 =          0n2_VDC
LOADF  TRBL_LINE 21
JMP    COND_JMP WHERE_JMP VALUE_JMP
REM1
PRN_LINE  VERIFY BIT 8 OF BANK 1 IS OFF
REM2
M_VDC   LR33-2009 UR7-2010 =          28n2_VDC
LOADF  TRBL_LINE 21
JMP    COND_JMP WHERE_JMP VALUE_JMP
REM1
PRN_LINE  VERIFY BIT 7 OF BANK 1 IS ON
REM2
M_VDC   LR24-2013 UR7-2014 =          0n2_VDC
LOADF  TRBL_LINE 21

```

## ANEXA 1

### Secvențele de testare ale testelor din blocul 2.0-CPU-RAM-CHECKS pentru unitatea AUTOTHROTTLE tip 10-62017-21 pentru avioanele Boeing 737-500 produs de firma Smith Industries Aerospace

```
JMP    COND_JMP WHERE_JMP VALUE_JMP
REM1
PRN_LINE  VERIFY BIT 6 OF BANK 1 IS OFF
REM2
M_VDC    LR35-2017 UR7-2018 =          28n2_VDC
LOADF    TRBL_LINE 21
JMP    COND_JMP WHERE_JMP VALUE_JMP
REM1
PRN_LINE  VERIFY BIT 5 OF BANK 1 IS OFF
REM2
M_VDC    LR34-2026 UR7-2027 =          28n2_VDC
LOADF    TRBL_LINE 21
JMP    COND_JMP WHERE_JMP VALUE_JMP
REM1
PRN_LINE  VERIFY BIT 4 OF BANK 1 IS OFF
REM2
M_VDC    LR25-2030 UR7-2031 =          28n2_VDC
LOADF    TRBL_LINE 21
JMP    COND_JMP WHERE_JMP VALUE_JMP
REM1
PRN_LINE  VERIFY BIT 3 OF BANK 1 IS OFF
REM2
M_VDC    LR32-2034 UR7-2035 =          28n2_VDC
LOADF    TRBL_LINE 21
JMP    COND_JMP WHERE_JMP VALUE_JMP
REM1
PRN_LINE  VERIFY BIT 2 OF BANK 1 IS OFF
REM2
M_VDC    UR12-2038 UR7-2039 =          28n2_VDC
LOADF    TRBL_LINE 21
JMP    COND_JMP WHERE_JMP VALUE_JMP
REM1
PRN_LINE  VERIFY BIT 1 (LSB) OF BANK 1 IS OFF
REM2
M_VDC    UR16-2042 UR7-2043 =          28n2_VDC
LOADF    TRBL_LINE 21
JMP    COND_JMP WHERE_JMP VALUE_JMP
DISCON    LL4-GND
DISCON    UL3-28V
CALL    UNC    REMOVE ALL FIRST-LINE NOT-PRINT
NOP
```

## ANEXA 1

### Raport de testare pentru blocul 2.0-CPU-RAM-CHECKS pentru unitatea AUTOTHROTTLE tip 10-62017-21 pentru avioanele Boeing 737-500 produs de firma Smith Industries Aerospace

UUT NAME: AUTOTHROTTLE  
 UUT P/N:  
 UUT S/N:  
 TAIL NO:  
 TPS VERSION: V1.0  
 OPERATOR NAME:  
 DATE: 12-17-1997  
 ATS S/N:

LINE COMMAND PRM 1/3 PRM 2/4 UNIT MINIMUM RESULT MAXIMUM  
**TEST CHAPTER: 2.1 CPU-USTEP**

**2.1 CPU MICROSTEP**  
**BLOCK 2.1 CPU MICROSTEP** STEP 210000  
 VERIFY WORDS 220 AND 240 BITS 15 THROUGH 4 ALL ON  
 STEP 211000  
 VERIFY BIT 15 OF WORD 220 IS ON .  
 69 M\_VDC LL6-1109 UR7-1110 VOLT 25 26.112421 31-  
 =  
 VERIFY BIT 14 OF WORD 220 IS ON  
 76 M\_VDC LR38-1113 UR7-1114 VOLT 25 26.8395443 31-  
 =  
 VERIFY BIT 13 OF WORD 220 IS ON .  
 83 M\_VDC LR28-1117 UR7-1118 VOLT 25 26.8419495 31-  
 =  
 VERIFY BIT 12 OF WORD 220 IS ON .  
 90 M\_VDC LR27-1126 UR7-1127 VOLT 25 26.8456097 31-  
 =  
 VERIFY BIT 11 OF WORD 220 IS ON .  
 97 M\_VDC LR45-1130 UR7-1131 VOLT -3 0.73245 3-  
 =  
 VERIFY BIT 10 OF WORD 220 IS ON  
 104 M\_VDC LR46-1134 UR7-1135 VOLT -3 0.7358608 3-  
 =  
 VERIFY BIT 9 OF WORD 220 IS ON .  
 111 M\_VDC LR23-1138 UR7-1139 VOLT -3 0.7368449 3-  
 =  
 VERIFY BIT 8 OF WORD 220 IS ON .  
 118 M\_VDC LL23-1142 UR7-1143 VOLT -3 0.7322261 3-  
 =  
 VERIFY BIT 15 OF WORD 240 IS ON .  
 125 M\_VDC LR6-2159 UR7-2160 VOLT -3 0.738808 3-  
 =  
 VERIFY BIT 14 OF WORD 240 IS ON  
 132 M\_VDC LR7-2163 UR7-2164 VOLT -3 0.7364804 3-  
 =  
 VERIFY BIT 13 OF WORD 240 IS ON .  
 139 M\_VDC LR15-2167 UR7-2168 VOLT -3 0.7384716 3-  
 =  
 VERIFY BIT 12 OF WORD 240 IS ON .  
 146 M\_VDC LR44-1163 UR7-1164 VOLT -3 0.7470198 3-  
 =  
 VERIFY BIT 11 OF WORD 240 IS ON  
 153 M\_VDC LR36-1167 UR7-1168 VOLT -3 0.731269 3-  
 =  
 VERIFY BIT 10 OF WORD 240 IS ON .  
 160 M\_VDC LR43-1171 UR7-1172 VOLT -3 0.7345287 3-  
 =  
 VERIFY BIT 9 OF WORD 240 IS ON .  
 167 M\_VDC LR26-2001 UR7-2002 VOLT -3 0.7373979 3-  
 =  
 VERIFY BIT 8 OF WORD 240 IS ON .  
 174 M\_VDC LR14-2005 UR7-2006 VOLT -3 0.732877 3-  
 =  
 VERIFY BIT 7 OF WORD 240 IS ON .  
 181 M\_VDC LR33-2009 UR7-2010 VOLT -3 0.7390559 3-  
 =  
 VERIFY BIT 6 OF WORD 240 IS ON .  
 188 M\_VDC LR24-2013 UR7-2014 VOLT -3 0.7404972 3-  
 =  
 VERIFY BIT 5 OF WORD 240 IS ON .

## ANEXA 1

Raport de testare pentru blocul 2.0-CPU-RAM-CHECKS pentru unitatea  
AUTOTHROTTLE tip 10-62017-21 pentru avioanele Boeing 737-500 produs de  
firma Smith Industries Aerospace

195	M_VDC	LR35-2017	UR7-2018	VOLT	-3 0.7293049	3-
=						
VERIFY BIT 4 OF WORD 240 IS ON .						
202	M_VDC	LR34-2026	UR7-2027	VOLT	-3 0.733178	3-
=						
VERIFY BIT 7 OF WORD 220 IS ON .						
209	M_VDC	LR25-2030	UR7-2031	VOLT	-3 0.7295308	3-
=						
VERIFY BIT 6 OF WORD 220 IS ON .						
216	M_VDC	LR32-2034	UR7-2035	VOLT	-3 0.7451702	3-
=						
VERIFY BIT 5 OF WORD 220 IS ON .						
223	M_VDC	UR12-2038	UR7-2039	VOLT	-3 0.7312242	3-
=						
VERIFY BIT 4 OF WORD 220 IS ON .						
230	M_VDC	UR16-2042	UR7-2043	VOLT	-3 0.7355608	3-
=						
CHECK FOR INITIATION OF CPU COUNT, LR43 AND LR6 SHOULD BOTH BE 28a2_VDC. STEP 212220						
VERIFY BIT 10 OF WORD 240 IS OFF						
271	M_VDC	LR43-1171	UR7-1172	VOLT	26 27.8678493	30-
=						
VERIFY BIT 15 OF WORD 240 IS OFF .						
278	M_VDC	LR6-2159	UR7-2160	VOLT	26 27.847353	30-
=						
VERIFY WORDS 220 AND 240 BITS 15 THROUGH 4 ALL ON STEP 213000						
VERIFY BIT 15 OF WORD 220 IS ON .						
321	M_VDC	LL6-1109	UR7-1110	VOLT	25 26.1604214	31-
=						
VERIFY BIT 14 OF WORD 220 IS ON .						
328	M_VDC	LR38-1113	UR7-1114	VOLT	25 26.8843021	31-
=						
VERIFY BIT 13 OF WORD 220 IS ON .						
335	M_VDC	LR28-1117	UR7-1118	VOLT	25 26.8868122	31-
=						
VERIFY BIT 12 OF WORD 220 IS ON .						
342	M_VDC	LR27-1126	UR7-1127	VOLT	25 26.8901596	31-
=						
VERIFY BIT 11 OF WORD 220 IS ON .						
349	M_VDC	LR45-1130	UR7-1131	VOLT	-3 0.7287195	3-
=						
VERIFY BIT 10 OF WORD 220 IS ON .						
356	M_VDC	LR46-1134	UR7-1135	VOLT	-3 0.7331102	3-
=						
VERIFY BIT 9 OF WORD 220 IS ON .						
363	M_VDC	LR23-1138	UR7-1139	VOLT	-3 0.7341257	3-
=						
VERIFY BIT 8 OF WORD 220 IS ON .						
370	M_VDC	LL23-1142	UR7-1143	VOLT	-3 0.7286966	3-
=						
VERIFY BIT 15 OF WORD 240 IS ON .						
377	M_VDC	LR6-2159	UR7-2160	VOLT	-3 0.7359419	3-
=						
VERIFY BIT 14 OF WORD 240 IS ON .						
385	M_VDC	LR7-2163	UR7-2164	VOLT	-3 0.731872	3-
=						
VERIFY BIT 13 OF WORD 240 IS ON .						
393	M_VDC	LR15-2167	UR7-2168	VOLT	-3 0.7345392	3-
=						
VERIFY BIT 12 OF WORD 240 IS ON .						
401	M_VDC	LR44-1163	UR7-1164	VOLT	-3 0.7431404	3-
=						
VERIFY BIT 11 OF WORD 240 IS ON .						
409	M_VDC	LR36-1167	UR7-1168	VOLT	-3 0.7268137	3-
=						
VERIFY BIT 10 OF WORD 240 IS ON .						
417	M_VDC	LR43-1171	UR7-1172	VOLT	-3 0.7317303	3-
=						
VERIFY BIT 9 OF WORD 240 IS ON .						
424	M_VDC	LR26-2001	UR7-2002	VOLT	-3 0.734612	3-



ANEXA 1

Raport de testare pentru blocul 2.0-CPU-RAM-CHECKS pentru unitatea AUTOTHROTTLE tip 10-62017-21 pentru avioanele Boeing 737-500 produs de firma Smith Industries Aerospace

=					
431	M_VDC	LR14-2005	UR7-2006	VOLT	-3 0.7285498 3-
=					
438	M_VDC	LR33-2009	UR7-2010	VOLT	-3 0.7353046 3-
=					
445	M_VDC	LR24-2013	UR7-2014	VOLT	-3 0.7368209 3-
=					
452	M_VDC	LR35-2017	UR7-2018	VOLT	-3 0.7250672 3-
=					
459	M_VDC	LR34-2026	UR7-2027	VOLT	-3 0.7289549 3-
=					
466	M_VDC	LR25-2030	UR7-2031	VOLT	-3 0.7265377 3-
=					
473	M_VDC	LR32-2034	UR7-2035	VOLT	-3 0.7436664 3-
=					
480	M_VDC	UR12-2038	UR7-2039	VOLT	-3 0.7282999 3-
=					
487	M_VDC	UR16-2042	UR7-2043	VOLT	-3 0.7332811 3-
=					
CHECK LR42, LR17 AND LR18					
VERIFY LR42 IS 28_VDC					
499	M_VDC	LR42-2051	UR7-2052	VOLT	25 27.3969402 31-
=					
VERIFY LR17 IS 28_VDC					
507	M_VDC	LR17-2055	UR7-2056	VOLT	25 27.39715 31-
=					
VERIFY LR18 IS 28_VDC					
515	M_VDC	LR18-2059	UR7-2060	VOLT	25 27.3970451 31-
=					
POWER OFF					
<b>TEST CHAPTER: 2.2 STORE-RAM-UPPER</b>					
2.2 STORE RAM UPPER					
BLOCK 2.2 STORE RAM UPPER STEP 220000					
AFTER SHORT DELAY VERIFY LR6, LR7 AND LR15 ALL AT 0_V					
STEP 221100					
VERIFY LR6 AT 0_V					
74	M_VDC	LR6-2159	UR7-2160	VOLT	-2 0.7003402 2-
B(1)					
VERIFY LR7 AT 0_V					
81	M_VDC	LR7-2163	UR7-2164	VOLT	-2 0.6977606 2-
B(2)					
VERIFY LR15 AT 0_V					
88	M_VDC	LR15-2167	UR7-2168	VOLT	-2 0.6993331 2-
B(3)					
POWER OFF					
<b>TEST CHAPTER: 2.3 STORE-RAM-LOWER</b>					
2.3 STORE RAM LOWER					
BLOCK 2.3 STORE RAM LOWER STEP 230000					
AFTER SHORT DELAY VERIFY LR6, LR7 AND LR15 ALL AT 0_V					
STEP 231100					
VERIFY LR6 AT 0_V					
74	M_VDC	LR6-2159	UR7-2160	VOLT	-2 0.6984708 2-
B(1)					
VERIFY LR7 AT 0_V					
81	M_VDC	LR7-2163	UR7-2164	VOLT	-2 0.6958922 2-
B(2)					
VERIFY LR15 AT 0_V					
88	M_VDC	LR15-2167	UR7-2168	VOLT	-2 0.6974835 2-
B(3)					
POWER OFF					
<b>TEST CHAPTER: 2.4 STORE-PRG-CONTS</b>					

ANEXA 1  
 Raport de testare pentru blocul 2.0-CPU-RAM-CHECKS pentru unitatea  
 AUTOTHROTTLE tip 10-62017-21 pentru avioanele Boeing 737-500 produs de  
 firma Smith Industries Aerospace

2.4 STORE PROGRAMME CONTENTS  
 BLOCK 2.4 STORE PROGRAMME CONTENTS STEP 240000  
 CHECK OUTPUTS FOR BOTH BANKS (0 AND 1) STEP 246000  
 BANK 0  
 BANK 0, LR10 < -5V IMMEDIATELY AFTER GO-AROUND  
 76 M\_VDC LR10-2134 UR7-2135 VOLT -50 -10.020056 -5-  
 =  
 BANK 0, LR10 > +5V WITHIN 20 SECONDS AFTER GO-AROUND  
 124 BETWEEN 5 MEAS\_VOLT LOGIC 5 10.0031834 50-  
 50  
 VERIFY OUTPUT WORD BIT FOR BANK 0 STEP 248000  
 OFF=28\_VDC  
 ON=0\_VDC  
 VERIFY BIT 20 (MSB) OF BANK 0 IS ON  
 133 M\_VDC LR45-1130 UR7-1131 VOLT -2 0.707321 2-  
 =  
 VERIFY BIT 19 OF BANK 0 IS OFF  
 139 M\_VDC LR46-1134 UR7-1135 VOLT 26 27.6986446 30-  
 =  
 VERIFY BIT 18 OF BANK 0 IS OFF  
 145 M\_VDC LR23-1138 UR7-1139 VOLT 26 27.6984367 30-  
 =  
 VERIFY BIT 17 OF BANK 0 IS ON  
 151 M\_VDC LL23-1142 UR7-1143 VOLT -2 0.7068336 2-  
 =  
 VERIFY BIT 16 OF BANK 0 IS OFF  
 157 M\_VDC LR6-2159 UR7-2160 VOLT 26 27.7206059 30-  
 =  
 VERIFY BIT 15 OF BANK 0 IS ON  
 163 M\_VDC LR7-2163 UR7-2164 VOLT -2 0.7076824 2-  
 =  
 VERIFY BIT 14 OF BANK 0 IS ON  
 169 M\_VDC LR15-2167 UR7-2168 VOLT -2 0.70933 2-  
 =  
 VERIFY BIT 13 OF BANK 0 IS OFF  
 175 M\_VDC LR44-1163 UR7-1164 VOLT 26 27.7196655 30-  
 =  
 VERIFY BIT 12 OF BANK 0 IS OFF  
 181 M\_VDC LR36-1167 UR7-1168 VOLT 26 27.6959267 30-  
 =  
 VERIFY BIT 11 OF BANK 0 IS ON  
 187 M\_VDC LR43-1171 UR7-1172 VOLT -2 0.7058786 2-  
 =  
 VERIFY BIT 10 OF BANK 0 IS ON  
 193 M\_VDC LR26-2001 UR7-2002 VOLT -2 0.7088832 2-  
 =  
 VERIFY BIT 9 OF BANK 0 IS ON  
 199 M\_VDC LR14-2005 UR7-2006 VOLT -2 0.7042644 2-  
 =  
 VERIFY BIT 8 OF BANK 0 IS OFF  
 205 M\_VDC LR33-2009 UR7-2010 VOLT 26 27.7030373 30-  
 =  
 VERIFY BIT 7 OF BANK 0 IS OFF  
 211 M\_VDC LR24-2013 UR7-2014 VOLT 26 27.7028275 30-  
 =  
 VERIFY BIT 6 OF BANK 0 IS ON  
 217 M\_VDC LR35-2017 UR7-2018 VOLT -2 0.7006401 2-  
 =  
 VERIFY BIT 5 OF BANK 0 IS OFF  
 223 M\_VDC LR34-2026 UR7-2027 VOLT 26 27.7024097 30-  
 =  
 VERIFY BIT 4 OF BANK 0 IS ON  
 229 M\_VDC LR25-2030 UR7-2031 VOLT -2 0.7040603 2-  
 =  
 VERIFY BIT 3 OF BANK 0 IS OFF  
 235 M\_VDC LR32-2034 UR7-2035 VOLT 26 27.6986446 30-  
 =  
 VERIFY BIT 2 OF BANK 0 IS ON  
 241 M\_VDC UR12-2038 UR7-2039 VOLT -2 0.7058349 2-  
 =  
 VERIFY BIT 1 (LSB) OF BANK 0 IS OFF

## ANEXA 1

### Raport de testare pentru blocul 2.0-CPU-RAM-CHECKS pentru unitatea AUTOTHROTTLE tip 10-62017-21 pentru avioanele Boeing 737-500 produs de firma Smith Industries Aerospace

```

247 M_VDC UR16-2042 UR7-2043 VOLT 26 27.7001095 30-
=
BANK 1
BANK 1, LR10 < -5V IMMEDIATELY AFTER GO-AROUND
258 M_VDC LR10-2134 UR7-2135 VOLT -50 -10.019607 -5-
=
BANK 1, LR10 > +5V WITHIN 20 SECONDS AFTER GO-AROUND
306 BETWEEN 5 MEAS_VOLT LOGIC 5 10.0041313 50-
50
VERIFY OUTPUT WORD BIT FOR BANK 1 STEP 248000
OFF=28_VDC
ON=0_VDC
VERIFY BIT 20 (MSB) OF BANK 1 IS OFF
315 M_VDC LR45-1130 UR7-1131 VOLT 26 27.6804485 30-
=
VERIFY BIT 19 OF BANK 1 IS ON
321 M_VDC LR46-1134 UR7-1135 VOLT -2 0.7144393 2-
=
VERIFY BIT 18 OF BANK 1 IS OFF
327 M_VDC LR23-1138 UR7-1139 VOLT 26 27.6796112 30-
=
VERIFY BIT 17 OF BANK 1 IS ON
333 M_VDC LL23-1142 UR7-1143 VOLT -2 0.7064701 2-
=
VERIFY BIT 16 OF BANK 1 IS OFF
339 M_VDC LR6-2159 UR7-2160 VOLT 26 27.6978073 30-
=
VERIFY BIT 15 OF BANK 1 IS ON
345 M_VDC LR7-2163 UR7-2164 VOLT -2 0.7093654 2-
=
VERIFY BIT 14 OF BANK 1 IS ON
351 M_VDC LR15-2167 UR7-2168 VOLT -2 0.7118346 2-
=
VERIFY BIT 13 OF BANK 1 IS ON
357 M_VDC LR44-1163 UR7-1164 VOLT -2 0.7202235 2-
=
VERIFY BIT 12 OF BANK 1 IS ON
363 M_VDC LR36-1167 UR7-1168 VOLT -2 0.7037645 2-
=
VERIFY BIT 11 OF BANK 1 IS ON
369 M_VDC LR43-1171 UR7-1172 VOLT -2 0.7075053 2-
=
VERIFY BIT 10 OF BANK 1 IS ON
375 M_VDC LR26-2001 UR7-2002 VOLT -2 0.7105099 2-
=
VERIFY BIT 9 OF BANK 1 IS ON
381 M_VDC LR14-2005 UR7-2006 VOLT -2 0.705637 2-
=
VERIFY BIT 8 OF BANK 1 IS OFF
387 M_VDC LR33-2009 UR7-2010 VOLT 26 27.6846313 30-
=
VERIFY BIT 7 OF BANK 1 IS ON
393 M_VDC LR24-2013 UR7-2014 VOLT -2 0.7141612 2-
=
VERIFY BIT 6 OF BANK 1 IS OFF
399 M_VDC LR35-2017 UR7-2018 VOLT 26 27.6840038 30-
=
VERIFY BIT 5 OF BANK 1 IS OFF
405 M_VDC LR34-2026 UR7-2027 VOLT 26 27.6844215 30-
=
VERIFY BIT 4 OF BANK 1 IS OFF
411 M_VDC LR25-2030 UR7-2031 VOLT 26 27.6894417 30-
=
VERIFY BIT 3 OF BANK 1 IS OFF
417 M_VDC LR32-2034 UR7-2035 VOLT 26 27.6892338 30-
=
VERIFY BIT 2 OF BANK 1 IS OFF
423 M_VDC UR12-2038 UR7-2039 VOLT 26 27.689024 30-
=
VERIFY BIT 1 (LSB) OF BANK 1 IS OFF
429 M_VDC UR16-2042 UR7-2043 VOLT 26 27.6894417 30-
=
POWER OFF

```

ANEXA 2  
Fragment Exemplu Program ATLAS ACP (Audio Control Panel)

**Fragment ATLAS ACP**

```
000001 BEGIN. ATLAS PROGRAM 'ACP-ATL' S
C S
C S
C S
C S
C 1 0 INTRODUCTION S
C S
C THIS DOCUMENT CONTAINS COMPLETE TEST S
C SPECIFICATIONS WRITTEN IN ARINC 626 ATLAS S
C S
C CMM ATA NUMBER 23-50-42 S
C UUT NAME AUDIO CONTROL PANEL S
C UUT AVTECH P/N 5701-1-1 S
C UUT BOEING P/N S222W101-202 S
C S
C ORIGINATOR TIMTEH LTD S
C S
C S
C ATLAS SUBSET USED STANDARD ATLAS FOR MODULAR TEST S
C (ARINC SPECIFICATION 626-3) S
C S
C ..... S
C S
C REVISION HISTORY S
C S
C S
C REV DATE ENGINEER CHANGE SUMMARY/REASON S
C - - - - - S
C 20/12/96 - S
C S
C ..... S
C S
C 1.1 PURPOSE S
C S
C THE PURPOSE OF THIS DOCUMENT IS TO DELINEATE THE REQUIREMENTS S
C NEEDED TO PERFORM A COMPLETE ACCEPTANCE TEST PROCEDURE (ATP) S
C FOR THE AVTECH 5701-1-1 ACP. S
C S
C 1.2 SCOPE S
C S
C THE TESTS DEFINED BY THIS DOCUMENT SHALL VERIFY THE S
C FUNCTIONALITY OF THE LRU S
C S
C 1.3 APPLICABLE DOCUMENTS S
C S
C 1.3.1 23-50-42 CMM DOCUMENTATION (AVTECH, SEATTLE USA) S
C S
C 1.3.2 TR5701-9 Schematic Tester ACP (AVTECH) S
C S
C 1.3.3 5701-1500 SOFTWARE REQ FOR THE AUDIO CONTROL PANEL S
C of the B777 DIGITAL CONTROL AUDIO SYSTEM S
C AVTECH Part Number 5701-1 S
C S
C 1.4 ACRONYMS USED S
C S
C ACP AUDIO CONTROL PANEL S
C APP APPROACH S
C ATT ATTENDANT S
C BITE BUILT IN TEST EQUIPMENT S
C C CENTER S
C CCW COUNTER CLOCK-WISE S
C CW CLOCK-WISE S
C FLT FLIGHT S
C INT INTERPHONE S
C L LEFT S
C M MEGA S
C MIC MICROPHONE S
C MUX MULTIPLEXER S
C NAV NAVIGATION S
C NVM NON-VOLATILE MEMORY S
C PA PASSENGER ADDRESS S
C P/N PART NUMBER S
C PTT PUSH-TO-TALK S
C R RIGHT S
C RF RADIO FREQUENCY S
C RTN RETURN S
C SCC STATION CARD CONTROLLER S
C SEL SELECT S
C S/N SERIAL NUMBER S
C SPKR SPEAKER S
C UUT UNIT UNDER TEST S
C VBR VOICE/BOTH/RANGE S
C VOR VHF OMNIDIRECTIONAL AND RADIO RANGE S
C VHF VERY HIGH FREQUENCY S
C S
C S
C 2.0 GENERAL DESCRIPTIONS S
C S
C THE 5701-1-1 AUDIO CONTROL PANEL (ACP) IS THE COCKPIT S
C INTERFACE THAT CONTROLS THE AUDIO MANAGEMENT UNIT (AMU). S
C THE AMU CONTROLS THE COMMUNICATIONS, NAVIGATION RADIOS, S
C PHONE, PUBLIC ADDRESS SYSTEM, AUDIO FILTERING, VOLUME OF S
C MONITORED CHANNELS AND SELECTION OF THE CABIN INTERPHONE. S
```

## ANEXA 2 Fragment Exemplu Program ATLAS ACP (Audio Control Panel)

C									\$
C	2.1	SUBSYSTEM OVERVIEW							\$
C		SEE 2.0 ABOVE							\$
C									\$
C	2.2	TEST DIRECTORY						\$	\$
C		BLOCK							\$
C		NUMBER							\$
C		-----							\$
C	1.0	PRE-POWER/POWER-UP TESTS			100000				\$
C	1.1	PRE-POWER TESTS			110000				\$
C	1.2	INITIAL CONDITIONS			120000				\$
C	1.3	POWER-UP TESTS			130000				\$
C									\$
C	2.0	INDICATOR TEST			200000				\$
C									\$
C	3.0	CLEANUP NVM			300000				\$
C	3.1	READING NVM CONTENTS	310000					\$	\$
C	3.2	REMOVING NON-VALID FAULT CODES			320000				\$
C									\$
C	4.0	BITE TESTS			400000				\$
C	4.1	CONTINUOUS BITE TEST			410000				\$
C	4.2	SHOP INITIATED BITE TEST	420000					\$	\$
C									\$
C	5.0	TEST SWITCHES AND SWITCH INDICATORS	500000						\$
C	5.1	MICROPHONE SWITCH AND INDICATOR TEST	510000						\$
C	5.2	VOLUME CONTROL SWITCH AND INDICATOR TEST			520000				\$
C									\$
C	6.0	ARINC 429 TESTS			600000				\$
C	6.1.1	CALL INDICATORS TEST	611000						\$
C	6.1.2	AMU TO ACP CALL INTERLINK TEST			612000				\$
C	6.2	ARINC 429 TO SWITCH INTERFACE TEST			620000				\$
C									\$
C	7.0	VOLUME INDICATOR TEST	700000						\$
C									\$
C	8.0	READ THE PART NUMBER AND SERIAL NUMBER	800000						\$
C									\$
C	9.0	POWER INTERRUPT TEST			900000				\$
C									\$
C									\$
C	3.0	GENERAL TEST REQUIREMENTS						\$	\$
C									\$
C	3.1	UUT POWER AND GROUND REQUIREMENTS							\$
C		See Applicable Document 1.3.1, 1.3.2							\$
C									\$
C	3.2	UUT INPUT/OUTPUT REQUIREMENTS						\$	\$
C		See Applicable Document 1.3.1, 1.3.2							\$
C									\$
C	3.3	PIN CONNECTIONS						\$	\$
C		See Applicable Document 1.3.1, 1.3.2							\$
C									\$
C	3.4	ARINC-429 REQUIREMENTS							\$
C		See Applicable Document 1.3.3							\$
C									\$
C	3.5	FUNCTIONAL TEST REQUIREMENTS						\$	\$
C		THE FUNCTIONAL TEST REQUIREMENTS ARE COMPLETELY DEFINED							\$
C		BY THIS ATLAS TEST SPECIFICATION. ALL EMBEDDED COMMENTS							\$
C		WITHIN THE PREAMBLE SHALL BE CONSIDERED PART OF THE TEST							\$
C		SPECIFICATION WITH THE EXCEPTION OF DESCRIPTIVE COMMENTS							\$
C		SUCH AS HEADER INFORMATION							\$
C									\$
C	4.0	ACCEPTANCE TEST REQUIREMENTS							\$
C		EACH NEW-BUILT FACTORY PRODUCTION AND UNITS RETURNED FOR							\$
C		REPAIR SHALL HAVE THE FUNCTIONAL TEST PER PARAGRAPH 4.1							\$
C									\$
C	4.1	FUNCTIONAL TEST							\$
C		EACH PRODUCTION UNIT OR REPAIRED UNIT SHALL BE FUNCTIONAL							\$
C		TESTED PER THE ATLAS TEST SPECIFICATION REQUIREMENTS DESCRIBED							\$
C		IN 3.5 ABOVE AND CONTAINED HEREIN.							\$
C									\$
C	4.2	VISUAL INSPECTION							\$
C		EACH PRODUCTION UNIT SHALL BE SUBJECTED TO IN-PROCESS VISUAL							\$
C		INSPECTIONS OF SUBASSEMBLIES DURING FABRICATION & ASSEMBLY TO							\$
C		ENSURE COMPLIANCE WITH DRAWINGS AND PROCESS SPECIFICATIONS							\$
C									\$
C									\$
C		.....							\$
C	*	001000 REQUIRE STATEMENTS							\$
C		.....							\$
C									\$
C	*	TEST EQUIPMENT REQUIREMENTS							\$
C		.....							\$
C									\$
C		THE ERROR LIMITS (ERRLMT) GIVEN IN 'REQUIRE' STATEMENTS							\$
C		SHALL APPLY TO ALL STATEMENTS REFERENCING THE VIRTUAL							\$
C		RESOURCE THROUGH THE 'USING' FIELD UNLESS THE ERROR LIMIT							\$

## ANEXA 2 Fragment Exemplu Program ATLAS ACP (Audio Control Panel)

C IS STATED	\$	\$	
C-----	\$		
C----- POWER SUPPLY -----	\$		\$
C			\$
001000 REQUIRE, '+28-VDC-POWER-SUPPLY', SOURCE, DC SIGNAL, CONTROL, VOLTAGE +28.0 V ERRLMT +-0.1 V, LIMIT, CURRENT MAX 2 A, CNX HI LO \$			\$
C			\$
001010 REQUIRE, '-5-VAC-POWER-SUPPLY', SOURCE, AC SIGNAL, CONTROL, VOLTAGE RANGE 0V TO 10 V BY 0.1 V, FREQ RANGE 300HZ TO 500 HZ BY 1 HZ, LIMIT, CURRENT MAX 0.5 A, CNX HI LO \$			\$
C			\$
C----- DMM -----	\$		\$
C			\$
001100 REQUIRE, 'DC-VOLTMETER', SENSOR (VOLTAGE), DC SIGNAL, CAPABILITY, VOLTAGE RANGE -30.0 V TO 30.0 V, CNX HI LO \$			\$
C			\$
001110 REQUIRE, 'AC-VOLTMETER', SENSOR (VOLTAGE), AC SIGNAL, CONTROL, VOLTAGE RANGE 0.0 V TO 10.0 V, CAPABILITY, FREQ RANGE 200 HZ TO 1000 HZ, CNX HI LO \$			\$
C			\$
C			\$
001130 REQUIRE, 'OHMMETER', SENSOR (RES), IMPEDANCE, CONTROL, RES RANGE 0.0 OHM TO 1E8 OHM ERRLMT +- 2 PC, DMM-MODE SLOW MEDIUM FAST, CNX HI LO \$			\$
C			\$
001140 REQUIRE, 'DC-AMMETER', SENSOR (CURRENT), DC SIGNAL, CONTROL, CURRENT RANGE 0.0 A TO 3.0 A BY 1 MA, DMM-MODE SLOW MEDIUM FAST, CNX VIA \$			\$
C			\$
001150 REQUIRE, 'AC-AMMETER', SENSOR (CURRENT), AC SIGNAL, CONTROL, CURRENT RANGE 0.0 A TO 1.0 A BY 1 MA, CNX VIA \$			\$
C			\$
C----- FGEN -----	\$		\$
C			\$
001200 REQUIRE, 'FUNCTION-GENERATOR', SOURCE, PULSED DC, CONTROL, VOLTAGE RANGE 0V TO 10V, DC-OFFSET RANGE -5V TO 5V, PERIOD RANGE 0.1 SEC TO 10 SEC, PULSE-COUNT RANGE 0 TIMES TO 100 TIMES, CNX HI LO			\$
C			\$
C----- LOADS -----	\$		\$
C			\$
001400 REQUIRE, 'RID1', LOAD, IMPEDANCE, CONTROL, RES 0 OHM ERRLMT +- 1 PC, CNX HI LO \$			\$
C			\$
REQUIRE, 'RID2', LOAD, IMPEDANCE, CONTROL, RES 300000 OHM ERRLMT +- 1 PC, CNX HI LO \$			\$
C			\$
REQUIRE, 'RID3', LOAD, IMPEDANCE, CONTROL, RES 620 OHM ERRLMT +- 1 PC, CNX HI LO \$			\$
C			\$
REQUIRE, 'RID4', LOAD, IMPEDANCE, CONTROL, RES 270000 OHM ERRLMT +- 1 PC, CNX HI LO \$			\$
C			\$
REQUIRE, 'R105', LOAD, IMPEDANCE, CONTROL, RES 2200 OHM ERRLMT +- 2 PC, CNX HI LO \$			\$
C			\$
REQUIRE, 'R106', LOAD, IMPEDANCE, CONTROL, RES 2200 OHM ERRLMT +- 2 PC, CNX HI LO \$			\$
C			\$
REQUIRE, 'R107', LOAD, IMPEDANCE, CONTROL, RES 10000 OHM ERRLMT +- 2 PC, CNX HI LO \$			\$
C			\$
REQUIRE, 'R108', LOAD, IMPEDANCE, CONTROL, RES 10000 OHM ERRLMT +- 2 PC, CNX HI LO \$			\$
C			\$
REQUIRE, 'SHORT1', LOAD, SHORT, CNX \$			\$
C			\$
REQUIRE, 'SHORT2', LOAD, SHORT, CNX \$			\$
C			\$

## ANEXA 2

### Fragment Exemplu Program ATLAS ACP (Audio Control Panel)

```

REQUIRE 'SHORT';
LOAD, SHORT, CNX $
CS
001500 REQUIRE, 'GROUND', LOAD, EARTH, CNX $
CS
CS
C-----$
C *      DECLARE STATEMENTS          * $
C-----$
CS
010000 DECLARE, VARIABLE, 'LOOP', 'CNT' IS INTEGER $
CS
DECLARE, VARIABLE, 'AC-VOLT' IS DECIMAL $
CS
C--- DECLARE, VARIABLE, 'WORD-RATE' IS DECIMAL INITIAL = 700 $
CS
DECLARE, VARIABLE, 'WRDIN' IS ARRAY (1 THRU 256)
OF STRING(32) OF BIT
INITIAL = (256 OF X'0') $
CS
DECLARE, VARIABLE, 'RCV-WORD' IS ARRAY (1 THRU 256)
OF STRING(32) OF BIT
INITIAL = (256 OF X'0') $
CS
DECLARE, VARIABLE, 'SEND-WORD' IS ARRAY(1 THRU 2)
OF STRING(32) OF BIT $
CS
DECLARE, VARIABLE, 'FAULT-WORD' IS ARRAY (1 THRU 99)
OF STRING(32) OF BIT $
CS
DECLARE, VARIABLE, 'DIG-VOL' IS STRING(6) OF BIT $
CS
DECLARE, VARIABLE, 'LABEL', 'OCT-LABEL', 'EXP-LABEL' IS STRING(32) OF BIT $
CS
DECLARE, VARIABLE, 'WORDS' IS ARRAY (1 THRU 100)
OF STRING(32) OF BIT
INITIAL = (100 OF X'0') $
CS
DECLARE, VARIABLE, 'WRDOUT', 'WRD' IS STRING(32) OF BIT $
DECLARE, VARIABLE, 'EXP', 'EXP-WORD' IS STRING(32) OF BIT $
DECLARE, VARIABLE, 'WORD', 'SLICE', 'SSMTS' IS STRING(32) OF BIT $
DECLARE, VARIABLE, 'EXP-BIT', 'BIT' IS STRING(32) OF BIT $
DECLARE, VARIABLE, 'WORD-33' IS STRING(33) OF BIT $
CS
DECLARE, VARIABLE, 'CHAR', 'CHR' IS STRING (1) OF CHAR $
CS
DECLARE, VARIABLE, 'CHR-1' IS STRING (1) OF CHAR $
DECLARE, VARIABLE, 'CHR-2' IS STRING (2) OF CHAR $
DECLARE, VARIABLE, 'CHR-3' IS STRING (3) OF CHAR $
DECLARE, VARIABLE, 'CHR-4' IS STRING (4) OF CHAR $
DECLARE, VARIABLE, 'CHR-5' IS STRING (5) OF CHAR $
DECLARE, VARIABLE, 'CHR-6' IS STRING (6) OF CHAR $
DECLARE, VARIABLE, 'CHR-7' IS STRING (7) OF CHAR $
DECLARE, VARIABLE, 'CHR-8' IS STRING (8) OF CHAR $
DECLARE, VARIABLE, 'CHR-9' IS STRING (9) OF CHAR $
DECLARE, VARIABLE, 'CHR-10' IS STRING (10) OF CHAR $
DECLARE, VARIABLE, 'CHR-11' IS STRING (11) OF CHAR $
DECLARE, VARIABLE, 'CHR-12' IS STRING (12) OF CHAR $
DECLARE, VARIABLE, 'CHR-13' IS STRING (13) OF CHAR $
DECLARE, VARIABLE, 'CHR-14' IS STRING (14) OF CHAR $
CS
DECLARE, VARIABLE, 'S-N', 'EXP S-N' IS STRING (6) OF CHAR $
CS
DECLARE, VARIABLE, 'P-N', 'EXP P-N' IS STRING (15) OF CHAR $
CS
DECLARE, VARIABLE, 'TYPE' IS STRING (15) OF CHAR $
CS
DECLARE, VARIABLE, 'BIT-MSG', 'DSP-MSG' IS STRING(80) OF CHAR $
CS
DECLARE, VARIABLE, 'ARINC-ERR' IS BOOLEAN INITIAL = FALSE $
CS
DECLARE, VARIABLE, 'POS', 'VOL' IS INTEGER $
CS
DECLARE, VARIABLE, 'I', 'SIZE', 'NBIT', 'TRY',
'BIT-NO', 'NBWRD', 'EXPNB' IS INTEGER $
CS
DECLARE, VARIABLE, 'INDEX' IS INTEGER $
C-----$
CS
DECLARE, VARIABLE, 'SCC-ACP-CT-1' IS STRING(32) OF BIT
INITIAL = (X'80000003') $
CS
DECLARE, VARIABLE, 'SCC-ACP-CT-2' IS STRING(32) OF BIT
INITIAL = (X'00000083') $
CS
DECLARE, VARIABLE, 'SCC-ACP-PN-SN' IS STRING(32) OF BIT
INITIAL = (X'80002083') $
CS
DECLARE, VARIABLE, 'SCC-ACP-IBITE-CT' IS STRING(32) OF BIT
INITIAL = (X'094E5043') $
CS
DECLARE, VARIABLE, 'SHOP-MODE-ENABLE' IS STRING(32) OF BIT
INITIAL = (X'95E194A3') $
CS
DECLARE, VARIABLE, 'SH-ACP-SD-FA-DAT' IS STRING(32) OF BIT
INITIAL = (X'8509E0E3') $
CS
DECLARE, VARIABLE, 'SH-ACP-CL-FA-REC' IS STRING(32) OF BIT
INITIAL = (X'80C18C93') $

```





## ANEXA 2 Fragment Exemplu Program ATLAS ACP (Audio Control Panel)

```

C ..... $
C *   DEFINE EXCHANGE STATEMENTS           * $
C ..... $
CS
031000 DEFINE, 'XMT', EXCHANGE CONFIGURATION
'XMT-BUS' $
031100 DEFINE, 'RCV', EXCHANGE CONFIGURATION
'RCV-BUS' $
031110 DEFINE, 'RCV-L', EXCHANGE CONFIGURATION
'RCV-BUS-L' $
CS
CS
CS
031500 DEFINE, 'SEND-W', EXCHANGE, PROTOCOL 'XMT-BUS',
BUS-MODE TALKER-LISTENER,
TALKER TEST-EQUIP,
LISTENER UUT,
DATA 'SEND-WORD'(1 THRU 2) $
CS
031510 DEFINE, 'SEND-IW', EXCHANGE, PROTOCOL 'XMT-BUS',
BUS-MODE TALKER-LISTENER,
TALKER TEST-EQUIP,
LISTENER UUT,
DATA 'SEND-WORD'(1) $
CS
031520 DEFINE, 'SEND-PN', EXCHANGE, PROTOCOL 'XMT-BUS',
BUS-MODE TALKER-LISTENER,
TALKER TEST-EQUIP,
LISTENER UUT,
DATA 'SH-ACP-PN-SN'(1 THRU 8) $
CS
031600 DEFINE, 'RCV-W', EXCHANGE, PROTOCOL 'RCV-BUS',
BUS-MODE TALKER-LISTENER,
TALKER UUT,
LISTENER TEST-EQUIP,
DATA 'RCV-WORD'(1 THRU 32) $
CS
031610 DEFINE, 'RCV-WL', EXCHANGE, PROTOCOL 'RCV-BUS-L',
BUS-MODE TALKER-LISTENER,
TALKER UUT,
LISTENER TEST-EQUIP,
DATA 'RCV-WORD'(1 THRU 100),
COMMAND 'EXP-LABEL' $
CS
CS
C ..... $
C * 040000   DEFINE PROCEDURE STATEMENTS   * $
C ..... $
C ..... $
C * PROCEDURE 'CLEAR-SCREEN'               * $
C ..... $
C ..... $
040000 DEFINE, 'CLEAR-SCREEN', PROCEDURE $
CS
OUTPUT, TEXT, FROM C\L\F\L\F\L\F\L\F\L\F\L\F\L\F\L\F\L\F\L\F\L\F\L\F\L\F\L\F\L\F $
OUTPUT, TEXT, FROM C\L\F\L\F\L\F\L\F\L\F\L\F\L\F\L\F\L\F\L\F\L\F\L\F\L\F\L\F\L\F $
OUTPUT, TEXT, FROM C\L\F\L\F\L\F\L\F\L\F\L\F\L\F\L\F\L\F\L\F\L\F\L\F\L\F\L\F\L\F $
OUTPUT, TEXT, FROM C\L\F\L\F\L\F\L\F\L\F\L\F\L\F\L\F\L\F\L\F\L\F\L\F\L\F\L\F\L\F $
CS
040999 END, 'CLEAR-SCREEN'                $

CS
C ..... $
C * PROCEDURE 'DATE-TIME'                  * $
C ..... $
C * PURPOSE: READS THE DATE USING THE ATLAS DATE FUNCTION AND   * $
C * RETURNS THE DATE IN THE FORM YY/MM/DD AND RETURNS          * $
C * THE TIME IN THE FORM HH:MM:SS                                     * $
C ..... $
C * GLOBAL VARIABLES USED                                           * $
C * -VAR-   -TYPE-   -FUNCTION-   * $
C * 'D'    STRING(15) OF CHAR   RETURNS THE DATE   * $
C * 'T'    STRING(15) OF CHAR   RETURNS THE TIME   * $
C * ..... $
C * PROCEDURES: NONE                                               * $
C * ..... $
C ..... $
CS
045000 DEFINE, 'DATE-TIME',
PROCEDURE RESULT('D', 'T' IS STRING(15) OF CHAR) $
DECLARE, VARIABLE, 'TODAY' IS STRING(15) OF CHAR $
DECLARE, VARIABLE, 'D1', 'T1' IS STRING(10) OF CHAR $
DECLARE, VARIABLE, 'D2', 'T2' IS STRING(12) OF CHAR $
CALCULATE, 'TODAY' = DATE $
CALCULATE, 'D1' = COPY('TODAY', 1, 6),
'D2' = INSERT(C', 'D1', 2),
'D' = INSERT(C', 'D2', 5) $
CALCULATE, 'T1' = COPY('TODAY', 7, 6),
'T2' = INSERT(C:', 'T1', 2),
'T' = INSERT(C:', 'T2', 5) $
END, 'DATE-TIME' $
CS
C ..... $
C ** PROCEDURE 'WAIT-MI'                  ** $
C ..... $
C * PURPOSE - WAIT FOR MANUAL INTERVENTION * $
C ..... $

```

## ANEXA 2 Fragment Exemplu Program ATLAS ACP (Audio Control Panel)

```

C * LABEL DEFINITIONS- * $
C * ---LABEL--- ---TYPE--- ---FUNCTION--- * $
C ..... $
CS
CS
05 DEFINE, 'WAIT-MI', PROCEDURE $
CS
OUTPUT, TEXT, FROM
    CManual Intervention to continue \LF\ $
ENABLE, MANUAL INTERVENTION $
WAIT FOR, MANUAL INTERVENTION $
DISABLE, MANUAL INTERVENTION $
END, 'WAIT-MI' $
CS
CS
C ..... $
C * PROCEDURE: 'ENABLE-IO' * $
C ..... $
C * PURPOSE ENABLES SELECTED PERIPHERAL DEVICES * $
C ..... $
C * GLOBAL VARIABLES USED: * $
C * -VAR- -TYPE- -FUNCTION- * $
C * LOG BOOLEAN LOG FLAG * $
C * LOG-NAME STRING FILE NAME * $
C * LOG-FILE FILE LOG FILE * $
C * * $
C * PROCEDURES: NONE * $
C * * $
C ..... $
CS
10 DEFINE, 'ENABLE-IO', PROCEDURE $
CS
IF, 'LOG', THEN $
    ENABLE, OUTPUT TO NEW 'LOG-NAME', VIA 'LOG-FILE' $
END, IF $
CS
END, 'ENABLE-IO' $
CS

CS
C ..... $
C * PROCEDURE: 'CHECK-TUA' * $
C ..... $
C * PURPOSE Identifies Test Unit Adapter and checks that all * $
C * connectors are plugged in * $
C ..... $
C * GLOBAL VARIABLES USED: * $
C * -VAR- -TYPE- -FUNCTION- * $
C * * $
C * PROCEDURES: NONE * $
C * * $
C ..... $
CS
40 DEFINE, 'CHECK-TUA', PROCEDURE $
CS
DECLARE, VARIABLE, 'CNT', 'FAIL' IS INTEGER $
CS
CALCULATE, 'CNT' = 0, 'FAIL' = 4 $
WHILE, ('CNT' LT 10) AND ('FAIL' NE 0), THEN $
    CALCULATE, 'CNT' = 'CNT' + 1 $
    CALCULATE, 'FAIL' = 0 $
C ..... VERIFY IDR1 ..... $
APPLY, IMPEDANCE USING 'RID1',
RES 0 OHM ERRLMT +- 1 PC,
CNX HI ID-HI
LO ID-LO $
CS
VERIFY, (RES), IMPEDANCE USING 'OHMMETER',
    UL 10 OHM LL 0 OHM,
    RES RANGE 0 OHM TO 100 OHM,
    CNX HI ID-HI
    LO ID-LO $
CS
REMOVE, IMPEDANCE USING 'RID1',
RES 0 OHM ERRLMT +- 1 PC,
CNX HI ID-HI
LO ID-LO $
CS
IF, NOGO, THEN $
    CALCULATE, 'FAIL' = 'FAIL' + 1 $
    OUTPUT, TEXT, FROM
        'SPACE-BEFORE',
        CThe TUA is not correctly installed or it is not the TUA\LF\,
        Cfor testing AUDIO CONTROL PANEL P/N 5701-1-1\LF\LF\,
        CPlease, if you wish to perform the test,\LF\,
        Cinstall properly the required TUA\LF\LF\,
        C.....\LF\,
        C* PRESS "T" TO CONTINUE, "F" TO QUIT * \LF\,
        C.....\LF\ $
    INPUT, GO-NOGO $
    IF, NOGO, THEN $
        PERFORM, 'ABORT-TEST' $
    END, IF $
END, IF $
CS
C ..... VERIFY IDR2 ..... $
APPLY, IMPEDANCE USING 'RID2',
RES 300000 OHM ERRLMT +- 1 PC,
CNX HI ID-HI

```

## ANEXA 2 Fragment Exemplu Program ATLAS ACP (Audio Control Panel)

```

LO ID-LO $
CS
VERIFY, (RES), IMPEDANCE USING 'OHMMETER',
      UL 303000 OHM LL 297000 OHM,
      RES RANGE 0 OHM TO 1000000 OHM,
      CNX HI ID-HI

      LO ID-LO $
CS
REMOVE, IMPEDANCE USING 'RID2',
RES 300000 OHM ERRLMT +- 1 PC,
CNX HI ID-HI
LO ID-LO $
CS
CS
IF, NOGO, THEN $
CALCULATE, 'FAIL' = 'FAIL' + 1 $
OUTPUT, TEXT, FROM
'SPACE-BEFORE',
C'The TUA is not correctly installed or it is not the TUA\LF\LF',
C'for testing AUDIO CONTROL PANEL P/N 5701-1-1\LF\LF\LF',
C'Please, if you wish to perform the test\LF\LF',
C'install properly the required TUA\LF\LF\LF',
C'.....\LF\LF',
C* PRESS "T" TO CONTINUE, "F" TO QUIT *LF\LF',
C'.....\LF\LF' $
INPUT, GO-NOGO $
IF, NOGO, THEN $
PERFORM, 'ABORT-TEST' $
END, IF $
END, IF $
CS
C----- VERIFY IDR3 ----- $
APPLY, IMPEDANCE USING 'RID3',
RES 620 OHM ERRLMT +- 1 PC,
CNX HI ID-HI
LO ID-LO $
CS
VERIFY, (RES), IMPEDANCE USING 'OHMMETER',
      UL 626 OHM LL 614 OHM,
      RES RANGE 0 OHM TO 1000 OHM,
      CNX HI ID-HI

      LO ID-LO $
CS
REMOVE, IMPEDANCE USING 'RID3',
RES 620 OHM ERRLMT +- 1 PC,
CNX HI ID-HI
LO ID-LO $
CS
IF, NOGO, THEN $
CALCULATE, 'FAIL' = 'FAIL' + 1 $
OUTPUT, TEXT, FROM
'SPACE-BEFORE',
C'The TUA is not correctly installed or it is not the TUA\LF\LF',
C'for testing AUDIO CONTROL PANEL P/N 5701-1-1\LF\LF\LF',
C'Please, if you wish to perform the test\LF\LF',
C'install properly the required TUA\LF\LF\LF',
C'.....\LF\LF',
C* PRESS "T" TO CONTINUE, "F" TO QUIT *LF\LF',
C'.....\LF\LF' $
INPUT, GO-NOGO $
IF, NOGO, THEN $
PERFORM, 'ABORT-TEST' $
END, IF $
END, IF $
CS
C----- VERIFY IDR4 ----- $
APPLY, IMPEDANCE USING 'RID4',
RES 270000 OHM ERRLMT +- 1 PC,
CNX HI ID-HI
LO ID-LO $
CS
VERIFY, (RES), IMPEDANCE USING 'OHMMETER',
      UL 277100 OHM LL 262900 OHM,
      RES RANGE 0 OHM TO 1000000 OHM,
      CNX HI ID-HI

      LO ID-LO $
CS
REMOVE, IMPEDANCE USING 'RID4',
RES 270000 OHM ERRLMT +- 1 PC,
CNX HI ID-HI
LO ID-LO $
CS
IF, NOGO, THEN $
CALCULATE, 'FAIL' = 'FAIL' + 1 $
OUTPUT, TEXT, FROM
'SPACE-BEFORE',
C'The TUA is not correctly installed or it is not the TUA\LF\LF',
C'for testing AUDIO CONTROL PANEL P/N 5701-1-1\LF\LF\LF',
C'Please, if you wish to perform the test\LF\LF',
C'install properly the required TUA\LF\LF\LF',
C'.....\LF\LF',
C* PRESS "T" TO CONTINUE, "F" TO QUIT *LF\LF',
C'.....\LF\LF' $
INPUT, GO-NOGO $
IF, NOGO, THEN $
PERFORM, 'ABORT-TEST' $
END, IF $
END, IF $
CS
END, WHILE $
CS

```

## ANEXA 2 Fragment Exemplu Program ATLAS ACP (Audio Control Panel)

```

IF, 'CNT' GE 10, THEN $
  OUTPUT, TEXT, FROM
    'SPACE-BEFORE',
    C'The TUA is not correctly installed or it is not the TUA\LF',
    C'for testing AUDIO CONTROL PANEL P/N 5701-1-1\LF',
    'SPACE-AFTER' $
  PERFORM, 'WAIT-MI' $
  PERFORM, 'ABORT-TEST' $
END, IF $
C-----$
END, 'CHECK-TUA' $
CS
C-----$

C.....$
C * PROCEDURE 'START-PROG' * $
C-----* $
C * PURPOSE: Establishes initial conditions for the program * $
C * Sets global variables, sets start of run time * $
C-----* $
C * GLOBAL VARIABLES USED * $
C * -VAR- -TYPE- -FUNCTION- * $
C * * $
C * PROCEDURES 'SET-RUN-OPTIONS' * $
C * 'ENABLE-IO' * $
C * * $
C-----* $
CS
45 DEFINE, 'START-PROG', PROCEDURE $
CS
  CALCULATE, 'FAILURE-COUNTER' = 0 $
CS
  PERFORM, 'ENABLE-IO' $
CS
  PERFORM, 'PROG-HEADER' $
CS
  PERFORM, 'CHECK-TUA' $
CS
  OUTPUT, TEXT, FROM
    'SPACE-BEFORE',
    C'OPERATOR ACTION\LF\LF',
    C'Do you wish that results will be displayed during test?\LF',
    C'Press [t] if yes, [f] if not.\LF',
    'SPACE-AFTER' $
  ENABLE, MANUAL INTERVENTION $
  INPUT, GO-NOGO $
  DISABLE, MANUAL INTERVENTION $
  IF, NOGO, THEN $
    CALCULATE, 'DSPL' = FALSE $
  END, IF $
END, 'START-PROG' $

CS
CS
C.....$
C * PROCEDURE 'RECEIVE-429-WORD' * $
C-----* $
C * PURPOSE: PERFORMS RECEPTION & DETECTION OF AN EXPECTED WORD * $
C-----* $
C * PARAM-IN 'EXP-LABEL' EXPECTED LABEL OF WORD * $
C-----* $
C * * $
C * PARAM-OUT 'OCT-LABEL' OCTAL LABEL OF FINDED WORDS * $
C * 'WORDS'(INDEX) ARRAY OF FINDED WORDS * $
C * * $
C * LOCAL-USE: NONE * $
C * * $
C * PROCEDURES 'REVERSE-LABEL' * $
C * * $
C-----* $
CS
  DEFINE, 'RECEIVE-429-WORD', PROCEDURE ('EXP-LABEL' IS STRING (32) OF BIT) $
C----- $
CS
  PERFORM, 'REVERSE-LABEL' ('EXP-LABEL') $
CS
  FOR, T = 1 THRU 32, THEN $
    CALCULATE, 'RCV-WORD'(T) = X'00000000' $
  END, FOR $
CS
  CALCULATE, 'INDEX' = 1 $
  CALCULATE, 'ARINC-ERR' = 'TRUE'$
  CALCULATE, 'BIT-MSG' = C' $
CS
C----- $
CS
  ENABLE, EXCHANGE-CONFIGURATION USING 'RCV',
  PROTOCOL 'RCV-BUS',
  CNX TRUE J1-20 COMPL J1-21 $
CS
  WAIT FOR, TIME 200 MSEC $
CS
  DO, EXCHANGE USING 'RCV', TEST-EQUIP-ROLE MONITOR,
  (EXCHANGE 'RCV-W',
  TEST-EQUIP-MONITOR DATA 'RCV-WORD'(1)),
  PROCEED, MAX-TIME 40 MSEC $

```

## ANEXA 2 Fragment Exemplu Program ATLAS ACP (Audio Control Panel)

```

CS
CS WAIT FOR, TIME 50 MSEC $
CS
CS DO, EXCHANGE USING 'RCV', TEST-EQUIP-ROLE MONITOR.
    (EXCHANGE 'RCV-W',
    TEST-EQUIP-MONITOR DATA 'RCV-WORD'(1 THRU 32)),
    PROCEED, MAX-TIME 50 MSEC $
CS
C----- $
CS
CS FOR, T = 1 THRU 32, THEN $
CS
CS CALCULATE, 'WRD' = 'RCV-WORD'(T) AND X'000000FF' $
CS
CS IF, ('LABEL' EQ 'WRD'), THEN $
CS
CS CALCULATE, 'ARINC-ERR' = 'FALSE' $
    CALCULATE, 'BIT-MSG' = C'FIND WORD'$
CS
CS CALCULATE, 'WRDOUT' = 'RCV-WORD'(T) $
    CALCULATE, 'WORDS'(1) = 'RCV-WORD'(T) $
CS
CS LEAVE, FOR $
CS
CS ELSE $
CS
CS IF, 'T' LT 32, THEN $
CS
CS RESUME, FOR $
CS
CS ELSE $
CS
CS CALCULATE, 'BIT-MSG' = C'NOT FIND LABEL'$
    CALCULATE, 'ARINC-ERR' = 'TRUE'$
CS
CS END, IF $
CS
CS END, IF $
CS
CS END, FOR $
CS
CS END, 'RECEIVE-429-WORD' $

CS
CS
C----- $
C* END OF PREAMBLE * $
C----- $
CS
C----- $
C MAIN PROCEDURE $
C----- $
CS
E090000 COMMENCE, MAIN PROCEDURE $
CS
CS PERFORM, 'START-PROG' $
CS
CS
C----- $
C* BLOCK 1.0 PRE-POWER/POWER-UP TESTS * $
C----- $
CS
CS
E100000 BEGIN, BLOCK, '1.0 PRE-POWER/POWER-UP TESTS' $
CS
CS
C----- $
C* BLOCK 1.1 PRE-POWER TESTS * $
C----- $
CS
CS
CS OUTPUT, TEXT, FROM
    'SPACE-BEFORE',
    C'LF',
    C'*** BLOCK 1.0 PRE-POWER/POWER-UP TESTS ***',
    C'LF',
    'SPACE-AFTER' $
CS
CS OUTPUT, TEXT, FROM
    'SPACE-BEFORE',
    C'LF',
    C'--- BLOCK 1.1 PRE-POWER TESTS ---',
    C'LF',
    'SPACE-AFTER' $
CS
CS OUTPUT, TEXT TO 'LOG-FILE', FROM
    C'LF\LF',
    C'*** BLOCK 1.0 PRE-POWER/POWER-UP TESTS ***',
    C'LF\LF',
    C'--- BLOCK 1.1 PRE-POWER TESTS ---\LF\LF' $
CS
CS
C --- Verify if not short on +28VDC pins J1-10, J1-16 refer to EARTH --- $
CS
CS 110020 MEASURE, (RES INTO 'MEASUREMENT'), IMPEDANCE USING 'OHMMETER',
    RES RANGE 0 OHM TO 30000 OHM,
    CNX HI J1-10
    LO EARTH $
CS
CS IF, 'MEASUREMENT' LT 100, THEN $
CS
CS OUTPUT, TEXT, FROM

```

## ANEXA 2

### Fragment Exemplu Program ATLAS ACP (Audio Control Panel)

```

SPACE-BEFORE'
C'There is a SHORT between J1-10 and EARTH, or it is not the UUTLFF';
C'ACP, P/N 5701-1-1\LFV';
SPACE-AFTER' $
PERFORM, 'WAIT-MI' $
PERFORM, 'ABORT-TEST' $
CS
END, IF $
CS
110030 MEASURE, (RES INTO 'MEASUREMENT'), IMPEDANCE USING 'OHMMETER';
RES RANGE 0 OHM TO 30000 OHM,
CNX HI J1-16
LO EARTH $
CS
IF, 'MEASUREMENT' LT 100, THEN $
CS
OUTPUT, TEXT, FROM
SPACE-BEFORE',
C'There is a SHORT between J1-16 and EARTH, or it is not the UUTLFF';
C'ACP, P/N 5701-1-1\LFV';
SPACE-AFTER' $
PERFORM, 'WAIT-MI' $
PERFORM, 'ABORT-TEST' $
CS
END, IF $
CS
C ----- Verify if not short on 5VAC pins J1-22 refer to J1-23 ----- $
CS
110040 MEASURE, (RES INTO 'MEASUREMENT'), IMPEDANCE USING 'OHMMETER';
RES RANGE 0 OHM TO 30000 OHM,
CNX HI J1-10
LO EARTH $
CS
IF, 'MEASUREMENT' LT 100, THEN $
CS
OUTPUT, TEXT, FROM
SPACE-BEFORE',
C'There is a SHORT between J1-22 and J1-23, or it is not the UUTLFF';
C'ACP, P/N 5701-1-1\LFV';
SPACE-AFTER' $
PERFORM, 'WAIT-MI' $
PERFORM, 'ABORT-TEST' $
CS
END, IF $
CS
C* ..... $
BLOCK 1.2 INITIAL CONDITIONS * $
C* ..... $
CS
OUTPUT, TEXT, FROM
SPACE-BEFORE',
C'\LFV',
C' --- BLOCK 1.2 INITIAL CONDITIONS ---\LFV',
SPACE-AFTER' $
CS
C OUTPUT, TEXT TO 'LOG-FILE': FROM
C'\LFV\LFV',
C' --- BLOCK 1.2 INITIAL CONDITIONS ---\LFV\LFV' $
CS
C----- MIC PTT IN = OFF ( switch OPEN ) ----- $
C----- INT PTT IN = OFF ( switch OPEN ) ----- $
C----- LAMP TEST = OFF ( switch CLOSED to 28 V ) ----- $
CS
120010 APPLY, SHORT USING 'SHORT3';
CNX K1-4
J1-14 $
CS
C----- 28VDC IND LTS .....HIGH ----- $
CS
20 APPLY, SHORT USING 'SHORT1';
CNX J1-16
R107 $
CS
OUTPUT, TEXT, FROM
SPACE-BEFORE',
C'\LFV',
C' OPERATOR ACTION:', C'\LFV\LFV',
C' - Set all the ACP potentiometers FULLY CCW \LFV\LFV',
C' - Set the ACP rotary switches as indicated below. \LFV\LFV',
C'-----\LFV',
C| SWITCH | POSITION | \LFV',
C|-----|-----| \LFV',
C| VOR ADF SWITCH | VOR L | \LFV',
C| V/B/R SWITCH | V | \LFV',
C| APP SWITCH | APP L | \LFV',
C'-----\LFV',
SPACE-AFTER' $
CS
PERFORM, 'WAIT-MI' $
CS
C* ..... $
BLOCK 1.3 POWER-UP TESTS * $
C* ..... $
CS
OUTPUT, TEXT, FROM
SPACE-BEFORE',
C'\LFV',

```

## ANEXA 2

### Fragment Exemplu Program ATLAS ACP (Audio Control Panel)

```

C --- BLOCK 1.3 POWER-UP TESTS ---LFV,
SPACE-AFTER' $
CS
OUTPUT, TEXT TO 'LOG-FILE', FROM
C'LFV,
C --- BLOCK 1.3 POWER-UP TESTS ---LFV\LFV' $
CS
130000 APPLY, DC SIGNAL USING '+28-VDC-POWER-SUPPLY',
VOLTAGE +28 0 V ERRLMT +0 1 V,
CURRENT MAX 2 A,
CNX HI J1-10
LO EARTH $
CS
WAIT FOR, TIME 5 SEC $
CS
130010 VERIFY, (CURRENT), DC SIGNAL USING 'DC-AMMETER',
LE 0.5 A,
CURRENT RANGE 0 A TO 2 A,
CNX VIA J1-10A $
CS
PERFORM, 'CHECK-NOGO' (C'STATNO 130010', 0 05, 'MEASUREMENT', 0 5, C'A') $
CS
130020 VERIFY, (VOLTAGE), DC SIGNAL USING 'DC-VOLTMETER',
UL 28 5 V LL 27 5 V,
VOLTAGE RANGE 0V TO 30V,
CNX HI J1-10
LO EARTH $
CS
PERFORM, 'CHECK-NOGO' (C'STATNO 130020', 27 5, 'MEASUREMENT', 28 5, C'VOLT') $
CS
130030 VERIFY, (VOLTAGE), DC SIGNAL USING 'DC-VOLTMETER',
UL 28 5 V LL 27 5 V,
VOLTAGE RANGE 0V TO 30V,
CNX HI J1-16
LO EARTH $
CS
PERFORM, 'CHECK-NOGO' (C'STATNO 130030', 27 5, 'MEASUREMENT', 28 5, C'VOLT') $
CS
C----- Initiate the NORMAL MODE for ACP ----- $
CS
ENABLE, EXCHANGE-CONFIGURATION USING 'XMT',
PROTOCOL 'XMT-BUS',
CNX TRUE J1-17 COMPL J1-18 $
CS
WAIT FOR, TIME 0 1 SEC $
CS
CALCULATE, 'SEND-WORD'(1) = 'SCC-ACP-CT-1' $
CALCULATE, 'SEND-WORD'(2) = 'SCC-ACP-CT-2' $
CS
DO, EXCHANGE USING 'XMT', TEST-EQUIP-ROLE MASTER,
(EXCHANGE 'SEND-W',
TEST-EQUIP-ROLE MASTER,
DELAY 40 MSEC),
PROCEED $
CS
C----- 5 VAC POWER-SUPPLY ----- $
CS
APPLY, AC SIGNAL USING '5-VAC-POWER-SUPPLY',
VOLTAGE 5V,
FREQ 400HZ,
CURRENT MAX 0 5A,
CNX HI J1-22
LO J1-23 $
CS
130040 VERIFY, (VOLTAGE), AC SIGNAL USING 'AC-VOLTMETER',
UL 5 2 V LL 4 5 V,
VOLTAGE RANGE 0V TO 6V,
CNX HI J1-22
LO J1-23 $
CS
PERFORM, 'CHECK-NOGO' (C'STATNO 130040', 4 5, 'MEASUREMENT', 5 2, C'VOLT') $
CS
130050 VERIFY, (CURRENT), AC SIGNAL USING 'AC-AMMETER',
UL 0 5A LL 0 005A,
CURRENT RANGE 0A TO 1A,
CNX VIA J1-22A $
CS
PERFORM, 'CHECK-NOGO' (C'STATNO 130050', 0 05, 'MEASUREMENT', 0 5, C'A') $
CS
199999 END, BLOCK '1 0 PRE-POWER/POWER-UP TESTS' $

CS
C ..... $
C * BLOCK 2.0 INDICATOR TEST * $
C ..... $
CS
E200000 BEGIN, BLOCK '2 0 INDICATOR TEST' $
CS
OUTPUT, TEXT, FROM
'SPACE-BEFORE',
C'LFV,
C *** BLOCK 2.0 INDICATOR TEST ***LFV,
'SPACE-AFTER' $
CS
OUTPUT, TEXT TO 'LOG-FILE', FROM
C'LFV\LFV,
C *** BLOCK 2.0 INDICATOR TEST ***LFV\LFV' $
CS

```

## ANEXA 2

### Fragment Exemplu Program ATLAS ACP (Audio Control Panel)

```

OUTPUT, TEXT, FROM
'SPACE-BEFORE',
C\LF\,
C' OPERATOR ACTION': C\LF\LF\,
C - Watch the indicator lamps from the UUT front panel \LF\,
C - All indicators must turn ON for a 5 sec. period, then OFF \LF\,
'SPACE-AFTER' $

CS
PERFORM, 'WAIT-MI' $

CS
C----- LAMP TEST = ON ( switch CLOSED to EARTH ) ----- $

CS
DISCONNECT, SHORT USING 'SHORT3',
CNX K1-4 J1-14 $

CS
CONNECT, SHORT USING 'SHORT3',
CNX EARTH J1-14 $

CS
WAIT FOR, TIME 5 SEC $

CS
C----- LAMP TEST = OFF ( switch CLOSED to EARTH ) ----- $

CS
DISCONNECT, SHORT USING 'SHORT3',
CNX EARTH J1-14 $

CS
CONNECT, SHORT USING 'SHORT3',
CNX K1-4 J1-14 $

CS
200100 OUTPUT, TEXT, FROM
'SPACE-BEFORE',
C\LF\,
C' OPERATOR ACTION': C\LF\LF\,
C - Did the lights turned ON / OFF ? \LF\,
'SPACE-AFTER' $

CS
PERFORM, 'OPERATOR-CONFIRM' (C'STATNO 200100',
C'ALL INDICATOR LIGHTS TURNES ON / OFF') $

CS
CS
299999 END, BLOCK 2 0 INDICATOR TEST $

CS
E900000 BEGIN, BLOCK 9 0 POWER INTERRUPT TEST $
CS
C----- SET THE INDICATORS AS SHOWN IN TABLE 113 PAG 118 CMM $
CS
OUTPUT, TEXT, FROM
'SPACE-BEFORE',
C\LF\,
C' OPERATOR ACTION': C\LF\LF\,
C - Set the following indicator lamps ON and all others OFF \LF\,
C by pressing the appropriate switches \LF\LF\,
C VHF L VOL VHF C VOL VHF R VOL \LF\,
C FLT VOL CAB VOL PA VOL \LF\,
C HF L VOL SAT 1 VOL VOR ADF VOL \LF\,
C SPKR VOL VHF L MIC/CALL \LF\LF\,
C.....\LF\ $

CS
PERFORM, 'WAIT-MI' $

CS
C----- 200 MSEC POWER INTERRUPT $

CS
900100 APPLY, PULSED DC USING 'FUNCTION-GENERATOR',
VOLTAGE 5V,
DC-OFFSET -5V,
PERIOD 0.4 SEC,
PULSE-COUNT 1 TIMES,
CNX HI RELAY-HI
LO RELAY-LO $

CS
C----- ALL INDICATORS MUST GO BACK TO THEIR SETTING PRIOR TO PWR INTERRUPT,
REFER TO TABLE 113 PAG 118 CMM $
CS
OUTPUT, TEXT, FROM
'SPACE-BEFORE',
C\LF\,
C' OPERATOR ACTION': C\LF\LF\,
C - Look at the indicator lamps \LF\,
C - Following indicators must be ON and all others OFF \LF\LF\,
C VHF L VOL VHF C VOL VHF R VOL \LF\,
C FLT VOL CAB VOL PA VOL \LF\,
C HF L VOL SAT 1 VOL VOR ADF VOL \LF\,
C SPKR VOL VHF L MIC/CALL \LF\LF\,
C - Did the indicators configuration CORRECT ? \LF\,
C.....\LF\ $

CS
PERFORM, 'OPERATOR-CONFIRM' (C'STATNO 900100', C'THE INDICATORS CONFIGURATION') $

CS
C----- Set all the indicators and potentiometers as in INITIAL CONDITIONS $
CS
OUTPUT, TEXT, FROM
'SPACE-BEFORE',
C\LF\,
C' OPERATOR ACTION': C\LF\LF\,
C - Turn OFF all the indicator lamps, by pressing the appropriate switches \LF\,
C - Ensure that all potentiometers are in FULL CCW position \LF\,
'SPACE-AFTER' $

CS
PERFORM, 'WAIT-MI' $

```



ANEXA 2  
Fragment Exemplu Program ATLAS ACP (Audio Control Panel)

```
CS
999000 DISABLE. EXCHANGE-CONFIGURATION USING 'XMT' $
CS
999990 END. BLOCK '9 0 POWER INTERRUPT TEST' $
CS
C ..... $
C      END OF TEST          $
C ..... $
CS
999995 REMOVE. ALL $
999997 PERFORM. 'TERMINATE' $
PERFORM. 'DISABLE-IO' $
CS
CS
999999 TERMINATE. ATLAS PROGRAM 'ACP-ATL' $
```

**Exemplu de drivere de nivel înalt sub mediul PAWS varianta pentru UnixWare**

```

=====
*
*                               *
*      DeviceDB DINAMIC DESCRIPTION      *
*                               *
*
=====

```

**\*\*\*\*\* Built-In Function Definitions - Short names \*\*\*\*\***

```

def, fnc, Cat == 1;  ** ConcatenateStrings
def, fnc, Cmp == 2;  ** Compare Strings
def, fnc, Cpy == 3;  ** CopyStrings
def, fnc, Ilc == 4;  ** InsertLeadingCharacters
def, fnc, Itc == 5;  ** InsertTrailingCharacters
def, fnc, Itoc == 6; ** IntegerToNumericString
def, fnc, Tup == 7;  ** LowerCaseToUpperCase
def, fnc, Slw == 8;  ** RemoveLeadingWhiteSpace
def, fnc, Stw == 9;  ** RemoveTrailingWhiteSpace
def, fnc, Rev == 10; ** ReverseString
def, fnc, Sfw == 11; ** SetCurrentFieldWidth
def, fnc, Tlo == 12; ** UpperCaseToLowerCase
def, fnc, Bic == 13; ** BusInterfaceClear
def, fnc, Bto == 14; ** SetBusTimeOut
def, fnc, Wcmd == 15; ** WriteCommandString
def, fnc, Wdat == 16; ** WriteDataString
def, fnc, Rtn == 17; ** GetCurrentFunctionReturn
def, fnc, Print == 18; ** Print
def, fnc, Abort == 19; ** Abort
def, fnc, Stop == 20; ** Stop
def, fnc, Apnd == 21; ** AppendString
def, fnc, Split == 22; ** ParseCharacters
def, fnc, Gnum == 23; ** ParseDecimalString
def, fnc, Gint == 24; ** ParseNumericString
def, fnc, GCla == 25; ** GetBusControllerListenAddress
def, fnc, GCta == 26; ** GetBusControllerTalkAddress
def, fnc, GDla == 27; ** GetBusDeviceListenAddress
def, fnc, GDid == 28; ** GetBusDeviceName
def, fnc, GDta == 29; ** GetBusDevciceTalkAddress
def, fnc, Sdev == 30; ** SetBusDeviceNumber
def, fnc, Seoi == 31; ** SetEoiLineFlag
def, fnc, Talk == 32; ** TalkToBusDevice
def, fnc, Ctof == 33; ** DecimalStringToFloat
def, fnc, Ftoc == 34; ** FloatToDecimalString
def, fnc, Ctoi == 35; ** NumericStringToInteger
def, fnc, Sdp == 36; ** SetDecimalPointFlag
def, fnc, Sexp == 37; ** SetExponentIndicator
def, fnc, SexpS == 38; ** SetExponentSignFlag
def, fnc, SexpW == 39; ** SetExponentWidth
def, fnc, SfW == 40; ** SetFractionWidth
def, fnc, SiW == 41; ** SetIntegerWidth

```

## Exemplu de drivere de nivel înalt pentru instrumente sub mediul PAWS și OS UNIXWARE

```

def, fnc, SmanS == 42;  ** SetNumberSignFlag
def, fnc, Listn == 43;  ** ListenToBusDevice
def, fnc, Read == 44;  ** ReadDataString
def, fnc, Dsp == 45;  ** Display
def, fnc, GpK == 46;  ** GetPathCount
def, fnc, GpD == 47;  ** GetPathData
def, fnc, GiK == 48;  ** IndirectPathCount
def, fnc, GiD == 49;  ** IndirectPathToDirect
def, fnc, RBin == 50;  ** ReadBinary
def, fnc, WBin == 51;  ** WriteBinary
def, fnc, XtoD == 52;  ** HexToDigital
def, fnc, DtoX == 53;  ** DigitalToHex
def, fnc, FmtDtoS == 54;  ** FormatDataToString      (NEW)
def, fnc, FmtIBPut == 55;  ** FormattedBufferedBusOutput (NEW)
def, fnc, CclrF == 56;  ** ClearBusClearFlag
def, fnc, CkSum == 57;  ** ClearGetCheckSum

```

\*\*\*\*\*

\*\*\*\*\* Built-In Function Definitions - Long names \*\*\*\*\*

```

def, fnc, ConcatenateStrings == 1;
def, fnc, CompareStrings == 2;
def, fnc, CopyString == 3;
def, fnc, InsertLeadingCharacters == 4;
def, fnc, InsertTrailingCharacters == 5;
def, fnc, IntegerToNumericString == 6;
def, fnc, LowerCaseToUpperCase == 7;
def, fnc, RemoveLeadingWhiteSpace == 8;
def, fnc, RemoveTrailingWhiteSpace == 9;
def, fnc, ReverseString == 10;
def, fnc, SetFieldWidth == 11;
def, fnc, UpperCaseToLowerCase == 12;
def, fnc, InterfaceClear == 13;
def, fnc, SetBusDeviceTimeout == 14;
def, fnc, WriteCommandString == 15;
def, fnc, WriteDataString == 16;
def, fnc, GetFunctionReturn == 17;
def, fnc, AppendString == 21;
def, fnc, ParseCharacters == 22;
def, fnc, ParseDecimalString == 23;
def, fnc, ParseNumericString == 24;
def, fnc, GetBusControllerListenAddress == 25;
def, fnc, GetBusControllerTalkAddress == 26;
def, fnc, GetBusDeviceListenAddress == 27;
def, fnc, GetBusDeviceName == 28;
def, fnc, GetBusDeviceTalkAddress == 29;
def, fnc, SetBusDeviceNumber == 30;
def, fnc, SetEoiLineFlag == 31;
def, fnc, TalkToBusDevice == 32;
def, fnc, DecimalStringToFloat == 33;
def, fnc, FloatToDecimalString == 34;
def, fnc, NumericStringToInteger == 35;
def, fnc, SetDecimalPointFlag == 36;

```

## Exemplu de drivere de nivel înalt pentru instrumente sub mediul PAWS și OS UNIXWARE

```

def, fnc, SetExponentIndicator      == 37;
def, fnc, SetExponentSignFlag     == 38;
def, fnc, SetExponentWidth        == 39;
def, fnc, SetFractionWidth        == 40;
def, fnc, SetIntegerWidth         == 41;
def, fnc, SetNumberSignFlag       == 42;
def, fnc, ListenToBusDevice       == 43;
def, fnc, ReadDataString          == 44;
def, fnc, Display                  == 45;
def, fnc, GetPathCount            == 46;
def, fnc, GetPathData             == 47;
def, fnc, IndirectPathCount       == 48;
def, fnc, IndirectPathToDirect    == 49;
def, fnc, ReadBinary              == 50;
def, fnc, WriteBinary             == 51;
def, fnc, HexStringToDigital      == 52;
def, fnc, DigitalToHexString     == 53;
def, fnc, EncodeString            == 54;
def, fnc, EncodeBuf              == 54;
def, fnc, FTalk                   == 55;
def, fnc, SetClearFlag           == 56;
def, fnc, SetGetChecksum         == 57;
def, fnc, CheckSRQLine           == 58;
def, fnc, GetToken               == 59;
def, fnc, WriteToGPIO            == 91;
def, fnc, ReadFromGPIO           == 92;
def, fnc, TalkVXI                == 93;
def, fnc, ListenVXI              == 94;
def, fnc, ReadSTB                == 95;
def, fnc, OpenSerial             == 101;
def, fnc, CloseSerial            == 102;
def, fnc, WriteAsciiSerial       == 103;
def, fnc, ReadAsciiSerial        == 104;
def, fnc, SetTimeoutSerial       == 105; *
def, fnc, WritePXB                == 110; ** Added for RADA 608
def, fnc, InitPXB                == 111; ** Added for RADA 608

```

```

*****
*                DUMMY MACRO                *
*****

```

```
def, mac, DummyMacro( );
```

```
{
;
}
```

```

*****
*                SWITCHING DRIVER DYNAMIC DESCRIPTION                *
*****

```

```
dcl {
    ***** SWITCH GLOBALS
    int simulation;
}
```

## Exemplu de drivere de nivel înalt pentru instrumente sub mediul PAWS și OS UNIXWARE

```

int PATHINFO(5);
bln SwxBool;
int matrix_relay, bus_relay, dist_relay, resc_relay;
int sec_dist_relay, sec_resc_relay;
int card_address(8), trip;
int path_sum_before(6);
int path1_after(8), path2_after(8), path3_after(8), path4_after(8);
int active_paths;
int debug;
int relay_tmp;
int index;

int BusGrp(4);
int RscGrp(4);

int src_swx_cnt, pwr_swx_cnt, matrix_path_seen;
int src_relays(20);
int pwr_relays(20);

int dis_matrix_relay, dis_bus_relay, dis_dist_relay, dis_resc_relay;
int dis_sec_bus_relay, dis_sec_dist_relay, dis_sec_resc_relay;

int PreviousMod(20), PreviousPth(20);
*** end SWITCH

*** Other Globals
int NULLPATH;      ** needed for switching
bln BLN_VAR;       ** needed for interrupts
int itmp;          ** temp integer for work
txt ttmp 50;       ** temp txt buffer for work
txt cmd_buf 250;   ** Command Buffer used to buffer strings
txt tbuf 100;      ** Temp Buffer used for work

txt resource_ids(20) 50;
int resource_seen(20);
txt swx_action 10;

int LineHandle(2); ** /dev/tty00, /dev/tty01 Lines
int CurrentLine;

}

*****
*****
*****
***
***
*** SWITCH Macros

def, mac, StartConnect();
{
    SETDEVICE(<SWX>);
    trip = 1;
    src_swx_cnt = 0;
    pwr_swx_cnt = 0;
    bus_relay = 0;

```

## Exemplu de drivere de nivel înalt pentru instrumente sub mediul PAWS și OS UNIXWARE

```

matrix_path_seen = 0;    **** JMH
}
def, mac, StartDisConnect();
{
    SETDEVICE(<SWX>);
    trip = 1;
    src_swx_cnt = 0;
    pwr_swx_cnt = 0;
    bus_relay = 0;
matrix_path_seen = 0;
}

***
*****
*** This macro will send the Power Switch Closures
***

def, mac, SendPowerSwx(action);
int i;
int action;
{
    for(i = 1; i <= pwr_swx_cnt; i = i + 1)
        WritePXB(action, pwr_relays(i), simulation);
}

*****
***
*** This macro will send the Source Switch Closures
***

def, mac, SendSourceSwx(action);
int i;
int action;
{
    for(i = 1; i <= src_swx_cnt; i = i + 1)
        WritePXB(action, src_relays(i), simulation);
}

*****
***
*** This macro will process and buffer the Source Switches.
***

def, mac, ProcessSrcPwrSwitchs(src_pwr_mod, src_pwr_pth);
int src_pwr_mod, src_pwr_pth;
{
    if((src_pwr_mod / 100) == 20)
    {pwr_swx_cnt = pwr_swx_cnt + 1;
    pwr_relays(pwr_swx_cnt) = ((src_pwr_mod % 100) * 1000) + src_pwr_pth;
    }
    else
    {src_swx_cnt = src_swx_cnt + 1;
    src_relays(src_swx_cnt) = ((src_pwr_mod % 100) * 1000) + src_pwr_pth;
    }
}

```

```

*****
***
*** This macro will prepare, during the CONNECT, for the DISCONNECT.
***   This is necessary due to the fact that if a conflict is detected
***   during processing of the CONNECT and the relays must be ReCalculated,
***   the cooresponding DISCONNECT will need to know which path was choosen.
***
def, mac, PrepareDISCONpaths();
    {
        .

    }

*****
**
**   Compute a ResourceGroup based upon Relay Number
**
def, mac, ComputeIndex(relay, ref); int relay; int ref;
    {
        if (relay >= 0)
            {
                index = relay % 4;
                if (index == 0) index = 4;

****Display("Relay=", relay, " Index=", index, " @", ref, "\n");
            }
        else
            {
                Display("ERROR: Invalid Relay # ", relay, "\n");
                Stop();
            }
    }

*****
**
**   Select final Distributor and Resource Relays based upon
**   availablility of Resource Group
**
def, mac, SelDisRscRly(@ dist_relay, @ resc_relay);
int dist_relay, resc_relay;
int  check_count;
    {

}

def, mac, CheckBusGroups();
int tier, tier2;
int relay_tmp;
int i;

```

## Exemplu de drivere de nivel înalt pentru instrumente sub mediul PAWS și OS UNIXWARE

```

{
.
}

*****
*****
*****

def, mac, ExecuteMatrixDisconnect(@ pathX_after); int pathX_after(8);
{
.
}

def, mac, ExecuteDISCON();
int current_path_sum;
int i, path_pointer;
{
.
}

*****
*****
*****

def, mac, ProcessTriplets();
int mod, pth;
txt tmp_buf 250;
txt resource_buf 250;
txt resource_dist 20;
int plug, i;
bln skip;
{

}

*****
*****
*****

def, mac, PATH();
{
;
}

*****
*****

```



```

*****
def, mac, ResetSwx();
int i;
{
    SETDEVICE(<SWX>);

    matrix_relay = 0;
    bus_relay = 0;
    dist_relay = 0;
    resc_relay = 0;
    sec_dist_relay = 0;
    sec_resc_relay = 0;

    active_paths = 0;

    src_swx_cnt = 0;
    pwr_swx_cnt = 0;

    RscGrp(1) = 0; RscGrp(2) = 0; RscGrp(3) = 0; RscGrp(4) = 0;
    BusGrp(1) = 0; BusGrp(2) = 0; BusGrp(3) = 0; BusGrp(4) = 0;
}

*****
*****
*****

def, mac, DispatchCON();
{
    if(src_swx_cnt != 0)
        SendSourceSwx(30);
    if(pwr_swx_cnt != 0)
        SendPowerSwx(30);
    if(matrix_path_seen == 1)
        CheckBusGroups();
}

*****
*****
*****

def, mac, InitSWX();
bIn SwxBool;
{
    InitPXB(simulation);
    ResetSwx();
    ** CONNECT
    enable 40 StartConnect    SwxBool; ** Start Connection Path
    enable 41 ProcessTriplets SwxBool; ** Process Triplets
    enable 42 DispatchCON    SwxBool; ** Manage Bus and Matrix
    ** DISCONNECT
    enable 43 StartDisConnect SwxBool; ** Start DisConnection Path
    enable 44 ProcessTriplets SwxBool; ** Process Triplets
    enable 45 ExecutedDISCON  SwxBool; ** Manage Bus and Matrix
}

```

```
*****
*      MANUAL INTERVENTION DINAMIC DESCRIPTION      *
*****
```

```
dcl
{
  int MIMaxTime;
}

def, mac, InxMIEvent( T);
dec T; * MAX-TIME
{
  MIMaxTime = T + 0.5;
  'manual-intervention' = FALSE;
}

def, mac, FthMIEvent( @R);
bIn R; * EVENT-INDICATOR
{
  while(( 'manual-intervention' == FALSE) && ( MIMaxTime > 0))
  {
    MIMaxTime = MIMaxTime - 1;
    SETDELAY(1);
  }
  R = 'manual-intervention;
}
```

```
*****
** TIMTEH S.R.L.                                **
** DMM Driver Dinamic Description                **
** Version 5                                     **
** Author:                                       **
*****
```

```
dcl
{
  txt DMM_Buffer 80;
  int DMM_itep;
  txt DMM_ttemp 20;
  int DMM_chars_read;
  txt DMM_commands(15) 8;
  dec DMM_ranges(10);
  dec DMM_resolutions(3);
}

def, mac, DMM_BusDeviceError(error_msg);
  txt error_msg 20, device 10;
{
  GDid(device);
  Dsp(device, " = ", error_msg, "\n");
  Stop();
}
```

## Exemplu de drivere de nivel înalt pentru instrumente sub mediul PAWS și OS UNIXWARE

```

def, mac, DMM_AppendNR3( value);
    dec value;
{
    Sfw( 15);
    SmanS(1);
    SiW( 1);
    Sdp( 0);
    SfW( 7);
    Sexp( "E");
    SexpS( 1);
    SexpW( 3);
    Ftoc( value, DMM_ttemp);
    Apnd( DMM_ttemp, DMM_Buffer);
}

def, mac, DMM_AppendInt( inum);
    int inum;
{
    Itoc( inum, DMM_ttemp);
    Apnd( DMM_ttemp, DMM_Buffer);
}

*****
** IEEE Controller communication **

def, mac, DMM_TalkBus();
{
    Apnd("\r\n",DMM_Buffer);
    Talk(DMM_Buffer);
    Rtn(DMM_itemp);

    if(DMM_itemp<0)
        DMM_BusDeviceError("BUS TALK ERROR");

    Cpy("",DMM_Buffer);
}

def, mac, DMM_ListenBus();
{
    Listn(DMM_Buffer);
    Rtn(DMM_itemp);

    if(DMM_itemp < 0)
        DMM_BusDeviceError("BUS LISTEN ERROR");
    else
        DMM_chars_read = DMM_itemp;
}

def, mac, DMM_Status();          * Call after REMOVE ALL, TERMINATE ...
    int stat;
{
    Cpy( "*STB?", DMM_Buffer);  * poll status byte
    DMM_TalkBus();
    DMM_ListenBus();
}

```

```

Ctoi( DMM_Buffer, stat);

if( stat != 0)
{
    Dsp( " ERROR ! Final DMM_Status Byte = ", stat, "\n");
    DMM_BusDeviceError("DMM_Status ERROR");
}
}

def, mac, DMM_Sta();          * Call after FETCH
    int sta;
{
    Cpy( "**STB?", DMM_Buffer); * poll status byte
    DMM_TalkBus();
    DMM_ListenBus();

    Ctoi( DMM_Buffer, sta);

    if ((sta & x'20') != 0)
    {
        Cpy( "**ESR?", DMM_Buffer); * poll Standard Event
        DMM_TalkBus();
        DMM_ListenBus();
        Ctoi( DMM_Buffer, DMM_itep);
        if((DMM_itep & x'64') != 0) * operation complete is ignored
        {
            Dsp( " ERROR ! Standard Event Register = ", DMM_itep, "\n");
            DMM_BusDeviceError("DMM_Status ERROR");
        }
    }
}
if ((sta & x'08') != 0)
{
    Cpy( "STAT:QUES:EVEN?", DMM_Buffer); * poll Quest.Data
    DMM_TalkBus();
    DMM_ListenBus();
    Ctoi( DMM_Buffer, DMM_itep);
    if( DMM_itep != 512) * Ohms overload is ignored
    {
        Dsp( " ERROR ! Questionable Data Register = ", DMM_itep, "\n");
        DMM_BusDeviceError("DMM_Status ERROR");
    }
}
}

def, mac, DMM_ResetDevice();
{
    Cpy( "**RST", DMM_Buffer); * Reset
    DMM_TalkBus();
    Cpy( "**CLS", DMM_Buffer); * Clear status
    DMM_TalkBus();
}

```

## Exemplu de drivere de nivel înalt pentru instrumente sub mediul PAWS și OS UNIXWARE

```

def, mac, DMM_AMP1_Reset();
{
    WritePXB(30, 8032, simulation); * Close the current path
    SETDELAY(0.5); * Wait for bouncing
    WritePXB(31, 8033, simulation); * Open Ampmeter port
    WritePXB(31, 8034, simulation); * Open Ampmeter port
    DMM_ResetDevice();
}

def, mac, DMM_AMP2_Reset();
{
    WritePXB(30, 8035, simulation); * Close the current path
    SETDELAY(0.5); * Wait for bouncing
    WritePXB(31, 8036, simulation); * Open Ampmeter port
    WritePXB(31, 8037, simulation); * Open Ampmeter port
    DMM_ResetDevice();
}

def, mac, DMM_CommFill();
{
    Cpy( "VOLT:DC", DMM_commands( 1));
    Cpy( "CURR:DC", DMM_commands( 2));
    Cpy( "RES", DMM_commands( 3));
    Cpy( "FRES", DMM_commands( 4));
    Cpy( "VOLT:AC", DMM_commands( 5));
    Cpy( "CURR:AC", DMM_commands( 6));
    DMM_resolutions(1) = 1.0e6;
    DMM_resolutions(2) = 1.0e5;
    DMM_resolutions(3) = 1.0e4;
    DMM_ranges(1) = 0.010;
    DMM_ranges(2) = 0.100;
    DMM_ranges(3) = 1.000;
    DMM_ranges(4) = 3.000;
    DMM_ranges(5) = 10.00;
    DMM_ranges(6) = 100.0;
    DMM_ranges(7) = 750.0;
    DMM_ranges(8) = 1.0e3;
    DMM_ranges(9) = 1.0e4;
    DMM_ranges(10) = 1.0e5;
}

def, mac, DMM_Init();
{
    SETDEVICE(<DMM>);
    DMM_CommFill();
    Cpy("",DMM_Buffer);
    Cpy( "*SRE 0", DMM_Buffer); * Service enable reg: Disable all
    DMM_TalkBus();
    Cpy( "*ESE 255", DMM_Buffer); * Standard Event enab.reg: Enab. all
    DMM_TalkBus();
    Cpy( "STAT:QUES:ENAB 515", DMM_Buffer); * Enab. all overload bits
    DMM_TalkBus();
    DMM_AMP1_Reset();
    DMM_AMP2_Reset();
* DMM_ResetDevice();
}

```

## Exemplu de drivere de nivel înalt pentru instrumente sub mediul PAWS și OS UNIXWARE

```

*   DMM_Status();
*   Cpy( "ROUT:TERM?", DMM_Buffer);   * Check the active terminals (FRONT / REAR)
*   DMM_TalkBus();
*   DMM_ListenBus();
*   Dsp( "Active terminals: ", DMM_Buffer);
}

```

```
*****
```

```
** SETUP ** ATLAS single verb handling
```

```

def, mac, DMM_Setup( function, range_val, speed);
int function, range_val, speed;
dec range, resolution;
int fnc, mode;
{
    fnc = function % 10;
    mode = (int) function / 10;
    Cpy( "CONF:", DMM_Buffer);
    Apnd( DMM_commands(fnc), DMM_Buffer);
    Apnd(" ", DMM_Buffer);
*****
    if((fnc == 3) || (fnc == 4))
        range_val = 0;                               ** auto ranging for resistance
*****
        if( range_val == 0)
            Apnd( "DEF,DEF", DMM_Buffer);             ** AUTO ranging
        else
        {
            range = DMM_ranges(range_val);
            if((fnc == 3) || (fnc == 4))
                range = range*1000.0;                 ** resistance measurement
            if((range_val == 4) || (range_val == 7))
                range_val = range_val + 1;
            resolution = DMM_ranges(range_val);
            if((fnc == 3) || (fnc == 4))
                resolution = resolution*1000.0;       ** resistance measurement
            resolution = resolution / DMM_resolutions(mode);
            DMM_AppendNR3( range);
            Apnd(",", DMM_Buffer);
            DMM_AppendNR3( resolution);
        }
    DMM_TalkBus();

    if((fnc == 5) || (fnc == 6))
    {
        if(speed == 1) Cpy("DET:BAND 3", DMM_Buffer);
        if(speed == 2) Cpy("DET:BAND 20", DMM_Buffer);
        if(speed == 3) Cpy("DET:BAND 200", DMM_Buffer);
        DMM_TalkBus();
    }

    if((fnc == 1) || (fnc == 2) || (fnc == 3) || (fnc == 4))
    {
        Cpy(DMM_commands(fnc), DMM_Buffer);
        Apnd(":NPLC ", DMM_Buffer);
    }
}

```

## Exemplu de drivere de nivel înalt pentru instrumente sub mediul PAWS și OS UNIXWARE

```

    if (speed == 1) Apnd("100", DMM_Buffer);
    if (speed == 2) Apnd("10", DMM_Buffer);
    if (speed == 3) Apnd("1", DMM_Buffer);
    DMM_TalkBus();
}
}

def, mac, DMM_AMP1_Setup( function, range_val, speed);
int function, range_val, speed;
dec range;
{
    DMM_Setup(function, range_val, speed);
    WritePXB(30, 8033, simulation); * Close Ampmeter port
    WritePXB(30, 8034, simulation); * Close Ampmeter port
    SETDELAY(0.5); * Wait for bouncing
    WritePXB(31, 8032, simulation); * Open the current path
}

def, mac, DMM_AMP2_Setup( function, range_val, speed);
int function, range_val, speed;
dec range;
{
    DMM_Setup(function, range_val, speed);
    WritePXB(30, 8036, simulation); * Close Ampmeter port
    WritePXB(30, 8037, simulation); * Close Ampmeter port
    SETDELAY(0.5); * Wait for bouncing
    WritePXB(31, 8035, simulation); * Open the current path
}

*****
** INITIATE ** ATLAS single verb handling

** ARM ** ATLAS single verb handling

def, mac, DMM_Inx();
{
    Cpy( "INIT", DMM_Buffer);
    DMM_TalkBus();
}

*****
** FETCH ** ATLAS single verb handling

def, mac, DMM_Fetch( @target);
dec target;
{
    Cpy( "FETC?", DMM_Buffer);
    DMM_TalkBus();
    DMM_ListenBus();

    Ctof( DMM_Buffer, target);
    DMM_Sta();
}

```

## Exemplu de drivere de nivel înalt pentru instrumente sub mediul PAWS și OS UNIXWARE

\*\*\*\*\*

\* COMMON RESERVED MACROS \*

```

def, mac, RESETALL();
{
    itmp = 0;                ** reset switch
    InitSWX();

    SETDEVICE(<DMM>);
    DMM_ResetDevice();
    DMM_Status();
    DMM_AMP1_Reset();
    DMM_AMP2_Reset();

}

def, mac, INITIALIZE();
{
    Bto(10);                ** Bus Timeout - 10 Sec
    Bic();                  ** Interface Clear

** initialize switching driver
simulation = 0;
InitSWX();
debug = 0;

** initialize all ATE devices
DMM_Init();

AUD-Initialize();        ** initialize AUD

RESETALL;
}

def, mac, TERMINATE();
{
    RESETALL();
}

```

=====

```

*
*          STATIC DESCRIPTION          *
*
=====

```

\*\*\*\*\*

\* MANUAL INTERVENTION STATIC DESCRIPTION \*

begin DEV NUL;



## Exemplu de drivere de nivel înalt pentru instrumente sub mediul PAWS și OS UNIXWARE

```

begin;
  cnx event-out NUL-EV;

  init InxMIEvent( max-time: 0);
  fetch FthMIEvent( event-indicator result);

  event monitor (manual-intervention) event;

  control
  {
    event-out;
    event-indicator;
    max-time max 3000 sec;
  }
end;
end; ** DEV NUL

*****
*          STATIC DESCRIPTION          *
*****

begin dev EARTH1;
  cnx from EARTH,
    to EARTH;
  load earth;
end;

*****
** TIMTEH S.R.L.                        **
** DMM Driver Static Description        **
** Version                             **
** Author:                             **
*****

begin DEV DMM using DMMhp;
  reset DMM_ResetDevice();
  init DMM_Inx();

  cnx hi DMM1_HI, lo DMM1_LO;

begin; ** dc & resistance functions - NPLC aplicable
begin; **voltage functions
  setup DMM_Setup( $FNC, voltage $RNG:0, 2);
  fetch DMM_Fetch( voltage result);
  sensor (voltage) dc signal;
  capability
  {
    test-equip-imp-magnitude min 1E6 ohm;
    ac-comp max 0.1 v;
  }
begin FNC=11;
  control
  {
    voltage range -1.0e3 v to 1.0e3 v by 1.0e-3 v errlmt +-0.05 pc RNG=8,

```

## Exemplu de drivere de nivel înalt pentru instrumente sub mediul PAWS și OS UNIXWARE

```

    range -1.0e2 v to 1.0e2 v by 1.0e-4 v errlmt +-0.05 pc RNG=6,
    range -1.0e1 v to 1.0e1 v by 1.0e-5 v errlmt +-0.05 pc RNG=5,
    range -1.0e0 v to 1.0e0 v by 1.0e-6 v errlmt +-0.05 pc RNG=3,
    range -0.1e0 v to 0.1e0 v by 1.0e-7 v errlmt +-0.05 pc RNG=2;
    ** 6 1/2 digits resolution
}
end;
begin FNC=21;
control
{
    voltage range -1.0e3 v to 1.0e3 v by 1.0e-2 v errlmt +-0.05 pc RNG=8,
    range -1.0e2 v to 1.0e2 v by 1.0e-3 v errlmt +-0.05 pc RNG=6,
    range -1.0e1 v to 1.0e1 v by 1.0e-4 v errlmt +-0.05 pc RNG=5,
    range -1.0e0 v to 1.0e0 v by 1.0e-5 v errlmt +-0.05 pc RNG=3,
    range -0.1e0 v to 0.1e0 v by 1.0e-6 v errlmt +-0.05 pc RNG=2;
    ** 5 1/2 digits resolution
}
end;
begin FNC=31;
control
{
    voltage range -1.0e3 v to 1.0e3 v by 1.0e-1 v errlmt +-0.05 pc RNG=8,
    range -1.0e2 v to 1.0e2 v by 1.0e-2 v errlmt +-0.05 pc RNG=6,
    range -1.0e1 v to 1.0e1 v by 1.0e-3 v errlmt +-0.05 pc RNG=5,
    range -1.0e0 v to 1.0e0 v by 1.0e-4 v errlmt +-0.05 pc RNG=3,
    range -0.1e0 v to 0.1e0 v by 1.0e-5 v errlmt +-0.05 pc RNG=2;
    ** 4 1/2 digits resolution
}
end;
end; ** voltage funct

begin; ** 2 wires resistance functions
setup DMM_Setup( $FNC, res $RNG:0, 2);
fetch DMM_Fetch( res result);
sensor (res) impedance;
limit
{
    pwr-lmt max 1 mw;
}
begin FNC=13;
control
{
    res range 0.0 ohm to 1.0e8 ohm by 1.00e2 ohm errlmt +-0.81 pc RNG=10,
    range 0.0 ohm to 1.0e7 ohm by 1.00e1 ohm errlmt +-0.04 pc RNG=9,
    range 0.0 ohm to 1.0e6 ohm by 1.0e-0 ohm errlmt +-0.01 pc RNG=8,
    range 0.0 ohm to 1.0e5 ohm by 1.0e-1 ohm errlmt +-0.01 pc RNG=6,
    range 0.0 ohm to 1.0e4 ohm by 1.0e-2 ohm errlmt +-0.01 pc RNG=5,
    range 0.0 ohm to 1.0e3 ohm by 1.0e-3 ohm errlmt +-0.01 pc RNG=3,
    range 0.0 ohm to 1.0e2 ohm by 1.0e-4 ohm errlmt +-0.01 pc RNG=2;
    ** - 6 1/2 digits resolution
}
end;
begin FNC=23;
control
{
    res range 0.0 ohm to 1.0e8 ohm by 1.00e3 ohm errlmt +-0.81 pc RNG=10,

```

## Exemplu de drivere de nivel înalt pentru instrumente sub mediul PAWS și OS UNIXWARE

```

    range 0.0 ohm to 1.0e7 ohm by 1.00e2 ohm errlmt +-0.04 pc RNG=9,
    range 0.0 ohm to 1.0e6 ohm by 1.00e1 ohm errlmt +-0.01 pc RNG=8,
    range 0.0 ohm to 1.0e5 ohm by 1.0e-0 ohm errlmt +-0.01 pc RNG=6,
    range 0.0 ohm to 1.0e4 ohm by 1.0e-1 ohm errlmt +-0.01 pc RNG=5,
    range 0.0 ohm to 1.0e3 ohm by 1.0e-2 ohm errlmt +-0.01 pc RNG=3,
    range 0.0 ohm to 1.0e2 ohm by 1.0e-3 ohm errlmt +-0.01 pc RNG=2;
    ** - 5 1/2 digits resolution
}
end;
begin FNC=33;
    control
    {
        res range 0.0 ohm to 1.0e8 ohm by 1.00e4 ohm errlmt +-0.81 pc RNG=10,
        range 0.0 ohm to 1.0e7 ohm by 1.00e3 ohm errlmt +-0.04 pc RNG=9,
        range 0.0 ohm to 1.0e6 ohm by 1.00e2 ohm errlmt +-0.01 pc RNG=8,
        range 0.0 ohm to 1.0e5 ohm by 1.00e1 ohm errlmt +-0.01 pc RNG=6,
        range 0.0 ohm to 1.0e4 ohm by 1.0e-0 ohm errlmt +-0.01 pc RNG=5,
        range 0.0 ohm to 1.0e3 ohm by 1.0e-1 ohm errlmt +-0.01 pc RNG=3,
        range 0.0 ohm to 1.0e2 ohm by 1.0e-2 ohm errlmt +-0.01 pc RNG=2;
        ** - 4 1/2 digits resolution
    }
end;
end; * 2 wires resistance functions

begin; ** current functions
    sensor (current) dc signal;
    fetch DMM_Fetch( current result);

begin; ** AMP1 device
    cnx hi AMP1;
    setup DMM_AMP1_Setup( $FNC, current $RNG:0, 2);
    reset DMM_AMP1_Reset();
    begin FNC=12;
        control
        {
            current range -3.0e+0 a to 3.0e+0 a by 1.0e-5 a errlmt +-0.50 pc RNG=4,
            range -1.0e+0 a to 1.0e+0 a by 1.0e-6 a errlmt +-0.10 pc RNG=3,
            range -1.0e-1 a to 1.0e-1 a by 1.0e-7 a errlmt +-0.05 pc RNG=2,
            range -1.0e-2 a to 1.0e-2 a by 1.0e-8 a errlmt +-0.07 pc RNG=1;
            * - 6 1/2 digits resolution
        }
    end;
    begin FNC=22;
        control
        {
            current range -3.0e+0 a to 3.0e+0 a by 1.0e-4 a errlmt +-0.50 pc RNG=4,
            range -1.0e+0 a to 1.0e+0 a by 1.0e-5 a errlmt +-0.10 pc RNG=3,
            range -1.0e-1 a to 1.0e-1 a by 1.0e-6 a errlmt +-0.05 pc RNG=2,
            range -1.0e-2 a to 1.0e-2 a by 1.0e-7 a errlmt +-0.07 pc RNG=1;
            * - 5 1/2 digits resolution
        }
    end;
    begin FNC=32;
        control
        {
            current range -3.0e+0 a to 3.0e+0 a by 1.0e-3 a errlmt +-0.50 pc RNG=4,

```

## Exemplu de drivere de nivel înalt pentru instrumente sub mediul PAWS și OS UNIXWARE

```

        range -1.0e+0 a to 1.0e+0 a by 1.0e-4 a errlmt +-0.10 pc RNG=3,
        range -1.0e-1 a to 1.0e-1 a by 1.0e-5 a errlmt +-0.05 pc RNG=2,
        range -1.0e-2 a to 1.0e-2 a by 1.0e-6 a errlmt +-0.07 pc RNG=1;
    * - 4 1/2 digits resolution
    }
end;
end; ** AMP1 device
begin; ** AMP2 device
    cnx hi AMP2;
    setup DMM_AMP2_Setup( $FNC, current $RNG:0, 2);
    reset DMM_AMP2_Reset();

    begin FNC=12;
        control
        {
    current range -3.0e+0 a to 3.0e+0 a by 1.0e-5 a errlmt +-0.50 pc RNG=4,
        range -1.0e+0 a to 1.0e+0 a by 1.0e-6 a errlmt +-0.10 pc RNG=3,
        range -1.0e-1 a to 1.0e-1 a by 1.0e-7 a errlmt +-0.05 pc RNG=2,
        range -1.0e-2 a to 1.0e-2 a by 1.0e-8 a errlmt +-0.07 pc RNG=1;
    * - 6 1/2 digits resolution
    }
end;
    begin FNC=22;
        control
        {
    current range -3.0e+0 a to 3.0e+0 a by 1.0e-4 a errlmt +-0.50 pc RNG=4,
        range -1.0e+0 a to 1.0e+0 a by 1.0e-5 a errlmt +-0.10 pc RNG=3,
        range -1.0e-1 a to 1.0e-1 a by 1.0e-6 a errlmt +-0.05 pc RNG=2,
        range -1.0e-2 a to 1.0e-2 a by 1.0e-7 a errlmt +-0.07 pc RNG=1;
    * - 5 1/2 digits resolution
    }
end;
    begin FNC=32;
        control
        {
    current range -3.0e+0 a to 3.0e+0 a by 1.0e-3 a errlmt +-0.50 pc RNG=4,
        range -1.0e+0 a to 1.0e+0 a by 1.0e-4 a errlmt +-0.10 pc RNG=3,
        range -1.0e-1 a to 1.0e-1 a by 1.0e-5 a errlmt +-0.05 pc RNG=2,
        range -1.0e-2 a to 1.0e-2 a by 1.0e-6 a errlmt +-0.07 pc RNG=1;
    * - 4 1/2 digits resolution
    }
end;
end; ** AMP2 device
end; ** current functions
end; ** dc & resistance functions - NPLC aplicable

*****

begin; ** ac functions
    control
    {
    freq range 3 hz to 20000 hz  RNG = 1,
        range 20 hz to 20000 hz  RNG = 2,
        range 200 hz to 20000 hz RNG = 3;
    bandwidth range 3 hz to 20000 hz  RNG = 1,
        range 20 hz to 20000 hz  RNG = 2,

```

## Exemplu de drivere de nivel înalt pentru instrumente sub mediul PAWS și OS UNIXWARE

```

    range 200 hz to 20000 hz RNG = 3;
}
begin FNC=15;
  setup DMM_Setup( $FNC, voltage $RNG:0, bandwidth $RNG: freq $RNG: 2);
  fetch DMM_Fetch( voltage result);
  sensor (voltage) ac signal;
  control
  {
    voltage range 0.0 v to 750.0 v by 1.0e-3 v errlmt +-0.1 pc RNG=7,
      range 0.0 v to 100.0 v by 1.0e-4 v errlmt +-0.1 pc RNG=6,
      range 0.0 v to 10.00 v by 1.0e-5 v errlmt +-0.1 pc RNG=5,
      range 0.0 v to 1.000 v by 1.0e-6 v errlmt +-0.1 pc RNG=3,
      range 0.0 v to 0.100 v by 1.0e-7 v errlmt +-0.1 pc RNG=2;
    ** 6 1/2 digits resolution
  }
end;
begin FNC=15;
  setup DMM_Setup( $FNC, voltage-trms $RNG:0, bandwidth $RNG: freq $RNG: 2);
  fetch DMM_Fetch( voltage-trms result);
  sensor (voltage-trms) ac signal;
  control
  {
    voltage-trms range 0.0 v to 750.0 v by 1.0e-3 v errlmt +-0.1 pc RNG=7,
      range 0.0 v to 100.0 v by 1.0e-4 v errlmt +-0.1 pc RNG=6,
      range 0.0 v to 10.00 v by 1.0e-5 v errlmt +-0.1 pc RNG=5,
      range 0.0 v to 1.000 v by 1.0e-6 v errlmt +-0.1 pc RNG=3,
      range 0.0 v to 0.100 v by 1.0e-7 v errlmt +-0.1 pc RNG=2;
    ** 6 1/2 digits resolution
  }
end;
begin FNC = 16; ** ac current functions
  fetch DMM_Fetch( current result);
  sensor (current) ac signal;
  control
  {
    current range 0 a to 3 a by 1.0e-5 a errlmt +-0.23 pc RNG=4,
      range 0 a to 1 a by 1.0e-6 a errlmt +-0.16 pc RNG=3;
    freq range 20 hz to 5000 hz;
  }
end; ** AMP1 device
  cnx hi AMP1;
  setup DMM_AMP1_Setup( $FNC, current $RNG:0, bandwidth $RNG: freq $RNG: 2);
  reset DMM_AMP1_Reset();
end; ** AMP1 device
begin; ** AMP2 device
  cnx hi AMP2;
  setup DMM_AMP2_Setup( $FNC, current $RNG:0, bandwidth $RNG: freq $RNG: 2);
  reset DMM_AMP2_Reset();
end; ** AMP2 device
end; ** ac current functions
end; ** ac functions

end; ** DEV DMM

```

### Fișier DeviceDescription.cfg

DMM:

```
VERIFY: <VERIFY, (%W%)>: DATA = %
VERIFY: <DC SIGNAL>: DC_VOLT = DC_VOLT
VERIFY: <AC SIGNAL>: AC_VOLT = AC_VOLT
VERIFY: <IMPEDANCE>: IMPEDANCE = IMPEDANCE
VERIFY: <VOLTAGE RANGE %W%>: RANGE1 = %
VERIFY: <TO %W%>: RANGE2 = %
VERIFY: <LL %W%>: LL = LL
VERIFY: <UL %W%>: UL = UL
VERIFY: <CNX HI %S%LO>: HI = %
VERIFY: <LO %S%>: LO = %

MEASURE: <INTO %W%>: DATA = %
MEASURE: <DC SIGNAL>: DC_VOLT = DC_VOLT
MEASURE: <AC SIGNAL>: AC_VOLT = AC_VOLT
MEASURE: <IMPEDANCE>: IMPEDANCE = IMPEDANCE
MEASURE: <VOLTAGE RANGE %W%>: RANGE1 = %
MEASURE: <TO %W%>: RANGE2 = %
MEASURE: <LL %W%>: LL = LL
MEASURE: <UL %W%>: UL = UL
MEASURE: <CNX HI %S%LO>: HI = %
MEASURE: <LO %S%>: LO = %
```

END DMM

DMM\_AMP:

```
VERIFY: <VERIFY, (%W%)>: DATA = %
VERIFY: <DC SIGNAL>: DC_CURRENT = DC_CURRENT
VERIFY: <AC SIGNAL>: AC_CURRENT = AC_CURRENT
VERIFY: <VOLTAGE RANGE %W%>: RANGE1 = %
VERIFY: <TO %W%>: RANGE2 = %
VERIFY: <LL %W%>: LL = LL
VERIFY: <UL %W%>: UL = UL
VERIFY: <CNX HI %S%LO>: HI = %
VERIFY: <LO %S%>: LO = %

MEASURE: <INTO %W%>: DATA = %
MEASURE: <DC SIGNAL>: DC_VOLT = DC_VOLT
MEASURE: <AC SIGNAL>: AC_VOLT = AC_VOLT
MEASURE: <VOLTAGE RANGE %W%>: RANGE1 = %
MEASURE: <TO %W%>: RANGE2 = %
MEASURE: <LL %W%>: LL = LL
MEASURE: <UL %W%>: UL = UL
MEASURE: <CNX HI %S%LO>: HI = %
MEASURE: <LO %S%>: LO = %
```

END DMM\_AMP

PS8:

```
APPLY: <DC SIGNAL>: DC_VOLT = DC_VOLT
APPLY: <VOLTAGE %W%>: VOLTAGE = %
APPLY: <VOLTAGE RANGE %W%>: RANGE1 = %
APPLY: <TO %W%>: RANGE2 = %
```

ANEXA 4 – Fișiere de configurare, intrare și rezultate pentru transformator  
din ATLAS în sursă în limbaj intermediar

APPLY: <CNX HI %S%LO>: HI = %  
APPLY: <LO %S%>: LO = %

REMOVE: <DC SIGNAL>: DC\_VOLT = DC\_VOLT  
REMOVE: <VOLTAGE %W%>: VOLTAGE = %  
REMOVE: <VOLTAGE RANGE %W%>: RANGE1 = %  
REMOVE: <TO %W%>: RANGE2 = %  
REMOVE: <CNX HI %S%LO>: HI = %  
REMOVE: <LO %S%>: LO = %

END PS8

LOAD1

APPLY: <RES %W%>: RES = %  
APPLY: <RANGE %W%>: RANGE1 = %  
APPLY: <TO %W%>: RANGE2 = %  
APPLY: <CNX HI %S%LO>: HI = %  
APPLY: <LO %S%>: LO = %  
APPLY: <CNX %S%>: HI = %

REMOVE: <RES %W%>: RES = %  
REMOVE: <RANGE %W%>: RANGE1 = %  
REMOVE: <TO %W%>: RANGE2 = %  
REMOVE: <CNX %S%>: HI = %

CONNECT: <CNX HI %S%LO>: HI = %  
REMOVE: <LO %S%>: LO = %

END LOAD1

LOAD2

APPLY: <RES %W%>: RES = %  
APPLY: <RANGE %W%>: RANGE1 = %  
APPLY: <TO %W%>: RANGE2 = %  
APPLY: <CNX HI %S%LO>: HI = %  
APPLY: <LO %S%>: LO = %

REMOVE: <RES %W%>: RES = %  
REMOVE: <RANGE %W%>: RANGE1 = %  
REMOVE: <TO %W%>: RANGE2 = %  
REMOVE: <CNX HI %S%LO>: HI = %  
REMOVE: <LO %S%>: LO = %

END LOAD2

PS4:

APPLY: <AC SIGNAL>: AC\_VOLT = AC\_VOLT  
APPLY: <VOLTAGE %W%>: VOLTAGE = %  
APPLY: <FREQ %W%>: FREQ = %  
APPLY: <CURRENT MAX %W%>: RANGE1 = %  
APPLY: <CNX HI %S%LO>: HI = %  
APPLY: <LO %S%>: LO = %

REMOVE: <AC SIGNAL>: AC\_VOLT = AC\_VOLT  
REMOVE: <VOLTAGE %W%>: VOLTAGE = %  
REMOVE: <FREQ %W%>: FREQ = %  
REMOVE: <CURRENT MAX %W%>: RANGE1 = %

ANEXA 4 – Fișiere de configurare, intrare și rezultate pentru transformator  
din ATLAS în sursă în limbaj intermediar

```
REMOVE: <CNX HI %S%LO>: HI = %
REMOVE: <LO %S%>: LO = %
END PS4

DIFF_SCOPE:

VERIFY: <VERIFY, (%S%)>: DATA = %
VERIFY: <VOLTAGE-P-POS>: PEAK_DETECT = POSITIVE_PEAK
VERIFY: <VOLTAGE-P-NEG>: PEAK_DETECT = NEGATIVE_PEAK
VERIFY: <SQUARE WAVE>: CHANNEL_A = CHANNEL_1
VERIFY: <SQUARE WAVE>: CHANNEL_B = CHANNEL_4
VERIFY: <MAX %W%>: VERT_RANGE = %
VERIFY: <MIN %W%>: VERT_RANGE = %
VERIFY: <SQUARE WAVE>: TRIG_SOURCE = CHANNEL_1
VERIFY: <SQUARE WAVE>: TRIG_LEVEL = ??
VERIFY: <SQUARE WAVE>: TRIG_COUPLING = DC
VERIFY: <SQUARE WAVE>: TRIG_LEVEL = EDGE

VERIFY: <LL %W%>: LL = LL
VERIFY: <UL %W%>: UL = UL
VERIFY: <CNX TRUE %S%COMP>: TRUE = %
VERIFY: <COMP %S%LO>: COMP = %
VERIFY: <LO %S%>: LO = %

END DIFF_SCOPE

COM_1:
ENABLE, EXCHANGE: <USING '%S%',>: CONFIG = %
ENABLE, EXCHANGE: <CNX HI %S%LO>: HI = %
ENABLE, EXCHANGE: <LO %S%>: LO = %

END COM_1

COM_2:
ENABLE, EXCHANGE: <USING '%S%',>: CONFIG = %
ENABLE, EXCHANGE: <CNX HI %S%LO>: HI = %
ENABLE, EXCHANGE: <LO %S%>: LO = %

END COM_2

COM_3:
ENABLE, DIGITAL: <CONFIGURATION '%S%'>: CONFIG = %
END COM_3

FLOW:
CALCULATE: <CALCULATE, %S%>: EXPRESSION = %
PERFORM: <PERFORM, '%S%'>: SUBROUTINE = %
PERFORM: <(%nW%)>: ITEM = %
WAIT FOR: <WAIT FOR, TIME%S%$>: DELAY = %
BEGIN, BLOCK: <BEGIN, BLOCK, '%S%'>: ENTRY = %
END, BLOCK: <END, BLOCK, '%S%'>: ENTRY = %
IF,: <NOGO>: IF_VAR = NOGO
IF,: <EQ>: IF_TEST = EQ
IF,: <NOGO>: IF_VALUE = TRUE
END, IF: <END, IF>: ENDIF = ?
```



## ANEXA 4 – Fișiere de configurare, intrare și rezultate pentru transformator din ATLAS în sursă în limbaj intermediar

```
OUTPUT: <OUTPUT, TEXT>: OUT_DESTIN = stdio
OUTPUT: <TEXT, FROM C'%nW%'>: OUTPUT = %
INPUT, FROM: <INPUT,>: INPUT =
INPUT, FROM: <FROM '%s%'>: FROM = %
INPUT, FROM: <INTO '%S%'>: IN_DESTIN = %
INPUT, TEXT,: <INTO '%S%'>: DEST = %
COMPARE: <COMPARE, '%S%'>: COMP_DATA = %
COMPARE: <UL %S% >: COMP_UL = %
COMPARE: <LL %S% >: COMP_LL = %
WHILE: <WHILE, %S% (>: WHILE_COND = %
WHILE: < (%S%),>: WHILE_VAL = %
ENABLE, INPUT: <FROM%S%,>: SOURCE = %
ENABLE, INPUT: <VIA '%S%'>: DEST = %
DISABLE,: <DISABLE, '%S%'> HANDLER = %
END FLOW:
```

### Fișier DeviceModifiers.cfg

DMM

```
result->data = DATA;
device->name = DMM;
device->function = DC_VOLT;
device->function = AC_VOLT;
device->function = IMPEDANCE;
device->range = RANGE1;
device->range = RANGE2;
device->resolution = ;
device->trigger = ;
tolerance->ul = UL;
tolerance->ll = LL;
connection->hi = HI;
connection->lo = LO;
```

END DMM

DMM\_AMP

```
result->data = DATA;

device->name = DMM_AMP;
device->function = DC_CURRENT;
device->function = AC_CURRENT;
device->range = RANGE1;
device->range = RANGE2;
device->resolution = ;
device->trigger = ;

tolerance->ul = UL;
tolerance->ll = LL;

connection->hi = HI;
connection->lo = LO;
```

END DMM\_AMP

PS8

```
device->name = PS8;
```

## ANEXA 4 – Fișiere de configurare, intrare și rezultate pentru transformator din ATLAS în sursă în limbaj intermediar

```
device->function = DC_VOLT;  
device->control = VOLTAGE;  
device->range = RANGE1;  
device->range = RANGE2;  
connection->hi = HI;  
connection->lo = LO;  
END PS8  
  
LOAD1  
device->name = LOAD1;  
device->data = RES;  
device->range = RANGE1;  
device->range = RANGE2;  
connection->hi = HI;  
connection->lo = LO;  
  
END LOAD1  
  
LOAD2  
device->name = LOAD2;  
device->data = RES;  
device->range = RANGE1;  
device->range = RANGE2;  
connection->hi = HI;  
connection->lo = LO;  
  
END LOAD2  
  
PS4  
device->name = PS4;  
device->function = AC_VOLT;  
device->voltage = VOLTAGE;  
device->freq = FREQ;  
device->current_max = RANGE1;  
connection->hi = HI;  
connection->lo = LO;  
END PS4  
  
DIFF_SCOPE  
  
result->data = DATA;  
  
device->name = DIFF_SCOPE;  
device->aquisition_type = PEAK_DETECT;  
device->channel1 = CHANNEL_A;  
device->channel2 = CHANNEL_B;  
device->vertical_range = VERT_RANGE;  
device->trig_source = TRIG_SOURCE;  
device->trig_level = TRIG_LEVEL;  
device->trig_coupl = TRIG_COUPLING;  
device->trig_slope = TRIG_SLOPE;  
device->trig_type = TRIG_TYPE;  
  
tolerance->ul = UL;  
tolerance->ll = LL;
```

ANEXA 4 – Fisiere de configurare, intrare și rezultate pentru transformator  
din ATLAS în sursă în limbaj intermediar

```
connection->true = TRUE;  
connection->comp = COMP;  
connection->lo = LO;
```

END DIFF\_SCOPE

COM\_1

```
device->name = COM_1;  
config->type = CONFIG;  
connection->hi = HI;  
connection->lo = LO;
```

END COM\_1

COM\_2

```
device->name = COM_2;  
config->type = CONFIG;  
connection->hi = HI;  
connection->lo = LO;
```

END COM\_2

COM\_3

```
device->name = COM_3;  
config->type = CONFIG;
```

END COM\_3

FLOW

```
expression->data = EXPRESSION;  
subroutine->name = SUBROUTINE;  
parameters->item = ITEM;  
delay->value = DELAY;  
entry->name = ENTRY;  
out_dest->type = OUT_DESTIN;  
data->content = OUTPUT;  
data->type = INPUT;  
source->id = FROM;  
in_dest->id = IN_DESTIN;  
variable->name = IF_VAR;  
condition->type = IF_TEST;  
value->test = IF_VALUE;  
nothing->no = ENDIF;  
data->value = COMP_DATA;  
limit->ul = COMP_UL;  
limit-> = COMP_LL;  
cond->type = WHILE_COND;  
cond->data = WHILE_DATA;  
cond->value = WHILE_VAL;  
source->name = SOURCE;  
destination->name = DEST;  
handler->name = HANDLER;
```

END FLOW

### Fișier Language.cfg

VERIFY = verify (result, device, tolerance, connection);  
APPLY = apply (device, connection);  
REMOVE = remove (device, connection);  
MEASURE = measure (result, device, connection);  
CONNECT = connect (device, connection);  
DISCONNECT = disconnect (device, connection);  
DO, EXCHANGE = do\_exchange (device, parameters);  
IF, = if (variable, condition, test);  
END, IF = end\_if ();  
BEGIN, BLOCK = begin\_block (entry);  
END, BLOCK = end\_block (entry);  
OUTPUT = output (out\_dest, data);  
INPUT, FROM = input (data, source, in\_dest);  
INPUT, TEXT, = input\_text (destination);  
INPUT, GO-NOGO = input\_gonogo ();  
CALCULATE = calculate (expression);  
PERFORM = perform (subroutine, parameters);  
WAIT FOR = wait (delay);  
COMPARE = compare (data, limit);  
FINISH = goto\_end ();  
WHILE = while (cond);  
END, WHILE = end\_while ();  
TERMINATE = terminate ();  
REMOVE, ALL = reset\_all ();  
ENABLE, EXCHANGE = enable\_exchange (device, config, connection);  
ENABLE, DIGITAL = enable\_dig (device, config);  
ENABLE, INPUT = enable\_input (source, destination);  
DISABLE, = close (handler);  
COMMENCE, = main ();

### Fișier station.cfg

DMM  
DMM\_AMP  
PS8  
PS9  
PS4  
DIFF\_SCOPE

LOAD1  
LOAD2  
LOAD3

COM\_1  
COM\_2  
COM\_3  
NONE

ANEXA 4 – Fișiere de configurare, intrare și rezultate pentru transformator  
din ATLAS în sursă în limbaj intermediar

**Instrucție ATLAS din program sursa:**

```
050060 VERIFY,(VOLTAGE),DC SIGNAL USING  
                                'DC-VOLTMETER'.  
    UL 28 V LL 24 V,  
    VOLTAGE RANGE -100 V TO +100 V,  
    CNX HI 'J1-1'  
    LO 'J1-2' $
```

**Instrucție ILS translatată :**

```
050060 verify (dmm (HP344 ->( function = DC_VOLT , range = 100 V, resolution = , trigger = )), val ->  
(voltage), tol ->(ul = 28 V , ll = 24 V), cnx ->(hi = 'J1-1', lo = 'J1-2' ));
```

**Listă de unități**

1. Ambient Noise Sensor - Boeing
2. Arinc Signal Gateway - Boeing
3. Touch Screen/Lcd Assembly - Boeing
4. Cabin Attendant Handset - Boeing
5. Cabin System Control panel - Boeing
6. Cabin System Management unit - Boeing
7. Environmental Control System Miscellaneous Card - Boeing
8. Master Dim and Test Pwa - Boeing
9. Overhead Electronics Unit - Boeing
10. Overhead Panel Bus Controller - Boeing
11. Passenger Address / Cabin Interphone - Boeing
12. Linear/Monitor Card - Boeing
13. Pre-Regulator Pwa for cardfile power Supply - Boeing
14. Radio Tuning Panel - Boeing
15. Speaker Drive Module - Boeing
16. Seat Electronics Unit - Boeing
17. Warning Electronic - Boeing
18. Flap/Slat Electronics Unit - Boeing
19. Zone Management Unit - Boeing
20. Overhead Panel Interface Card - Boeing
21. Cargo Smoke Detector - Boeing
22. Zone Power Converter - Boeing
23. Rudder Trim Indicator - Boeing
24. Audio Management Unit - Boeing
25. Integrated Refuel Panel - Boeing
26. Entertainment Multiplexer/Controller - Boeing
27. Hydraulic Interface Module - Boeing
28. Logic and Speed Control Unit - Boeing
29. Cabin Pressure Valve Control Unit - Boeing
30. Panel Data Concentrator unit - Boeing
31. Cabin Control Panel - Boeing
32. Css Zone Management Unit - Boeing
33. Artificial Feel Computer – concorde
34. Master Warning Control unit – concorde
35. Aicu Computer Unit – concorde
36. Aitu Computer Unit – concorde
37. Pitch Computer Unit – concorde
38. Azimuth Computer Unit – concorde
39. Auto Stab Computer Unit – concorde
40. Auto-throttle Computer Unit – concorde
41. Nozzle Angle Scheduling unit – concorde

**Listă de termeni și acronime**

- ATE – Automatic Test Equipment, Echipament de testare automată
- TUA – Test Unit Adapter, Interfață de testare
- IEEE – Institute of Electrical / Electronics Engineers
- UUT – Unit Under Test, Unitate testată
- GPIB – General Purpose Instrument Bus, Magistrala de instrumentație
- VME - VersaModule Eurocard BUS, magistrală pentru instrumente modulare dezvoltată în 1980 de Motorola, Signetics, Mostek and și Thompson CSF.
- VXI - VME EXtensions for Instrumentation, extensie a magistralei VME pentru instrumentație
- ATLAS – Abbreviated Test Language for All Systems, Limbaj de test pentru toate sistemele
- TRD – Test Requirement Document, Document care conține documentația de testare
- ARINC – Aeronautical Radio, Inc., fondată de companiile aeriene pentru a reglementa inițial comunicația radio, domeniu extins mai târziu.
- IVI – Interchangeable Virtual Instrument, Instrument Virtual Interschimbabil
- PXI - PCI EXtensions for Instrumentation, extensie a magistralei PCI pentru instrumentație.
- DMM – Digital Multimeter, Multimetru Digital
- AFG – Arbitrary Function Generator, Generator de funcții arbitrare
- DSO – Digital Scope
- SCPI - Standard Commands for Programmable Instruments.
- J-TAG - Joint Test Action Group, numele uzual pentru standardul IEEE1149.1
- TPS – Test Program Set, Set de programe și fișiere necesare pentru testarea unei unități
- DVR – Digital Video Recorder
- C/ATLAS - Common/Abbreviated Test Language for All Systems, standardul IEEE 716-1995
- WSP – Word Serial Protocol, un protocol care permite comunicarea prin mesaje între modulele dintr-un sertar VXI
- SCSI - Small Computer System Interface, o interfață standard paralelă care permite viteze până la 80 Mbytes/sec
- IDE - Intelligent Drive Electronics or Integrated Drive Electronics, interfață pentru hard discuri.
- PCI - Peripheral Component Interconnect, magistrală între CPU și periferice
- LVDT - Linear-Voltage Differential Transformer , senzor de poziție
- UNIXWARE – Sistem de operare UNIX pentru PC-uri
- CVI – C for Virtual Instrumentation
- TPG – Test Program Generator, aplicație a firmei RADA pentru editarea de programe într-un limbaj propriu, uneori se folosește denumirea și pentru limbaj în sine
- B777 – Avionul de tip Boeing 777
- PAWS – mediu de testare al companiei americane TYX Corp.
- CMM – Component Maintenance Manual , Manual de întreținere pentru o unitate de aviație